



# OFICINA ESPAÑOLA DE PATENTES Y MARCAS

ESPAÑA



① Número de publicación: 2 648 313

51 Int. CI.:

C12Q 1/68 (2006.01)

(12)

## TRADUCCIÓN DE PATENTE EUROPEA

T3

96 Fecha de presentación y número de la solicitud europea: 21.12.2006 E 16157104 (7)
97 Fecha y número de publicación de la concesión europea: 11.10.2017 EP 3056575

(54) Título: Polimerasas para la incorporación de análogos nucleotídicos

(30) Prioridad:

22.12.2005 US 753670 P

(45) Fecha de publicación y mención en BOPI de la traducción de la patente: 29.12.2017

(73) Titular/es:

PACIFIC BIOSCIENCES OF CALIFORNIA, INC. (100.0%)
1305 O'Brien Drive
Menlo Park, CA 94025, US

(72) Inventor/es:

HANZEL, DAVID, K.;
OTTO, GEOFF;
MURPHY, DEVON;
PELUSO, PAUL;
PHAM, THANG;
RANK, DAVID, R.;
MITSIS, PAUL;
CHRISTIANS, FRED, C.;
BIBILLO, AREK;
PARK, INSIL;
CLARK, SONYA y
LYLE, JOHN

(74) Agente/Representante:

**ISERN JARA, Jorge** 

### **DESCRIPCIÓN**

Polimerasas para la incorporación de análogos nucleotídicos

#### 5 Referencia a solicitudes relacionadas

Esta solicitud es una solicitud de patente de modelo de utilidad no provisional que reivindica prioridad a y el beneficio de la siguiente solicitud de patente provisional previa: USSN 60/753.670, presentada el 22 de diciembre de 2005, titulada "POLYMERASES FOR NUCLEOTIDE ANALOGUE INCORPORATION" de David K. Hanzel et al.

Declaración de derechos a invenciones realizadas bajo investigación y desarrollo con patrocinio federal.

Partes de la invención se hicieron con el apoyo gubernamental según concesión NHGRI n.º R01 HG003710-01, y el gobierno puede tener ciertos derechos sobre la invención.

#### Campo de la invención

10

15

20

25

30

35

40

45

50

55

60

65

La invención se refiere a polimerasas con características para mejorar la entrada de análogos nucleotídicos en regiones de sitios activos y para coordinarse con los análogos nucleotídicos en la región del sitio activo. También se describen métodos para preparar las polimerasas y para usar las polimerasas en la secuenciación y replicación y amplificación del ADN, así como modelos cinéticos de la actividad polimerasa y los métodos implementados por ordenador del uso de los modelos.

#### Antecedentes de la invención

Las ADN polimerasas replican los genomas de organismos vivos. Además de su función central en biología, las ADN polimerasas también son herramientas ubicuas de la biotecnología. Se usan ampliamente, por ejemplo, para la transcripción inversa, la amplificación, el marcaje y la secuenciación, que son tecnologías centrales para una diversidad de aplicaciones tales como secuenciación, amplificación de ácidos nucleicos, clonación, ingeniería de proteínas, diagnóstico, medicina molecular y muchas otras tecnologías.

A causa de la importancia de las ADN polimerasas, se han estudiado ampliamente. Este estudio se ha centrado, por ejemplo, en las relaciones filogenéticas entre las polimerasas, la estructura de las polimerasas, las características de estructura-función de las polimerasas, y la función de las polimerasas en la replicación del ADN y otras cuestiones básicas de biología, así como las maneras de usar las ADN polimerasas en biotecnología. Para una recapitulación de las polimerasas, véase, por ejemplo, Hubscher et al. (2002) EUKARYOTIC DNA POLYMERASES Annual Review of Biochemistry Vol. 71: 133-163; Alba (2001) "Protein Family Review: Replicative DNA Polymerases" Genome Biology 2(1): revisiones 3002.1-3002.4; Steitz (1999) "DNA polymerases: structural diversity and common mechanisms" J Biol Chem 274: 17395-17398 y Burgers et al. (2001) "Eukaryotic DNA polymerases: proposal for a revised nomenclature" J Biol Chem. 276(47):43487-90. Se ha resuelto la estructura cristalina para muchas polimerasas, que a menudo comparten una arquitectura similar. Se han determinado los mecanismos básicos de acción para muchas polimerasas.

Una aplicación fundamental de la tecnología del ADN implica diversas estrategias de marcaje para marcar un ADN que se produce por una ADN polimerasa. Esto es útil en la tecnología de micromatrices, secuenciación del ADN, detección de SNP, clonación, análisis por PCR y muchas otras aplicaciones. El marcaje a menudo se realiza en diversos esquemas de hibridación y marcaje químico posteriores a la síntesis, pero las ADN polimerasas también se han usado para incorporar directamente diversos nucleótidos marcados en una diversidad de aplicaciones, por ejemplo, mediante traslado de mella, transcripción inversa, cebado aleatorio, amplificación, la reacción en cadena de la polimerasa, etc. Véase, por ejemplo, Giller et al. (2003) "Incorporation of reporter molecule-labeled nucleotides by DNA polymerases. I. Chemical synthesis of various reporter group-labeled 2'-deoxyribonucleoside-5'-triphosphates" Nucleic Acids Res. 31(10): 2630-2635; Augustin et al. (2001) "Progress towards single-molecule sequencing: enzymatic synthesis of nucleotide-specifically labeled DNA" J. Biotechnol., 86:289-301; Tonon et al. (2000) "Spectral karyotyping combined with locus-specific FISH simultaneously defines genes and chromosomes involved in chromosomal translocations" Genes Chromosom. Cancer 27:418-423; Zhu y Waggoner (1997) "Molecular mechanism controlling the incorporation of fluorescent nucleotides into DNA by PCR." Cytometry, 28:206-211. Yu et al. (1994) "Cyanine dye dUTP analogs for enzymatic labeling of DNA probes" Nucleic Acids Res., 22:3226-3232; Zhu et al. (1994) "Directly labeled DNA probes using fluorescent nucleotides with different length linkers." Nucleic Acids Res. 22:3418-3422; Ried et al. (1992) "Simultaneous visualization of seven different DNA probes by in situ hybridization using combinatorial fluorescence and digital imaging microscopy" Proc. Natl Acad. Sci. USA, 89:1388-1392.

Se han identificado mutantes de ADN polimerasa que tienen propiedades alteradas de incorporación de análogos nucleotídicos respecto a las enzimas equivalentes de tipo silvestre. Por ejemplo, la ADN polimerasa Vent<sup>A488L</sup> puede incorporar ciertos nucleótidos no convencionales con una mayor eficacia que la ADN polimerasa Vent nativa. Véase, Gardner et al. (2004) "Comparative Kinetics of Nucleotide Analog Incorporation by Vent DNA Polymerase" J. Biol.

Chem., 279(12), 11834-11842; Gardner y Jack "Determinants of nucleotide sugar recognition in an archaeon DNA polymerase" Nucleic Acids Research, 27(12) 2545-2553. Se prevé que el resto alterado en este mutante, A488, estará enfocado en dirección contraria al sitio de unión de nucleótidos de la enzima. El patrón de especificidad relajada en esta posición se correlaciona aproximadamente con el tamaño de la cadena lateral del aminoácido sustituido y afecta a la incorporación por parte de la enzima de una diversidad de azúcares de nucleótidos modificados.

La capacidad de mejorar la especificidad, la capacidad de procesamiento u otras características de las ADN polimerasas hacia análogos nucleotídicos marcados sería muy deseable en una diversidad de contextos en los que, por ejemplo, se desee el marcaje de ácidos nucleicos, incluyendo la amplificación, secuenciación, marcaje, detección, clonación de ADN y muchas otras. La presente invención proporciona nuevas ADN polimerasas con propiedades modificadas para análogos nucleotídicos marcados, métodos de preparación de dichas polimerasas, métodos de uso de dichas polimerasas y muchas otras características que llegarán a ser evidentes tras una recapitulación completa de lo siguiente.

#### Sumario de la invención

5

10

15

20

25

40

45

50

55

60

65

La invención incluye polimerasas que incorporan análogos nucleotídicos, tales como análogos de fosfato, en una copia de molde en crecimiento, durante la amplificación del ADN. Sin comprometerse a teoría particular alguna de funcionamiento, estas polimerasas se modifican opcionalmente de manera que el sitio activo de la polimerasa se modifique para reducir la inhibición estérica de la entrada del análogo en el sitio activo y/o para proporcionar complementariedad a una o más características no naturales del análogo nucleotídico. Dichas polimerasas son particularmente muy adecuadas para la amplificación del ADN y/o aplicaciones de secuenciación, incluyendo aplicaciones a tiempo real, por ejemplo, en el contexto de protocolos de amplificación o secuenciación que incluyen la incorporación de restos análogos en el ADN por la polimerasa. El resto análogo que se incorpora puede ser igual que un resto natural, por ejemplo, en el que un marcador u otro motivo del análogo se retira por la acción de la polimerasa durante la incorporación, o el resto análogo puede tener una o más características que lo distingue de un resto nucleotídico natural.

Por consiguiente, la invención incluye composiciones que incluyen una ADN polimerasa recombinante. La ADN polimerasa recombinante incluye una región de sitio activo modificada que es homóloga a una región de sitio activo de tipo silvestre de una ADN polimerasa de tipo silvestre. La región de sitio activo modificada incluye una o más modificaciones estructurales respecto a la región de sitio activo de tipo silvestre que mejora la actividad deseada de la enzima, por ejemplo, hacia nucleótidos de origen natural y/o análogos nucleotídicos. En ciertos aspectos, y son comprometerse a teoría particular alguna de funcionamiento, dichas modificaciones incluyen aquellas que reducen la inhibición estérica para la entrada de un nucleótido natural o análogo nucleotídico en la región de sitio activo modificada y/o que hacen que la región de sitio activo sea complementaria a uno o más características no naturales del nucleótido natural y/o análogo nucleotídico. La ADN polimerasa recombinante presenta una propiedad modificada para el análogo nucleotídico en comparación con la polimerasa de tipo silvestre.

Una diversidad de ADN polimerasas se modifican opcionalmente para que incluyan la región de sitio activo modificada. Por ejemplo, la ADN polimerasa recombinante es opcionalmente homóloga a una ADN polimerasa Φ29 o mutante de la misma, una polimerasa Taq, una polimerasa Taq de actividad exonucleasa defectuosa, una ADN polimerasa Pol I, una polimerasa T7, una polimerasa RB69, una polimerasa T5 o una polimerasa correspondiente a un fragmento Klenow de una ADN polimerasa Pol I. Por ejemplo, la ADN polimerasa recombinante puede ser homóloga a una ADN polimerasa Φ29 de tipo silvestre o de actividad exonucleasa defectuosa, por ejemplo, como se describe en las patentes de Estados Unidos n.º 5.001.050, 5.198.543 o 5.576.204. Asimismo, la ADN polimerasa recombinante puede ser homóloga a Φ29, B103, GA-1, PZA, Φ15, BS32, M2Y, Nf, G1, Cp-1, PRD1, PZE, SF5, Cp-5, Cp-7, PR4, PR5, PR722 o L17, o similares. Para cuestiones de nomenclatura, véase también, Meijer et al. (2001) "Φ29 Family of Phages" Microbiology and Molecular Biology Reviews, 65(2):261-287.

La región de sitio activo modificada puede incluir cualquiera de una diversidad de diferentes modificaciones para reducir la inhibición estérica y/o para hacer que la región sea complementaria a una o más características no naturales del análogo nucleotídico.

Por consiguiente, en un aspecto, la presente invención proporciona una composición que comprende:

una ADN polimerasa recombinante, comprendiendo dicha polimerasa recombinante una secuencia de aminoácidos que es al menos un 70 % idéntica a la SEQ ID NO:1 y comprende una sustitución de aminoácido en un sitio correspondiente a K512 respecto a la SEQ ID NO:1; y un análogo nucleotídico que está marcado en un grupo fosfato, en el que el resto de base del análogo se selecciona del grupo que consiste en adenina, timina, guanina y citidina.

La polimerasa también puede incluir una mutación adicional o combinación de mutaciones seleccionadas de las enumeradas en la tabla 8.

La polimerasa opcionalmente incluye además una o más mutaciones/eliminaciones respecto a la polimerasa de tipo silvestre que reducen o eliminan la actividad exonucleasa endógena. Por ejemplo, respecto a la ADN polimerasa Φ29 de tipo silvestre, N62 opcionalmente se muta o se elimina para reducir la actividad exonucleasa; por ejemplo, la polimerasa puede incluir una mutación N62D. Otras mutaciones ejemplares que reducen la actividad exonucleasa incluyen: D12A, T15I, E14I y/o D66A; por consiguiente, las polimerasas de la invención opcionalmente comprenden una o más de estas mutaciones.

La ADN polimerasa recombinante opcionalmente incluye características adicionales exógenas o heterólogas a una ADN polimerasa correspondiente, tal como una polimerasa de tipo silvestre o de actividad nucleasa defectuosa. Por ejemplo, la polimerasa recombinante opcionalmente incluye una o más marcas de afinidad exógenas, por ejemplo, marcas de purificación o de unión a sustrato, tales como una secuencia de marca de 6 His, una marca GST, una secuencia de marca HA, una pluralidad de secuencias de marca de 6 His, una pluralidad de marcas GST, una pluralidad de secuencias de marca SNAP o similares. Estas pueden insertarse en cualquiera de una diversidad de posiciones dentro de la proteína, y están preferentemente en uno o más extremos, por ejemplo, el extremo C-terminal o N-terminal de la proteína y, más preferentemente, están en el extremo más distal del sitio activo en la estructura 3D de la proteína.

Las polimerasas ejemplares de la invención incluyen las enumeradas en la tabla 3.

- Las composiciones opcionalmente incluyen el análogo nucleotídico. Los análogos nucleotídicos ejemplares incluyen aquellos que incluyen fluoróforos y/o restos colorantes. Por ejemplo, el análogo nucleotídico puede ser un nucleótido marcado, por ejemplo, un nucleótido de base, azúcar y/o fosfato marcado. El análogo puede ser un análogo monodesoxi- o didesoxinucleotídico.
- Una clase ejemplar de análogos nucleotídicos son análogos nucleotídicos de fosfato marcado, incluyendo análogos monodesoxinucleotídicos de fosfato marcado y/o análogos didesoxinucleotídicos de fosfato marcado. Por ejemplo, el análogo nucleotídico puede ser un análogo nucleotídico marcado que tiene de 3 a 6 grupos fosfato (por ejemplo, en el que el análogo nucleotídico es un trifosfato, un tetrafosfato, un pentafosfato o un hexafosfato).
- 30 Por ejemplo, la composición puede incluir un compuesto marcado de fórmula:

5

10

15

35

40

45

50

55

en la que B es una nucleobase (obsérvese que B opcionalmente incluye un marcador); S se selecciona de un resto de azúcar, un resto ácido o un resto carbocíclico (obsérvese que S opcionalmente incluye un marcador); L es un marcador detectable opcional; R<sub>1</sub> se selecciona de O y S; R<sub>2</sub>, R<sub>3</sub> y R<sub>4</sub> se seleccionan independientemente de O, NH, S, metileno, metileno sustituido, C(O), C(CH<sub>2</sub>), CNH<sub>2</sub>, CH<sub>2</sub>CH<sub>2</sub>, C(OH)CH<sub>2</sub>R en el que R es 4-piridina o 1-imidazol, con la condición de que R<sub>4</sub> pueda seleccionarse adicionalmente de

 $R_5$ ,  $R_6$ ,  $R_7$ ,  $R_8$ ,  $R_{11}$  y  $R_{13}$ , cuando están presentes, se seleccionan cada uno independientemente de O, BH $_3$  y S; y  $R_9$ ,  $R_{10}$  y  $R_{12}$  se seleccionan independientemente de O, NH, S, metileno, metileno sustituido, CNH $_2$ , CH $_2$ CH $_2$ C en el que R es 4-piridina o 1-imidazol. En algunos casos, pueden emplearse análogos fosfonato como análogos, por ejemplo, en los que uno de  $R_2$ ,  $R_3$ ,  $R_4$ ,  $R_9$ ,  $R_{10}$  o  $R_{12}$  no son O, por ejemplo, son metilo, etc.

La ADN polimerasa recombinante presenta una propiedad modificada para el análogo nucleotídico en comparación con la polimerasa de tipo silvestre. Por ejemplo, la propiedad modificada puede ser, por ejemplo,  $K_m$ ,  $k_{cat}$ ,  $V_{max}$ , capacidad de procesamiento de la polimerasa recombinante en presencia del análogo nucleotídico (o de un nucleótido de origen natural), longitud de lectura del molde promedio por la polimerasa recombinante en presencia del análogo nucleotídico, especificidad de la polimerasa recombinante por el análogo nucleotídico, tasa de unión del análogo nucleotídico, tasa de liberación de producto (pirofosfato, trifosfato, etc.) y/o tasa de ramificación. En una realización deseable, la propiedad modificada es una  $K_m$  reducida para el análogo nucleotídico y/o una  $k_{cat}/K_m$  o  $V_{max}/K_m$  aumentada para el análogo nucleotídico. Asimismo, la polimerasa recombinante opcionalmente tiene una tasa aumentada de unión del análogo nucleotídico, una tasa aumentada de liberación de producto y/o una tasa disminuida de ramificación, en comparación con la polimerasa de tipo silvestre.

Al mismo tiempo, la ADN polimerasa recombinante puede incorporar nucleótidos naturales (por ejemplo, A, C, G y T) en un ácido nucleico de copia en crecimiento. Por ejemplo, la polimerasa recombinante opcionalmente presenta una actividad específica para un nucleótido natural que es al menos aproximadamente un 5 % tan elevada (por ejemplo, 5 %, 10 %, 25 %, 50 %, 75 %, 100 % o mayor), como una polimerasa de tipo silvestre correspondiente y una capacidad de procesamiento con nucleótidos naturales en presencia de un molde que es al menos un 5 % tan elevada (por ejemplo, 5 %, 10 %, 25 %, 50 %, 75 %, 100 % o mayor) como la polimerasa de tipo silvestre en presencia del nucleótido natural. Opcionalmente, la polimerasa recombinante presenta una  $k_{cat}/K_m$  o  $V_{max}/K_m$  para un nucleótido de origen natural que es al menos aproximadamente un 5 % tan elevada (por ejemplo, aproximadamente un 5 %, 10 %, 25 %, 50 %, 75 % o 100 % o mayor) como la polimerasa de tipo silvestre.

10

15

20

25

30

35

5

El análogo nucleotídico y un molde de ADN se incluyen opcionalmente en las composiciones de la invención, por ejemplo, en que la polimerasa recombinante incorpora el análogo nucleotídico en un ácido nucleico de copia en respuesta al ADN molde. El ADN molde puede ser un ADN lineal o circular, y en ciertas aplicaciones de secuenciación se desea un molde circular. Por tanto, la composición puede estar presente en un sistema de amplificación y/o secuenciación de ADN. Opcionalmente, en una clase de realizaciones, el sistema de secuenciación comprende un Zero Mode Waveguide.

Los métodos de preparación y uso de las composiciones también son características de la invención. Por ejemplo, en un aspecto, se proporcionan métodos de preparación de un ADN, por ejemplo, que comprende uno o más restos de análogos nucleotídicos. En estos métodos, se proporciona una mezcla de reacción. La mezcla de reacción típicamente incluye aquellos componentes que puede replicar al menos parcialmente un molde, por ejemplo, un molde, nucleótidos, la polimerasa y un resto de inicio de la replicación que forma complejos con el molde, o está integrado en el mismo, para cebar la polimerasa. El resto de inicio de la replicación en este contexto es cualquier resto que pueda servir como sitio para iniciar la actividad polimerasa, por ejemplo, un oligonucleótido diferentes complementario al molde, una horquilla u otra región de autocomplementariedad de un molde (por ejemplo, una horquilla en un molde monocatenario), una proteína terminal o similares. La polimerasa es una polimerasa recombinante capaz de replicar al menos parcialmente el molde en una reacción de extensión por polimerasa dependiente de molde (por ejemplo, usando el resto de inicio de la replicación como un sitio de inicio). Típicamente, el uno o más nucleótidos comprenden un análogo nucleotídico. En aspectos preferidos, al menos uno, preferentemente dos o más, tres o más o al menos cuatro nucleótidos son análogos nucleotídicos. La ADN polimerasa recombinante tiene un sitio activo modificado (una región de la polimerasa que, cuando se modifica, provoca una alteración en una actividad de la polimerasa) que es homólogo a un sitio activo de tipo silvestre de una ADN polimerasa de tipo silvestre. Como se analiza en el contexto de las composiciones anteriores, el sitio activo modificado puede incluir una o más modificaciones estructurales respecto al sitio activo de tipo silvestre que mejora la actividad de la enzima hacia uno o más nucleótidos naturales y/o análogos nucleotídicos. En al menos un ejemplo, y sin comprometerse a teoría particular alguna de funcionamiento, la modificación del sitio activo reduce la inhibición estérica para la entrada del análogo nucleotídico en el sitio activo modificado y/o la modificación es complementaria a una o más características no naturales del análogo nucleotídico.

La mezcla se hace reaccionar de tal manera que la polimerasa recombinante replica al menos una parte del molde de una manera dependiente de molde, por lo que al menos un resto de análogo nucleotídico se incorpora en el ADN resultante. La incorporación del análogo puede provocar la incorporación de un resto no convencional en el ADN prolongado (por ejemplo, como un resto nucleotídico marcado), o la acción de la polimerasa puede modificar el análogo de tal manera que el resto de análogo nucleotídico incorporado en el ADN prolongado es estructuralmente igual al resto nucleotídico convencional. Por ejemplo, en la última realización, se escinde una diversidad de marcadores por la acción de la polimerasa, por ejemplo, ciertos marcadores de fosfato analizados en más detalle en este documento se escinden del análogo nucleotídico según se incorpora en el ADN en crecimiento (típicamente proporcionando una señal tras la liberación del marcador).

En una clase relacionada de métodos, se proporciona una mezcla de reacción que incluye un molde, un resto de inicio de la replicación, una polimerasa recombinante dependiente de molde y uno o más nucleótidos. El uno o más nucleótidos incluyen un nucleótido de fosfato marcado. Un valor de K<sub>m</sub> de la polimerasa recombinante para el análogo nucleotídico es inferior a una K<sub>m</sub> para una polimerasa de tipo silvestre homóloga correspondiente para el análogo nucleotídico. La mezcla se hace reaccionar de tal manera que la polimerasa replica al menos parcialmente el molde de una manera dependiente de molde, por ejemplo, por lo que al menos un resto de análogo nucleotídico se incorpora en el ADN resultante. Como se indica previamente, una vez incorporado, el resto puede ser igual a un resto nucleotídico natural o puede ser diferente de un resto nucleotídico natural.

En otra clase relacionada de métodos de preparación de un ADN, se proporciona una mezcla de reacción que incluye un molde, un resto de inicio de la replicación que forma complejos con o está integrado en el molde, una polimerasa capaz de replicar al menos una parte del molde usando el resto en una reacción de prolongación por polimerasa dependiente de molde, y uno o más nucleótidos. De nuevo, el uno o más nucleótidos típicamente incluyen un análogo nucleotídico de fosfato marcado. La polimerasa en esta clase de realizaciones es homóloga a una ADN polimerasa Φ29. La polimerasa tiene una K<sub>m</sub> para 488dC4P, A568dC4P o ambos, que es inferior a aproximadamente un 75 % de una K<sub>m</sub> de una ADN polimerasa Φ29 GST-N62D para 488dC4P, A568dC4P o ambos.

Por ejemplo, la  $K_m$  para 488dC4P, A568dC4P puede ser aproximadamente un 40 % o menor que la ADN polimerasa  $\Phi$ 29 GST-N62D o, por ejemplo, aproximadamente un 15 % o menor. La mezcla se hace reaccionar de tal manera que la polimerasa replica al menos una parte del molde.

- 5 Las polimerasas usadas en los métodos pueden ser cualquiera de las indicadas anteriormente con referencia a las composiciones. Las propiedades de las polimerasas usadas en los métodos pueden ser cualquiera de las indicadas con referencia a las composiciones. Por ejemplo, la polimerasa opcionalmente tiene una kcat/Km para el análogo nucleotídico que es mayor que una k<sub>cat</sub>/K<sub>m</sub> de una Φ29 de tipo silvestre para el análogo nucleotídico. Asimismo, los análogos nucleotídicos usados en los métodos pueden ser cualquiera de los indicados con referencia a las 10 composiciones de este documento. Las polimerasas recombinantes de este documento pueden tener una  $K_m$  para el análogo nucleotídico que es, por ejemplo, aproximadamente un 90 % tan elevada, aproximadamente un 80 % tan elevada, aproximadamente un 75 % tan elevada, aproximadamente un 60 % tan elevada, aproximadamente un 50 % tan elevada, aproximadamente un 40 % tan elevada, aproximadamente un 25 % tan elevada, aproximadamente un 15 % tan elevada, aproximadamente un 10 % tan elevada, o menos de aproximadamente un 5 % tan elevada como 15 una K<sub>m</sub> de una polimerasa de origen natural homóloga a la polimerasa recombinante. La polimerasa recombinante opcionalmente tiene una tasa aumentada de unión del análogo nucleotídico, una tasa aumentada de liberación de producto y/o una tasa disminuida de ramificación, en comparación con la polimerasa de tipo silvestre correspondiente.
- Además de los métodos de uso de las composiciones de este documento, la presente invención también incluye métodos de preparación de las composiciones. Por ejemplo, en un aspecto, se proporciona un método de preparación de una ADN polimerasa recombinante (por ejemplo, cualquiera de las analizadas con respecto a las composiciones de este documento). Por ejemplo, los métodos pueden incluir el modelado estructural de una primera polimerasa, por ejemplo, usando cualquier estructura cristalina disponible y el software o sistema de modelado molecular. Basándose en el modelado, se identifica una o más características de inhibición estérica o características de complementariedad que afectan al acceso del nucleótido al sitio activo y/o la unión de un análogo nucleotídico dentro de la región de sitio activo, por ejemplo, en el sitio activo o próximo al mismo. La primera ADN polimerasa se muta para reducir o eliminar al menos una característica de inhibición estérica o para añadir la característica de complementariedad.
  - El método puede incluir adicionalmente cribado u otros protocolos para determinar si la polimerasa recombinante resultante presenta una actividad modificada para un análogo nucleotídico en comparación con la primera ADN polimerasa. Por ejemplo, puede determinarse la k<sub>cat</sub>, K<sub>m</sub>, V<sub>max</sub> o k<sub>cat</sub>/K<sub>m</sub> de la ADN polimerasa recombinante para el análogo nucleotídico. Además, también puede determinarse la k<sub>cat</sub>, K<sub>m</sub>, V<sub>max</sub> o k<sub>cat</sub>/K<sub>m</sub> de la ADN polimerasa recombinante para un nucleótido natural (por ejemplo, cuando la polimerasa incluye de forma deseada la actividad de incorporación de nucleótidos tanto análogos como naturales).

35

40

55

60

- Puede prepararse una biblioteca de ADN polimerasas recombinantes y cribarse para estas propiedades. Por ejemplo, puede prepararse una pluralidad de miembros de la biblioteca para que incluyan una o más mutaciones de características de inhibición estérica y/o una mutación para producir complementariedad a una o más características no naturales del análogo nucleotídico, que entonces se criba para las propiedades de interés. En general, la biblioteca puede cribarse para identificar al menos un miembro que comprende una actividad modificada de interés.
- En un aspecto adicional, la invención incluye métodos implementados por ordenador, por ejemplo, para modelar la cinética enzimática. Los métodos incluyen, por ejemplo, definir una pluralidad de transiciones de estado de la polimerasa para tramos de tiempo concretos durante una reacción de polimerización basada en molde; definir una pluralidad de tasas de transición de velocidad entre los estados; generar una matriz de probabilidades multidimensional de los posibles estados, basándose en una secuencia dada del molde de ácido nucleico, los nucleótidos en una mezcla de reacción y las transiciones de estado de la polimerasa; y, almacenar la matriz de probabilidades multidimensional en un medio legible por ordenador.
  - Una diversidad de características del método pueden variar. Por ejemplo, las transiciones de estado de la polimerasa opcionalmente son seleccionables por el usuario. Las tasas de transición de velocidad entre los estados opcionalmente varían dependiendo de la concentración de nucleótidos, la secuencia del molde y la posición de la polimerasa a lo largo del molde. Los nucleótidos en la mezcla de reacción opcionalmente comprenden uno o más análogos nucleotídicos. Las tasas de transición de velocidad entre los estados opcionalmente incluyen una tasa de transición conformacional para la polimerasa durante el uso de los análogos nucleotídicos por la polimerasa, con la tasa establecida igual a una tasa de transición conformacional para un nucleótido natural. La matriz de probabilidades multidimensional opcionalmente se genera automáticamente basándose en la secuencia del molde, una matriz normalizada de estados de probabilidad y los nucleótidos en la mezcla de reacción. La matriz de probabilidades opcionalmente se simplifica asumiendo que todos los posibles emparejamientos de bases de Watson-Crick son equivalentes en todas las transiciones de estado.
- Asimismo, opcionalmente se genera una segunda matriz de concentración de reactivos para justifica los cambios de concentración de reactivos que se producen por la posición de la polimerasa a lo largo de un molde, basándose en un resultado de la matriz de probabilidades. La matriz de probabilidades opcionalmente se vectoriza para múltiples

moldes y la matriz de probabilidades vectorizada resultante puede multiplicarse por la matriz de probabilidades multidimensional para proporcionar una matriz de distribución de estados. Puede usarse un factor de tiempo exponencial para la matriz de probabilidades para justificar las secuencias repetidas dentro de la secuencia de molde. Puede definirse una fracción de emparejamientos incorrectos de nucleótidos por la polimerasa usando un modelo de continuidad o un modelo de recuento.

Breve descripción de los dibujos

5

10

15

20

25

30

35

40

45

50

55

60

65

La figura 1 representa esquemáticamente un vector para la expresión de la ADN polimerasa Phi 29 N62D marcada.

La figura 2, panel A, presenta una alineación de secuencias para polimerasas de tipo Phi 29 en la región que rodea los restos 505-525 (Phi29 SEQ ID NO:35, B103 SEQ ID NO:36, PZA SEQ ID NO:37, M2 SEQ ID NO:38, G1 SEQ ID NO:39, cp-1 SEQ ID NO:40). El panel B ilustra la estructura de Phi 29 con (parte superior) y sin (parte inferior) los restos 505-525. Se muestran la vistas de las estructuras desde tres ángulos diferentes.

La figura 3, panel A, presenta una alineación de secuencias para polimerasas de tipo Phi 29 en la región que rodea E375 de Phi 29 (Phi29 SEQ ID NO:41, B103 SEQ ID NO:42, PZA SEQ ID NO:43, M2 SEQ ID NO:44, G1 SEQ ID NO:45, cp-1 SEQ ID NO:46). El panel B ilustra la estructura de Phi 29 (parte superior) y un mutante E375H (parte inferior). Se muestran la vistas de las estructuras desde tres ángulos diferentes.

La figura 4, panel A, presenta una alineación de secuencias para polimerasas de tipo Phi 29 en la región que rodea E486 de Phi 29 (Phi29 SEQ ID NO:47, B103 SEQ ID NO:48, PZA SEQ ID NO:49, M2 SEQ ID NO:50, G1 SEQ ID NO:51, cp-1 SEQ ID NO:52). El panel B ilustra la estructura de Phi 29 (parte superior) y un mutante E486A (parte inferior). Se muestran la vistas de las estructuras desde tres ángulos diferentes.

La figura 5, panel A, muestra una alineación de secuencias para polimerasas de tipo Phi 29 en la región que rodea K512 de Phi 29 (Phi29 SEQ ID NO:53, B103 SEQ ID NO:54, PZA SEQ ID NO:55, M2 SEQ ID NO:56, G1 SEQ ID NO:57, cp-1 SEQ ID NO:58). El panel B ilustra la estructura de Phi 29 (parte superior) y un mutante K512A (parte inferior). Se muestran la vistas de las estructuras desde tres ángulos diferentes.

La figura 6, panel A, muestra una alineación de secuencias para polimerasas de tipo Phi 29 en la región que rodea K135 de Phi 29 (Phi29 SEQ ID NO:59, B103 SEQ ID NO:60, PZA SEQ ID NO:61, M2 SEQ ID NO:62, G1 SEQ ID NO:63, cp-1 SEQ ID NO:64). El panel B ilustra la estructura de Phi 29 (parte superior) y un mutante K135A (parte inferior). Se muestran la vistas de las estructuras desde tres ángulos diferentes.

La figura 7, panel A, ilustra esquemáticamente un ensayo de flujo detenido de FRET usado para determinar las tasas de unión y de liberación de producto. Los resultados del ensayo se muestran en los paneles B-D, para Phi29 N62D (panel B), N62D:E375Y (panel C) y N62D:E375W (panel D).

La figura 8, panel A, ilustra esquemáticamente un ensayo de flujo detenido de FRET usado para determinar la tasa de ramificación. Los resultados del ensayo se muestran en los paneles B-D, para Phi29 N62D (panel B), N62D:E375Y (panel C) y N62D:E375W (panel D).

La figura 9 representa un diagrama del tamaño de salto de la matriz cinética frente a la bajada de concentración.

Análisis detallado de la invención

### Visión general

Una diversidad de tecnologías dependen de la incorporación de marcadores en ácidos nucleicos para observar los resultados de un experimento. Por ejemplo, el resultado de reacciones de secuenciación, de amplificación de ácido nucleico y de traslado de mella típicamente se controlan todas marcado los ácidos nucleicos producidos. Esto se hace, a menudo, uniendo covalente o no covalentemente marcadores a los ácidos nucleicos producidos, por ejemplo, uniendo sondas marcadas al ácido nucleico producido. En otras estrategias, se incorporan análogos nucleotídicos en los ácidos nucleicos producidos durante la síntesis del ácido nucleico producido. Esto típicamente sucede, por ejemplo, en la secuenciación por métodos de incorporación, y ciertas reacciones de PCR a tiempo real (RT-PCR) y LCR a tiempo real (RT-LCR). Puede incorporarse un marcador presente en el análogo en el ADN, o puede liberarse por la acción de la polimerasa. Puede controlarse la incorporación o liberación del marcador para controlar la incorporación de un resto análogo en el ácido nucleico producido.

La presente invención proporciona nuevas polimerasas que incorporan análogos nucleotídicos, tales como análogos marcados con fosfato marcado, en una copia de molde en crecimiento, durante la amplificación del ADN. Estas polimerasas se modifican de manera que el sitio activo de la polimerasa se modifique para reducir la inhibición estérica de la entrada del análogo en el sitio activo (que facilita la entrada del análogo nucleotídico en el sitio activo) y/o para proporcionar complementariedad a una o más características no naturales del análogo nucleotídico.

Estas nuevas polimerasas son particularmente muy adecuadas para aplicaciones de amplificación del ADN (por ejemplo, RT-PCR y RT-LCR) y/o de secuenciación, por ejemplo, en el contexto de protocolos de amplificación o secuenciación que incluyen la incorporación de análogos marcados en amplicones de ADN.

#### 5 ADN polimerasas

10

15

20

25

30

35

40

55

60

65

Las ADN polimerasas que pueden modificarse para que interactúen con análogos nucleotídicos reduciendo la inhibición estérica de la entrada en el sitio activo, o añadiendo características complementarias a los análogos, están generalmente disponibles. Las ADN polimerasas se han clasificado, de forma relativamente reciente, en seis grupos principales basándose en diversas relaciones filogenéticas, por ejemplo, con Pol I de *E. coli* (clase A), Pol II de *E. coli* (clase B), Pol III de *E. coli* (clase B),

También se han modificado enzimas ADN polimerasas disponibles de cualquiera de una diversidad de maneras, por ejemplo, para reducir o eliminar actividades exonucleasa (muchas ADN polimerasas nativas tiene una función exonucleasa de corrección de errores que interfiere con, por ejemplo, aplicaciones de secuenciación), para simplificar la producción generando fragmentos de enzima digeridos con proteasa tales como el fragmento Klenow recombinante, etc. Cualquiera de estas polimerasas disponibles puede modificarse de acuerdo con la invención para reducir la inhibición estérica de la entrada del análogo en el sitio activo, o para proporcionar características complementarias al análogo. Muchas de estas polimerasas que son adecuadas para su modificación están disponibles, por ejemplo, para su uso en tecnologías de secuenciación, marcaje y amplificación. Por ejemplo, la ADN polimerasa Beta humana está disponible en R&D systems. La ADN polimerasa I está disponible en Epicenter, GE Health Care, Invitrogen, New England Biolabs, Promega, Roche Applied Science, Sigma Aldrich y muchos otros. El fragmento Klenow de la ADN polimerasa I está disponible en versiones tanto recombinantes como diferidas por proteasa, en, por ejemplo, Ambion, Chimerx, eEnzyme LLC, GE Health Care, Invitrogen, New England Biolabs, Promega, Roche Applied Science, Sigma Aldrich y muchos otros. La ADN polimerasa Φ29 están disponible en, por ejemplo, Epicenter. La polimerasa Poli A, la transcriptasa inversa, la secuenasa, la ADN polimerasa SP6, la ADN polimerasa T4, la ADN polimerasa T7 y una diversidad de ADN polimerasas termoestables (Tag, inicio caliente, Tag titanio, etc.) están disponible en una diversidad de estas y otras fuentes. Las recientes ADN polimerasas comerciales incluven la ADN polimerasa de alta fidelidad Phusion™ que está disponible en New England Biolabs; la ADN polimerasa Flexi GoTaq® disponible en Promega; la ADN polimerasa Φ29 RepliPHI™ de EPICENTRE; la ADN polimerasa de inicio caliente PfuUltra™ disponible en Stratagene; la ADN polimerasa HiFi KOD que está disponible en Novagen y muchas otras. Biocompare(punto)com proporciona comparaciones de muchas polimerasas diferentes disponibles en el mercado.

Las ADN polimerasas que son sustratos preferidos para mutación para reducir la inhibición estérica o para incorporar características complementarias al análogo nucleotídico incluyen polimerasas Taq, polimerasas Taq de actividad exonucleasa defectuosa, ADN polimerasa 1 de *E. coli*, fragmento Klenow, transcriptasas inversas, polimerasas relacionadas con Φ29 incluyendo derivados de la polimerasa Φ29 de tipo silvestre de dichas polimerasas tales como formas de actividad exonucleasa defectuosa, ADN polimerasa T7, ADN polimerasa T5, una polimerasa RB69, etc. Por ejemplo, la ADN polimerasa recombinante puede ser homóloga a una ADN polimerasa Φ29 de tipo silvestre o de actividad exonucleasa defectuosa, por ejemplo, como se describe en las patentes de Estados Unidos n.º 5.001.050, 5.198.543 o 5.576.204. Asimismo, la ADN polimerasa recombinante puede ser homóloga a Φ29, B103, GA-1, PZA, Φ15, BS32, M2Y, Nf, G1, Cp-1, PRD1, PZE, SF5, Cp-5, Cp-7, PR4, PR5, PR722 o L17, o similares.

## Análogos nucleotídicos

Como se analiza, diversas polimerasas de la invención pueden incorporar uno o más análogos nucleotídicos en una cadena oligonucleotídica en crecimiento. Tras la incorporación, el análogo puede dejar un resto que es igual a o diferente de un nucleótido natural en el oligonucleótido en crecimiento (la polimerasa puede incorporar cualquier motivo no convencional del análogo, o puede eliminarlo por escisión durante la incorporación en el oligonucleótido). Un "análogo nucleotídico", en este documento, es un compuesto que, en una aplicación particular, funciona de una manera similar o análoga a un nucleósido trifosfato (un "nucleótido") de origen natural, y que por lo demás no indica ninguna estructura particular. Un análogo nucleotídico es un análogo diferente de un nucleótido de origen natural convencional, es decir, diferente de A, G, C, T o U, aunque tras la incorporación en el oligonucleótido, el resto resultante en el oligonucleótido puede ser igual a (o diferente de) un resto de A, G, C, T o U.

Están disponibles muchos análogos nucleotídicos. Estos incluyen estructuras análogas con similitud central a nucleótidos de origen natural, tales como los que comprenden uno o más sustituyentes en un resto de fosfato, azúcar o base del nucleósido o nucleótido respecto a un nucleósido o nucleótido de origen natural. En una realización, un análogo nucleotídico puede incluir uno o más grupos adicionales que contienen fosfato, respecto a un nucleósido trifosfato. Por ejemplo, una diversidad de análogos nucleotídicos que comprenden, por ejemplo, 4-6 fosfatos se describen en detalle en la solicitud de patente de Estados Unidos n.º 11/241.809, presentada el 29 de septiembre de 2005.

Por ejemplo, el análogo puede incluir un compuesto marcado de fórmula:

5

10

15

20

25

30

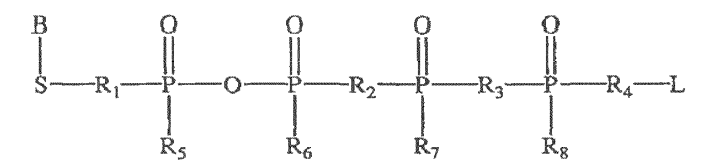
35

40

45

50

55



en la que B es una nucleobase (y opcionalmente incluye un marcador); S se selecciona de un resto de azúcar, un resto ácido o un resto carbocíclico (y opcionalmente incluye un marcador); L es un marcador detectable opcional; R<sub>1</sub> se selecciona de O y S; R<sub>2</sub>, R<sub>3</sub> y R<sub>4</sub> se seleccionan independientemente de O, NH, S, metileno, metileno sustituido, C(O), C(CH<sub>2</sub>), CNH<sub>2</sub>, CH<sub>2</sub>CH<sub>2</sub>, C(OH)CH<sub>2</sub>R en el que R es 4-piridina o 1-imidazol, con la condición de que R<sub>4</sub> pueda seleccionarse adicionalmente de

$$R_{9} = \begin{array}{c|c} & O & O & O \\ \hline P & R_{10} & R_{9} & P & R_{10} & P \\ \hline R_{11} & P & R_{12} & R_{13} \\ \hline R_{11} & P & R_{13} & R_{13} \\ \hline \end{array}$$

R<sub>5</sub>, R<sub>6</sub>, R<sub>7</sub>, R<sub>8</sub>, R<sub>11</sub> y R<sub>13</sub>, cuando están presentes, se seleccionan cada uno independientemente de O, BH<sub>3</sub> y S; y R<sub>9</sub>, R<sub>10</sub> y R<sub>12</sub> se seleccionan independientemente de O, NH, S, metileno, metileno sustituido, CNH<sub>2</sub>, CH<sub>2</sub>CH<sub>2</sub>C(OH)CH<sub>2</sub>R en el que R es 4-piridina o 1-imidazol. En algunos casos, pueden emplearse análogos fosfonato como análogos, por ejemplo, en los que uno de R<sub>2</sub>, R<sub>3</sub>, R<sub>4</sub>, R9, R10 o R12 no son O, por ejemplo, son metilo, etc. Véase, por ejemplo, la solicitud de patente de Estados Unidos n.º 11/241.809.

El resto de base incorporado en el análogo generalmente se selecciona de cualquiera de las nucleobases naturales o no naturales o análogos de nucleobase, incluyendo, por ejemplo, bases de purina o pirimidina que se encuentran de forma rutinaria en ácidos nucleicos y análogos de ácido nucleico disponibles, incluyendo adenina, timina, guanina, citidina, uracilo y, en algunos casos, inosina. Como se indica, la base opcionalmente incluye un resto marcador. Por comodidad, los nucleótidos y análogos nucleotídicos generalmente se mencionan basándose en su analogía relativa a nucleótidos de origen natural. Por tanto, un análogo que funciona, funcionalmente, como adenosina trifosfato, puede mencionarse generalmente en este documento por la abreviatura de letra A. Asimismo, pueden usarse las abreviaturas convencionales de T, G, C, U e I, en referencia a análogos de nucleósidos y nucleótidos de origen natural típicamente abreviados de la misma manera. En algunos casos, una base puede funcionar de una manera más universal, por ejemplo, funcionando como cualquiera de las bases de purina que son capaces de hibridar con cualquier base de pirimidina, o viceversa. Los restos de base usados en la presente invención pueden incluir las bases convencionales descritas en este documento o pueden incluir dichas bases sustituidas en uno o más grupos laterales, u otras bases fluorescentes o análogos de base, tales como 1,N6 etenoadenosina o pirrolo C, en que una estructura anular adicional hace que el grupo B no sea una purina ni una pirimidina. Por ejemplo, en determinados casos, puede ser deseable sustituir uno o más grupos laterales del resto de base con un grupo de marcaje o un componente de un grupo de marcaje, tal como uno de un fluoróforo donante o aceptor, u otro grupo de marcaje. Se describen ejemplos de nucleobases marcadas y procesos para marcar dichos grupos en, por ejemplo, las patentes de Estados Unidos n.º 5.328.824 y 5.476.928.

En los análogos, el grupo S es opcionalmente un resto de azúcar que proporciona una estructura adecuada para una hebra de ácido nucleico en síntesis. Por ejemplo, el resto de azúcar se selecciona opcionalmente de restos *D*-ribosilo, 2' o 3' *D*-desoxirribosilo, 2',3'-*D*-didesoxirribosilo, 2', 3'-D-didesoxirribosilo, 2' o 3' alcoxirribosilo, 2' o 3' alcoxirribosilo, 2' o 3' alcoxirribosilo, 2' o 3' alcoxirribosilo, acíclicos, carbocíclicos u otros restos de azúcar modificados. Puede incorporarse una diversidad de restos carbocíclicos o acíclicos como el grupo "S" en lugar de un resto de azúcar, incluyendo, por ejemplo, los descritos en la solicitud de patente de Estados Unidos publicada n.º 2003/0124576, anteriormente incorporada en este documento por referencia en su totalidad a todos los fines.

Para la mayoría de los casos, la cadena que contiene fósforo en los análogos, por ejemplo, un trifosfato en NTP convencionales, se acopla preferentemente al grupo hidroxilo 5', como en nucleósidos trifosfato naturales. Sin embargo, en algunos casos, la cadena que contiene fósforo se une al grupo S por el grupo hidroxilo 3'.

L generalmente se refiere a un grupo de marcaje detectable que se acopla al átomo de fósforo terminal mediante el grupo R<sub>4</sub> (o R<sub>10</sub> o R<sub>12</sub>). Los grupos de marcaje empleados en los análogos de la invención pueden comprender cualquiera de una diversidad de marcadores detectables. Los marcadores detectables generalmente indican un resto químico que proporciona una base para la detección del compuesto análogo diferente y distinto del mismo compuesto que carece de dicho grupo de marcaje. Los ejemplos de marcadores incluyen, por ejemplo, marcadores ópticos, por ejemplo, marcadores que confieren una propiedad óptica detectable al análogo, marcadores electroquímicos, por ejemplo, marcadores que confieren una propiedad eléctrica o electroquímica detectable al análogo, marcadores físicos, por ejemplo, marcadores que confieren una propiedad física o espacial diferente al análogo, por ejemplo, una marca de masa o marca de volumen molecular. En algunos casos, pueden usarse marcadores individuales o combinaciones que confieren más de una de las propiedades mencionadas anteriormente a los análogos de la invención.

Opcionalmente, los grupos de marcaje incorporados en los análogos comprenden restos detectables ópticamente, tales como restos luminiscentes, quimioluminiscentes, fluorescentes, fluoregénicos, cromofóricos y/o cromogénicos, siendo preferidos los marcadores fluorescentes y/o fluorogénicos. Se emplea fácilmente una diversidad de restos marcadores diferentes en los análogos nucleotídicos. Dichos grupos incluyen marcadores de fluoresceína, marcadores de rodamina, marcadores de cianina (es decir, Cy3, Cy5 y similares, generalmente disponible en la división Amersham Biosciences de GE Healthcare), la familia Alexa de colorantes fluorescentes y otros colorantes fluorescentes y fluorogénicos disponibles en Molecular Probes/Invitrogen, Inc., y descritos en 'The Handbook - A Guide to Fluorescent Probes and Labeling Technologies, décima edición' (2005) (disponibles en Invitrogen, Inc./Molecular Probes). Se describe una diversidad de otros marcadores fluorescentes y fluorogénicos para su uso con nucleósidos polifosfato, y que serían aplicables a los análogos nucleotídicos incorporados por las polimerasas de la presente invención en, por ejemplo, la solicitud de patente de Estados Unidos publicada n.º 2003/0124576, cuya divulgación completa se incorpora en este documento en su totalidad a todos los fines.

Pueden encontrarse detalles adicionales respecto a los análogos y los métodos de preparación de dichos análogos en la solicitud de patente de Estados Unidos n.º 11/241.809, presentada el 29 de septiembre de 2005 e incorporada en este documento por referencia en su totalidad a todos los fines.

Por tanto, en un ejemplo ilustrativo, el análogos puede ser un análogo de fosfato (por ejemplo, un análogo que tiene una cantidad de fosfatos mayor de la típica encontrada en nucleósidos trifosfato) que incluyen, por ejemplo, un marcador de colorante Alexa. Por ejemplo, un colorante Alexa488 puede usarse como marcador en un fosfato delta (indicado, por ejemplo, A488dC4P), o puede usarse un colorante Alexa568 o Alexa633 (por ejemplo, A568dC4P y A633dC4P, respectivamente), o puede usarse un colorante Alexa546 (por ejemplo, A546dG4P), o puede usarse un colorante Alexa594 (por ejemplo, A594dT4P). Asimismo, para facilitar la separación de colores, puede usarse como marcador un par de fluoróforos que muestran FRET (transferencia de energía de resonancia de fluorescencia) en un fosfato delta de un análogo tetrafosfato (indicado, por ejemplo, FAM-amb-A532dG4P o FAM-amb-A594dT4P).

Modificación de ADN polimerasas para reducir las características de impedancia estérica y/o para añadir características de complementariedad

## Diseño basado en la estructura de polimerasas recombinantes

5

10

15

20

25

40

45

50

55

60

65

Los datos estructurales para una polimerasa pueden usarse para identificar convenientemente restos aminoacídicos como candidatos para mutagénesis para crear polimerasas recombinantes que tengan regiones de sitio activo modificadas. Por ejemplo, el análisis de la estructura tridimensional de una polimerasa puede identificar restos que impiden estéricamente el acceso al sitio activo por un nucleótido natural o análogo nucleotídico o análogo del mismo o que puede mutarse para introducir una característica complementaria a una característica no natural del análogo, por ejemplo, añadiendo o alterando la carga, la hidrofobicidad, el tamaño o similares.

Se han determinado las estructuras tridimensionales de una gran cantidad de ADN polimerasas por cristalografía de rayos X y espectroscopia de resonancia magnética nuclear (RMN), incluyendo las estructuras de polimerasas con moldes unidos, nucleótidos y/o análogos nucleotídicos. Muchas de estas estructuras están disponibles gratuitamente para su descarga del Protein Data Bank, en (www(punto)rcsb(punto)org/pdb. Las estructuras, junto con la información de dominios y homología, también están disponibles gratuitamente para su búsqueda y descarga del National Center for Biotechnology Information's Molecular Modeling DataBase, en www(punto)ncbi(punto)nlm(punto)nih(punto)gov/Structure/MMDB/mmdb(punto)shtml. Las estructuras de polimerasas adicionales pueden modelarse, por ejemplo, basándose en la homología de las polimerasas con polimerasas cuyas estructuras ya se han determinado. Como alternativa, puede determinarse la estructura de una polimerasa dada, opcionalmente en complejo con un análogo nucleotídico, o similar.

También son muy conocidas las técnicas de determinación de la estructura cristalina. Véase, por ejemplo, McPherson (1999) Crystallization of Biological Macromolecules Cold Spring Harbor Laboratory; Bergfors (1999) Protein Crystallization International University Line; Mullin (1993) Crystallization Butterwoth-Heinemann; Stout y Jensen (1989) X-ray structure determination: a practical guide, 2.ª edición Wiley Publishers, Nueva York; Ladd y Palmer (1993) Structure determination by X-ray crystallography, 3.ª edición Plenum Press, Nueva York; Blundell y

Johnson (1976) Protein Crystallography Academic Press, Nueva York; Glusker y Trueblood (1985) Crystal structure analysis: A primer, 2.ª Ed. Oxford University Press, Nueva York; International Tables for Crystallography, Vol. F. Crystallography of Biological Macromolecules; McPherson (2002) Introduction to Macromolecular Crystallography Wiley-Liss; McRee y David (1999) Practical Protein Crystallography, segunda edición Academic Press; Drenth (1999) Principles of Protein X-Ray Crystallography (Springer Advanced Texts in Chemistry) Springer-Verlag; Fanchon y Hendrickson (1991) capítulo 15 de Crystallographic Computing, Volumen 5 IUCr/Oxford University Press; Murthy (1996) capítulo 5 de Crystallographic Methods and Protocols Humana Press; Dauter et al. (2000) "Novel approach to phasing proteins: derivatization by short cryo-soaking with halides" Acta Cryst.D56:232-237; Dauter (2002) "New approaches to high-throughput phasing" Curr. Opin. Structural Biol. 12:674-678; Chen et al. (1991) "Crystal structure of a bovine neurophysin-II dipeptide complex at 2.8 Å determined from the single-wavelength anomalous scattering signal of an incorporated iodine atom" Proc. Natl Acad. Sci. USA, 88:4240-4244; y Gavira et al. (2002) "Ab initio crystallographic structure determination of insulin from protein to electron density without crystal handling" Acta Cryst.D58:1147-1154.

10

30

35

40

45

50

55

Además, está disponible al público una diversidad de programas para facilitar la recogida de datos, la determinación de fase, la construcción y refinado del modelo, y similares. Los ejemplos incluyen, aunque sin limitación, el paquete HKL2000 (Otwinowski y Minor (1997) "Processing of X-ray Diffraction Data Collected in Oscillation Mode" Methods in Enzymology 276:307-326), el paquete CCP4 (Collaborative Computational Project (1994) "The CCP4 suite: programs for protein crystallography" Acta Crystallogr D 50:760-763), SOLVE y RESOLVE (Terwilliger y Berendzen (1999) Acta Crystallogr D 55 (Pt 4):849-861), SHELXS y SHELXD (Schneider y Sheldrick (2002) "Substructure solution with SHELXD" Acta Crystallogr D Biol Crystallogr 58:1772-1779), Refmac5 (Murshudov et al. (1997) "Refinement of Macromolecular Structures by the Maximum-Likelihood Method" Acta Crystallogr D 53:240-255), PRODRG (van Aalten et al. (1996) "PRODRG, a program for generating molecular topologies and unique molecular descriptors from coordinates of small molecules" J Comput Aided Mol Des 10:255-262), y O (Jones et al. (1991) "Improved methods for building protein models in electron density maps and the location of errors in these models" Acta Crystallogr A 47 (Pt 2): 110-119).

Asimismo, las técnicas para la determinación de la estructura por espectroscopia de RMN están bien descritas en la bibliografía. Véase, por ejemplo, Cavanagh et al. (1995) Protein NMR Spectroscope: Principles and Practice, Academic Press; Levitt (2001) Spin Dynamics: Basics of Nuclear Magnetic Resonance, John Wiley & Sons; Evans (1995) Biomolecular NMR Spectroscopy, Oxford University Press; Wüthrich (1986) NMR of Proteins and Nucleic Acids (Baker Lecture Series), Kurt Wiley-Interscience; Neuhaus y Williamson (2000) The Nuclear Overhauser Effect in Structural and Conformational Analysis, 2.ª edición, Wiley-VCH; Macomber (1998) A Complete Introduction to Modern NMR Spectroscopy, Wiley-Interscience; Downing (2004) Protein NMR Techniques (Methods in Molecular Biology), 2.ª edición, Humana Press; Clore y Gronenborn (1994) NMR of Proteins (Topics in Molecular and Structural Biology), CRC Press; Reid (1997) Protein NMR Techniques, Humana Press; Krishna y Berliner (2003) Protein NMR for the Millenium (Biological Magnetic Resonance), Kluwer Academic Publishers; Kiihne y De Groot (2001) Perspectives on Solid State NMR in Biology (Focus on Structural Biology, 1), Kluwer Academic Publishers; Jones et al. (1993) Spectroscopic Methods and Analyses: NMR, Mass Spectrometry, and Related Techniques (Methods in Molecular Biology, Vol. 17), Humana Press; Goto y Kay (2000) Curr. Opin. Struct. Biol. 10:585; Gardner (1998) Annu. Rev. Biophys. Biomol. Struct. 27:357; Wüthrich (2003) Angew. Chem. Int. Ed. 42:3340; Bax (1994) Curr. Opin. Struct. Biol. 4:738; Pervushin et al. (1997) Proc. Natl. Acad. Sci. U.S.A. 94:12366; Fiaux et al. (2002) Nature 418:207; Fernández y Wider (2003) Curr. Opin. Struct. Biol. 13:570; Ellman et al. (1992) J. Am. Chem. Soc. 114:7959; Wider (2000) BioTechniques 29:1278-1294; Pellecchia et al. (2002) Nature Rev. Drug Discov. (2002) 1:211-219; Arora y Tamm (2001) Curr. Opin. Struct. Biol. 11:540-547; Flaux et al. (2002) Nature 418:207-211; Pellecchia et al. (2001) J. Am. Chem. Soc. 123:4633-4634; y Pervushin et al. (1997) Proc. Natl. Acad. Sci. USA 94:12366-12371.

La estructura de una polimerasa con un análogo nucleotídico dado incorporado en el sitio activo, según se indica, puede determinarse directamente, por ejemplo, por cristalografía de rayos X o espectroscopia de RMN, o la estructura puede modelarse basándose en la estructura de la polimerasa y/o una estructura de una polimerasa con un nucleótido natural unido. La región de sitio activo de la polimerasa puede identificarse, por ejemplo, por homología con otras polimerasas, examen de los complejos conjuntos de polimerasa-molde o polimerasa-nucleótido, análisis bioquímicos de polimerasas mutantes y/o similares. La posición de un análogo nucleotídico en el sitio activo puede modelarse, por ejemplo, proyectando la localización de características no naturales del análogo (por ejemplo, grupos fosfato o fosfonato adicionales en la cadena que contiene fósforo unida al nucleótido, por ejemplo, grupos tetra, penta o hexafosfato, grupos de marcaje detectables, por ejemplo, colorantes fluorescentes o similares) basándose en la localización determinada previamente de otro nucleótido o análogo nucleotídico en el sitio activo.

Dicho modelado del análogo nucleotídico en el sitio activo puede implicar la simple inspección visual de un modelo de la polimerasa, por ejemplo, usando un software de gráficos moleculares tales como el visor PyMOL (fuente libre, disponible gratuitamente en Internet en www(punto)pymol(punto)org) o Insight II (disponible en el mercado en Accelrys en (www(punto)accelrys(punto)com/products/insight). Como alternativa, el modelado del análogo nucleotídico en el sitio activo de la polimerasa o una polimerasa mutante putativa, por ejemplo, puede implicar el acoplamiento asistido por ordenador, la dinámica molecular, la minimización de energía libre y/o cálculos similares.

Dichas técnicas de modelado se han descrito bien en la bibliografía; véase, por ejemplo, Babine y Abdel-Meguid (eds.) (2004) Protein Crystallography in Drug Design, Wiley-VCH, Weinheim; Lyne (2002) "Structure-based virtual

screening: An overview" Drug Discov. Today 7:1047-1055; Molecular Modeling for Beginners, en (www(punto)usm(punto)maine(punto)edu/~rhodes/SPVTut/index(punto)html; y Methods for Protein Simulations and Drug Design en (www(punto)ddc(punto)ac(punto)cn/embo04; y referencias en los mismos. El software para facilitar dicho modelado está ampliamente disponible, por ejemplo, el paquete de simulación CHARMm, disponible académicamente en la Universidad de Harvard o en el mercado en Accelrys (en www(punto)accelrys(punto)com), el paquete de simulación Discover (incluido en Insight II, *supra*) y Dynama (disponible en (www(punto)cs(punto)gsu(punto)edu/~cscrwh/progs/progs(punto)html). Véase también una amplia lista de software de modelado en (www(punto)netsci(punto)org/Resources/Software/Modeling/MMMD/top(punto)html.

10 La inspección visual y/o el análisis en ordenador de un modelo de polimerasa puede identificar las características relevantes de la región de sitio activo, incluyendo, por ejemplo, restos que pueden inhibir estéricamente la entrada de un análogo nucleotídico en el sitio activo (por ejemplo, restos indeseablemente cercanos a la localización proyectada de uno o más átomos dentro del análogo cuando el análogo está unido a la polimerasa). Dicho resto, por ejemplo, puede eliminarse o remplazarse con un resto que tiene una cadena lateral más pequeña; por ejemplo, 15 muchos restos pueden remplazarse convenientemente con un resto que tenga características similares, pero una cadena lateral del aminoácido más corta o, por ejemplo, con alanina. Asimismo, pueden identificarse los restos que pueden alterarse para introducir interacciones deseables con el análogo nucleotídico. Dicho resto puede remplazarse con un resto que sea complementario a una características no natural del análogo, por ejemplo, con un resto que puede estar unido por hidrógeno al análogo (por ejemplo, serina, treonina, histidina, asparagina o glutamina), un resto hidrófobo que puede interactuar con un grupo hidrófobo en el análogo, un resto aromático que 20 puede proporcionar interacciones hidrófobas favorables con un grupo en el análogo (por ejemplo, un fluoróforo), un resto aromático que puede acoplar en una interacción  $\pi$ - $\pi$  o de apilamiento de borde-superficie con un grupo aromático en el análogo, un resto que puede acoplar en una interacción catión- $\pi$  con el análogo, o un resto cargado (por ejemplo, ácido aspártico o glutámico, o lisina, arginina o histidina) que puede interactuar de forma electrostática 25 con un resto de carga opuesta en el análogo (por ejemplo, un grupo fosfato adicional).

Únicamente como un ejemplo específico de dicho diseño basado en estructura, la inspección de un modelo de la polimerasa Φ29 identificó el dominio Δ505-525 y los restos K135, E486 y K512 como inhibidores estéricos potenciales de la entrada de un análogo en el sitio activo, y sugirió que la mutación de E375 en histidina, lisina o arginina introduciría una carga positiva complementaria a un tetrafosfato no natural en el análogo. Asimismo, la inspección del modelo sugirió que la mutación de E375 en un resto aromático tal como triptófano, tirosina o fenilalanina mejoraría las interacciones hidrófobas con un fluoróforo en el análogo. Véanse los ejemplos 2 y 3 a continuación para detalles adicionales.

Por tanto, además de los métodos de uso de las polimerasas y otras composiciones de este documento, la presente invención también incluye métodos de preparación de las polimerasas. Como se describe, los métodos de preparación de una ADN polimerasa recombinante pueden incluir el modelado estructural de una primera polimerasa, por ejemplo, usando cualquier estructura cristalina disponible y el software o sistema de modelado molecular. Basándose en el modelado, se identifica una o más características de inhibición estérica o características de complementariedad que afectan al acceso del nucleótido al sitio activo y/o la unión de un análogo nucleotídico dentro de la región de sitio activo, por ejemplo, en el sitio activo o próximo al mismo. La primera ADN polimerasa se muta para reducir o eliminar al menos una característica de inhibición estérica o para añadir la característica de complementariedad.

#### 45 Mutación de regiones de sitio activo

30

50

55

60

65

Diversos tipos de mutagénesis se usan opcionalmente en la presente invención, por ejemplo, para modificar las polimerasas para producir variantes que comprenden características de complementariedad y/o para reducir características de impedancia estérica, por ejemplo, de acuerdo con modelos de polimerasa y predicciones de modelos como se analiza anteriormente. En general, puede usarse cualquier procedimiento de mutagénesis disponible para generar dichos mutantes. Dichos procedimientos de mutagénesis incluyen la sección de ácidos nucleicos mutantes y polipéptidos para una o más actividades de interés (por ejemplo, K<sub>m</sub>, V<sub>max</sub>, k<sub>cat</sub> mejoraada, etc., para un análogo nucleotídico). Los procedimientos que pueden usarse incluyen, aunque sin limitación: mutagénesis puntual dirigida al sitio, mutagénesis puntual aleatoria, recombinación homóloga *in vitro* o *in vivo* (reordenamiento de ADN), mutagénesis usando moldes que contienen uracilo, mutagénesis dirigida por oligonucleótido, mutagénesis de ADN modificado por fosforotioato, mutagénesis usando ADN dúplex con huecos, reparación de emparejamientos incorrectos puntuales, mutagénesis usando cepas hospedadoras de reparación defectuosa, selección de restricción y purificación de restricción, mutagénesis por eliminación, mutagénesis por síntesis génica total, PCR degenerada, reparación de roturas bicatenarias, y muchos otros conocidos para los expertos en la materia.

Opcionalmente, la mutagénesis puede estar guiada por información conocida de una molécula de polimerasa de origen natural, o de una polimerasa alterada o mutada conocida (por ejemplo, usando una polimerasa mutante existente que presenta actividad exonucleasa reducida), por ejemplo, la secuencia, comparaciones de secuencia, propiedades físicas, estructura cristalina y/o similares como se analiza anteriormente. Sin embargo, en otra clase de realizaciones, la modificación puede ser esencialmente aleatoria (por ejemplo, como en reordenamiento clásico de ADN).

Se encuentra información adicional sobre formatos de mutación en: Sambrook et al., Molecular Cloning - A Laboratory Manual (3.ª Ed.), Vol. 1-3, Cold Spring Harbor Laboratory, Cold Spring Harbor, Nueva York, 2000 ("Sambrook"); Current Protocols in Molecular Biology, F.M. Ausubel et al., eds., Current Protocols, un proyecto conjunto entre Greene Publishing Associates, Inc. y John Wiley & Sons, Inc., (suplementado hasta 2006) ("Ausubel")) y PCR Protocols A Guide to Methods and Applications (Innis et al. eds) Academic Press Inc. San Diego, CA (1990) (Innis). Las siguientes publicaciones y referencias citadas en los mismos proporcionan más detalles adicionales sobre formatos de mutación: Arnold, Protein engineering for unusual environments, Current Opinion in Biotechnology 4:450-455 (1993); Bass et al., Mutant Trp repressors with new DNA-binding specificities, Science 242:240-245 (1988); Botstein y Shortle, Strategies and applications of in vitro mutagenesis, Science 229:1193-1201(1985); Carter et al., Improved oligonucleotide site-directed mutagenesis using M13 vectors, Nucl. Acids Res. 13: 4431-4443 (1985); Carter, Site-directed mutagenesis, Biochem. J. 237:1-7 (1986); Carter, Improved oligonucleotide-directed mutagenesis using M13 vectors, Methods in Enzymol. 154: 382-403 (1987); Dale et al., Oligonucleotide-directed random mutagenesis using the phosphorothioate method, Methods Mol. Biol. 57:369-374 (1996); Eghtedarzadeh y Henikoff, Use of oligonucleotides to generate large deletions, Nucl. Acids Res. 14: 5115 (1986); Fritz et al., Oligonucleotide-directed construction of mutations: a gapped duplex DNA procedure without enzymatic redactions in vitro, Nucl. Acids Res. 16: 6987-6999 (1988); Grundström et al., Oligonucleotide-directed mutagenesis by microscale 'shot-gun' gene synthesis, Nucl. Acids Res. 13: 3305-3316 (1985); Kunkel, The efficiency of oligonucleotide directed mutagenesis, in Nucleic Acids & Molecular Biology (Eckstein, F. y Lilley, D.M.J. eds., Springer Verlag, Berlín)) (1987); Kunkel, Rapid and efficient site-specific mutagenesis without phenotypic selection, Proc. Natl. Acad. Sci. USA 82:488-492 (1985); Kunkel et al., Rapid and efficient site-specific mutagenesis without phenotypic selection, Methods in Enzymol. 154, 367-382 (1987); Kramer et al., The gapped duplex DNA approach to oligonucleotide-directed mutation construction, Nucl. Acids Res. 12: 9441-9456 (1984); Kramer & Fritz Oligonucleotide-directed construction of mutations via gapped duplex DNA, Methods in Enzymol. 154:350-367 (1987); Kramer et al., Point Mismatch Repair, Cell 38:879-887 (1984); Kramer et al., Improved enzymatic in vitro reactions in the gapped duplex DNA approach to oligonucleotide-directed construction of mutations, Nucl. Acids Res. 16: 7207 (1988); Ling et al., Approaches to DNA mutagenesis: an overview, Anal Biochem. 254(2): 157-178 (1997); Lorimer and Pastan Nucleic Acids Res. 23, 3067-8 (1995); Mandecki, Oligonucleotide-directed double-strand break repair in plasmids of Escherichia coli: a method for site-specific mutagenesis, Proc. Natl. Acad. Sci. USA, 83:7177-7181 (1986); Nakamaye y Eckstein, Inhibition of restriction endonuclease Nci I cleavage by phosphorothioate groups and its application to oligonucleotide-directed mutagenesis, Nucl. Acids Res. 14: 9679-9698 (1986); Nambiar et al., Total synthesis and cloning of a gene coding for the ribonuclease S protein, Science 223: 1299-1301 (1984); Sakamar y Khorana, Total synthesis and expression of a gene for the a-subunit of bovine rod outer segment guanine nucleotide-binding protein (transducin), Nucl. Acids Res. 14: 6361-6372 (1988); Sayers et al., Y-T Exonucleases in phosphorothioate-based oligonucleotide-directed mutagenesis, Nucl. Acids Res. 16:791-802 (1988); Sayers et al., Strand specific cleavage of phosphorothioate-containing DNA by reaction with restriction endonucleases in the presence of ethidium bromide, (1988) Nucl. Acids Res. 16: 803-814; Sieber, et al., Nature Biotechnology, 19:456-460 (2001); Smith, In vitro mutagenesis, Ann. Rev. Genet. 19:423-462(1985); Methods in Enzymol. 100: 468-500 (1983); Methods in Enzymol. 154: 329-350 (1987); Stemmer, Nature 370, 389-91 (1994); Taylor et al., The use of phosphorothioate-modified DNA in restriction enzyme reactions to prepare nicked DNA, Nucl. Acids Res. 13: 8749-8764 (1985); Taylor et al., The rapid generation of oligonucleotide-directed mutations at high frequency using phosphorothioate-modified DNA, Nucl. Acids Res. 13: 8765-8787 (1985); Wells et al., Importance of hydrogen-bond formation in stabilizing the transition state of subtilisin, Phil. Trans. R. Soc. Lond. A 317: 415-423 (1986); Wells et al., Cassette mutagenesis: an efficient method for generation of multiple mutations at defined sites, Gene 34:315-323 (1985); Zoller y Smith, Oligonucleotide-directed mutagenesis using M13-derived vectors: an efficient and general procedure for the production of point mutations in any DNA fragment, Nucleic Acids Res. 10:6487-6500 (1982); Zoller y Smith, Oligonucleotide-directed mutagenesis of DNA fragments cloned into M13 vectors, Methods in Enzymol. 100:468-500 (1983); yZoller y Smith, Oligonucleotide-directed mutagenesis: a simple methods using two oligonucleotide primers and a single-stranded DNA template, Methods in Enzymol. 154:329-350 (1987). Pueden encontrarse detalles adicionales sobre muchos de los métodos anteriores en Methods in Enzymology Volumen 154, que también describe controles útiles para resolver problemas con diversos métodos de mutagénesis.

#### Determinación de parámetros cinéticos

10

15

20

25

30

35

40

45

50

55

60

65

Las polimerasas de la invención pueden cribarse o ensayarse de otro modo para determinar si la polimerasa presenta una actividad modificada para o con un análogo nucleotídico en comparación con la primera ADN polimerasa (por ejemplo, una polimerasa de tipo silvestre correspondiente de la que se obtuvo la polimerasa recombinante). Por ejemplo, puede determinarse la  $k_{cat}$ ,  $K_m$ ,  $V_{max}$ ,  $k_{cat}$ / $K_m$ ,  $k_{pol}$  y/o  $k_d$  de la ADN polimerasa recombinante para el análogo nucleotídico. Además, también puede determinarse la  $k_{cat}$ ,  $k_m$ ,  $k_{max}$ / $k_m$ ,  $k_{max}$ / $k_m$ ,  $k_{pol}$  y/o  $k_d$  de la ADN polimerasa recombinante para un nucleótido natural (por ejemplo, cuando la polimerasa incluye de forma deseada la actividad de incorporación de nucleótidos tanto análogos como naturales).

Como es bien sabido en la técnica, para enzimas que cumple la cinética simple de Michaelis-Menten, los parámetros cinéticos se obtienen fácilmente de las tasas de catálisis medidas a diferentes concentraciones de sustrato. La ecuación de Michaelis-Menten,  $V = V_{max}[S]([S]+K_m)^{-1}$ , se refiere a la concentración de sustrato no combinado ([S], aproximada por la concentración de sustrato total), la tasa máxima ( $V_{max}$ , obtenida cuando la enzima se satura con

sustrato) y la constante de Michaelis ( $K_m$ , igual a la concentración de sustrato a la que la velocidad de reacción es la mitad de su valor máximo), para la velocidad de reacción (V).

Para muchas enzimas, la K<sub>m</sub> es igual a la constante de disociación del complejo de enzima-sustrato y es, por tanto, una medida de la resistencia del complejo de enzima-sustrato. Para dicha enzima, en una comparación de K<sub>m</sub>s, una K<sub>m</sub> inferior representa un complejo con unión más fuerte, mientras que una Km mayor representa un complejo con unión más débil. La relación k<sub>cal</sub>/K<sub>m</sub>, a veces llamada la constante de especificidad, representa la constante de velocidad aparente para la combinación de sustrato con enzima libre. Cuanto mayor sea la constante de especificidad, más eficaz será la enzima en la unión al sustrato y su conversión en producto.

10

15

5

La  $k_{cat}$  (también llamada el número de recambio de la enzima) puede determinarse si la concentración de enzima total ([E<sub>T</sub>], es decir, la concentración de sitios activos) es conocida, ya que  $V_{max} = k_{cat}[E_T]$ . Para situaciones en las que la concentración de enzima total es difícil de medir, a menudo se usa la relación  $V_{max}/K_m$  en su lugar como una medida de la eficacia. La  $K_m$  y la  $V_{max}$  pueden determinarse, por ejemplo, a partir de un diagrama de Lineweaver-Burk de 1/V frente a 1/[S], en el que la ordenada en el origen representa 1/ $V_{max}$ , la abscisa en el origen -1/ $K_m$  y la pendiente  $K_m/V_{max}$ , o a partir de un diagrama de Eadie-Hofstee de V frente a  $V_m/V_m$ , en el que la ordenada en el origen representa  $V_m/V_m$ , la abscisa en el origen  $V_m/V_m$ , y la pendiente - $V_m/V_m$ . Los paquetes de software, tales como KinetAsyst o Enzfit (Biosoft, Cambridge, R.U.) pueden facilitar la determinación de los parámetros cinéticos a partir de datos de tasas catalíticas.

20

Para enzimas tales como polimerasas que tienen múltiples sustratos, variar la concentración de únicamente un sustrato mientras se mantienen los otros en una concentración en exceso adecuada (por ejemplo, realmente constante) típicamente produce una cinética normal de Michaelis-Menten.

25

30

En una realización, usando una cinética previa al estado estacionario, la dependencia en la concentración de nucleótidos de la tasa  $k_{obs}$  (la constante de velocidad de primer orden observada para la incorporación de dNTP) proporciona una estimación de la  $K_m$  para una unión en estado basal y la tasa máxima de polimerización ( $k_{pol}$ ). La  $k_{obs}$  se mide usando un ensayo de descarga. Los resultados del ensayo se ajustan con la ecuación de descarga; Producto = A[1-exp(- $k_{obs}$ \*t)]+ $k_{ss}$ \*t en la que A representa la amplitud y la estimación de la concentración de los sitios activos de la enzima,  $k_{ss}$  es la constante de velocidad en estado estacionario observada y t es el tiempo de incubación de reacción. La  $K_m$  para la unión de dNTP al complejo de polimerasa-ADN y la  $k_{pol}$  se calculan ajustando el cambio dependiente de la concentración de dNTP en la  $k_{obs}$  usando la ecuación  $k_{obs}$  = ( $k_{pol}$ \*[S])\*( $k_m$ +[S])-1 en la que [S] es la concentración de sustrato. Los resultado se obtienen opcionalmente de un experimento de inactivación rápida (también llamado una medición de flujo de inactivación), por ejemplo, basado en los métodos descritos en Johnson (1986) "Rapid kinetic analysis of mechanochemical adenosinetriphosphatases" Methods Enzymol. 134:677-705, Patel et al. (1991) "Pre-steady-state kinetic analysis of processive DNA replication including complete characterization of an exonuclease-deficient mutant" Biochemistry 30(2):511-25, y Tsai y Johnson (2006) "A new paradigm for DNA polymerase specificity" Biochemistry 45(32):9675-87.

35

Los parámetros tales como la tasa de unión de un análogo nucleotídico por la polimerasa recombinante, la tasa de liberación de producto por la polimerasa recombinante, o la tasa de ramificación de la polimerasa recombinante (la "tasa de ramificación" es la tasa de disociación de un nucleótido o análogo nucleotídico del sitio activo de la polimerasa sin incorporación del nucleótido o análogo nucleotídico, donde el nucleótido o análogo nucleotídico, si se incorporó, formaría pares de bases correctamente con un nucleótido o análogo nucleotídico complementario en el molde) también pueden determinarse y, opcionalmente, compararse con las de la primera polimerasa (por ejemplo, una polimerasa de tipo silvestre correspondiente). Véase, por ejemplo, el ejemplo 3 en este documento.

'

Para un análisis más minucioso de la cinética de las enzimas, véase, por ejemplo, Berg, Tymoczko, y Stryer (2002) Biochemistry, Quinta Edición, W. H. Freeman; Creighton (1984) Proteins: Structures and Molecular Principle, W. H. Freeman; y Fersht (1985) Enzyme Structure and Mechanism, Segunda edición, W. H. Freeman.

55

50

Como se analiza anteriormente, la ADN polimerasa relevante tiene una región de sitio activo modificada que es homóloga a una región de sitio activo de tipo silvestre de una ADN polimerasa de tipo silvestre, por ejemplo, que incluye una o más modificaciones estructurales respecto a la región de sitio activo de tipo silvestre que aumenta la actividad relativa de la enzima para uno o más de los nucleótidos naturales y/o análogos nucleotídicos, siendo los aumentos en la actividad para análogos nucleotídicos un objetivo preferido. En al menos un aspecto, sin comprometerse a teoría particular alguna de funcionamiento, las modificaciones están dirigidas a reducir la inhibición estérica para la entrada del análogo nucleotídico en el sitio activo modificado y/o que es complementario a una o más características no naturales del análogo nucleotídico. Un valor de K<sub>m</sub> de la polimerasa recombinante para el análogo nucleotídico típicamente es inferior a una K<sub>m</sub> para una polimerasa de tipo silvestre homóloga correspondiente para el análogo nucleotídico.

60

65

En un aspecto, la actividad mejorada de las enzimas de la invención se mide con referencia a un análogo o conjunto de análogos modelo y se compara con una enzima precursora dada. Por ejemplo, en el caso de enzimas derivadas de una enzima precursora Φ29, una enzima mejorada de la invención tendría una Km inferior a la de la enzima precursora, por ejemplo, Φ29 de tipo silvestre o Φ29 N62D, hacia un análogo dado. En general, con fines analíticos,

los ejemplos de enzimas mejoradas de la invención se podrán caracterizar teniendo  $K_m$  inferiores hacia A488dC4P y/o A568dC4P, dos análogos que se han procesado razonablemente bien y se han procesado razonablemente mal por enzimas derivadas de  $\Phi$ 29, respectivamente, que son, por ejemplo, de aproximadamente un 5 % o menor a aproximadamente un 90 % o menor de la Km poseída por  $\Phi$ 29 N62D hacia los mismos análogos. Por ejemplo, como se expone en más detalle en los ejemplos a continuación, por ejemplo, en la tabla 2,  $\Phi$ 29 His-375H-N62D presenta una  $K_m$  que es aproximadamente un 40 % de la  $K_m$  de  $\Phi$ 29 N62D para A488dC4P, mientras que  $\Phi$ 29 His-375S-N62D presenta una  $K_m$  que es aproximadamente un 75 % de la  $K_m$  de  $\Phi$ 29 N62D para A488dC4P. Asimismo,  $\Phi$ 29 His-375H-N62D presenta una  $K_m$  que es aproximadamente un 15 % de la  $K_m$  de  $\Phi$ 29 N62D para A568dC4P, mientras que  $\Phi$ 29 His-375S-N62D presenta una  $K_m$  que es aproximadamente un 38 % de la  $K_m$  de  $\Phi$ 29 N62D para A568dC4P. Aunque lo anterior puede usarse como herramienta de caracterización, no se pretende, de ninguna manera, como una reacción específicamente limitante de la invención.

#### Cribado de polimerasas

10

25

45

50

55

60

65

Puede usarse cribado u otros protocolos para determinar si una polimerasa presenta una actividad modificada para un análogo nucleotídico en comparación con la primera ADN polimerasa. Por ejemplo, puede determinarse la k<sub>cat</sub>, K<sub>m</sub>, V<sub>max</sub> o k<sub>cat</sub>/K<sub>m</sub> de la ADN polimerasa recombinante para el análogo nucleotídico como se analiza anteriormente. Además, también puede determinarse la k<sub>cat</sub>, K<sub>m</sub>, V<sub>max</sub> o k<sub>cat</sub>/K<sub>m</sub> de la ADN polimerasa recombinante para un nucleótido natural de forma similar (por ejemplo, cuando la polimerasa incluye de forma deseada la actividad de incorporación de nucleótidos tanto análogos como naturales).

En un aspecto deseable, puede prepararse una biblioteca de ADN polimerasas recombinantes y cribarse para estas propiedades. Por ejemplo, puede prepararse una pluralidad de miembros de la biblioteca para que incluyan una o más mutaciones de características de inhibición estérica putativas y/o una mutación para producir supuestamente complementariedad a una o más características no naturales del análogo nucleotídico, que entonces se criba para las propiedades de interés. En general, la biblioteca puede cribarse para identificar al menos un miembro que comprende una actividad modificada de interés.

Las bibliotecas de polimerasas pueden ser de naturaleza física o lógica. Además, puede usarse cualquiera de una amplia diversidad de formatos de biblioteca. Por ejemplo, las polimerasas pueden fijarse a superficies sólidas en matrices de proteínas. Asimismo, pueden construirse matrices en fase líquida de polimerasas (por ejemplo, en placas de micropocillos) para manipulaciones convenientes de líquidos de alto rendimiento de soluciones que comprenden polimerasas. También pueden construirse bibliotecas en fase líquida, de emulsión o de gel de células que expresan polimerasas recombinantes, por ejemplo, en placas de micropocillos, o en placas de agar. Pueden producirse bibliotecas de presentación en fagos de polimerasas o dominios polimerasa (por ejemplo, incluyendo la región de sitio activo). Las instrucciones sobre la preparación y uso de bibliotecas pueden encontrarse, por ejemplo, en Sambrook, Ausubel y Berger, mencionados en este documento.

Para la generación de bibliotecas que implican la transferencia de líquidos a o desde placas de microvaloración, opcionalmente se usa una estación de manipulación de líquidos. Están disponibles en el mercado varias estaciones de manipulación de líquidos "existentes" para realizar dichas transferencias, incluyendo, por ejemplo, los sistemas Zymate de Caliper Life Sciences (Hopkinton, MA) y otras estaciones que utilizan pipetas automatizadas, por ejemplo, junto con la robótica para el movimiento de las placas (por ejemplo, el robot ORCA®, que se usa en una diversidad de sistemas de laboratorio disponibles, por ejemplo, de Beckman Coulter, Inc. (Fullerton, CA).

En una realización alternativa, la manipulación de líquidos se realiza en microchips, por ejemplo, que implican la transferencia de materiales de placas de micropocillos u otros pocillos a través de microcanales sobre los chips hasta los sitios de destino (regiones de microcanales, pocillos, cámaras o similares). Los sistemas de microfluidos disponibles en el mercado incluyen los de Hewlett-Packard/Agilent Technologies (por ejemplo, el bioanalizador HP2100) y el sistema de cribado de alto rendimiento Caliper. El sistema de cribado de alto rendimiento Caliper proporciona una interfaz ejemplar entre los formatos convencionales de bibliotecas en micropocillos y las tecnologías de chips de laboratorio. Además, los textos de patentes y técnicos incluye muchos ejemplos de sistemas de microfluidos que pueden interactuar directamente con placas de micropocillos para la manipulación de líquidos.

### Propiedades deseables

Las polimerasas de la invención pueden incluir cualquiera de una diversidad de propiedades modificadas hacia nucleótidos naturales o análogos nucleotídicos o análogos, dependiendo de la aplicación, incluyendo velocidad aumentada, tiempo de retención aumentado (o velocidad disminuida) para las bases incorporadas, mayor capacidad de procesamiento, etc. Por ejemplo, cuando se desea un mayor nivel de incorporación de análogo nucleotídico, la polimerasa de la invención se selecciona para que tenga una K<sub>m</sub> inferior, una Vmax mayor y/o una k<sub>cat</sub> mayor que una polimerasa de tipo silvestre homóloga correspondiente con respecto a un análogo nucleotídico dado. En ciertas realizaciones, es deseable ralentizar o acelerar la velocidad de incorporación global de nucleótidos de la polimerasa (por ejemplo, dependiendo de la resolución del equipo usado para controlar la incorporación), o para mejorar la capacidad de procesamiento, la especificidad o similares. En ciertas realizaciones, la polimerasa recombinante tiene una tasa aumentada de unión de un análogo nucleotídico, una tasa aumentada de liberación de producto y/o una

tasa disminuida de ramificación, en comparación con una polimerasa de tipo silvestre homóloga correspondiente. Cualquiera de estas características puede cribarse en la selección de una polimerasa de la invención.

Por ejemplo, las polimerasas de la invención típicamente pueden incorporar nucleótidos naturales (por ejemplo, A, C, G y T) en un ácido nucleico de copia en crecimiento. Por ejemplo, la polimerasa recombinante opcionalmente presenta una actividad específica para un nucleótido natural que es al menos aproximadamente un 5 % tan elevada (por ejemplo, 5 %, 10 %, 25 %, 50 %, 75 %, 100 % o mayor) como una polimerasa de tipo silvestre homóloga correspondiente y una capacidad de procesamiento con nucleótidos naturales en presencia de un molde que es al menos un 5 % tan elevada (por ejemplo, 5 %, 10 %, 25 %, 50 %, 75 %, 100 % o mayor) como la polimerasa de tipo silvestre en presencia del nucleótido natural. Opcionalmente, la polimerasa recombinante también presenta una  $k_{cat}/K_m$  o  $V_{max}/K_m$  para un nucleótido de origen natural que es al menos aproximadamente un 10 % tan elevada (por ejemplo, 10 %, 25 %, 50 %, 75 % o 100 % o mayor) como la polimerasa de tipo silvestre.

## Detalles ejemplares adicionales

5

10

15

20

25

30

35

40

45

50

55

60

En este documento se describen varios ejemplos específicos de regiones de sitio activo modificadas. Una "región de sitio activo" es una parte de la polimerasa que incluye o está próxima al sitio activo (por ejemplo, en aproximadamente 2 nm del sitio activo) en una estructura tridimensional de una polimerasa plegada. En este documento se describen ejemplos específicos de modificaciones estructurales dentro de o próximas al sitio activo de la ADN polimerasa Φ29. Por ejemplo, respecto a una ADN polimerasa Φ29 de tipo silvestre, estas modificaciones pueden incluir cualquiera de: una eliminación de Δ505-525, una eliminación dentro del dominio Δ505-525, una mutación K135A, una mutación L384R (por ejemplo, en combinación con otra mutación de este documento), una mutación E375H, una mutación E375S, una mutación E375K, una mutación E375R, una mutación E375A, una mutación E375Q, una mutación E375W, una mutación E375Y, una mutación E375F, una mutación E486A, una mutación E486D, una mutación K512A, una mutación enumerada en la tabla 8 y combinaciones de las mismas. Por ejemplo, la polimerasa puede incluir una combinación de mutaciones seleccionadas de la lista de combinaciones de la tabla 8.

La polimerasa opcionalmente incluye además una o más mutaciones/eliminaciones respecto a la polimerasa de tipo silvestre que reducen o eliminan la actividad exonucleasa endógena. Por ejemplo, respecto a la ADN polimerasa Ф29 de tipo silvestre, N62 opcionalmente se muta o se elimina para reducir la actividad exonucleasa; por ejemplo, la polimerasa puede incluir una mutación N62D. Otras mutaciones ejemplares que reducen la actividad exonucleasa incluyen D12A, T15I, E14I y/o D66A; por consiguiente, las polimerasas de la invención opcionalmente comprenden una o más de estas mutaciones.

Como podrá apreciase, la numeración de los restos aminoacídicos es con respecto a la secuencia de tipo silvestre de la polimerasa Φ29, y la posición real dentro de una molécula de la invención puede variar basándose en la naturaleza de las diversas modificaciones que la enzima incluye respecto a la enzima Φ29 de tipo silvestre, por ejemplo, eliminaciones y/o adicionales a la molécula, en los extremos o dentro de la propia molécula.

## Marcas de afinidad y otras características opcionales de la polimerasa

La ADN polimerasa recombinante opcionalmente incluye características adicionales exógenas o heterólogas a la polimerasa. Por ejemplo, la polimerasa recombinante opcionalmente incluye una o más marcas de afinidad exógenas, por ejemplo, marcas de purificación o de unión a sustrato, tales como una secuencia de marca de 6 His, una marca GST, una secuencia de marca HA, una pluralidad de secuencias de marca de 6 His, una pluralidad de marcas GST, una pluralidad de secuencias de marca HA, una marca SNAP o similares. Estas y otras características útiles en el contexto de una unión de una polimerasa a una superficie se incluyen opcionalmente, por ejemplo, para orientar y/o proteger el sitio activo de la polimerasa cuando la polimerasa se une a una superficie. Otras características útiles incluyen dominios de dimerización recombinantes de la enzima y, por ejemplo, dominios polipeptídicos foráneos grandes acoplados a la polimerasa distantes del sitio activo. Por ejemplo, para Φ29, el sitio activo está en la región C-terminal de la proteína, y los elementos de unión superficial añadidos (dominios adicionales, marcas His, etc.) típicamente están localizados en la región N-terminal para evitar la interferencia con el sitio activo cuando la polimerasa se acopla a una superficie.

En general, los elementos de unión superficial y las marcas de purificación que pueden añadirse a la polimerasa (de forma recombinante o, por ejemplo, químicamente) incluyen, por ejemplo, marcas de polihistidina, marcas HIS-6, biotina, avidina, secuencias GST, secuencias BiTag, marcas S, marcas SNAP, sitios de enterocinasa, sitios de trombina, anticuerpos o dominios de anticuerpo, fragmentos de anticuerpo, antígenos, receptores, dominios de receptor, fragmentos de receptor, ligandos, colorantes, aceptores, inactivadores o combinaciones de los mismos.

Pueden añadirse múltiples dominios de unión superficial para orientar el polipéptido respecto a una superficie y/o para aumentar la unión de la polimerasa a la superficie. Uniendo una superficie a dos o más sitios, a través de dos o más marcas diferentes, la polimerasa se mantiene en una orientación relativamente fija con respecto a la superficie.

65

Se encuentran detalles adicionales sobre la fijación de una polimerasa a una superficie en la solicitud de patente de Estados Unidos 60/753.446 "PROTEIN ENGINEERING STRATEGIES TO OPTIMIZE ACTIVITY OF SURFACE ATTACHED PROTEINS" de Hanzel et al. y la solicitud de patente de Estados Unidos 60/753.515"ACTIVE SURFACE COUPLED POLYMERISES" de Hanzel et al., ambas presentadas el 22 de diciembre de 2005 e incorporadas en este documento por referencia a todos los fines, y en el expediente del mandatario número 105-001210US "PROTEIN ENGINEERING STRATEGIES TO OPTIMIZE ACTIVITY OF SURFACE ATTACHED PROTEINS" de Hanzel et al. y el expediente del mandatario 105-00810US "ACTIVE SURFACE COUPLED POLYMERASES" de Hanzel et al. ambos presentados conjuntamente junto con la presente e incorporados en este documento por referencia a todos los fines.

Aplicaciones para la incorporación potenciada de análogos nucleotídicos por una ADN polimerasa

5

10

15

20

35

40

45

50

55

60

65

Las polimerasas de la invención, los nucleótidos naturales y/o los análogos nucleotídicos y los moldes de ácido nucleico (ADN o ARN) opcionalmente se usan para copiar el ácido nucleico molde. Es decir, una mezcla de la polimerasa, los análogos nucleotídicos y, opcionalmente, nucleótidos naturales y otros reactivos, el molde y un resto de inicio de la replicación se hace reaccionar de tal manera que la polimerasa prolonga el cebador de una manera dependiente del molde. El resto puede ser un cebador oligonucleotídico convencional o, como alternativa, un componente del molde, por ejemplo, el molde puede ser un ADN monocatenario de autocebado, un ADN bicatenario mellado o similares. Asimismo, una proteína terminal puede servir como resto iniciador. Puede incorporarse al menos un análogo nucleotídico en el ADN. El ADN molde puede ser ADN lineal o circular y, en ciertas aplicaciones, es deseablemente un molde circular (por ejemplo, para la replicación por círculo rodante o para la secuenciación de moldes circulares). Opcionalmente, la composición puede estar presente en un sistema automatizado de replicación y/o secuenciación de ADN.

La incorporación de análogos nucleotídicos marcados por las polimerasas de la invención son particularmente útiles en una diversidad de diferentes análisis de ácidos nucleicos, incluyendo el control a tiempo real de la polimerización del ADN. El propio marcador puede incorporarse, o más preferentemente, puede liberarse durante la incorporación. Por ejemplo, la incorporación de análogos puede controlarse a tiempo real controlando la liberación de marcador durante la incorporación del análogo por la polimerasa. La parte del análogo que se incorpora puede ser igual que un nucleótido natural, o puede incluir características del análogo que difieren de un nucleótido natural.

En general, la incorporación o liberación del marcador puede usarse para indicar la presencia y composición de una hebra de ácido nucleico en crecimiento, por ejemplo, proporcionando evidencias de la replicación/amplificación del molde y/o la secuencia del molde. La señalización procedente de la incorporación puede resultar de la detección de grupos de marcaje que se liberan del análogo incorporado, por ejemplo, en un ensayo en fase sólida, o puede surgir tras la reacción de incorporación. Por ejemplo, en el caso de marcadores de FRET en los que un marcador unido está inactivado y un marcador libre no, la liberación de un grupo marcador desde el análogo incorporado puede dar lugar a una señal fluorescente. Como alternativa, la enzima puede marcarse con un miembro de un par FRET próximo al sitio activo, y la incorporación de un análogo que alberga el otro miembro permitirá la transferencia de energía tras la incorporación. El uso de componentes FRET unidos a la enzima en aplicaciones de secuenciación de ácidos nucleicos se describe, por ejemplo, en la solicitud de patente de Estados Unidos publicada n.º 2003-0044781.

En una reacción ejemplar de interés, una reacción de polimerasa puede aislarse dentro del volumen de observación extremadamente pequeño que provoca realmente la observación de moléculas individuales de polimerasa. Como resultado, el evento de incorporación proporciona la observación de un análogo nucleotídico que se incorpora que es fácilmente distinguible de análogos nucleotídicos no incorporados. En un aspecto preferido, dichos volúmenes de observación pequeños se proporcionan inmovilizando la enzima polimerasa dentro de un confinamiento óptico, tal como un Zero Mode Waveguide. Para una descripción de los ZMW y su aplicación en análisis de moléculas individuales y, particularmente, secuenciación de ácidos nucleicos, véase, por ejemplo, la solicitud de patente de Estados Unidos publicada n.º 2003/0044781, y la patente de Estados Unidos n.º 6.917.726.

En general, una enzima polimerasa forma complejos con la hebra molde en presencia de uno o más nucleótidos y/o uno o más análogos nucleotídicos de la invención. Por ejemplo, en determinadas realizaciones, están presentes análogos marcados que representan compuestos análogos a cada uno de los cuatro nucleótidos natural, A, T, G y C, por ejemplo, en reacciones de polimerasa diferentes, como en la secuenciación clásica de Sanger, o combinadas juntas en una única reacción, como en estrategias de secuenciación combinada. Cuando la polimerasa encuentra una base particular en la hebra molde durante la reacción de polimerización, forma un complejo con un análogo disponible que es complementario a dicho nucleótido, e incorpora ese análogo en la hebra de ácido nucleico naciente y en crecimiento. En un aspecto, la incorporación puede provocar que el marcador se libere, por ejemplo, en análogos de polifosfato, escindiendo entre los átomos a y de fósforo en el análogo y, por consiguiente, liberando el grupo de marcaje (o una parte del mismo). El evento de incorporación se detecta, en virtud de una presencia más larga del análogo y, por tanto, el marcador, en el complejo, o en virtud de la liberación del grupo marcador en el medio adyacente. Cuando se usan diferentes grupos de marcaje para cada uno de los tipos de análogos, por ejemplo, A, T, G o C, la identificación de un marcador de un análogo incorporado permite la identificación de ese análogo y, por consiguiente, la determinación del nucleótido complementario en la hebra molde que se está procesando en ese momento. La reacción y el control secuenciales permiten un control a tiempo real de la reacción

de polimerización y la determinación de la secuencia del ácido nucleico molde. Como se indica anteriormente, en aspectos particularmente preferidos, el complejo de enzima polimerasa/molde se proporciona inmovilizado dentro de un confinamiento óptico que permite la observación de un complejo individual, por ejemplo, un Zero Mode Waveguide. Además de su uso en la secuenciación, los análogos de la invención también son útiles igualmente en una diversidad de otros análisis de genotipado, por ejemplo, genotipado de SNP usando métodos de prolongación de una base, control a tiempo real de la amplificación, por ejemplo, métodos de RT-PCR y similares.

Pueden encontrarse detalles adicionales respecto a la secuenciación y la amplificación de ácidos nucleicos en Sambrook et al., Molecular Cloning - A Laboratory Manual (3.ª Ed.), Vol. 1-3, Cold Spring Harbor Laboratory, Cold Spring Harbor, Nueva York, 2000 ("Sambrook"); Current Protocols in Molecular Biology, F.M. Ausubel et al., eds., Current Protocols, un proyecto conjunto entre Greene Publishing Associates, Inc. y John Wiley & Sons, Inc., (suplementado hasta 2006) ("Ausubel")) y PCR Protocols A Guide to Methods and Applications (Innis et al. eds) Academic Press Inc. San Diego, CA (1990) ("Innis").

#### 15 Preparación y aislamiento de polimerasas recombinantes

5

10

20

25

30

35

40

45

50

55

60

65

En general, los ácidos nucleicos que codifican una polimerasa de la invención pueden prepararse por clonación, recombinación, síntesis *in vitro*, amplificación *in vitro* y/u otros métodos disponibles. Puede usarse una diversidad de métodos recombinantes para expresar un vector de expresión que codifica una polimerasa de la invención, por ejemplo, una polimerasa mutante que, sin comprometerse a una teoría particular, reduce la impedancia estérica para un análogo nucleotídico de la invención y/o que incluye una característica de complementariedad. Los métodos recombinantes para preparar ácidos nucleicos, la expresión y el aislamiento de productos expresados se describen, por ejemplo, en Sambrook, Ausubel e Innis.

Además, hay una gran abundancia de kits disponibles en el mercado para la purificación de plásmidos u otros ácidos nucleicos relevantes de las células, (véase, por ejemplo, EasyPrep™, FlexiPrep™, ambos de Pharmacia Biotech; StrataClean™, de Stratagene; y, QlAprep™ de Qiagen). Cualquier ácido nucleico aislado y/o purificado puede manipularse adicionalmente para producir otros ácidos nucleicos, usarse para transfectar células, incorporarse en vectores relacionados para infectar organismos para su expresión y/o similares. Los vectores de clonación típicos contienen terminadores de la transcripción y la traducción, secuencias de inicio de la transcripción y la traducción, y promotores útiles para la regulación de la expresión del ácido nucleico diana particular. Los vectores opcionalmente comprenden casetes de expresión genéricos que contienen al menos una secuencia terminadora independiente, secuencias que permiten la replicación del casete en eucariotas o procariotas, o ambos (por ejemplo, vectores lanzadera) y marcadores de selección tanto para sistemas procariotas como eucariotas. Los vectores son adecuados para la replicación y la integración en procariotas, eucariotas o ambos. Véase, Giliman y Smith, Gene 8:81 (1979); Roberts, et al., Nature, 328:731 (1987); Schneider, B., et al., Protein Expr. Purif. 6435:10 (1995); Ausubel, Sambrook, Berger (anteriormente). Se proporciona un catálogo de bacterias y bacteriófagos útiles para clonación, por ejemplo, por la ATCC, por ejemplo, The ATCC Catalogue of Bacteria and Bacteriophage publicado anualmente por la ATCC. También se encuentran procedimientos básicos adicionales para secuenciación, clonación y otros aspectos de biología molecular y consideraciones teóricas subyacentes en Watson et al. (1992) Recombinant DNA segunda edición, Scientific American Books, NY.

Además, hay sistemas de componentes ortogonales disponibles que pueden incorporar cualquiera de una diversidad de aminoácidos no naturales en una proteína recombinante (por ejemplo, la polimerasa de la invención). En resumen, se construye una célula u otro sistema de traducción (por ejemplo, un sistema de traducción in vitro) que incluye un ARNt ortogonal ("ARNtO"; un ARNt no reconocido por la maquinaria de traducción endógena de la célula, tal como un ARNt ámbar o de 4-bases) y una ARNt sintetasa ortogonal ("ORS"; que es una sintetasa que no aminoacila ningún ARNt endógeno de la célula, pero que puede aminoacilar el ARNtO en respuesta a un codón selector). Se construye un ácido nucleico que codifica la enzima para que incluya un codón selector en un sitio seleccionado que se reconoce específicamente por el ARNtO. La ORS incorpora específicamente un aminoácido no natural con una funcionalidad química deseada en uno o más sitios seleccionados (por ejemplo, distante del sitio activo). Este grupo funcional químico puede ser único en comparación con los encontrados habitualmente en los aminoácidos, por ejemplo, que incorporan funcionalidades ceto u otras funcionalidades. Puede encontrarse información adicional sobre sistemas ortogonales, por ejemplo, en Wang et al., (2001), Science 292:498-500; Chin et al., (2002) Journal of the American Chemical Society 124:9026-9027; Chin y Schultz, (2002), ChemBioChem 11:1135-1137; Chin, et al., (2002), PNAS United States of America 99:11020-11024; y Wang y Schultz, (2002), Chem. Comm., 1-10. Véanse también, las publicaciones internacionales WO 2002/086075, titulada "METHODS AND COMPOSITIONS FOR THE PRODUCTION OF ORTHOGONAL tRNA AMINOACYL-tRNA SYNTHETASE PAIRS"; WO 2002/085923, titulada "IN VIVO INCORPORATION OF UNNATURAL AMINO ACIDS;" WO 2004/094593, titulada "EXPANDING THE EUKARYOTIC GENETIC CODE;" WO 2005/019415, presentada el 7 de julio de 2004; WO 2005/007870, presentada el 7 de julio de 2004; y WO 2005/007624, presentada el 7 de julio de 2004.

Otras referencias útiles, por ejemplo, para el aislamiento y cultivo celular (por ejemplo, para el posterior aislamiento de ácidos nucleicos) incluyen Freshney (1994) Culture of Animal Cells, a Manual of Basic Technique, tercera edición, Wiley-Liss, Nueva York y las referencias citadas en ese documento; Payne et al. (1992) Plant Cell and Tissue Culture in Liquid Systems John Wiley & Sons, Inc. Nueva York, NY; Gamborg y Phillips (eds) (1995) Plant Cell,

Tissue and Organ Culture; Fundamental Methods Springer Lab Manual, Springer-Verlag (Berlin Heidelberg Nueva York) y Atlas y Parks (eds) The Handbook of Microbiological Media (1993) CRC Press, Boca Raton, FL.

Además, prácticamente cualquier ácido nucleico puede solicitarse personalizador o convencional de cualquiera de una diversidad de fuentes comerciales, tales como Operon Technologies Inc. (Alameda, CA).

Se conoce una diversidad de métodos de aislamiento y detección de proteínas y pueden usarse para aislar polimerasas, por ejemplo, de cultivos recombinantes de células que expresan las polimerasas recombinantes de la invención. Una diversidad de métodos de aislamiento y detección de proteínas son bien conocidos en la técnica, incluyendo, por ejemplo, los expuestos en R. Scopes, Protein Purification, Springer-Verlag, N.Y. (1982); Deutscher, Methods in Enzymology Vol. 182: Guide to Protein Purification, Academic Press, Inc. N.Y. (1990); Sandana (1997) Bioseparation of Proteins, Academic Press, Inc.; Bollag et al. (1996) Protein Methods, 2.ª edición Wiley-Liss, NY; Walker (1996) The Protein Protocols Handbook Humana Press, NJ, Harris y Angal (1990) Protein Purification Applications: A Practical Approach IRL impreso en Oxford, Oxford, Inglaterra; Harris y Angal Protein Purification: Principles and Practice 3.ª edición Springer Verlag, NY; Janson y Ryden (1998) Protein Purification: Principles, High Resolution Methods and Applications, segunda edición Wiley-VCH, NY; y Walker (1998) Protein Protocols on CD-ROM Humana Press, NJ; y las referencias citadas en esos documentos. Pueden encontrarse detalles adicionales respecto a los métodos de purificación y detección de proteínas en Satinder Ahuja ed., Handbook of Bioseparations, Academic Press (2000).

#### **Kits**

5

10

15

20

50

55

60

65

La presente invención también proporciona kits que incorporan las polimerasas de la invención, por ejemplo, con 25 uno o más análogos nucleotídicos, por ejemplo, para secuenciación, amplificación de ácidos nucleicos o similares. Dichos kits pueden incluir la polimerasa de la invención envasada de una manera para posibilitar el uso de la polimerasa, un conjunto de diferentes análogos nucleotídicos de la invención, por ejemplo, los que son análogos a A, T, G y C, por ejemplo, donde al menos uno de los análogos alberga un resto detectable, y en aspectos preferidos más de uno y, en muchos casos, cada uno alberga un grupo de marcaje detectablemente diferente, opcionalmente 30 para permitir la identificación en presencia de los otros análogos. Dependiendo de la aplicación deseada, los kits de la invención opcionalmente incluyen reactivos adicionales, tales como nucleótidos naturales, un molde de control y otros reactivos, tales como soluciones tamponantes y/o soluciones salinas, incluyendo, por ejemplo, iones de metales divalentes, es decir, Mg<sup>++</sup>, Mn<sup>++</sup> y/o Fe<sup>++</sup>, soluciones convencionales, por ejemplo, patrones colorantes para el calibrado del detector. Dichos kits también incluyen típicamente instrucciones para el uso de los compuestos y otros reactivos de acuerdo con los métodos de aplicación deseados, por ejemplo, secuenciación de ácidos 35 nucleicos, amplificación y similares.

#### Secuencia y variantes de ácidos nucleicos y polipéptidos

Como se describe en este documento, la invención proporciona secuencias polinucleotídicas que codifican, por ejemplo, una polimerasa como se describe en este documento. Los ejemplos de secuencias de polimerasa que incluyen características de impedancia estérica o de complementariedad se encuentran en este documento, por ejemplo, en la tabla 3. Sin embargo, un experto en la materia apreciará inmediatamente que la invención no se limita a esas secuencias. Por ejemplo, un experto apreciará que la invención también proporciona, por ejemplo, muchas secuencias relacionadas con las funciones descritas en este documento, por ejemplo, polinucleótidos y polipéptidos que codifican variantes conservativas de una polimerasa de la tabla 3.

Por consiguiente, la invención proporciona una diversidad de polipéptidos (polimerasas) y polinucleótidos (ácidos nucleicos que codifican polimerasas). Los polinucleótidos ejemplares de la invención incluyen, por ejemplo, un polinucleótido que comprende una secuencia de nucleótidos expuesta en la tabla 3 o un polinucleótido que es complementario a o que codifica una secuencia polinucleotídica del mismo (por ejemplo, cuando la secuencia dada es un ADN, un ARN es un ejemplo de una secuencia que codifica el ADN, por ejemplo, mediante transcripción inversa). Un polinucleótido de la invención también incluye opcionalmente cualquier polinucleótido que codifica una polimerasa de la tabla 3. A causa de la degeneración del código genético, muchos polinucleótidos codifican de forma equivalente una secuencia dada de polimerasa. Asimismo, un ácido nucleico artificial o recombinante que hibrida con un polinucleótido indicado anteriormente en condiciones de alta rigurosidad sobre sustancialmente toda la longitud del ácido nucleico (y es diferente de un polinucleótido de origen natural) es un polinucleótido de la invención. En una realización, una composición incluye un polipéptido de la invención y un excipiente (por ejemplo, tampón, agua, excipiente farmacéuticamente aceptable, etc.). La invención también proporciona un anticuerpo o antisuero específicamente inmunorreactivo con un polipéptido de la invención (por ejemplo, que reconoce específicamente una característica alterada de impedancia estérica o complementariedad de análogo nucleotídico.

En ciertas realizaciones, un vector (por ejemplo, un plásmido, un cósmido, un fago, un virus, etc.) comprende un polinucleótido de la invención. En una realización, el vector es un vector de expresión. En otra realización, el vector de expresión incluye un promotor unido de forma funcional a uno o más de los polinucleótidos de la invención. En otra realización, una célula comprende un vector que incluye un polinucleótido de la invención.

Un experto también apreciará que se incluyen muchas variantes de las secuencias divulgadas en la invención. Por ejemplo, se incluyen variaciones conservativas de las secuencias divulgadas que producen una secuencia funcionalmente similar en la invención. Las variantes de las secuencias polinucleotídicas de ácido nucleico, en las que las variantes hibridan con al menos una secuencia divulgada, se consideran incluidas en la invención. También se incluyen subsecuencias únicas de las secuencias divulgadas en este documento, determinadas por, por ejemplo, técnicas convencionales de comparación de secuencias, en la invención.

#### Variaciones conservativas

5

20

25

30

40

45

Debido a la degeneración del código genético, las "sustituciones silenciosas" (es decir, sustituciones en una secuencia de ácido nucleico que no provocan una alteración en un polipéptido codificado) son una característica implícita de *todas* las secuencias de ácido nucleico que codifican una secuencia de aminoácidos. Asimismo, las "sustituciones conservativas de aminoácidos", en las que uno o una cantidad limitada de aminoácidos en una secuencia de aminoácidos están sustituidos con diferentes aminoácidos con propiedades muy similares, también se identifican fácilmente como muy similares a una construcción divulgada. Dichas variaciones conservativas de cada secuencia divulgada son una característica de la presente invención.

Las "variaciones conservativas" de una secuencia de ácido nucleico particular se refieren a aquellos ácidos nucleicos que codifican secuencias de aminoácidos idénticas o prácticamente idénticas o, cuando el ácido nucleico no codifica una secuencia de aminoácidos, a secuencias prácticamente idénticas. Un experto reconocerá que las sustituciones, eliminaciones o adicionales individuales que alteran, añaden o eliminan un único aminoácido un pequeño porcentaje de aminoácidos (típicamente menos de un 5 %, más típicamente menos de un 4 %, un 2 % o un 1 %) en una secuencia codificada son "variaciones modificadas de forma conserva" en las que las alteraciones provocan la eliminación un aminoácido, la adición de aminoácido o la sustitución de un aminoácido con un aminoácido químicamente similar, reteniendo al mismo tiempo la característica relevante de impedancia estérica reducida o complementariedad de análogo nucleotídico (por ejemplo, la sustitución conservativa puede ser de un resto distante a la región de sitio activo). Por tanto, las "variaciones conservativas" de una secuencia polipeptídica enumerada de la presente invención incluyen sustituciones de un pequeño porcentaje, típicamente menos de un 5 %, más típicamente menos de un 2 % o un 1 %, de los aminoácidos de la secuencia polipeptídica, con un aminoácido del mismo grupo de sustituciones conservativas. Finalmente, la adición de secuencias que no alteran la actividad codificada de una molécula de ácido nucleico, tal como la adición de una secuencia no funcional o de marcaje (intrones en el ácido nucleico, secuencias poli-His o similares en el polipéptido codificado, etc.), es una variación conservativa del ácido nucleico o polipéptido básico.

En un aspecto, la sustitución conservativa incluye una o más eliminaciones o sustituciones de un resto en un resto aminoacídico de la polimerasa correspondiente al resto aminoacídico 375.

Las tablas de sustituciones conservativas que proporcionan aminoácidos funcionalmente similares son bien conocidas en la técnica, en las que un resto aminoacídico se sustituye por otro resto aminoacídico que tiene propiedades químicas similares (por ejemplo, cadenas laterales aromáticas o cadenas laterales con carga positiva) y, por lo tanto, no cambia sustancialmente las propiedades funcionales de la molécula polipeptídica. Lo siguiente expone grupos ejemplares que contienen aminoácidos naturales de propiedades químicas similares, en los que las sustituciones dentro de un grupo son "sustituciones conservativas".

Tabla A

	Sustituciones conservativas de aminoácidos				
Cadenas laterales no polares y/o alifáticas	Cadenas laterales polares, no cargadas	Cadenas laterales aromáticas	Cadenas laterales con carga positiva	Cadenas laterales con carga negativa	
Glicina Alanina Valina Leucina Isoleucina Prolina	Serina Treonina Cisteína Metionina Asparagina Glutamina	Fenilalanina Tirosina Triptófano	Lisina Arginina Histidina	Aspartato Glutamato	

## Hibridación de ácidos nucleicos

Puede usarse la hibridación comparativa para identificar ácidos nucleicos de la invención, incluyendo variaciones conservativas de ácidos nucleicos de la invención. Además, los ácidos nucleicos diana que hibridan con un ácido nucleico representado en la tabla 3 en condiciones de rigurosidad elevada, ultraelevada y ultraultraelevada, donde los ácidos nucleicos son diferentes de una Φ29 de origen natural, o un mutante N62D, son una característica de la invención. Los ejemplos de dichos ácidos nucleicos incluyen aquellos con una o unas pocas sustituciones de ácido nucleico silenciosas o conservativas en comparación con una secuencia de ácido nucleico dado de la tabla 3.

50

Se dice que un ácido nucleico de ensayo hibrida específicamente con un ácido nucleico sonda cuando hibrida al menos un 50 % tan bien a la sonda como a la diana complementaria perfectamente coincidente, es decir, con una relación de señal a ruido al menos la mitad de elevada que la hibridación de la sonda con la diana en condiciones en que la sonda perfectamente coincidente se une a la diana complementaria perfectamente coincidente con una relación de señal a ruido que al menos aproximadamente 5x-10x tan elevada como la observada para la hibridación de cualquiera de los ácidos nucleicos diana no coincidentes.

Los ácidos nucleicos "hibridan" cuando se asocian, típicamente en solución. Los ácidos nucleicos hibridan debido a fuerzas fisicoquímicas bien caracterizadas, tales como enlaces de hidrógeno, exclusión de disolventes, apilamiento de bases y similares. Se encuentra una amplia guía sobre la hibridación de ácidos nucleicos en Tijssen (1993) Laboratory Techniques in Biochemistry and Molecular Biology--Hybridization with Nucleic Acid Probes parte I capítulo 2, "Overview of principles of hybridization and the strategy of nucleic acid probe assays," (Elsevier, Nueva York), así como en Current Protocols in Molecular Biology, Ausubel et al., eds., Current Protocols, un proyecto conjunto entre Greene Publishing Associates, Inc. y John Wiley & Sons, Inc., (suplementado hasta 2004) ("Ausubel"); Hames y Higgins (1995) Gene Probes 1 IRL impreso en Oxford University Press, Oxford, Inglaterra, (Hames y Higgins 1) y Hames y Higgins (1995) Gene Probes 2 IRL impreso en Oxford University Press, Oxford, Inglaterra (Hames y Higgins 2) proporcionan detalles sobre la síntesis, marcaje, detección y cuantificación de ADN y ARN, incluyendo oligonucleótidos.

Un ejemplo de condiciones de hibridación rigurosas para la hibridación de ácidos nucleicos complementarios que tienen más de 100 restos complementarios sobre un filtro en una transferencia de Southern o de Northern es un 50 % de formalina con 1 mg de heparina a 42 °C, realizándose la hibridación durante una noche. Un ejemplo de condiciones de lavado rigurosas es un lavado con SSC 0,2x a 65 °C durante 15 minutos (véase, Sambrook, *supra* para una descripción del tampón SSC). A menudo, el lavado de rigurosidad elevada está precedido por un lavado de rigurosidad baja para retirar la señal de fondo de la sonda. Un lavado de rigurosidad baja ejemplar es SSC 2x a 40 °C durante 15 minutos. En general, una relación de señal a ruido de 5x (o mayor) la observada para una sonda no relacionada en el ensayo de hibridación particular indica la detección de una hibridación específica.

Las "condiciones de lavado de hibridación rigurosas" en el contexto de experimentos de hibridación de ácidos 30 nucleicos tales como hibridaciones de Southern y Northern son dependientes de la secuencia, y son diferentes en diferentes parámetros ambientales. Se encuentra una amplia guía sobre la hibridación de ácidos nucleicos en Tijssen (1993), supra. y en Hames y Higgins, 1 y 2. Las condiciones de hibridación y lavado rigurosas pueden determinarse fácilmente de forma empírica para cualquier ácido nucleico de ensayo. Por ejemplo, en la determinación de las condiciones de hibridación y lavado rigurosas, las condiciones de hibridación y lavado se 35 aumentan gradualmente (por ejemplo, aumentando la temperatura, disminuyendo la concentración salina, aumentando la concentración de detergente y/o aumentando la concentración de disolventes orgánicos tales como formalina en la hibridación o el lavado), hasta que se cumple un conjunto seleccionado de criterios. Por ejemplo, en condiciones de hibridación y lavado altamente rigurosas, las condiciones de hibridación y lavado se aumentan gradualmente hasta que una sonda se une a una diana complementaria perfectamente coincidente con una relación 40 de señal a ruido que es al menos 5x tan elevada como la observada para la hibridación de la sonda a una diana no coincidente.

Las condiciones "muy rigurosas" se seleccionan para que sean iguales al punto de fusión térmica (T<sub>m</sub>) para una sonda particular. La T<sub>m</sub> es la temperatura (a una fuerza iónica y pH definidos) a la que un 50 % de la secuencia de ensayo hibrida con una sonda perfectamente coincidente. Para los fines de la presente invención, en general, las condiciones de hibridación y lavado "altamente rigurosas" se seleccionan para que sean aproximadamente 5 °C por debajo de la T<sub>m</sub> para la secuencia específica a una fuerza iónica y pH definidos.

Las condiciones de hibridación y lavado "de rigurosidad ultraelevada" son aquellas en que la rigurosidad de las condiciones de hibridación y lavado se aumentan hasta que la relación de señal a ruido para la unión de la sonda al ácido nucleico diana complementario perfectamente coincidente es al menos 10x tan elevada como la observada para la hibridación a cualquiera de los ácidos nucleicos diana no coincidentes. Un ácido nucleico diana que hibrida con una sonda en dichas condiciones, con una relación de señal a ruido de al menos ½ de la del ácido nucleico diana complementario perfectamente coincidente se dice que se une a la sonda en condiciones de rigurosidad ultraelevada.

Asimismo, puede determinarse niveles incluso mayores de rigurosidad aumentando gradualmente las condiciones de hibridación y/o lavado del ensayo de hibridación relevante. Por ejemplo, aquellos en que la rigurosidad de las condiciones de hibridación y lavado se aumentan hasta que la relación de señal a ruido para la unión de la sonda al ácido nucleico diana complementario perfectamente coincidente es al menos 10x, 20x, 50x, 100x o 500x o más tan elevada como la observada para la hibridación con cualquiera de los ácidos nucleicos diana no coincidentes. Un ácido nucleico diana que hibrida con una sonda en dichas condiciones, con una relación de señal a ruido de al menos ½ de la del ácido nucleico diana complementario perfectamente coincidente se dice que se une a la sonda en condiciones de rigurosidad ultraultraelevada.

65

45

50

55

60

5

10

15

Los ácidos nucleicos que no hibridan entre sí en condiciones de rigurosidad aún son sustancialmente idénticos si los polipéptidos que codifican son sustancialmente idénticos. Esto sucede, por ejemplo, cuando se crea una copia de un ácido nucleico usando la máxima degeneración de codones permitida por el código genético.

#### 5 Subsecuencias únicas

10

15

20

25

30

35

40

45

50

55

60

65

En algunos aspectos, la invención proporciona un ácido nucleico que comprende una subsecuencia única en un ácido nucleico que codifica una polimerasa de la tabla 3. La subsecuencia única puede ser única en comparación con un ácido nucleico correspondiente a Ф29 de tipo silvestre, o a una mutación N62D de la misma. La alineación puede realizarse usando, por ejemplo, BLAST configurado a los parámetros por defecto. Cualquier subsecuencia única es útil, por ejemplo, como sonda para identificar los ácidos nucleicos de la invención.

Asimismo, la invención incluye un polipéptido que comprende una subsecuencia única en una polimerasa de la tabla 3. En este caso, la subsecuencia única es única en comparación con, por ejemplo, Φ29 de tipo silvestre, o con una mutación N62D de la misma.

La invención también proporciona ácidos nucleicos diana que hibridan en condiciones rigurosas con un oligonucleótido codificante único que codifica una subsecuencia única en un polipéptido seleccionado de las secuencias de la tabla 3, en los que la subsecuencia única es única en comparación con un polipéptido correspondiente a  $\Phi$ 29 de tipo silvestre, o con una mutación N62D (por ejemplo, secuencias precursoras de las que se obtuvieron las polimerasas de la invención, por ejemplo, por mutación). Las secuencias únicas se determinan como se indica anteriormente.

## Comparación de secuencias, identidad y homología

Las expresiones "idéntica" o "porcentaje de identidad", en el contexto de dos o más secuencias de ácido nucleico o polipeptídicas, se refieren a dos o más secuencias o subsecuencias que son iguales o tienen un porcentaje específico de restos aminoacídicos o nucleótidos que son iguales, cuando se comparan y alinean para una correspondencia máxima, medida usando uno de los algoritmos de comparación de secuencias descritos a continuación (u otros algoritmos disponibles para los expertos) o por inspección visual.

La expresión "sustancialmente idéntico", en el contexto de dos ácidos nucleicos o polipéptidos (por ejemplo, ADN que codifican una polimerasa, o la secuencia de aminoácidos de una polimerasa) se refiere a dos o más secuencias o subsecuencias que tienen al menos aproximadamente un 60 %, aproximadamente un 80 %, aproximadamente un 90-95 %, aproximadamente un 98 %, aproximadamente un 99 % o mayor identidad de restos nucleotídicos o aminoacídicos, cuando se comparan y alinean para una correspondencia máxima, medida usando un algoritmo de comparación de secuencias o por inspección visual. Dichas secuencias "sustancialmente idénticas" típicamente se consideran "homólogas", sin referencia a la ascendencia real. Preferentemente, la "identidad sustancial" existe sobre una región de las secuencias que es de al menos aproximadamente 50 restos de longitud, más preferentemente sobre una región de al menos aproximadamente 100 restos, y mucho más preferentemente, las secuencias son sustancialmente idénticas sobre al menos aproximadamente 150 restos, o sobre toda la longitud de las dos secuencias a comparar.

Las proteínas y/o secuencias proteínicas son "homólogas" cuando se obtienen, de forma natural o artificial, de una proteína o secuencia proteínica ancestral común. Asimismo, los ácidos nucleicos y/o secuencias de ácido nucleico son homólogos cuando se obtienen, de forma natural o artificial, de un ácido nucleico o secuencia de ácido nucleico ancestral común. La homología generalmente se deduce de la similitud de secuencia entre dos o más ácidos nucleicos o proteínas (o secuencias de las mismas). El porcentaje preciso de similitud entre secuencias que es útil a la hora de establecer la homología varía con el ácido nucleico y la proteína en cuestión, pero se usa de forma rutinaria tan poco como un 25 % de identidad de secuencia sobre 50, 100, 150 o más restos para establecer la homología. Niveles mayores de similitud de secuencia, por ejemplo, 30 %, 40 %, 50 %, 60 %, 70 %, 80 %, 90 %, 95 % o 99 % o mayores, también pueden usarse para establecer la homología. Los métodos para establecer la los porcentajes de similitud de secuencia (por ejemplo, BLASTP y BLASTN usando parámetros por defecto) se describen en este documento y están disponibles en general.

Para la comparación de secuencias y la determinación de la homología, típicamente una secuencia actúa como una secuencia de referencia con la que se comparan las secuencias de ensayo. Cuando se usa un algoritmo de comparación de secuencias, las secuencias de ensayo y referencia se introducen en un ordenador, se designan las coordenadas de subsecuencia, si fuera necesario, y se designan los parámetros del programa del algoritmo de secuencias. El algoritmo de comparación de secuencias entonces calcula el porcentaje de identidad de secuencia para la una o más secuencias de ensayo respecto a la secuencia de referencia, basándose en los parámetros del programa designados.

La alineación óptima de secuencias para la comparación puede realizarse, por ejemplo, por el algoritmo de homología local de Smith y Waterman, Adv. Appl. Math. 2:482 (1981), por el algoritmo de alineación de homología de Needleman y Wunsch, J. Mol. Biol. 48:443 (1970), por el método de búsqueda de similitud de Pearson y Lipman,

Proc. Nat'l. Acad. Sci. USA 85:2444 (1988), por implementaciones informatizadas de estos algoritmos (GAP, BESTFIT, FASTA y TFASTA en el Wisconsin Genetics Software Package, Genetics Computer Group, 575 Science Dr., Madison, WI) o por inspección visual (véase en líneas generales, Current Protocols in Molecular Biology, Ausubel et al., eds., Current Protocols, un proyecto conjunto entre Greene Publishing Associates, Inc. y John Wiley & Sons, Inc., suplementado hasta 2004).

Un ejemplo de un algoritmo que es adecuado para determinar el porcentaje de identidad de secuencia y similitud de secuencia es el algoritmo BLAST, que se describe en Altschul et al., J. Mol. Biol. 215:403-410 (1990). El software para realizar los análisis BLAST está disponible al público a través del National Center for Biotechnology Information. Este algoritmo implica identificar en primer lugar pares de secuencias de alta valoración (HSP) identificando palabras cortas de longitud W en la secuencia de consulta, que coincide o satisface algún valor umbral de valor positivo T cuando se alinea con una palabra de la misma longitud en una secuencia de la base de datos. T se menciona como el umbral del valor de palabra adyacente (Altschul et al., supra). Estos aciertos de palabra adyacente iniciales actúan como semillas para iniciar búsquedas para encontrar HSP más largos que los contengan. Los aciertos de palabra entonces se prolongan en ambas direcciones a lo largo de cada secuencia todo el tiempo que pueda aumentarse el valor de alineación acumulativo. Los valores acumulativos se calculan usando, para secuencias nucleotídicas, los parámetros M (valor recompensa para un par de restos coincidentes; siempre > 0) y N (valor de penalización para restos no coincidentes; siempre < 0). Para secuencias de aminoácidos, se usa una matriz de valores para calcular el valor acumulativo. La prolongación de los aciertos de palabra en cada dirección se detiene cuando: el valor de alineación acumulativo queda fuera por una cantidad X de su valor conseguido máximo; el valor acumulativo llega a cero o por debajo, debido a la acumulación de una o más alineaciones de restos de valoración negativa; o se alcanza el final de cualquier secuencia. Los parámetros del algoritmo BLAST W, T y X determinan la sensibilidad y velocidad de la alineación. El programa BLASTN (para secuencias de nucleótidos) usa por defecto una longitud de palabra (W) de 11, una expectativa (E) de 10, un límite de 100, M = 5, N = -4 y una comparación de ambas hebras. Para secuencias de aminoácidos, el programa BLASTP usa por defecto una longitud de palabra (W) de 3, una expectativa (E) de 10 y la matriz de valores BLOSUM62 (véase Henikoff y Henikoff (1989) Proc. Natl. Acad. Sci. USA

Además de calcular el porcentaje de identidad de secuencia, el algoritmo BLAST también realiza un análisis estadístico de la similitud entre dos secuencias (véase, por ejemplo, Karlin y Altschul, Proc. Nat'l. Acad. Sci. USA 90:5873-5787 (1993)). Una medida de la similitud proporcionada por el algoritmo BLAST es la probabilidad de suma más pequeña (P(N)), que proporciona una indicación de la probabilidad por la que sucedería una coincidencia entre dos secuencias de nucleótidos o aminoácidos por casualidad. Por ejemplo, un ácido nucleico se considera similar a una secuencia de referencia so la probabilidad de suma más pequeña en una comparación del ácido nucleico de ensayo con el ácido nucleico de referencia es menor de aproximadamente 0,1, más preferentemente menor de aproximadamente 0,001.

#### Métodos implementados por ordenador de modelado de la cinética

En un aspecto adicional, la invención incluye métodos implementados por ordenador, por ejemplo, para modelar la cinética enzimática. En los métodos, se define una pluralidad de transiciones de estado de la polimerasa para tramos de tiempo concretos durante una reacción de polimerización basada en molde. En el tramo de tiempo concreto más pequeño, muchas transiciones de estado de la polimerasa están impedidas de acuerdo con la cinética enzimática que se está modelando. Se define una pluralidad de tasas de transición de velocidad entre los estados y una matriz de probabilidades multidimensional de las posibles transiciones de estado para el tramo de tiempo concreto más pequeño, basándose en una secuencia dada del molde de ácido nucleico, los nucleótidos en una mezcla de reacción y las transiciones de estado de la polimerasa. La matriz de probabilidades multidimensional resultante se almacena en un medio legible por ordenador.

Una diversidad de características del método pueden variar. Por ejemplo, las transiciones de estado de la polimerasa opcionalmente son seleccionables por el usuario. Las tasas de transición entre los estados opcionalmente varían dependiendo de la concentración de nucleótidos, la concentración de polimerasa, la concentración de molde, la secuencia del molde, la posición de la polimerasa a lo largo del molde, las características del par de nucleótidos del molde de Watson-Crick actual, las características del par de nucleótidos del molde de Watson-Crick previo o las características del nucleótido que se está incorporando. Los nucleótidos en la mezcla de reacción opcionalmente comprenden uno o más análogos nucleotídicos. Las tasas de transición entre estados opcionalmente incluyen ortogonalidad completa entre todas las combinaciones de dependencias multidimensionales enumeradas anteriormente. La matriz de probabilidades multidimensional opcionalmente se genera automáticamente basándose en la secuencia del molde, una matriz normalizada de estados de probabilidad y los nucleótidos en la mezcla de reacción. La matriz de probabilidades opcionalmente se simplifica asumiendo que todos los posibles emparejamientos de bases de Watson-Crick son equivalentes en todas las transiciones de estado. La matriz de probabilidades opcionalmente se simplifica también asumiendo que ciertas transiciones de estado (por ejemplo, translocación de la polimerasa a lo largo del ADN) son equivalentes entre diferentes dimensiones de la matriz de probabilidades (por ejemplo, ciertas características del nucleótido incorporado previamente).

65

50

55

60

5

10

15

20

25

Asimismo, opcionalmente se genera una segunda matriz de concentración de reactivos para justifica los cambios de concentración de reactivos que se producen por la posición de la polimerasa a lo largo de un molde, basándose en un resultado de la matriz de probabilidades. La matriz de probabilidades opcionalmente se vectoriza para múltiples moldes y la matriz de probabilidades vectorizada resultante puede multiplicarse por la matriz de probabilidades multidimensional para proporcionar una matriz de distribución de estados. Puede usarse un factor de tiempo exponencial para la matriz de probabilidades para justificar las secuencias repetidas dentro de la secuencia de molde. Puede definirse una fracción de emparejamientos incorrectos de nucleótidos por la polimerasa usando un modelo de continuidad o un modelo de recuento.

## 10 Ejemplos

5

15

25

30

35

50

65

Se entiende que los ejemplos y realizaciones descritos en este documento son con fines ilustrativos únicamente y que se sugerirán diversas modificaciones o cambios a los expertos en la materia a la luz de los mismos. Por consiguiente, los siguientes ejemplos se ofrecen para ilustrar, pero no limitar, la invención reivindicada.

Los siguiente expone una serie de experimentos que demuestran la construcción y caracterización de una diversidad de ADN polimerasas recombinantes que tienen regiones de sitio activo modificadas y propiedades modificadas para análogos nucleotídicos.

### 20 <u>Ejemplo 1: Expresión de polimerasa recombinante</u>

Se construyó un vector para la expresión de la polimerasa Phi 29 y se ilustra esquemáticamente en la figura 1. Se introdujo una mutación N62D en Phi 29 de tipo silvestre (SEQ ID NO:1) para reducir la actividad exonucleasa, y se añadieron las marcas GST (glutatión-S-transferasa), His y S. La secuencia de aminoácidos de Phi 29 N62D marcada resultante se presenta como la SEQ ID NO:2. La secuencia del vector se presenta como la SEQ ID NO:14. La polimerasa Phi 29 N62D marcada está codificada por los nucleótidos 4839-7428 de la secuencia del vector, con la polimerasa en los nucleótidos 5700-7428 y la mutación N62D en los nucleótidos 5883-5885. Otras características del vector incluyen las secuencias de marca GST-His-S (nucleótidos 4838-5699), el sitio de unión al ribosoma (nucleótidos 4822-4829), el promotor T7 (nucleótidos 4746-4758) y el marcador de resistencia a kanamicina (complemento de los nucleótidos 563-1375).

Se introducen fácilmente mutaciones adicionales en esta construcción según se desee, por ejemplo, para facilitar la expresión de polimerasas Phi 29 recombinantes que tiene regiones de sitio activo modificadas. Véanse, por ejemplo, las SEQ ID NO:15-23. Las proteínas recombinantes pueden expresarse en *E. coli,* por ejemplo, y purificarse usando las marcas GST, His y/o S y técnicas convencionales. Las marcas se eliminan opcionalmente por digestión con una proteasa apropiada (por ejemplo, trombina o enterocinasa).

#### Ejemplo 2: Polimerasas recombinantes ejemplares

Se ha construido una diversidad de polimerasas Phi 29 recombinantes con regiones de sitio activo modificadas. Sin la pretensión de limitarse a mecanismo particular alguno, los siguientes ejemplos ilustran modificaciones estructurales que pueden reducir la inhibición estérica de la entrada de análogos nucleotídicos en las regiones de sitio activo modificadas, coordinar los grupos fosfato adicionales proporcionando características que complementan estos grupos (por ejemplo, cadenas laterales de aminoácidos con carga positiva) y/o potenciar de otra manera la capacidad de la polimerasa de incorporar análogos nucleotídicos.

La figura 2, panel A, muestra una alineación de secuencias de polimerasas de tipo Phi 29 en la región que rodea los restos 505-525, cuya posición se indica por el paréntesis. Los restos aminoacídicos que difieren de Phi 29 están subrayados. La mayor parte de este dominio se pierde en la ADN polimerasa cp-1 (que, como G1, está relacionada de forma más distante con Phi 29). Además, hay una conservación de secuencia notablemente menor dentro del dominio que en la secuencia flanqueante. Estas observaciones sugieren que la eliminación del dominio es poco probable que sea perjudicial.

Las tres vistas superiores de la figura 2, panel B, ilustran la estructura de la polimerasa Phi 29 (véase, por ejemplo, Kamtekar et al. (2004) "Insights into strand displacement and processivity from the crystal structure of the protein-primed DNA polymerase of bacteriophage Φ29" Mol. Cell 16(4): 609-618). Las tres vistas inferiores muestran la polimerasa con los restos 505-525 eliminados, lo que ilustra que la eliminación de este dominio abre el bolsillo de unión al nucleótido. Véanse, por ejemplo, las SEQ ID NO:12 y 13 o 33 y 34, que eliminan este dominio usando diferentes giros.

La figura 3, panel A, muestra una alineación de secuencias de polimerasas de tipo Phi 29 en la región que rodea E375 de Phi 29. Las tres vistas superiores del panel B ilustran la estructura de la polimerasa Phi 29. El glutamato en la posición 375 (indicado por la flecha) está localizado próximo a los restos con carga positiva (K371, K379, K383; representados en gris intermedio con pomos gris oscuro) que contactan con el resto trifosfato del dNTP entrante. Como se ilustra en las tres vistas inferiores del panel B, este aminoácido con carga negativa (E) se remplazó con uno positivo (H) en un intento por coordinar el fosfato adicional en los análogos nucleotídicos tetrafosfato. Además,

la carga positiva adicional en este sitio puede ayudar a coordinar los análogos trifosfato. El análisis de la polimerasa recombinante sugiere que la mutación E375H ha mejorado la cinética de la enzima para incorporar análogos nucleotídicos marcados con fosfato (véase el ejemplo 3 a continuación). También se construyó el mutante E375S para introducir un resto neutro en esta localización y/o, por ejemplo, para facilitar el cambio conformacional para posibilitar la función. Véanse también las SEQ ID NO:4-7 y 25-28.

La figura 4, panel A, muestra una alineación de secuencias de polimerasas de tipo Phi 29 en la región que rodea E486 de Phi 29. Las tres vistas superiores del panel B ilustran la estructura de la polimerasa Phi 29; la localización de E486 está indicada por una flecha. Como se ilustra en las tres vistas inferiores, el remplazo de E486 por un resto de alanina crea más espacio en la región de sitio activo cerca de los carboxilatos catalíticos (D249 y D458, representados en blanco) y elimina una carga negativa. Como otro ejemplo, el remplazo de E486 por un resto de ácido aspártico elimina un carbono, que disminuye la interferencia estérica con la unión del análogo nucleotídico mientras retiene la carga negativa. Véanse también las SEQ ID NO:9-10 y 30-31.

La figura 5, panel A, muestra una alineación de secuencias de polimerasas de tipo Phi 29 en la región que rodea K512 de Phi 29. Las tres vistas superiores del panel B ilustran la estructura de la polimerasa Phi 29. K512 (indicado por una flecha) se proyecta desde el dominio de los restos 505-525 y bloquea parcialmente la abertura del sitio de unión al dNTP entrante. Como se ilustra en las tres vistas inferiores, el remplazo de K512 por un resto de alanina reduce la inhibición estérica para la entrada de análogos nucleotídicos en la región de sitio activo, proporcionando más espacio para que entren en el bolsillo de unión. Véanse también las SEQ ID NO:11 y 32.

La figura 6, panel A, muestra una alineación de secuencias de polimerasas de tipo Phi 29 en la región que rodea K135 de Phi 29. Las tres vistas superiores del panel B ilustran la estructura de la polimerasa Phi 29. K135 (indicado por una flecha) se proyecta en la abertura al sitio de unión del dNTP entrante. Como se ilustra en las tres vistas inferiores, el remplazo de K135 por un resto de alanina reduce la inhibición estérica para la entrada de análogos nucleotídicos en la región de sitio activo, proporcionando más espacio para que entren en el bolsillo de unión. Véanse también las SEQ ID NO:3 y 24.

#### Ejemplo 3: Cribado y caracterización de polimerasas recombinantes

5

10

25

30

35

40

45

50

55

60

65

Las polimerasas recombinantes generadas como en el ejemplo 2, o a través de prácticamente cualquier otra estrategia de mutagénesis racional o aleatoria, se caracterizan opcionalmente para determinar sus propiedades para diversos agentes naturales y/o nucleótidos. Se sigue un protocolo ejemplar de cinco etapas para caracterizar las polimerasas recombinantes.

La polimerasa recombinante inicialmente se evalúa sobre la calidad de la preparación de la proteína y la actividad catalítica básica. La actividad de la polimerasa se analiza con nucleótidos naturales (nativos) y se determina su actividad específica (unidades/mg). Se seleccionan únicamente los mutantes catalíticamente competentes para las siguientes etapas.

La capacidad de procesamiento (disociación/kb) de la polimerasa se estima en una reacción de prolongación de cebador realizada en presencia de una "trampa" (ADN competidor no marcado o heparina). El ensayo de capacidad de procesamiento se diseña para seleccionar mutantes que retienen la capacidad de sintetizar un producto de ADN largo en una ejecución de polimerización continua (sin reinicio de la polimerización) con nucleótidos naturales. Los mutantes con una disminución importante en la capacidad de procesamiento no se seleccionan para la siguiente etapa.

Se determina la tasa de polimerización (bases/min) con cuatro análogos a 10 µM (A488dA4P, A633dC4P, A546dG4P y A594dT4P) y molde circular (AGTC, un molde circular de 72 monómeros que consiste en gran medida en un motivo AGTC repetitivo).

Los mutantes de polimerasa más prometedores se caracterizan por la determinación de la tasa de polimerización y la Km para A488dC4P y A568dC4P y un subconjunto de nucleótidos naturales (dATP, dGTP y dTTP), usando un molde circular (AGTC). La velocidad se mide a varias concentraciones diferentes de los análogos, A488dC4P (un buen sustrato representativo) y A568dC4P (un sustrato menos preferido representativo).

Se realiza una selección inicial para mutantes de polimerasa con cinética mejorada para análogos nucleotídicos marcados con fosfato terminal, usando un ensayo de prolongación de cebador con análogos nucleotídicos para determinar la tasa con análogos en condiciones experimentales. Típicamente se realizan dos experimentos diferentes, uno en presencia de 10 µM de A488dC4P, 20 µM de 3 dNTP-dCTP, y molde circular (AGTC), y uno en presencia de 10 µM de A568dC4P, 20 µM de 3 dNTP-dCTP, y molde circular (AGTC).

Opcionalmente se examinan otras características de la polimerasa recombinante, incluyendo, por ejemplo, la fidelidad, el tiempo de residencia (1/V<sub>max</sub>), la actividad exonucleasa (por ejemplo, a 10 uM, mediante la prolongación de cebador emparejado incorrectamente), la fracción activa (frecuencia de descarga), tasa con dNTP, dN5P, análogos únicamente conectores y/o análogos FRET, cinética (capacidad de utilizar análogos) con Mg<sup>2+</sup> frente a

Mn<sup>2+</sup>, sensibilidad a fotoalteraciones, unión de ADN monocatenario, estado monomérico (por ejemplo, usando filtración en gel o geles nativos), y/o vida útil.

Los resultados de la evaluación de calidad de la proteína y la determinación de la tasa de polimerización y la constante cinética para polimerasas Phi 29 recombinantes ejemplares se presentan en las tablas 1 y 2, respectivamente.

Tabla 1. Caracterización inicial.

Descripción	Concentración; rendimiento de polimerasa purificada	Actividad específica (unidades/mg)
His-K135A-N62D	3,7 uM; 1 mg	12 454 000
His-E375H-N62D	7,4 uM; 1 mg	10 945 000
His-E375S-N62D	109 uM; 7 mg	10 961 000
His-E486A-N62D	40 uM; 3,5 mg	4 133 000
His-E486D-N62D	36 uM; 3,1 mg	11 634 000
His-K512A-N62D	34 uM; 10 mg	16 073 000
His-NipTuck_1-N62D	32 uM; 2,5 mg	12 400 000
His-NipTuck_2-N62D	4,4 uM; 0,3 mg	7 960 000

Tabla 2. Caracterización de la tasa de polimerización con nucleótidos naturales y análogos nucleotídicos.

Α	В	С	D	Е	F	G	Н	ı	J
GST-N62D	780	1200	20	1660	74	346	236	65	0,9799
His-N62D	750	1020	21			391	237	68	0,9754
His-K135A-N62D	840	880	24			292	154	43	0,9801
His-E375H-N62D	780	950	8	930	11	411	366	123	0,9510
His-E375S-N62D	940	1190	15	1300	28	420	332	74	0,9815
His-E486A-N62D	1690					303	118	15	0,9875
His-E486D-N62D						220	134	15	0,9885
His-K512A-N62D	1590 (630)					359	196	34	0,9821
His-NipTuck_1-N62D	660	520	24			153	116	24	0,9585
His-NipTuck_2-N62D	540 (1840)					147	129	28	0,9520

Columna A: Descripción.

Columna B: dTTP, dATP, dGTP (sin bifurcación G) V a 20 μM; determinado por un ensayo con tres nucleótidos nativos (dGTP, dTTP y dATP).

Columna C: A488dC4P, k<sub>el</sub> (pb/min); determinado examinando la dependencia en la concentración de análogo nucleotídico de la tasa de polimerización.

Columna D: A488dC4P, Km; determinado examinando la dependencia en la concentración de análogo nucleotídico de la tasa de polimerización.

Columna E: A568dC4P, k<sub>el</sub>; determinado examinando la dependencia en la concentración de análogo nucleotídico de la tasa de polimerización.

Columna F: A568dC4P, Km; determinado examinando la dependencia en la concentración de análogo nucleotídico de la tasa de polimerización.

Columna G: A488dC4P,  $\dot{V}$  a 10  $\mu$ M; determinado por un ensayo con un único análogo a baja concentración (10  $\mu$ M) y tres nucleótidos nativos.

Columna H: A568dC4P, V a 10 μM; determinado por un ensayo con un único análogo a baja concentración (10 uM) y tres nucleótidos nativos.

Columna I: A488dA4P, A633dC4P, A546dG4P, A594dT4P, V a 10  $\mu$ M; determinado por un ensayo con cuatro análogos nucleotídicos marcados en los extremos.

Columna J: Capacidad de procesamiento (kb<sup>-1</sup>); determinado por un ensayo de capacidad de procesamiento.

#### Ensayo con un único análogo a baja concentración (10 µM) y tres nucleótidos nativos

La ADN polimerasa Φ29 (enzima precursora o mutante) se preincubó con molde de ADN (ADN circular de 72 nucleótidos que incluye principalmente la secuencia repetitiva AGTC) con cebador de ADN hibridado. La mezcla de preincubación incluye tres nucleótidos nativos (dTTP, dATP y dGTP) y un análogo nucleotídico marcado en un extremo (A488dC4P o A568dC4P) a concentración 10 µM. Después de una corta preincubación, la reacción se inició con MnCl<sub>2</sub>. La reacción se detuvo con EDTA, y los productos se separaron usando electroforesis en gel de agarosa y se tiñeron con SYBR Gold (Invitrogen). La longitud promedio del ADN generado con la ADN polimerasa se determinó y se usó para estimar la tasa de polimerización. Véase, por ejemplo, la tabla 2, columnas G y H.

#### Ensayo con cuatro análogos nucleotídicos marcados en los extremos

El procedimiento es básicamente como se describe anteriormente en la sección titulada "Ensayo con un único análogo a baja concentración (10 μM) y tres nucleótidos nativos", con la excepción de que en este ensayo todos los nucleótidos están marcados en un extremo (A488dA4P, A633dC4P, A546dG4P, A594dT4P todos 10 μM). Véase, por ejemplo, la tabla 2, columna I.

15

10

5

20

25

#### Ensayo con tres nucleótidos nativos (dGTP, dTTP y dATP)

La ADN polimerasa Φ29 (enzima precursora o mutante) se preincubó con molde de ADN (ADN circular que incluye principalmente la secuencia repetitiva CAT, sin restos de G) con cebador de ADN hibridado; la mezcla de preincubación incluye tres nucleótidos nativos (dTTP, dATP y dGTP). Todas las etapas posteriores fueron básicamente como se describe anteriormente en la sección titulada "Ensayo con un único análogo a baja concentración (10 μM) y tres nucleótidos nativos". Véase, por ejemplo, la tabla 2, columna B.

#### La dependencia en la concentración de análogo nucleotídico de la tasa de polimerización

La ADN polimerasa  $\Phi$ 29 (enzima precursora o mutante) se preincubó con un molde de ADN (ADN circular de 72 nucleótidos que incluye principalmente la secuencia repetitiva AGTC) con cebador de ADN hibridado. La mezcla de preincubación incluye también tres nucleótidos nativos (dTTP, dATP y dGTP 20  $\mu$ M cada uno) y diversas concentraciones del análogo marcado en un extremo (A488dC4P o A568dC4P). Todas las etapas posteriores fueron básicamente como se describe anteriormente en la sección titulada "Ensayo con un único análogo a baja concentración (10  $\mu$ M) y tres nucleótidos nativos". Se determinó una longitud promedio de los productos de ADN generados con la ADN polimerasa a una concentración de análogo individual, y los resultados se ajustaron con la ecuación k =  $k_{el}$ \*[S]\*( $K_d$ +[S])<sup>-1</sup> en la que k es la tasa de polimerización observada,  $k_{el}$  es la tasa de polimerización a una concentración de saturación de sustrato ( $k_{el}$  mide la incorporación de múltiples restos) y [S] es la concentración de sustrato. Véase, por ejemplo, la tabla 2, columnas C, D, E y F.

#### Ensayo de capacidad de procesamiento

10

15

20

25

30

35

La ADN polimerasa Φ29 (enzima precursora o mutante) se preincubó con molde de ADN (ADN circular de 72 nucleótidos que incluye principalmente la secuencia repetitiva AGTC) con cebador de ADN hibridado. Después de una corta preincubación, la reacción se inició con una mezcla de inicio que incluía MnCl₂, dNTP y heparina. Incluir la heparina en la reacción evita que se reinicie la polimerización después de que la polimerasa se haya disociado del molde/cebador, de modo que todos los productos de ADN generados son el resultado de ejecuciones de polimerización continuas. Después de 20 min de incubación, la reacción se detuvo con EDTA, y los productos se separaron usando electroforesis en gel de agarosa y se tiñeron con SYBR Gold (Invitrogen). Los productos de ADN se analizaron básicamente como se describe en Bibillo A, Eickbush TH. J Biol Chem. 20 de septiembre de 2002; 277(38):34836-45, Epub 5 de julio de 2002. Los resultados se ajustaron con la ecuación exponencial única A\*exp(-Poff\*kb) en la que A es la amplitud, Poff es la probabilidad de disociación prematura de la polimerasa, y kb es la longitud del ADN (1000 nucleótidos). La probabilidad de elongación de la cadena (capacidad de procesamiento) puede calcularse fácilmente restando el valor Poff de 1,0. Véase, por ejemplo, la tabla 2, columna J.

#### Secuencias de polimerasas recombinantes ejemplares

Las secuencias de aminoácidos y polinucleotídicas de Phi 29 de tipo silvestre y polimerasas recombinantes ejemplares se presentan en la tabla 3.

Tabla 3. Secuencias.

	Tabla 3. Secuencias.				
SEQ ID NO:	Notas	Secuencia			
1	secuencia de aminoácidos de Phi 29 de tipo silvestre	mkhmprkmys cdfetttkve dcrvwaygym niedhseyki gnsldefmaw vlkvqadlyf hmlkfdgafi inwlerngfk wsadglpnty ntiisrmgqw ymidiclgyk gkrkihtviy dslkklpfpv kkiakdfklt vlkgdidyhk erpvgykitp eeyayikndi qiiaealliq fkqgldrmta gsdslkgfkd iittkkfkkv fptlslgldk evryayrggf twlndrfkek eigegmvfdv nslypaqmys rllpygepiv fegkyvwded yplhiqhirc efelkegyip			
		tiqikrsrfy kgneylkssg geiadlwlsn vdlelmkehy dlynveyisg lkfkattglf kdfidkwtyi kttsegaikq laklmlnsly gkfasnpdvt gkvpylkeng algfrlgeee tkdpvytpmg vfitawaryt titaaqacyd riiycdtdsi hltgteipdv ikdivdpkkl gywahestfk rakylrqkty iqdiymkevd gklvegspdd ytdikfsvkc agmtdkikke vtfenfkvgf srkmkpkpvq vpggvvlvdd tftik			

SEQ ID NO:	Notas	Secuencia
2	secuencia de aminoácidos de N62D (marcada)	mspilgywki kglvqptrll leyleekyee hlyerdegdk wrnkkfelgl efpnlpyyid gdvkltqsma iiryiadkhn mlggcpkera eismlegavl dirygvsria yskdfetlkv dflsklpeml kmfedrlchk tylngdhvth pdfmlydald vvlymdpmcl dafpklvcfk krieaipqid kylksskyia wplqgwqatf gggdhpksd gstsgsghhh hhhsaglvpr gstaigmket aaakferqhm dspdlgtggg sgddddkspm gyrgsefmkh mprkmyscdf etttkvedcr vwaygymnie dhseykigns ldefmawvlk vqadlyfhdl kfdgafiinw lerngfkwsa dglpntynti isrmgqwymi diclgykgkr kihtviydsl kklpfpvkki akdfkltvlk gdidyhkerp vgykitpeey ayikndiqii aealliqfkq gldrmtagsd slkgfkdiit tkkfkkvfpt lslgldkevr yayrggftwl ndrfkekeig egmvfdvnsl ypaqmysrll pygepivfeg kyvwdedypl hiqhircefe lkegyiptiq ikrsrfykgn eylkssggei adlwlsnvdl elmkehydly nveyisglkf kattglfkdf idkwtyiktt segaikqlak lmlnslygkf asnpdvtgkv pylkengalg frlgeeetkd pvytpmgvfi tawaryttit aaqacydrii ycdtdsihlt gteipdvikd ivdpkklgyw ahestfkrak ylrqktyiqd iymkevdgkl vegspddytd ikfsvkcagm tdkikkevtf enfkvgfsrk mkpkpvqvpg gvvlvddtft ik
3	secuencia de aminoácidos de K135A- N62D (marcada)	mspilgywki kglvqptrll leyleekyee hlyerdegdk wrnkkfelgl efpnlpyyid gdvkltqsma iiryiadkhn mlggcpkera eismlegavl dirygvsria yskdfetlkv dflsklpeml kmfedrlchk tylngdhvth pdfmlydald vvlymdpmcl dafpklvcfk krieaipqid kylksskyia wplqgwqatf gggdhppksd gstsgsghhh hhhsaglvpr gstaigmket aaakferqhm dspdlgtggg sgddddkspm gyrgsefmkh mprkmyscdf etttkvedcr vwaygymnie dhseykigns ldefmawvlk vqadlyfhdl kfdgafiinw lerngfkwsa dglpntynti isrmgqwymi diclgykgkr kihtviydsl kklpfpvkki aadfkltvlk gdidyhkerp vgykitpeey ayikndiqii aealliqfkq gldrmtagsd slkgfkdiit tkkfkkvfpt lslgldkevr yayrggftwl ndrfkekeig egmvfdvnsl ypaqmysrll pygepivfeg kyvwdedypl hiqhircefe lkegyiptiq ikrsrfykgn eylkssggei adlwlsnvdl elmkehydly nveyisglkf kattglfkdf idkwtyiktt segaikqlak lmlnslygkf asnpdvtgkv pylkengalg frlgeeetkd pvytpmgvfi tawaryttit aaqacydrii ycdtdsihlt gteipdvikd ivdpkklgyw ahestfkrak ylrqktyiqd iymkevdgkl vegspddytd ikfsvkcagm tdkikkevtf enfkvgfsrk mkpkpvqvpg gvvlvddtft ik
4	secuencia de aminoácidos de E375H- N62D (marcada)	mspilgywki kglvqptrll leyleekyee hlyerdegdk wrnkkfelgl efpnlpyyid gdvkltqsma iiryiadkhn mlggcpkera eismlegavl dirygvsria yskdfetlkv dflsklpeml kmfedrlchk tylngdhvth pdfmlydald vvlymdpmcl dafpklvcfk krieaipqid kylksskyia wplqgwqatf gggdhppksd gstsgsghhh hhhsaglvpr gstaigmket aaakferqhm dspdlgtggg sgddddkspm gyrgsefmkh mprkmyscdf etttkvedcr vwaygymnie dhseykigns ldefmawvlk vqadlyfhdl kfdgafiinw lerngfkwsa dglpntynti isrmgqwymi diclgykgkr kihtviydsl kklpfpvkki akdfkltvlk gdidyhkerp vgykitpeey ayikndiqii aealliqfkq gldrmtagsd slkgfkdiit tkkfkkvfpt lslgldkevr yayrggftwl ndrfkekeig egmvfdvnsl ypaqmysrll pygepivfeg kyvwdedypl hiqhircefe lkegyiptiq ikrsrfykgn eylkssggei adlwlsnvdl elmkehydly nveyisglkf kattglfkdf idkwtyiktt shgaikqlak lmlnslygkf asnpdvtgkv pylkengalg
		gteipdvikd ivdpkklgyw ahestfkrak ylrqktyiqd iymkevdgkl vegspddytd ikfsvkcagm tdkikkevtf enfkvgfsrk mkpkpvqvpg gvvlvddtft ik

SEQ ID NO:	Notas	Secuencia
5	secuencia de aminoácidos de E375S- N62D (marcada)	mspilgywki kglvqptrll leyleekyee hlyerdegdk wrnkkfelgl efpnlpyyid gdvkltqsma iiryiadkhn mlggcpkera eismlegavl dirygvsria yskdfetlkv dflsklpeml kmfedrlchk tylngdhvth pdfmlydald vvlymdpmcl dafpklvcfk krieaipqid kylksskyia wplqgwqatf gggdhppksd gstsgsghhh hhhsaglvpr gstaigmket aaakferqhm dspdlgtggg sgdddkspm gyrgsefmkh mprkmyscdf etttkvedcr vwaygymnie dhseykigns ldefmawvlk vqadlyfhdl kfdgafiinw lerngfkwsa dglpntynti isrmgqwymi diclgykgkr kihtviydsl kklpfpvkki akdfkltvlk gdidyhkerp vgykitpeey ayikndiqii aealliqfkq gldrmtagsd slkgfkdiit tkkfkkvfpt lslgldkevr yayrggftwl ndrfkekeig egmvfdvnsl ypaqmysrll pygepivfeg kyvwdedypl hiqhircefe lkegyiptiq ikrsrfykgn eylkssggei adlwlsnvdl elmkehydly nveyisglkf kattglfkdf idkwtyiktt ssgaikqlak lmlnslygkf asnpdvtgkv pylkengalg frlgeeetkd pvytpmgvfi tawaryttit aaqacydrii ycdtdsihlt gteipdvikd ikfsvkcagm tdkikkevtf enfkvgfsrk mkpkpvqvpg gvvlvddtft ik
6	secuencia de aminoácidos de E375K- N62D (marcada)	mspilgywki kglvqptrll leyleekyee hlyerdegdk wrnkkfelgl efpnlpyyid gdvkltqsma iiryiadkhn mlggcpkera eismlegavl dirygvsria yskdfetlkv dflsklpeml kmfedrlchk tylngdhvth pdfmlydald vvlymdpmcl dafpklvcfk krieaipqid kylksskyia wplqgwqatf gggdhppksd gstsgsghhh hhhsaglvpr gstaigmket aaakferqhm dspdlgtggg sgdddkspm gyrgsefmkh mprkmyscdf etttkvedcr vwaygymnie dhseykigns ldefmawvlk vqadlyfhdl kfdgafiinw lerngfkwsa dglpntynti isrmgqwymi diclgykgkr kihtviydsl kklpfpvkki akdfkltvlk gdidyhkerp vgykitpeey ayikndiqii aealliqfkq gldrmtagsd slkgfkdiit tkkfkkvfpt lslgldkevr yayrggftwl ndrfkekeig egmvfdvnsl ypaqmysrll pygepivfeg kyvwdedypl hiqhircefe lkegyiptiq ikrsrfykgn eylkssggei adlwlsnvdl elmkehydly nveyisglkf kattglfkdf idkwtyiktt skgaikqlak lmlnslygkf asnpdvtgkv pylkengalg frlgeeetkd pvytpmgvfi tawaryttit aaqacydrii ycdtdsihlt gteipdvikd ivdpkklgyw ahestfkrak ylrgktyiqd iymkevdgkl vegspddytd ikfsvkcagm tdkikkevtf enfkvgfsrk mkpkpvqvpg gvvlvddtft ik
7	secuencia de aminoácidos de E375R- N62D (marcada)	mspilgywki kglvqptrll leyleekyee hlyerdegdk wrnkkfelgl efpnlpyyid gdvkltqsma iiryiadkhn mlggcpkera eismlegavl dirygvsria yskdfetlkv dflsklpeml kmfedrlchk tylngdhvth pdfmlydald vvlymdpmcl dafpklvcfk krieaipqid kylksskyia wplqgwqatf gggdhppksd gstsgsghhh hhhsaglvpr gstaigmket aaakferqhm dspdlgtggg sgddddkspm gyrgsefmkh mprkmyscdf etttkvedcr vwaygymnie dhseykigns ldefmawvlk vqadlyfhdl kfdgafiinw lerngfkwsa dglpntynti isrmgqwymi diclgykgkr kihtviydsl kklpfpvkki akdfkltvlk gdidyhkerp vgykitpeey ayikndiqii aealliqfkq gldrmtagsd slkgfkdiit tkkfkkvfpt lslgldkevr yayrggftwl ndrfkekeig egmvfdvnsl ypaqmysrll pygepivfeg kyvwdedypl hiqhircefe lkegyiptiq ikrsrfykgn eylkssggei adlwlsnvdl elmkehydly nveyisglkf kattglfkdf idkwtyiktt srgaikqlak lmlnslygkf asnpdvtgkv pylkengalg frlgeeetkd pvytpmgvfi tawaryttit aaqacydrii ycdtdsihlt gteipdvikd ivdpkklgyw ahestfkrak ylrqktyiqd iymkevdgkl
		frlgeeetkd pvytpmgvfi tawaryttit aaqacydrii ycdtdsihl gteipdvikd ivdpkklgyw ahestfkrak ylrqktyiqd iymkevdgk

SEQ ID NO:	Notas	Secuencia
8	secuencia de aminoácidos de L384R- N62D (marcada)	mspilgywki kglvqptrll leyleekyee hlyerdegdk wrnkkfelgl efpnlpyyid gdvkltqsma iiryiadkhn mlggcpkera eismlegavl dirygvsria yskdfetlkv dflsklpeml kmfedrlchk tylngdhvth pdfmlydald vvlymdpmcl dafpklvcfk krieaipqid kylksskyia wplqgwqatf gggdhppksd gstsgsghhh hhhsaglvpr gstaigmket aaakferqhm dspdlgtggg sgddddkspm gyrgsefmkh mprkmyscdf etttkvedcr vwaygymnie dhseykigns ldefmawvlk vqadlyfhdl kfdgafiinw lerngfkwsa dglpntynti isrmgqwymi diclgykgkr kihtviydsl kklpfpvkki akdfkltvlk gdidyhkerp vgykitpeey ayikndiqii aealliqfkq gldrmtagsd slkgfkdiit tkkfkkvfpt lslgldkevr yayrggftwl ndrfkekeig egmvfdvnsl ypaqmysrll pygepivfeg kyvwdedypl hiqhircefe lkegyiptiq ikrsrfykgn eylkssggei adlwlsnvdl elmkehydly nveyisglkf kattglfkdf idkwtyiktt segaikqlak rmlnslygkf asnpdvtgkv pylkengalg frlgeeetkd pvytpmgvfi tawaryttit aaqacydrii ycdtdsihlt gteipdvikd ivdpkklgyw ahestfkrak ylrqktyiqd iymkevdgkl vegspddytd ikfsvkcagm tdkikkevtf enfkvgfsrk mkpkpvqvpg gvvlvddtft ik
9	secuencia de aminoácidos de E486A- N62D (marcada)	mspilgywki kglvqptrll leyleekyee hlyerdegdk wrnkkfelgl efpnlpyyid gdvkltqsma iiryiadkhn mlggcpkera eismlegavl dirygvsria yskdfetlkv dflsklpeml kmfedrlchk tylngdhvth pdfmlydald vvlymdpmcl dafpklvcfk krieaipqid kylksskyia wplggwqatf gggdhppksd gstsgsghhh hhhsaglvpr gstaigmket aaakferqhm dspdlgtggg sgddddkspm gyrgsefmkh mprkmyscdf etttkvedcr vwaygymnie dhseykigns ldefmawvlk vqadlyfhdl kfdgafiinw lerngfkwsa dglpntynti isrmgqwymi diclgykgkr kihtviydsl kklpfpvkki akdfkltvlk gdidyhkerp vgykitpeey ayikndiqii aealliqfkq gldrmtagsd slkgfkdiit tkkfkkvfpt lslgldkevr yayrggftwl ndrfkekeig egmvfdvnsl ypaqmysrll pygepivfeg kyvwdedypl hiqhircefe lkegyiptiq ikrsrfykgn eylkssggei adlwlsnvdl elmkehydly nveyisglkf kattglfkdf idkwtyiktt segaikqlak lmlnslygkf asnpdvtgkv pylkengalg frlgeeetkd pvytpmgvfi tawaryttit aaqacydrii ycdtdsihlt gteipdvikd ikfsvkcagm tdkikkevtf enfkvgfsrk mkpkpvqvpg gvvlvddtft ik
10	secuencia de aminoácidos de E486D- N62D (marcada)	mspilgywki kglvqptrll leyleekyee hlyerdegdk wrnkkfelgl efpnlpyyid gdvkltqsma iiryiadkhn mlggcpkera eismlegavl dirygvsria yskdfetlkv dflsklpeml kmfedrlchk tylngdhvth pdfmlydald vvlymdpmcl dafpklvcfk krieaipqid kylksskyia wplqgwqatf gggdhppksd gstsgsghhh hhhsaglvpr gstaigmket aaakferqhm dspdlgtggg sgddddkspm gyrgsefmkh mprkmyscdf etttkvedcr vwaygymnie dhseykigns ldefmawvlk vqadlyfhdl kfdgafiinw lerngfkwsa dglpntynti isrmgqwymi diclgykgkr kihtviydsl kklpfpvkki akdfkltvlk gdidyhkerp vgykitpeey ayikndiqii aealliqfkq gldrmtagsd slkgfkdiit tkkfkkvfpt lslgldkevr yayrggftwl ndrfkekeig egmvfdvnsl ypaqmysrll pygepivfeg kyvwdedypl hiqhircefe lkegyiptiq ikrsrfykgn eylkssggei adlwlsnvdl elmkehydly nveyisglkf kattglfkdf idkwtyiktt segaikqlak lmlnslygkf asnpdvtgkv pylkengalg frlgeeetkd pvytpmgvfi tawaryttit aaqacydrii ycdtdsihlt gteipdvikd ikfsvkcagm tdkikkevtf enfkvgfsrk mkpkpvqvpg gvvlvddtft ik
11	secuencia de aminoácidos de K512A- N62D (marcada)	mspilgywki kglvqptrll leyleekyee hlyerdegdk wrnkkfelgl efpnlpyyid gdvkltqsma iiryiadkhn mlggcpkera eismlegavl dirygvsria yskdfetlkv dflsklpeml kmfedrlchk tylngdhvth pdfmlydald vvlymdpmcl dafpklvcfk krieaipqid kylksskyia wplqgwqatf gggdhppksd gstsgsghhh hhhsaglvpr gstaigmket aaakferqhm dspdlgtggg sgddddkspm gyrgsefmkh mprkmyscdf etttkvedcr vwaygymnie dhseykigns ldefmawvlk vqadlyfhdl kfdgafiinw lerngfkwsa dglpntynti isrmgqwymi diclgykgkr kihtviydsl kklpfpvkki akdfkltvlk gdidyhkerp vgykitpeey ayikndiqii aealliqfkq gldrmtagsd slkgfkdiit tkkfkkvfpt lslgldkevr yayrggftwl ndrfkekeig egmvfdvnsl ypaqmysrll pygepivfeg kyvwdedypl hiqhircefe lkegyiptiq ikrsrfykgn eylkssggei adlwlsnvdl elmkehydly nveyisglkf kattglfkdf idkwtyiktt segaikqlak lmlnslygkf asnpdvtgkv pylkengalg frlgeeetkd pvytpmgvfi tawaryttit aaqacydrii ycdtdsihlt gteipdvikd ivdpkklgyw ahestfkrak ylrqktyiqd iymkevdgal vegspddytd ikfsvkcagm tdkikkevtf enfkvgfsrk mkpkpvqvpg gvvlvddtft ik

SEQ ID NO:	Notas	Secuencia
12	secuencia de aminoácidos de NipTuck_1-N62D (eliminación de los restos 505-525) (marcada)	mspilgywki kglvqptrll leyleekyee hlyerdegdk wrnkkfelgl efpnlpyyid gdvkltqsma iiryiadkhn mlggcpkera eismlegavl dirygvsria yskdfetlkv dflsklpeml kmfedrlchk tylngdhvth pdfmlydald vvlymdpmcl dafpklvcfk krieaipqid kylksskyia wplqgwqatf gggdhppksd gstsgsghhh hhhsaglvpr gstaigmket aaakferqhm dspdlgtggg sgddddkspm gyrgsefmkh mprkmyscdf etttkvedcr vwaygymnie dhseykigns ldefmawvlk vqadlyfhdl kfdgafiinw lerngfkwsa dglpntynti isrmgqwymi diclgykgkr kihtviydsl kklpfpvkki akdfkltvlk gdidyhkerp vgykitpeey ayikndiqii aealliqfkq gldrmtagsd slkgfkdiit tkkfkkvfpt lslgldkevr yayrggftwl ndrfkekeig egmvfdvnsl ypaqmysrll pygepivfeg kyvwdedypl hiqhircefe lkegyiptiq ikrsrfykgn eylksggei adlwlsnvdl elmkehydly nveyisglkf kattglfkdf idkwtyiktt segaikqlak lmlnslygkf asnpdvtgkv pylkengalg frlgeeetkd pvytpmgvfi tawaryttit aaqacydrii ycdtdsihlt gteipdvikd ivdpkklgyw ahestfkrak ylrqktyiqd ikdgefsvkc agmtdkikke vtfenfkvgf srkmkpkpvq vpggvvlvdd tftik
13	secuencia de aminoácidos de NipTuck_2-N62D (eliminación de los restos 505-525) (marcada)	mspilgywki kglvqptrll leyleekyee hlyerdegdk wrnkkfelgl efpnlpyyid gdvkltqsma iiryiadkhn mlggcpkera eismlegavl dirygvsria yskdfetlkv dflsklpeml kmfedrlchk tylngdhvth pdfmlydald vvlymdpmcl dafpklvcfk krieaipqid kylksskyia wplqgwqatf gggdhppksd gstsgsghhh hhhsaglvpr gstaigmket aaakferqhm dspdlgtggg sgddddkspm gyrgsefmkh mprkmyscdf etttkvedcr vwaygymnie dhseykigns ldefmawvlk vqadlyfhdl kfdgafiinw lerngfkwsa dglpntynti isrmgqwymi diclgykgkr kihtviydsl kklpfpvkki akdfkltvlk gdidyhkerp vgykitpeey ayikndiqii aealliqfkq gldrmtagsd slkgfkdiit tkkfkkvfpt lslgldkevr yayrggftwl ndrfkekeig egmvfdvnsl ypaqmysrll pygepivfeg kyvwdedypl hiqhircefe lkegyiptiq ikrsrfykgn eylkssggei adlwlsnvdl elmkehydly nveyisglkf kattglfkdf idkwtyiktt segaikqlak lmlnslygkf asnpdvtgkv pylkengalg frlgeeetkd pvytpmgvfi tawaryttit aaqacydrii ycdtdsihlt gteipdvikd ivdpkklgyw ahestfkrak ylrqktyiqd idgfsvkcag mtdkikkevt fenfkvgfsr kmkpkpvqvp ggvvlvddtf tik

SEQ ID NO:	Notas	Secuencia
14	secuencia de nucleótidos de N62D - plásmido pET41 N62D 1	tggcgaatgggacggccctgtagggggacattaagggggggg

SEQ ID NO:	Notas	Secuencia
		catgccggttactggaacgttgtgagggtaaacaactggcggtatggat gcggcggaccagagaaaatcactcagggtcaatgccagagcttcgtta atacagatgtaggtgttccacagggtagccagcagcatcctggatgcag atccggaacataatggtgcaggggcgctgacttccggtttccagactta ccgaacacggaaaccgaaggccttcatgttgtgtgccagacgt ttttgcagcagcagtcgcttcacgttcgtgcggtatcggtggactt tgctaaccagtaaggcaacccgcagcctagcgggtgcttacaacgacag gagcacgatcatgctagtcatgcccgcgccaccggaaggaggactgg ggttgaaggcttccaaggggattggcgagatccggtggtgatcgggactgggtgactaatggttgactaatgctagtcagtc

SEQ ID NO:	Notas	Secuencia
ID NO.		ttcaactagtggttctggtcatcaccatcactcactccgcgggtctgg tgccacgcggtagtactgcaattggtatgaaagaaaaccgctgctgctaaa ttcgaacgccagacaatggacagccagattgggttaccggtggtgctc cggtgatgacgacgacaagagcccatgggatatcgggtaccgattca tgaagcattgccgagaaagatgtatagttggcttttgagacaactac taaagtgaagactgtagggtatgggcgtatggttatatgaacaactac taaagtggagaacagtgatgggtatgggtggttatatgagcggtggg tgttgaaggtacaaaataggtaatagcctggatgggttataggcggtgg tgttgaaggtacaaagtgatatatttccaatgatctcaaatttgacgg gcttttatcattaactggttggaacgtaatggtttataggcggtgg tgttgaaggtacaagctgatctatatttccatgatctcaaatttgacgg gcttttatcattaactggttggaacgtaatggttccgctga cggattgccaaacacatataatacgatcatatctcgcatgggacaatggt acatgattgatatatgttaggctacaaagggaaacgtaagatacatac
15	secuencia de nucleótidos de K135AN62D	atgaagcacatgccgagaaagatgtatagttgtgactttgagcaaactactaaagtggaagactgtaggg tatggagtatagttatatgaatatagaagatcacagtgagtacaaactactaaagtggaagactttatag tatggcgtgtggtgtagaaggtacaagctgatcatatttccatgatcacaaattgactggagcttttatc attaactggttggaacqtaatggttttaagtggtcggctgacggattgccaaacactataataccgtca tatctcgcatgggacaatggtacatgattgatatatgtttaggctacaaagggaaacgtaagatacatac

SEQ ID NO:	Notas	Secuencia
16	secuencia de nucleótidos de E375H-N62D	atgaagcacatgccgagaaagatgtatagttgtgactttgagacactactaaagtggaagactgtaggg tatggcgtatggttatatgaatatagaagatcacagtgagtacaaaataggtaatagcctggatgagtt tatggcgtgggtgttgaaggtataagctgatctatatttccatgatctcaaaatttgacggaggttttatcattgcgtggtgttggaaggtacaagctgtatctatatttccatgatctcaaaatttgacggaggttttatcattagcgtggtggtggtggtggtggtggtggtggtggtggtggt
17	secuencia de nucleótidos de E375S-N62D	atgaagcacatgccgagaaagatgtatagttgtgactttgagcacactactaaagtggaagactgtaggg tatgggcgtatggttatatgaatatagaagatcacagtgagtacaaaaataggtaatagcctggatggtt tatggcgtgggtgttgaagttacaagctgatctatatttccatgatctcaaatttgacggagcttttate attaactggttggaacgtaatggttttaagtggtcggcgggattgccaaacacatataatacggttttate tatgcgatgggacgtaatggttttaagtggtcggcgggggatgccaaacacatataatacgatca tatctcgcatgggacaatggtacatgattgatatatgtttaggctacaaagggaaacgtaagatacatac
18	secuencia de nucleótidos de L384R-N62D	atgaagcacatgccgagaaagatgtatagttgtgactttgagacaactactaaagtggaagactgtaggg tatggcgtatggttatatgaatatagaagatcacagtgagtacaaaataggtaatagcctggatgagtt tatggcgtgggtgttgaaggtacaagctgatctatatttccatgatctcaaatttgacgagagcttttatc attactggttggaacgtaatggtttaagtggtcggcgacggattgccaaaagagacaatataatacgatca tatctcgcatgggacaatggtacaatgattgatatatgtttaggctgacggattgccaaaaggaaacgtaagaataca agtgatatatgacagctaaagaaactaccgtttcctgttaagaagatagctaagactttaaactacc agtgatatatgacagctaaagaaactaccgtttcctgttaagaagatagctaagactttaaactacc agtgatatatgacagctattcagattattgcggaagctctgttaattcagtttaagcaaggtttagaccg cctatattaaaaacgatattcagattattgcggaagctctgttaattcagtttaagcaaggtttagaccg gatgacagcaggcagtgaacgctaaaaggaatgtagtattataaacaccaaaaaaggtg tttcctacattgagtcttggactcgataaggaagtgagatacgccataagagtgggttttaatgcgaca gatgtatagtcgtctccttccatacggtgaacctatagtattcgagggtaaatacgtttgggacgaagat taccactacacatacagcatatcaggtggaacctatagtattcgagggtaaataccactatacaga taacaaaagagtgtttataaaggtagtgagttctaaaaaggagggtagatagccgacacttg gttgtcaaaatgtagacctagaattaatgaagaactacgacattaaaaaggagggag

SEQ ID NO:	Notas	Secuencia
19	secuencia de nucleótidos de E486A-N62D	atgaagcacatgccgagaaagatgtatagttgtgactttgagacaactactaaagtggaagactgtaggg tatgggcgtatggttatatgaatatagaagatcacagtgagtacaaataggtaatagcctggatgagtt tatggcgtgtgttgaaggtacaaagtgactatatttccatgatctcaaattggacgaggcttttatc attagccgtggtgttgaaggtacaaagtgactatatttccatgatcgacgaagcttttatc attagcggtggtgttgaaaggtacaagctgattgattgat
20	secuencia de nucleótidos de E486D-N62D	atgaagcacatgccgagaaagatgtatagttgtgactttgagacaactactaaaagtggaagactgtaggg tatgggcgtatggttatatgaatatagatgatacaagtgagtacaaagtgatacaaagtgatacaaagtgatacaaagtgatacaagtgatttatcaaatttgacggaggttttatcattggcggtggtgtgaagtacaagctgatcatatttccatgatctcaaatttgacggaggttttatcattaggcggtggtggaacgtaatggttttaagtgggcgcgggggggaacggaatggttttaagtggtggtgggggggg
21	secuencia de nucleótidos de K512A-N62D	atgaagcacatgccgagaaagatgtatagttgtgactttgagacasctaccaaagtggadagactycayyy tatcggcgtatgagatatagagaagatcacagtgagatacaaaataggtaatagcctggatgatt tatggcgtgggtgttgaaggtacaagatgatctatatttccatgatctcaaatttgacgagagctttattattagggggggtgggggggg

SEQ ID NO:	Notas	Secuencia
22	secuencia de nucleótidos de NipTuck_1-N62D	atgaagcacatgccgagaaagatgtatagttgtgactttgagacaactactaaagtggaagactgtaggg tatgggctatggttatatgaatatagaagatcacagtgagtacaaaataggtaatagcctggatgagtt tatggcgtgggtgttgaaggtacaagctgatctatatttccatgatctcaaatttgacgagggcttttatc attaactggttggaacgtaatggttttaagtggtcggcggcggattgccaaaaacacatataatacgatca ttatccgcatgggacatggtacatggtttaatggtttaaggcagacgactgcaaagactactacatac agtgatatatggcacatggtacatgattgatatatgtttaggctaaagatagctaaagactttaaactacc agtgatatatggcacatggtacatgattaccgtttcctgttaagaagatagctaaagactttaaactacc gttcttaaaggtgatattgattaccacaaagaagaccagtcggctataagataacaccgaagatacg gctatattaaaaacgatattcagattattgcggaagacgttgtaattcagattaatcaacaccaaagatttcaaaaaggtg gatgacagcaggcagtgacagtctaaaaggtttcaaggatattataaccactaagaaattcaaaaaggtg tttcctacattgagtcttggactcgataaggaagtgagatatcagacgctatagaggtggttttacatggttaa atgatatagtctcaaaaaaaaaa
23	secuencia de nucleótidos de NipTuck_2-N62D	atgaagcacatgccgagaaagatgtatagttgtgactttgagacaactactaaagtggaagactgtaggg tatgggcgtatggttatatgaatatagaagatcacagtgagtacaaaataggtaatagcctggatgagtt tatggcgtgggtgttgaaggtacaagctgatctatatttccatgatctcaaatttgacgaggcttttatc attaactggttggaacgtaatggttttaagtggtcggcgaggattgccaaacaatataatacggtagatca tatctcgcatgggaccgtaatggttttaagtggtcggcgaggattgccaaacacatataatacgatca tatctcgcatgggaccgtaatggttttaagtggtcggcgaggattgccaaacgactataaacacac tatctcgcatgggaccatggtacatggtttcctggttaaggatagctaaaggatacatac
24	secuencia de aminoácidos de K135A- N62D	mkhmprkmys cdfetttkve dcrvwaygym niedhseyki gnsldefmaw vlkvqadlyf hdlkfdgafi inwlerngfk wsadglpnty ntiisrmgqw ymidiclgyk gkrkihtviy dslkklpfpv kkiaadfklt vlkgdidyhk erpvgykitp eeyayikndi qiiaealliq fkqgldrmta gsdslkgfkd iittkkfkkv fptlslgldk evryayrggf twlndrfkek eigegmvfdv nslypaqmys rllpygepiv fegkyvwded yplhiqhirc efelkegyip tiqikrsrfy kgneylkssg geiadlwlsn vdlelmkehy dlynveyisg lkfkattglf kdfidkwtyi kttsegaikq laklmlnsly gkfasnpdvt gkvpylkeng algfrlgeee tkdpvytpmg vfitawaryt titaaqacyd riiycdtdsi hltgteipdv ikdivdpkkl gywahestfk rakylrqkty iqdiymkevd gklvegspdd ytdikfsvkc agmtdkikke vtfenfkvgf srkmkpkpvq vpggvvlvdd tftik
25	secuencia de aminoácidos de E375H- N62D	mkhmprkmys cdfetttkve dcrvwaygym niedhseyki gnsldefmaw vlkvqadlyf hdlkfdgafi inwlerngfk wsadglpnty ntiisrmgqw ymidiclgyk gkrkihtviy dslkklpfpv kkiakdfklt vlkgdidyhk erpvgykitp eeyayikndi qiiaealliq fkqgldrmta gsdslkgfkd iittkkfkkv fptlslgldk evryayrggf twlndrfkek eigegmvfdv nslypagmys rllpygepiv fegkyvwded yplhiqhirc efelkegyip tiqikrsrfy kgneylkssg geiadlwlsn vdlelmkehy dlynveyisg lkfkattglf kdfidkwtyi kttshgaikq laklmlnsly gkfasnpdvt gkvpylkeng algfrlgeee tkdpvytpmg vfitawaryt titaaqacyd riiycdtdsi hltgteipdv ikdivdpkkl gywahestfk rakylrqkty iqdiymkevd gklvegspdd ytdikfsvkc agmtdkikke vtfenfkvgf srkmkpkpvq vpggvvlvdd tftik

SEQ ID NO:	Notas	Secuencia
26	secuencia de aminoácidos de E375S- N62D	mkhmprkmys cdfetttkve dcrvwaygym niedhseyki gnsldefmaw vlkvqadlyf hdlkfdgafi inwlerngfk wsadglpnty ntiisrmgqw ymidiclgyk gkrkihtviy dslkklpfpv kkiakdfklt vlkgdidyhk erpvgykitp eeyayikndi qiiaealliq fkqgldrmta gsdslkgfkd iittkkfkkv fptlslgldk evryayrggf twlndrfkek eigegmvfdv nslypaqmys rllpygepiv fegkyvwded yplhiqhirc efelkegyip tiqikrsrfy kgneylkssg geiadlwlsn vdlelmkehy dlynveyisg lkfkattglf kdfidkwtyi kttsøgaikq laklmlnsly gkfasnpdvt gkvpylkeng algfrlgeee tkdpvytpmg vfitawaryt titaaqacyd riiycdtdsi hltgteipdv ikdivdpkkl gywahestfk rakylrqkty iqdiymkevd gklvegspdd ytdikfsvkc agmtdkikke vtfenfkvgf srkmkpkpvq vpggvvlvdd tftik
27	secuencia de aminoácidos de E375K- N62D	mkhmprkmys cdfetttkve dcrvwaygym niedhseyki gnsldefmaw vlkvqadlyf hdlkfdgafi inwlerngfk wsadglpnty ntiisrmgqw ymidiclgyk gkrkihtviy dslkklpfpv kkiakdfklt vlkgdidyhk erpvgykitp eeyayikndi qiiaealliq fkqgldrmta gsdslkgfkd iittkkfkkv fptlslgldk evryayrggf twlndrfkek eigegmvfdv nslypagmys rllpygepiv fegkyvwded yplhiqhirc efelkegyip tiqikrsrfy kgneylkssg geiadlwlsn vdlelmkehy dlynveyisg lkfkattglf kdfidkwtyi kttskgaikq laklmlnsly gkfasnpdvt gkvpylkeng algfrlgeee tkdpvytpmg vfitawaryt titaaqacyd riiycdtdsi hltgteipdv ikdivdpkkl gywahestfk rakylrqkty iqdiymkevd gklvegspdd ytdikfsvkc agmtdkikke vtfenfkvgf srkmkpkpvq vpggvvlvdd tftik
28	secuencia de aminoácidos de E375R- N62D	mkhmprkmys cdfetttkve dcrvwaygym niedhseyki gnsldefmaw vlkvqadlyf hdlkfdgafi inwlerngfk wsadglpnty ntiisrmgqw ymidiclgyk gkrkihtviy dslkklpfpv kkiakdfklt vlkgdidyhk erpvgykitp eeyayikndi qiiaealliq fkqgldrmta gsdslkgfkd iittkkfkkv fptlslgldk evryayrggf twlndrfkek eigegmvfdv nslypaqmys rllpygepiv fegkyvwded yplhiqhirc efelkegyip tiqikrsrfy kgneylkssg geiadlwlsn vdlelmkehy dlynveyisg lkfkattglf kdfidkwtyi kttsrgaikq laklmlnsly gkfasnpdvt gkvpylkeng algfrlgeee tkdpvytpmg vfitawaryt titaaqacyd riiycdtdsi hltgteipdv ikdivdpkkl gywahestfk rakylrqkty iqdiymkevd gklvegspdd ytdikfsvkc agmtdkikke vtfenfkvgf srkmkpkpvq vpggvvlvdd tftik
29	secuencia de aminoácidos de L384R- N62D	mkhmprkmys cdfetttkve dcrvwaygym niedhseyki gnsldefmaw vlkvqadlyf hdlkfdgafi inwlerngfk wsadglpnty ntiisrmgqw ymidiclgyk gkrkihtviy dslkklpfpv kkiakdfklt vlkgdidyhk erpvgykitp eeyayikndi qiiaealliq fkqgldrmta gsdslkgfkd iittkkfkkv fptlslgldk evryayrggf twlndrfkek eigegmvfdv nslypaqmys rllpygepiv fegkyvwded yplhiqhirc efelkegyip tiqikrsrfy kgneylkssg geiadlwlsn vdlelmkehy dlynveyisg lkfkattglf kdfidkwtyi kttsegaikq lakrmlnsly gkfasnpdvt gkvpylkeng algfrlgeee tkdpvytpmg vfitawaryt titaaqacyd riiycdtdsi hltgteipdv ikdivdpkkl gywahestfk rakylrqkty iqdiymkevd gklvegspdd ytdikfsvkc agmtdkikke vtfenfkvgf srkmkpvq vpggvvlvdd tftik
30	secuencia de aminoácidos de E486A- N62D	mkhmprkmys cdfetttkve dcrvwaygym niedhseyki gnsldefmaw vlkvqadlyf hdlkfdgafi inwlerngfk wsadglpnty ntiisrmgqw ymidiclgyk gkrkihtviy dslkklpfpv kkiakdfklt vlkgdidyhk erpvgykitp eeyayikndi qiiaealliq fkqgldrmta gsdslkgfkd iittkkfkkv fptlslgldk evryayrggf twlndrfkek eigegmvfdv nslypaqmys rllpygepiv fegkyvwded yplhiqhirc efelkegyip tiqikrsrfy kgneylkssg geiadlwlsn vdlelmkehy dlynveyisg lkfkattglf kdfidkwtyi kttsegaikq laklmlnsly gkfasnpdvt gkvpylkeng algfrlgeee tkdpvytpmg vfitawaryt titaaqacyd riiycdtdsi hltgteipdv ikdivdpkkl gywahastfk rakylrqkty iqdiymkevd gklvegspdd ytdikfsvkc agmtdkikke vtfenfkvgf srkmkpkpvq vpggvvlvdd tftik

SEQ ID NO:	Notas	Secuencia
31	secuencia de aminoácidos de E486D- N62D	mkhmprkmys cdfetttkve dcrvwaygym niedhseyki gnsldefmaw vlkvqadlyf hdlkfdgafi inwlerngfk wsadglpnty ntiisrmgqw ymidiclgyk gkrkihtviy dslkklpfpv kkiakdfklt vlkgdidyhk erpvgykitp eeyayikndi qiiaealliq fkqgldrmta gsdslkgfkd iittkkfkkv fptlslgldk evryayrggf twlndrfkek eigegmvfdv nslypagmys rllpygepiv fegkyvwded yplhiqhirc efelkegyip tiqikrsrfy kgneylkssg geiadlwlsn vdlelmkehy dlynveyisg lkfkattglf kdfidkwtyi kttsegaikq laklmlnsly gkfasnpdvt gkvpylkeng algfrlgeee tkdpvytpmg vfitawaryt titaaqacyd riiycdtdsi hltgteipdv ikdivdpkkl gywahdstfk rakylrqkty iqdiymkevd gklvegspdd ytdikfsvkc agmtdkikke vtfenfkvgf srkmkpkpvq vpggvvlvdd tftik
32	secuencia de aminoácidos de K512A- N62D	mkhmprkmys cdfetttkve dcrvwaygym niedhseyki gnsldefmaw vlkvqadlyf hdlkfdgafi inwlerngfk wsadglpnty ntiisrmgqw ymidiclgyk gkrkihtviy dslkklpfpv kkiakdfklt vlkgdidyhk erpvgykitp eeyayikndi qiiaealliq fkqgldrmta gsdslkgfkd iittkkfkkv fptlslgldk evryayrggf twlndrfkek eigegmvfdv nslypagmys rllpygepiv fegkyvwded yplhiqhirc efelkegyip tiqikrsrfy kgneylkssg geiadlwlsn vdlelmkehy dlynveyisg lkfkattglf kdfidkwtyi kttsegaikq laklmlnsly gkfasnpdvt gkvpylkeng algfrlgeee tkdpvytpmg vfitawaryt titaaqacyd riiycdtdsi hltgteipdv ikdivdpkkl gywahestfk rakylrqkty iqdiymkevd galvegspdd ytdikfsvkc agmtdkikke vtfenfkvgf srkmkpkpvq vpggvvlvdd tftik
33	secuencia de aminoácidos de NipTuck_1-N62D (eliminación de restos 505-525)	mkhmprkmys cdfetttkve dcrvwaygym niedhseyki gnsldefmaw vlkvqadlyf hdlkfdgafi inwlerngfk wsadglpnty ntiisrmgqw ymidiclgyk gkrkihtviy dslkklpfpv kkiakdfklt vlkgdidyhk erpvgykitp eeyayikndi qiiaealliq fkqgldrmta gsdslkgfkd iittkkfkkv fptlslgldk evryayrggf twlndrfkek eigegmvfdv nslypagmys rllpygepiv fegkyvwded yplhiqhirc efelkegyip tiqikrsrfy kgneylkssg geiadlwlsn vdlelmkehy dlynveyisg lkfkattglf kdfidkwtyi kttsegaikq laklmlnsly gkfasnpdvt gkvpylkeng algfrlgeee tkdpvytpmg vfitawaryt titaaqacyd riiycdtdsi hltgteipdv ikdivdpkkl gywahestfk rakylrqkty iqdikdgefs vkcagmtdki kkevtfenfk vgfsrkmkpk pvqvpggvvl vddtftik
34	secuencia de aminoácidos de NipTuck_2-N62D (eliminación de los restos 505-525)	mkhmprkmys cdfetttkve dcrvwaygym niedhseyki gnsldefmaw vlkvqadlyf hdlkfdgafi inwlerngfk wsadglpnty ntiisrmgqw ymidiclgyk gkrkihtviy dslkklpfpv kkiakdfklt vlkgdidyhk erpvgykitp eeyayikndi qiiaealliq fkqgldrmta gsdslkgfkd iittkkfkv fptlslgldk evryayrggf twlndrfkek eigegmvfdv nslypaqmys rllpygepiv fegkyvwded yplhiqhirc efelkegyip tiqikrsrfy kgneylkssg geiadlwlsn vdlelmkehy dlynveyisg lkfkattglf kdfidkwtyi kttsegaikq laklmlnsly gkfasnpdvt gkvpylkeng algfrlgeee tkdpvytpmg vfitawaryt titaaqacyd riiycdtdsi hltgteipdv ikdivdpkkl gywahestfk rakylrqkty iqdidgfsvk cagmtdkikk evtfenfkvg fsrkmkpkpv qvpggvvlvd dtftik

#### Caracterización de polimerasas recombinantes con análogos nucleotídicos

La  $K_m$  y la  $V_{max}$  se determinaron para polimerasas Phi29 recombinantes ejemplares y diversos análogos nucleotídicos. Los resultados se presentan en la tabla 4.

		Tabla 4.	$K_{m} y V_{max}$	frente a los a	nálogos.			
Mutación	Km¹	Vmax <sup>1</sup>	Km²	Vmax <sup>2</sup>	$\overline{Km}^3$	Vmax <sup>3</sup>	Km⁴	Vmax⁴
N62D	23	610	20	540	838	2500	68	1620
N62D:E375H	17	800	15	526	433	1250		
N62D:E375S	16,5	1158					40	1981
N62D:E375K	12	595						
N62D:E375Y	2,5	773	6,6	471	440	1430	18	1292
N62D:E375W	1,8	889	5,0	595	248	1428	16	1585

Mutación Km<sup>1</sup> Vmax<sup>1</sup> Km<sup>2</sup> Vmax<sup>2</sup> Km<sup>3</sup> Vmax<sup>3</sup> Km<sup>4</sup> Vmax<sup>4</sup>

<sup>1</sup>Medido para Alexa633-O-dC4P (también mencionado como A633dC4P en este documento)

<sup>2</sup>Medico para Alexa555-C2-dT4P. Este análogo tiene un conector de 2 carbonos ("C2") entre el fosfato delta y el resto marcador y tiene la siguiente estructura:

<sup>3</sup>Medico para Alexa555-C2-dTTP

<sup>4</sup>Medico para Alexa532-O-dG4P

Se caracterizó un conjunto de polimerasas Phi29 recombinantes ejemplares con diversos nucleótidos y/o análogos nucleotídicos. Los resultados se presentan en la tabla 5.

Tabla 5. Datos de cribado.

Mutación	Relación (baja/elevada) <sup>1</sup>	Tasa elevada <sup>2</sup>	Tasa Hz <sup>3</sup>	Mutación 2⁴	Marca(s) <sup>5</sup>
E375W	0,677	699,4	19,1	N62D	His
E375Y	0,694	498,5	12-1	N62D	His
E375H	0,445	510,1	9,4	N62D	His
E375Q	0,356	531,6	6,3	N62D	His
E375K	0,425	516,1	6,2	N62D	His
E375S	0,335	528,4	5,9	N62D	His
E375A	0,383	465,9	5,8	N62D	His
T15I	0,355	416,5	3,0		His
N62D	0,355	349,3	2,8		GST-His
N62D	0,362	373,2	2,7		His
K135A	0,412	272,0	1,6	N62D	His
K512A	0,335	347,7	1,4	N62D	His
NipTuck1	0,508	192,4	1,3	N62D	His
D12A	0,888	55,3	1,2		GST-His
E486A	0,441	152,5	1,0	N62D	His
E486D	0,467	142,0	0,9	N62D	His
T15I	0,726	105,9	0,0	N62D	His
NipTuck2	0,635	156,3	0,0	N62D	His
L384R	0,768	79,6	-0	N62D	His

<sup>T</sup>Relación = (tasa a 5  $\mu$ M de A633dC4P con 20  $\mu$ M de dA, dG, dTTP)/(tasa a 25  $\mu$ M de A633dC4P con 20  $\mu$ M de dA, dG, dTTP) a 1 mM de MnCl<sub>2</sub>. Una relación mayor corresponde a una Km menor.

<sup>2</sup>Tasa a 25 µM de A633dC4P con 20 µM de dA, dG, dTTP

 $^3$ Tasa a 10  $\mu$ M de Alexa488-O-dA4P, 10  $\mu$ M de FAM-Alexa532-O-dG4P, 10  $\mu$ M de FAM-Alexa594-O-dT4P, 10  $\mu$ M de Alexa633-O-dC4P con 1 mM de MnCl<sub>2</sub>. Proporciona una medida tanto para Km como para Vmax, con un conjunto representativo de cuatro análogos nucleotídicos.

<sup>4</sup>Mutación de fondo (si la hay). La polimerasa recombinante corresponde a la polimerasa Phi29 de tipo silvestre más la mutación 1 más la mutación 2.

<sup>5</sup>Marca para inmovilización y/o purificación

Las tasas de unión y liberación de producto se determinaron para las polimerasas Phi29 recombinantes ejemplares con el análogo nucleotídico A594-dT4P usando un ensayo de flujo detenido de FRET como se ilustra esquemáticamente en la figura 7, panel A. Los resultados se representan gráficamente en la figura 7 para Phi29 N62D (panel B), N62D:E375Y (panel C) y N62D:E375W (panel D). Las tasas de liberación de producto se muestran en la tabla 6.

Las polimerasas mutantes E375Y y E375W mostraron tasas aumentadas de unión y liberación de producto, los que indica que utilizan el análogo mejor de lo que lo hace la enzima precursora.

10

5

15

Tabla 6. Tasa de liberación de producto

Fnzima	Tasa de liberación de					
LIIZIIIIa	producto					
N62D	55 s <sup>-1</sup>					
N62D:E375Y	117 s <sup>-1</sup>					
N62D:E375W	76 s <sup>-1</sup>					

También se determinó la tasa de ramificación relativa (disociación del análogo sin incorporación, es decir, disociación del sustrato) para las polimerasas Phi29 recombinantes ejemplares con el análogo nucleotídico Alexa568-dA4P (también llamado A568-dA4P), usando un ensayo de flujo detenido de FRET como se ilustra esquemáticamente en la figura 8, panel A. En esta técnica, se emplea un molde con un colorante donante de FRET compatible para FRET con el colorante correspondiente sobre el análogo nucleotídico. El cebador tiene una terminación didesoxi en el extremo 3' para evitar la incorporación. El análogo se mezcla previamente con el complejo de enzima-molde-cebador didesoxi. En el aparato de flujo detenido, este complejo preformado se mezcla rápidamente con el nucleótido nativo correspondiente (dATP nativo, en este ejemplo) en exceso, que sirve como una "trampa" para evitar que se vuelva a unir el análogo después de disociarse. El aumento en la fluorescencia del colorante donante se controla como un medio de control de la tasa de disociación/ramificación del análogo.

Los resultados se representan gráficamente en la figura 8 para Phi29 N62D (panel B), N62D:E375Y (panel C) y N62D:E375W (panel D). Las tasas de ramificación se muestran en la tabla 7.

Tabla 7. Tasa de ramificación.

Enzima	Tasa ramificación	de				
N62D	90 s <sup>-1</sup>					
N62D:E375Y	31 s <sup>-1</sup>					
N62D:E375W	43 s <sup>-1</sup>					

#### Polimerasas recombinantes ejemplares adicionales

5

10

15

20

25

Las polimerasas de la invención pueden incluir una polimerasa Phi29 (u homólogo de la misma) que incluye cualquiera de las mutaciones enumeradas en la tabla 8, individualmente o en combinación con otras mutaciones (por ejemplo, otras mutaciones descritas en este documento). Por ejemplo, las polimerasas de la invención opcionalmente incluyen una polimerasa Phi29 (u homólogo de la misma) que incluye una combinación de mutaciones que se especifican en la tabla 8.

Tabla 8. Mutaciones ejemplares.

D12A E375W T372D

D12A E375W T372E

D12A E375W T372R K478D

D12A E375W T372R K478E

D12A E375W T372K K478D

D12A E375W T372K D478E

D12A E375W K135D

D12A E375W K135E

D12A E375W K512D

D12A E375W K512E

D12A E375W E408K

D12A E375W E408R

D12A E375W T368D L480K

D12A E375W T368E L480K

D12A D456N

N62D D456N

D12A D456A

N62D D456A

D12A D456S

N62D D456S

N62D E375M

N62D E375L

N62D E375I

N62D E375F

N62D E375D

D12A K512W

N62D K512W

D12A K512Y N62D K512Y D12A K512F N62D K512F D12A E375W K512L N62D E375W K512L D12A E375W K512Y N52D E375W K512Y D12A E375W K512F N62D E375W K512F D12A E375Y K512L N62D E375Y K512L D12A E375Y K512Y N62D E375Y K512Y D12A E375Y K512F N62D E375Y K512F D12A E375W K512H N62D E375W K512H D12A E375Y K512H N62D E375Y K512H D12A D510F N62D D510F D12A D510Y N62D D510Y D12A D510W N62D D510W D12A E375W D510F N62D E375W D510F D12A E375W D510Y N62D E375W D510Y D12A E375W D510W N62D E375W D510W D12A E375W D510W K512L N62D E375W D510W K512L D12A E375W D510W K512F N62D E375W D510W K512F D12A E375W D510H N62D E375W D510H D12A E375W D510H K512H N62D E375W D510H K512H D12A E375W D510H K512F N62D E375W D510H K512F D12A V509Y N62D V509Y D12A V509W N62D V509W D12A V509F N62D V509F D12A V514Y N62D V514Y D12A V514W N62D V514W D12A V514F N62D V514F D12S D12N D12Q D12K D12A N62D Y254F N62D Y254V N62D Y254A N62D Y390F N62D Y390A N62D S252A

N62D N387A

N62D K157E N62D I242H N62D Y259S N62D G320C N62D L328V N62D T368M N62D T368G N62D Y369R N62D Y369H N62D Y369E N62D I370V N62D I370K N62D K371Q N62D T372N N62D T372D N62D T372R N62D T372L N62D T373A N62D T373H N62D S374E N62D I378K N62D K379E N62D K379T N62D N387D N62D Y405V N62D L408D N62D G413D N62D D423V N62D I442V N62D Y449F N62D D456V N62D L480M N62D V509K N62D V509I N62D D510A N62D V514I N62D V514K N62D E515K N62D D523T N62D H149Y E375W M554S M8S N62D M102S H116Y M188S E375W N62D M97S E375W M8S N62D M97S M102S M188S E375W M554S M8A N62D M97A M102A M188A E375W M554A

Se han descrito previamente unas pocas mutaciones en la polimerasa Phi29. Para la mutación N62D, véase de Vega et al. (1996) "Primer-terminus stabilization at the 3'-5' exonuclease active site of phi29 DNA polymerase. Involvement of two amino acid residues highly conserved in proofreading DNA polymerases" EMBO J. 15(5):1182-92. Para la mutación D12A y mutaciones en las posiciones E14, 66, 165, 169, 12 y 66, y 14 y 66, véase Esteban et al. (1994) "3'-->5' exonuclease active site of phi 29 DNA polymerase. Evidence favoring a metal ion-assisted reaction mechanism" J Biol Chem. 269(50):31946-54. Para la mutación de S252, véase Blasco et al. (1993) "Phi 29 DNA polymerase active site. Residue ASP249 of conserved amino acid motif 'Dx2SLYP' is critical for synthetic activities" J Biol Chem. 268(32):24106-13. Para la mutación de Y254, véase Blasco et al. (1992) "Phi 29 DNA polymerase active site. Mutants in conserved residues Tyr254 and Tyr390 are affected in dNTP binding" J Biol Chem. 267(27):19427-34. Para la mutación de K371, véase Truniger et al. (2002) "A positively charged residue of phi29 DNA polymerase, highly conserved in DNA polymerases from families A and B, is involved in binding the incoming nucleotide" Nucleic Acids Res. 30(7):1483-92. Para la mutación de K379, véase Truniger et al. (2004) "Two Positively Charged Residues of \$\phi29\$ DNA Polymerase, Conserved in Protein-primed DNA Polymerases, are Involved in Stabilisation of the Incoming Nucleotide" Journal of Molecular Biology 335(2):481-494. Para la mutación de N387, véase Blasco et al. (1993) "Phi 29 DNA polymerase active site. The conserved amino acid motif 'Kx3NSxYG' is involved in templateprimer binding and dNTP selection" J Biol Chem. 268(22):16763-70. Para la mutacion de Y390, véase Blasco et al (1992) "Phi 29 DNA polymerase active site. Mutants in conserved residues Tyr254 and Tyr390 are affected in dNTP binding" J Biol Chem. 267(27):19427-34. Para la mutación de D456, véase Bemad et al. (1990) "The highly conserved amino acid sequence motif Tyr-Gly-Asp-Thr-Asp-Ser in alpha-like DNA polymerases is required by phage phi 29 DNA polymerase for protein-primed initiation and polymerization" Proc Natl Acad Sci USA. 87(12):4610-4.

10

15

20

Ejemplo 4: Un soporte informático para el modelado y ensayo de la cinética enzimática de la ADN polimerasa, que aborda todos los procesos cinéticos y las variables libres simultáneamente.

Las transiciones de estado cinético de la polimerasa se almacenan en una matriz de probabilidades para tramos de tiempo concretos. Un vector de distribuciones de estado probabilísticas puede describir la probabilidad de encontrar una polimerasa particular en varios estados de polimerasa de acuerdo con un modelo de continuidad. La multiplicación de álgebra lineal del vector de distribución de estados con la matriz de probabilidades de transición de estado proporciona un nuevo vector de distribuciones de estado de polimerasa, que describe el efecto del paso del tiempo igual al tramo de tiempo concreto de la matriz de probabilidades de transición de estado.

5

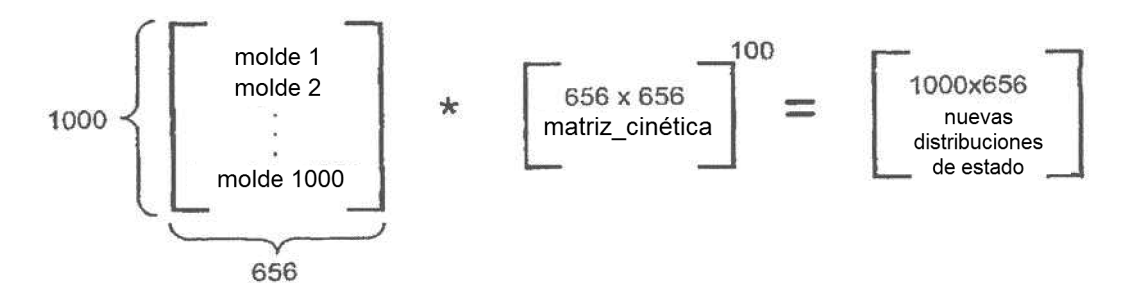
10

15

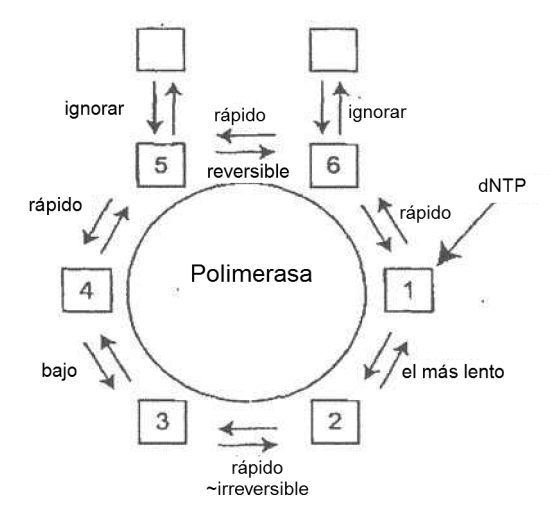
molde 1
molde 2

\* matriz\_cinética = nuevas
distribuciones
de estado

Generando la matriz de probabilidades de transición de estado para una potencia exponencial particular (por ejemplo, 100), se simula el paso del tiempo de un número particular de tramos de tiempo concretos (por ejemplo, 100 tramos de tiempo). Usando muchos tramos de tiempo concretos se simula la polimerización del ADN. Modelo de estado estacionario.



- 20 Las tasas de transición se definen por el usuario. La matriz de probabilidades se genera automáticamente usando la secuencia de molde y las normas de transición de estado codificadas en el soporte. Una diversidad de parámetros, tales como las concentraciones de reactivos, los valores de velocidad cinética y la organización de la matriz de probabilidades pueden variar de los descritos en este ejemplo.
- Los siguiente es un ejemplo de un modelo cinético de polimerasa en estado estacionario.



$$R_p = C_6 K_{61} - C_1 K_{16} = C_1 K_{12} - C_2 K_{21}$$

$$= C_2 K_{23} - C_3 K_{32}$$

$$= C_3 K_{34} - C_4 K_{43}$$

$$= C_4 K_{45}$$

$$= C_5 K_{56} - C_6 K_{65}$$

R<sub>p</sub> = tasa de catálisis

C<sub>6</sub> = probabilidad de encontrar la polimerasa en estado 6

10 K<sub>61</sub> = tasa de transición de la polimerasa en estado 6 a estado 1

k<sub>ij</sub> = reacción evaluada

P<sub>ij</sub> = k<sub>ij</sub>Δt reacción evaluada

 $P_{ij} = i \rightarrow j$  probabilidad

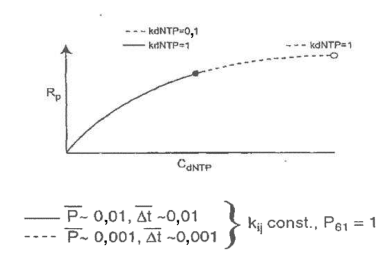
\* K<sub>54</sub> ≈ 0 como concentración de pirofosfato

15

5

 $\dot{R}_p = C_6 K_{61} - C_1 K_{16} =$ tasa de catálisis

 $R_p^i = (R_p)_{max} @ K_{61} \to \infty$ ,  $C_6 \to 0$  como una condición de concentración de nucleótido creciente hasta saturación Para encontrar  $(R_p)_{max}$ 

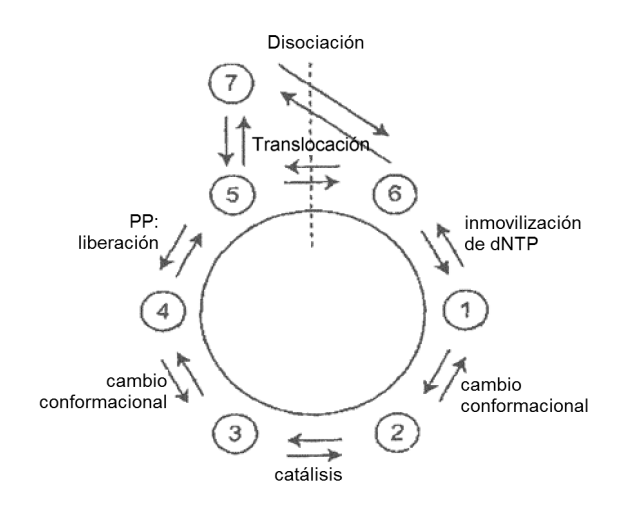


20

#### Matriz Mega

25

Los siguiente es una matriz 2-D individual para capturar todos los posibles estados cinéticos de un sistema de polimerasa-molde-dNTP:



30

Variables				
Estado de la polimerasa	Base del molde	Base nucleot.	Nativo/Análogo	Base nucleot. previa
1-4	A-T	A-T	0-1	A-T
5	A-T	A-T	Χ	A-T
6	A-T	Χ	Χ	A-T
7	A-T	A-T	Χ	A-T

<sup>\*</sup> Según Δt↓, se encuentra la asíntota de R<sub>p</sub>

\* Esto produce una matriz de 656 estados, en la que los estados son los siguientes:

1.	1	Α	Α	0	Α
2.	1	Α	Α	0	С
3.	1	Α	Α	0	G
4.	1	A	Α	0	T
5.	1	Α	Α	1	Α
6.	1	Α	Α	1	С
7.	1	Α	Α	1	G
8.	1	Α	Α	1	T
9.	1	Α	С	0	Α
652.	7*	Т	G	X	Т
653.	7*	T	T	X	Α
654.	7*	T	T	Х	С
655.	7*	T	T	Х	G
656.	7*	T	T	X	T

<sup>\*</sup>En este caso, el estado 7 es la disociación de la polimerasa del molde, que opcionalmente puede simplificarse para que no suceda nunca.

En este caso el molde de ADN es la secuencia repetida (ACGT.) Para un molde más largo, la secuencia repetida tendrá proporcionalmente más estados, en la medida que la secuencia repetida del molde más largo no contenga la secuencia de molde original. Por ejemplo, la matriz de transición de probabilidades generada para la secuencia

...[ACGT]ACGT...

5

15

20

25

30

35

10 sería equivalente a la matriz generada para la secuencia

...[ACGTACGT]ACGT....

Sin embargo, la matriz de transición de probabilidades generada para la secuencia

...[AACCGGTT]AACC...

sería diferente, ya que contiene muchas transiciones de estado no permitidas en la matriz original (por ejemplo, translocación de la polimerasa de una "A" a otra "A" en la secuencia de molde. Además, como esta secuencia repetida contiene ocho bases de Watson-Crick en lugar de cuatro, generaría una matriz de 1312 estaos en lugar de 656.

Algunos estados no requieren que se definan todas las variables (véase la tabla anterior). Por ejemplo, las características de un nucleótido que aún no se ha incorporado en el estado 6 no afecta a la identidad del estado 6.

577.	6	Α	Х	Χ	Α

<sup>\*</sup> La tasa de transición entre dos estados se definirá tal cual:

562.	5	Т	Α	Х	С

P56TAxC = k56TAxC \* tramo de tiempo

En la que P56TAxC es la probabilidad de que la polimerasa complete la translocación del 5 al estado 6 con las condiciones adicionales de nucleótido-molde descritas por "TAxC". K56TAxC es la tasa de transición de esta translocación.

Actualmente en este sistema de 656 estados, hay 1568 tasas de transición a definir. Hay varias aproximaciones que pueden hacerse para reducir la cantidad de entradas que necesita introducir el usuario.

Las siguientes combinaciones pueden tratarse de forma equivalente en todas las transiciones de estado:

Nucleótido del molde: ACGT

**TGCA** 

Asimismo, todos los emparejamiento incorrectos pueden tratarse igual

K12AT0A = k12xZ0Z

K12CG0T = k12xZ0Z

K12CT0T = k12xY0Z

K12CT1C = k12xY1Y

X = cualquier variable

5

10

15

20

25

Y = cualquier emparejamiento incorrecto

Z = cualquier emparejamiento

De esta manera, la selección de entrada del usuario se reduce a -100 variables de tasa de transición única. Todas las tasas definidas de forma explícita se asignan automáticamente a las entradas del usuario apropiadas.

#### Construcción de matriz Mega

#### nuevo estado

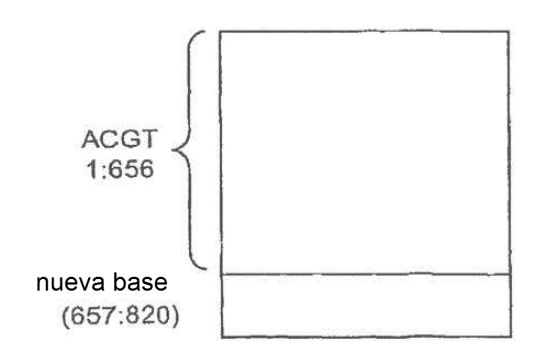
Para sacar provecho de la simetría con el fin de insertar tasas de transición definidas por el usuario en la matriz automáticamente, puede cambiarse la organización de la matriz de 656 estados:

Antigua						
1.	1	Α	Α	0	Α	
2.	1	Α	Α	0	С	
656.	7	Т	Т	1	Т	

Nueva	а				
1.	Α	1	Α	0	Α
2.	Α	1	Α	0	С
656.	T	7	T	1	T

#### Esto tiene dos ventajas:

30 (1.) el molde puede prolongarse únicamente con ligeras modificaciones a la matriz. Cada base del molde en la secuencia repetida conlleva 164 estados adicionales. Anteriormente, los nuevos estados tendrían que entretejerse en la matriz.



(2) La matriz tiene un mayor grado de simetría que antes, lo que hace que sea más fácil construir la matriz usando código automatizado:

para ii = 1:164 eval (['...']); % final ii

5

15

20

Siete instrucciones "eval" (una función que evalúa un comando construido de forma artificial) construyen siete estados de polimerasa.

Esto se ha potenciado adicionalmente para construir la matriz para <u>cualquier</u> secuencia de molde dada automáticamente.

Una automatización adicional de la generación de la matriz de probabilidades de transición de estado es a través de la construcción de una matriz de concentración, que contiene las concentraciones de todos los reactivos relevantes (polimerasa, molde, nucleótidos, etc.). Esta matriz de concentración completa la matriz de transición de estado de modo que (en el límite de concentración lineal).

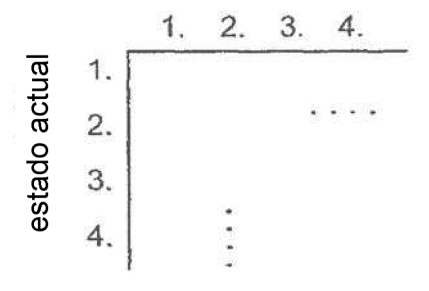
matriz\_cinética = matriz\_transición\_velocidad.\* matriz\_conc

matriz\_probabilidades\_transición\_estado = matriz\_cinética \* tramo\_tiempo

en la que cada elemento de la matriz de transición de velocidad se ha multiplicado por su variable dependiente correspondiente en la matriz de concentración. De esta manera, se capturan las transiciones de estado dependientes de la concentración (por ejemplo, la tasa de incorporación de nucleótidos depende de la concentración de nucleótidos). Los elementos de la matriz que no dependen de la concentración no se cambian. Las dependencias no lineales en la concentración puede abordarse usando una fórmula no lineal que define la matriz cinética.

Lo siguiente describe la matriz de probabilidades de transición de estado:

#### nuevo estado



35 Matriz = ceros(656,656);
Matriz(1, [1,139,577]) = [1-p12AA0A - p16AA0A, p12AA0A, p16AA0A];
Matriz(2, [2,130,578]) = [1-p12AA0C - p16AA0C, p12AA0C, p16AA0C];
....
Matriz(129, [129,257,1]) = [1-p23AA0A - p21AA0A, p23AA0A, p21AA0A];
....
Matriz(656, [656,580,576]) = [1-p76TTxT - p75TTxT, p76TTxT, p75TTxT];

en las que cada uno de los valores de probabilidad insertado en la matriz se ha calculado usando las tasas de transición definidas por el usuario, los valores de concentración y un tramo de tiempo concreto. Obsérvese que el primer elemento de una fila es la probabilidad de no tener transición entre los estados y es, por tanto, la diferencia entre un 100 % y las probabilidades de todas las transiciones de estado de ese estado particular.

Aumento de la eficacia de simulación:

5

10

15

20

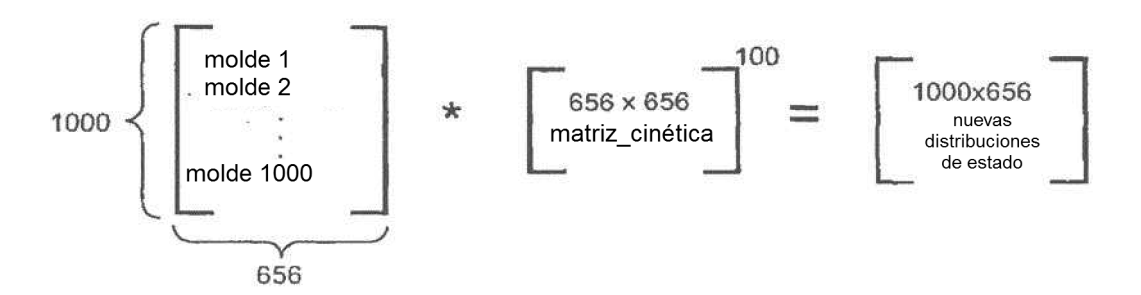
35

40

45

Generando la matriz de probabilidades de transición de estado para una potencia exponencial particular (por ejemplo, 100), se simula el paso del tiempo de un número particular de tramos de tiempo concretos (por ejemplo, 100 tramos de tiempo).

Pueden hacerse mejoras adicionales a la eficacia de la simulación a través de la vectorización de muchos complejos de polimerasa-molde simultáneamente.



<u>Límite de velocidad</u>: La síntesis de ADN puede rastrearse observando donde está la polimerasa sobre el molde.

[1000] = "A" = "C" etc.

Si nos movemos demasiado rápido (es decir, demasiados tramos de tiempo en la matriz de transición exponencial), la polimerasa puede ir de "A" directo a "G", haciendo que no esté claro si era una translocación directa o inversa. Por lo tanto, se establece un límite de error (~ le-6) que define un factor de tiempo exponencial sobre la matriz\_cinética. El límite de velocidad es tal que ni la probabilidad de translocación inversa de "A" a "G" no la probabilidad de translocación directa de "A" a "T" excede el límite de la tasa de error. Una secuencia repetida de ADN más larga nos permitirá movernos más rápido, pero una secuencia repetida que sea demasiado larga será intensa de forma computacional.

Una aplicación adicional de este programa puede ser la simulación de la tasa de consumo de reactivo. Moviendo a tamaño de tramo <u>muy</u> grandes, se simula el movimiento de la polimerasa a lo largo del molde. Esta estrategia usa únicamente un molde en una distribución continua de estados (en lugar de 1000<sup>+</sup> moldes en estados concretos). Esto rastrea el consumo de reactivo a lo largo del tiempo.

Se encuentra el cambio de concentración de reactivos basándose en la población actual del sistema y basándose en las constantes de velocidad de transición:

$$\begin{split} d(dTAP_o)_{per\ pol} &= C_1 \Delta t k 16 A A 0 A + C_2 \Delta t k 16 A A 0 C + \dots C_{520} \Delta t k 16 T T 0 T \\ &- C_{145} \Delta t k 6 1 A A 0 A - C_{146} \Delta t k 6 1 A A 0 C - \dots = C_1 p 6 1 A A 0 A + C_{146} p 6 1 A A 0 C + \dots \\ &- C_{145} p 6 1 A A 0 A - C_{146} p 6 1 A A 0 C - \dots \end{split}$$

En las que estas probabilidades son durante un tramo de tiempo de 1e 6 segundos de la matriz cinética:

cambio de concentración (molar) de reactivo dTAP (nativo) en 1 ciclo cerrado donde el tiempo transcurrido = núm\_etapas \* 1e<sup>-</sup>6 segundos

5

$$\Delta C_{\text{max}} < 1\%$$
 ?

límite de velocidad:

10

Según N se va haciendo más grande, el ajuste a las concentraciones en cada ciclo cerrado se hace más grande e impreciso. Esto se usa para establecer un factor de tiempo exponencial sobre la matriz\_cinética. Véase la figura 9, que representa el tamaño de salto de la matriz cinética frente a la bajada de concentración.

15

Incluso aceptando que núm\_etapas = 1e6 puede proporcionar curvas de concentración "suficientemente" precisas (véase la estrategia para suavizar según disminuye el tamaño del tramo).

El resultante (matriz doble 4096 x 4096 es un límite de memoria razonable).

20

Una aplicación adicional de este programa puede ser a estimación de la fracción de emparejamiento incorrecto de la polimerasa usando un modelo de continuidad o un modelo de recuento. Actualmente, se dice que el 2.º par de molde - nucleótido previo es <u>siempre</u> un emparejamiento. (Esto es para reducir el tamaño de la matriz 4x... el error debe ser pequeño salvo que haya mucha actividad exonucleasa).

25

Por lo tanto, cualquier translocación directa del estado 5 con un emparejamiento incorrecto previo se convierte en un emparejamiento incorrecto permanente (únicamente no lo parecerá si se retrocede).

tasa de translocación total directa =  $C_5$ . \*  $C_6$ . -  $C_6$ . \*  $k_{65}$ 

30

35

 $C_5$  representa la concentración de todos los estados de la matriz con la polimerasa en estado 5 (véase pg. 128)  $k_{56}$  es el conjunto completo de todas las tasas correspondientes para la translocación directa

translocación directa de emparejamiento incorrecto = 
$$C_5^{(m)}$$
. \*  $k_{56}^{(m)}$  -  $C_6^{(m)}$ . \*  $k_{65}^{(m)}$ 

40

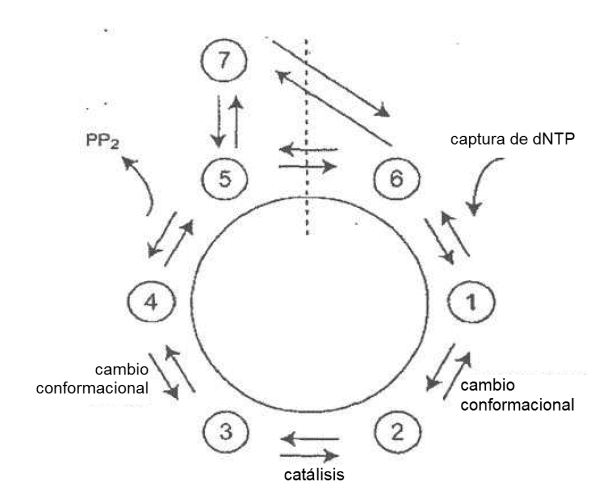
(En la translocación inversa, nunca se finalizará en el estado 5 de la polimerasa con emparejamiento incorrecto previo, véase anteriormente).

45

También se puede generar un modelo de recuento que cuenta la cantidad de complejos de polimerasa/molde que tienen emparejamiento incorrecto de molde/nucleótido previo y que <u>también</u> hacen la translocación directa (haciendo el emparejamiento incorrecto permanente), y lo promedian sobre toda la polimerasa para obtener una fracción de emparejamiento incorrecto. Esta debe estar en la misma aproximación que la estimación del modelo de continuidad anterior.

50

1) Primero se establecen todas las constantes de velocidad igual a la polimerasa T7 como se muestra por Patel, et al. (1991) "Pre-Steady-State Kinetic Analysis of Processive DNA Replication Including Complete Characterization of an Exonuclease-Deficient Mutant" Biochemistry 30:511-525.



Constantes de velocidad específicas, etc.

```
5 K_{61} \ge 50 \ \mu m^{-1} \ s^{-1}
K_{12} = 300 \ \mu m^{-1} \ s^{-1}
K_{23} \ge 9000 \ \mu m^{-1} \ s^{-1}
K_{34} = 1200 \ \mu m^{-1} \ s^{-1}
K_{645} \ge 1000 \ \mu m^{-1} \ s^{-1}
10 K_{16} \ge 1000 \ \mu m^{-1} \ s^{-1}
K_{21} = 100 \ \mu m^{-1} \ s^{-1}
K_{32} = 18 \ 000 \ \mu m^{-1} \ s^{-1}
K_{43} = 18 \ \mu m^{-1} \ s^{-1}
K_{54} \ge 0.5 \ \mu m^{-1} \ s^{-1}
15 (V_{max})_{nativo} = 50 \ pb
(V_{max})_{análogo} = 5 \ pb
(K_m)_{nativo} = 0.2 \ \mu m
(K_m)_{análogo} = 6 \ \mu m
```

- 20 2) Usando la saturación de la concentración de dNTP (≥ 1 mM), se establece la V<sub>max</sub> = 50 pb cambiando k<sub>12</sub> (principalmente) y otras constantes de velocidad (si fuera necesario). Se mantienen todas las tasas de transición de análogo iguales a las tasas de transición de dNTP nativos. Por ahora se interrumpe la disociación (tasa → 0)
- 3) Usando la saturación de la concentración del análogo-dNTP (≥ 1 mM), se establece la V<sub>max</sub> = 5 pb cambiando k<sub>45</sub> para los análogos únicamente.
  - 4) Se establece  $(k_m)_{nativo}$  = 0,2  $\mu$ m estableciendo la concentración de dNTP nativo a 0,2  $\mu$ m y cambiando  $k_{61}$  (nativos únicamente) de modo que V = 25 pb.
- 30 5) Se establece  $(k_m)_{nativo}$  = 6 μm estableciendo la concentración de dNTP análogo a 6 μm y cambiando  $k_{61}$  (análogos únicamente) de modo que V- 2,5 pb.

```
dNTP nativos
                                 k_{61} = 365 \mu m^{-1} s^{-1}

k_{12} = 60 \mu m^{-1} s^{-1}
35
                                 k_{23} = 9000 \ \mu \text{m}^{-1} \ \text{s}^{-1}
                                 k_{34} = 1200 \mu m^{-1} s^{-1}

k_{45} = 1000 \mu m^{-1} s^{-1}
                                 k_{56} = 500 \ \mu m^{-1} \ s^{-1}
                                 k_{16} = 10 \ \mu m^{-1} \ s^{-1}

k_{21} = 100 \ \mu m^{-1} \ s^{-1}
40
                                 k_{32} = 1800 \ \mu m^{-1}
                                 k_{43} = 18 \ \mu m^{-1} \ s^{-1}
                                 k_{54} = 0.5 \,\mu\text{m}^{-1}\,\text{s}^{-1}
                                 k_{65} = 100 \ \mu m^{-1} \ s^{-1}
45
                                 dNTP análogos
                                 k_{61} = 1,1 \, \mu m \, s^{-1}
                                 k_{12} = 60 \ \mu m^{-1} \ s^{-1}
                                 k_{23} = 9000 \mu m^{-1} s^{-1}

k_{34} = 5.5 \mu m^{-1} s^{-1}
50
```

```
\begin{array}{c} k_{45} = 5.5 \; \mu m^{-1} \; s^{-1} \\ k_{56} = 500 \; \mu m^{-1} \; s^{-1} \\ k_{16} = 10 \; \mu m^{-1} \; s^{-1} \\ k_{21} = 100 \; \mu m \; s^{-1} \\ 5 \\ k_{32} = 1800 \; \mu m^{-1} \; s^{-1} \\ k_{43} = 18 \; \mu m^{-1} \; s^{-1} \\ k_{54} = 0.1 \; \mu m^{-1} \; s^{-1} \\ k_{65} = 100 \; \mu m^{-1} \; s^{-1} \end{array}
```

10 Todas las tasas se someterán a calibración por futuros experimentos también. pol\_índice.

m: Inicializa todas las listas de índice de matriz necesarias y punteros basándose en la secuencia de ADN.

Pol\_matriztasa.m: Recoge el archivo Excel como entrada, que contiene una lista de todas las constantes de velocidad únicas, produce la matriz de tasas de transición basándose en la secuencia de ADN.

Pol matrizconc.m: Recoge las concentraciones de reactivos, compone la matriz de concentración de manera que:

15

Matriz de probabilidades = tramo tiempo \* matriz tasas \* matriz conc

(para todos los elementos con diagonales)

Pol dntp consumo.m: Calcula tas tasas de consumo de reactivo basándose en el modelo de continuidad.

20 POL\_adn.m: Combinas todas las funciones anteriores de POL\_ADN, POL\_REACTIVOS, POL\_MAPACURVA. rastrea todo el consumo anterior.

rastrea la distribución de longitud de la síntesis de ADN,

rastrea el molde libre, el molde de ADNbc completado, el molde que sobre el que se está trabajando en el momento, múltiples ejecuciones de concentración posibles

25 secuencia de ADN repetitiva definida por el usuario, molde de longitud finita pol metal.m: Realización completa de experimento de reducción de Mg+, usando la versión concentrada POL ADN.

Aunque la invención anterior se ha descrito en algún detalle con fines de claridad y comprensión, estará claro para los expertos en la materia, a partir de la lectura de esta divulgación, que pueden hacerse diversos cambios en la forma y el detalle sin alejarse del verdadero alcance de la invención. Por ejemplo, todas las técnicas y aparatos

descritos anteriormente pueden usarse en diversas combinaciones.

#### LISTADO DE SECUENCIAS

35 <110> PACIFIC BIOSCIENCES OF CALIFORNIA, INC.

<120> POLIMERASAS PARA LA INCORPORACIÓN DE ANÁLOGOS NUCLEOTÍDICOS

<130> SJK/FP7171499

40

30

<140> TBC

<141> 21/12/2006

<150> EP 06848948.3

45 <151> 21/12/2006

<150> PCT/US2006/049122

<151> 21/12/2006

50 <150> US 11/645.223

<151> 21/12/2005

<160> 64

55 <170> PatentIn versión 3.4

<210> 1 <211> 575

<212> PRT

60 <213> Bacteriófago phi-29

<400> 1

- Met Lys His Met Pro Arg Lys Met Tyr Ser Cys Asp Phe Glu Thr Thr 1  $\phantom{\bigg|}5\phantom{\bigg|}$  10  $\phantom{\bigg|}15\phantom{\bigg|}$
- Thr Lys Val Glu Asp Cys Arg Val Trp Ala Tyr Gly Tyr Met Asn Ile 20  $\phantom{\bigg|}25\phantom{\bigg|}$
- Glu Asp His Ser Glu Tyr Lys Ile Gly Asn Ser Leu Asp Glu Phe Met 35 40 45
- Ala Trp Val Leu Lys Val Gln Ala Asp Leu Tyr Phe His Asn Leu Lys 50 60
- Phe Asp Gly Ala Phe Ile Ile Asn Trp Leu Glu Arg Asn Gly Phe Lys 65 70 75 80
- Trp Ser Ala Asp Gly Leu Pro Asn Thr Tyr Asn Thr Ile Ile Ser Arg
- Met Gly Gln Trp Tyr Met Ile Asp Ile Cys Leu Gly Tyr Lys Gly Lys 100 105 110
- Arg Lys Ile His Thr Val Ile Tyr Asp Ser Leu Lys Lys Leu Pro Phe 115 120 125

Pro	Val 130	Lys	Lys	Ile	Ala	Lys 135	Asp	Phe	Lys	Leu	Thr 140	Val	Leu	Lys	Gly
Asp 145	Ile	Asp	Tyr	His	Lys 150	Glu	Arg	Pro	Val	Gly 155	Tyr	Lys	Ile	Thr	Pro 160
Glu	Glu	Tyr	Ala	Tyr 165	Ile	Lys	Asn	Asp	Ile 170	Gln	Ile	Ile	Ala	Glu 175	Ala
Leu	Leu	Ile	Gln 180	Phe	Lys	Gln	Gly	Leu 185	Asp	Arg	Met	Thr	Ala 190	Gly	Ser
Asp	Ser	Leu 195	Lys	Gly	Phe	Lys	Asp 200	Ile	Ile	Thr	Thr	Lys 205	Lys	Phe	Lys
Lys	Val 210	Phe	Pro	Thr	Leu	Ser 215	Leu	Gly	Leu	Asp	Lys 220	Glu	Val	Arg	Tyr
Ala 225	Tyr	Arg	Gly	Gly	Phe 230	Thr	Trp	Leu	Asn	Asp 235	Arg	Phe	Lys	Glu	Lys 240
Glu	Ile	Gly	Glu	Gly 245	Met	Val	Phe	Asp	Val 250	Asn	Ser	Leu	Tyr	Pro 255	Ala
Gln	Met	Tyr	Ser 260	Arg	Leu	Leu	Pro	Tyr 265	Gly	Glu	Pro	Ile	Val 270	Phe	Glu
Gly	Lys	Tyr 275	Val	Trp	Asp	Glu	Asp 280	Tyr	Pro	Leu	His	Ile 285	Gln	His	Ile
Arg	Cys 290	Glu	Phe	Glu	Leu	Lys 295	Glu	Gly	Tyr	Ile	Pro 300	Thr	Ile	Gln	Ile
Lys 305	Arg	Ser	Arg	Phe	Tyr 310	Lys	Gly	Asn	Glu	Tyr 315	Leu	Lys	Ser	Ser	Gly 320
Gly	Glu	Ile	Ala	Asp 325	Leu	Trp	Leu	Ser	<b>A</b> sn 330	Val	Asp	Leu	Glu	Leu 335	Met
Lys	Glu	His	Tyr 340	Asp	Leu	Tyr	Asn	Val 345	Glu	Tyr	Ile	Ser	Gly 350	Leu	Lys
Phe	Lys	<b>Ala</b> 355	Thr	Thr	Gly	Leu	Phe 360	Lys	Asp	Phe	Ile	<b>Asp</b> 365	Lys	Trp	Thr
Tyr	Ile 370	Lys	Thr	Thr	Ser	Glu 375	Gly	Ala	Ile	Lys	Gln 380	Leu	Ala	Lys	Leu

		Met 385	Leu	Asn	Ser	Leu	Tyr 390	Gly	Lys	Phe	Ala	Ser 395	Asn	Pro	Asp	Val	Thr 400
		Gly	Lys	Val	Pro	Tyr 405	Leu	Lys	Glu	Asn	Gly 410	Ala	Leu	Gly	Phe	Arg 415	Leu
		Gly	Glu	Glu	Glu 420	Thr	Lys	Asp	Pro	Val 425	Tyr	Thr	Pro	Met	Gly 430	Val	Phe
		Ile	Thr	Ala 435	Trp	Ala	Arg	Tyr	Thr 440	Thr	Ile	Thr	Ala	Ala 445	Gln	Ala	Cys
		Tyr	Asp 450	Arg	Ile	Ile	Tyr	Cys 455	Asp	Thr	Asp	Ser	Ile 460	His	Leu	Thr	Gly
		Thr 465	Glu	Ile	Pro	Asp	Val 470	Ile	Lys	Asp	Ile	Val 475	Asp	Pro	Lys	Lys	Leu 480
		Gly	Tyr	Trp	Ala	His 485	Glu	Ser	Thr	Phe	Lys 490	Arg	Ala	Lys	Tyr	Leu 495	Arg
		Gln	Lys	Thr	<b>Tyr</b> 500	Ile	Gln	Asp	Ile	<b>Tyr</b> 505	Met	Lys	Glu	Val	Asp 510	Gly	Lys
		Leu	Val	Glu 515	Gly	Ser	Pro	Asp	Asp 520	Tyr	Thr	Asp	Ile	Lys 525	Phe	Ser	Val
		Lys	C <b>ys</b> 530	Ala	Gly	Met	Thr	<b>Asp</b> 535	Lys	Ile	Lys	Lys	Glu 540	Val	Thr	Phe	Glu
		Asn 545	Phe	Lys	Val	Gly	Phe 550	Ser	Arg	Lys	Met	<b>Lys</b> 555	Pro	Lys	Pro	Val	Gln 560
		Val	Pro	Gly	Gly	Val 565	Val	Leu	Val	Asp	<b>Asp</b> 570	Thr	Phe	Thr	Ile	<b>Lys</b> 575	
5	<210> 2 <211> 862 <212> PRT <213> Artificial																
10	<220> <223> polimera	asa Pl	hi29 r	nutar	nte N6	62D n	narca	da co	n GS	iT, His	s y S						
	<400> 2																
		Met 1	Ser	Pro	Ile	Leu 5	Gly	Tyr	Trp	Lys	Ile 10	Lys	Gly	Leu	Val	Gln 15	Pro

Tnr	Arg	ьеu	20	Leu	GIU	Tyr	ьeu	25	GIU	ьуs	Tyr	GIU	30	HIS	тет
Tyr	Glu	Arg 35	Asp	Glu	Gly	Asp	Lys 40	Trp	Arg	Asn	Lys	Lys 45	Phe	Glu	Let
Gly	Leu 50	Glu	Phe	Pro	Asn	Leu 55	Pro	Tyr	Tyr	Ile	Asp 60	Gly	Asp	Val	Lys
Leu 65	Thr	Gln	Ser	Met	Ala 70	Ile	Ile	Arg	Tyr	11e 75	Ala	Asp	Lys	His	Ası 80
Met	Leu	Gly	Gly	Cys 85	Pro	Lys	Glu	Arg	Ala 90	Glu	Ile	Ser	Met	Leu 95	Glı
Gly	Ala	Val	Leu 100	Asp	Ile	Arg	Tyr	Gly 105	Val	Ser	Arg	Ile	Ala 110	Tyr	Sei
Lys	Asp	Phe 115	Glu	Thr	Leu	Lys	Val 120	Asp	Phe	Leu	Ser	Lys 125	Leu	Pro	Glı
Met	Leu 130	Lys	Met	Phe	Glu	<b>Asp</b> 135	Arg	Leu	Суѕ	His	Lys 140	Thr	Tyr	Leu	Ası
Gly 145	Asp	His	Val	Thr	His 150	Pro	Asp	Phe	Met	Leu 155	Tyr	Asp	Ala	Leu	Asp 160
Val	Val	Leu	Tyr	Met 165	Asp	Pro	Met	Cys	Leu 170	Asp	Ala	Phe	Pro	Lys 175	Leu
Val	Cys	Phe	Lys 180	Lys	Arg	Ile	Glu	Ala 185	Ile	Pro	Gln	Ile	Asp 190	Lys	Туз
Leu	Lys	Ser 195	Ser	Lys	Tyr	Ile	Ala 200	Trp	Pro	Leu	Gln	Gly 205	Trp	Gln	Ala
Thr	Phe 210	Gly	Gly	Gly	Asp	His 215	Pro	Pro	Lys	Ser	Asp 220	Gly	Ser	Thr	Ser
Gly 225	Ser	Gly	His	His	His 230	His	His	His	Ser	Ala 235	Gly	Leu	Val	Pro	Arç 240
Gly	Ser	Thr	Ala	Ile 245	Gly	Met	Lys	Glu	Thr 250	Ala	Ala	Ala	Lys	Phe 255	Glu

Arg Gln His Met Asp Ser Pro Asp Leu Gly Thr Gly Gly Gly Ser Gly 265 270

Asp	Asp	<b>Asp</b> 275	Asp	Lys	Ser	Pro	Met 280	Gly	Tyr	Arg	Gly	Ser 285	Glu	Phe	Met
Lys	His 290	Met	Pro	Arg	Lys	Met 295	Tyr	Ser	Cys	Asp	Phe 300	Glu	Thr	Thr	Thr
<b>Lys</b> 305	Val	Glu	Asp	Суѕ	Arg 310	Val	Trp	Ala	Tyr	Gly 315	Tyr	Met	Asn	Ile	Glu 320
Asp	His	Ser	Glu	Туг 325	Lys	Ile	Gly	Asn	<b>Ser</b> 330	Leu	Asp	Glu	Phe	Met 335	Ala
Trp	Val	Leu	Lys 340	Val	Gln	Ala	Asp	Leu 345	Tyr	Phe	His	Asp	Leu 350	Lys	Phe
Asp	Gly	<b>Ala</b> 355	Phe	Ile	Ile	Asn	Trp 360	Leu	Glu	Arg	Asn	Gly 365	Phe	Lys	Trp
Ser	<b>A</b> la 370	Asp	Gly	Leu	Pro	Asn 375	Thr	Tyr	Asn	Thr	Ile 380	Ile	Ser	Arg	Met
Gly 385	Gln	Trp	Tyr	Met	Ile 390	Asp	Ile	Cys	Leu	Gly 395	Tyr	Lys	Gly	Lys	Arg 400
Lys	Ile	His	Thr	Val 405	Ile	Tyr	Asp	Ser	Leu 410	Lys	Lys	Leu	Pro	Phe 415	Pro
Val	Lys	Lys	Ile 420	Ala	Lys	Asp	Phe	Lys 425	Leu	Thr	Val	Leu	Lys 430	Gly	Asp
Ile	Asp	Tyr 435	His	Lys	Glu	Arg	Pro 440	Val	Gly	Tyr	Lys	Ile 445	Thr	Pro	Glu
Glu	Tyr 450	Ala	Tyr	Ile	Lys	Asn 455	Asp	Ile	Gln	Ile	Ile 460	Ala	Glu	Ala	Leu
Leu 465	Ile	Gln	Phe	Lys	Gln 470	Gly	Leu	Asp	Arg	Met 475	Thr	Ala	Gly	Ser	Asp 480
Ser	Leu	Lys	Gly	Phe 485	Lys	Asp	Ile	Ile	Thr 490	Thr	Lys	Lys	Phe	Lys 495	Lys
Val	Phe	Pro	Thr 500	Leu	Ser	Leu	Gly	Leu 505	Asp	Lys	Glu	Val	<b>Arg</b> 510	Tyr	Ala
Tyr	Arg	Gly 515	Gly	Phe	Thr	Trp	Leu 520	Asn	Asp	Arg	Phe	Lys 525	Glu	Lys	Glu

Ile	Gly 530	Glu	Gly	Met	Val	Phe 535	Asp	Val	Asn	Ser	Leu 540	Tyr	Pro	Ala	Gln
Met 545	Tyr	Ser	Arg	Leu	Leu 550	Pro	Tyr	Gly	Glu	Pro 555	Ile	Val	Phe	Glu	Gly 560
Lys	Tyr	Val	Trp	<b>Asp</b> 565	Glu	Asp	Tyr	Pro	<b>Leu</b> 570	His	Ile	Gln	His	Ile 575	Arg
Cys	Glu	Phe	Glu 580	Leu	Lys	Glu	Gly	Tyr 585	Ile	Pro	Thr	Ile	Gln 590	Ile	Lys
Arg	Ser	<b>A</b> rg 595	Phe	Tyr	Lys	Gly	Asn 600	Glu	Tyr	Leu	Lys	Ser 605	Ser	Gly	Gly
Glu	Ile 610	Ala	Asp	Leu	Trp	Leu 615	Ser	Asn	Val	Asp	Leu 620	Glu	Leu	Met	Lys
Glu 625	His	Tyr	Asp	Leu	<b>Tyr</b> 630	Asn	Val	Glu	Tyr	Ile 635	Ser	Gly	Leu	Lys	Phe 640
Lys	Ala	Thr	Thr	Gly 645	Leu	Phe	Lys	Asp	Phe 650	Ile	Asp	Lys	Trp	Thr 655	Tyr
Ile	Lys	Thr	Thr 660	Ser	Glu	Gly	Ala	Ile 665	Lys	Gln	Leu	Ala	<b>Lys</b> 670	Leu	Met
Leu	Asn	Ser 675	Leu	Tyr	Gly	Lys	Phe 680	Ala	Ser	Asn	Pro	<b>Asp</b> 685	Val	Thr	Gly
Lys	Val 690	Pro	Tyr	Leu	Lys	Glu 695	Asn	Gly	Ala	Leu	Gly 700	Phe	Arg	Leu	Gly
Glu 705	Glu	Glu	Thr	Lys	Asp 710	Pro	Val	Tyr	Thr	Pro 715	Met	Gly	Val	Phe	Ile 720
Thr	Ala	Trp	Ala	Arg 725	Tyr	Thr	Thr	Ile	Thr 730	Ala	Ala	Gln	Ala	Cys 735	Tyr
Asp	Arg	Ile	Ile 740	Tyr	Cys	Asp	Thr	Asp 745	Ser	Ile	His	Leu	Thr 750	Gly	Thr
Glu	Ile	Pro 755	Asp	Val	Ile	Lys	Asp 760	Ile	Val	Asp	Pro	<b>Lys</b> 765	Lys	Leu	Gly
Tyr	Trp	Ala	His	Glu	Ser	Thr	Phe	Lys	Arg	Ala	Lys	Tyr	Leu	Arg	Gln

			770					775					780				
		<b>Lys</b> 785	Thr	Tyr	Ile	Gln	Asp 790	Ile	Tyr	Met	Lys	Glu 795	Val	Asp	Gly	Lys	<b>Leu</b> 800
		Val	Glu	Gly	Ser	Pro 805	Asp	Asp	Tyr	Thr	<b>Asp</b> 810	Ile	Lys	Phe	Ser	Val 815	Lys
		Cys	Ala	Gly	Met 820	Thr	Asp	Lys	Ile	<b>Lys</b> 825	Lys	Glu	Val	Thr	Phe 830	Glu	Asn
		Phe	Lys	Val 835	Gly	Phe	Ser	Arg	Lys 840	Met	Lys	Pro	Lys	Pro 845	Val	Gln	Val
		Pro	Gly 850	Gly	Val	Val	Leu	<b>Val</b> 855	Asp	Asp	Thr	Phe	Thr 860	Ile	Lys		
5	<210> 3 <211> 862 <212> PRT <213> Artificial																
10	<220> <223> polimera	asa Pl	hi29 r	mutar	nte K1	135A-	N62E	) mar	cada	con (	GST,	His y	S				
	<400> 3																
		Met 1	Ser	Pro	Ile	Leu 5	Gly	Tyr	Trp	Lys	Ile 10	Lys	Gly	Leu	Val	Gln 15	Pro
		Thr	Arg	Leu	Leu 20	Leu	Glu	Tyr	Leu	Glu 25	Glu	Lys	Tyr	Glu	Glu 30	His	Leu
		Tyr	Glu	Arg 35	Asp	Glu	Gly	Asp	Lys 40	Trp	Arg	Asn	Lys	Lys 45	Phe	Glu	Leu
		Gly	Leu 50	Glu	Phe	Pro	Asn	Leu 55	Pro	Tyr	Tyr	Ile	Asp 60	Gly	Asp	Val	Lys
		Leu 65	Thr	Gln	Ser	Met	Ala 70	Ile	Ile	Arg	Tyr	Ile 75	Ala	Asp	Lys	His	Asn 80
		Met	Leu	Gly	Gly	Cys 85	Pro	Lys	Glu	Arg	Ala 90	Glu	Ile	Ser	Met	Leu 95	Glu
		Gly	Ala	Val	Leu 100	Asp	Ile	Arg	Tyr	Gly 105	Val	Ser	Arg	Ile	<b>A</b> la 110	Tyr	Ser
		Lys	Asp	Phe 115	Glu	Thr	Leu	Lys	Val 120	Asp	Phe	Leu	Ser	Lys 125	Leu	Pro	Glu

Met	130	ьys	Met	Pne	GIU	135	Arg	ьeu	Суѕ	HIS	140	Tnr	Tyr	ьеu	Asn
Gly 145	Asp	His	Val	Thr	His 150	Pro	Asp	Phe	Met	Leu 155	Tyr	Asp	Ala	Leu	Asp 160
Val	Val	Leu	Tyr	Met 165	Asp	Pro	Met	Cys	Leu 170	Asp	Ala	Phe	Pro	Lys 175	Leu
Val	Cys	Phe	Lys 180	Lys	Arg	Ile	Glu	Ala 185	Ile	Pro	Gln	Ile	Asp 190	Lys	Tyr
Leu	Lys	Ser 195	Ser	Lys	Tyr	Ile	Ala 200	Trp	Pro	Leu	Gln	Gly 205	Trp	Gln	Ala
Thr	Phe 210	Gly	Gly	Gly	Asp	His 215	Pro	Pro	Lys	Ser	Asp 220	Gly	Ser	Thr	Ser
Gly 225	Ser	Gly	His	His	His 230	His	His	His	Ser	Ala 235	Gly	Leu	Val	Pro	Arg 240
Gly	Ser	Thr	Ala	Ile 245	Gly	Met	Lys	Glu	Thr 250	Ala	Ala	Ala	Lys	Phe 255	Glu
Arg	Gln	His	Met 260	Asp	Ser	Pro	Asp	Leu 265	Gly	Thr	Gly	Gly	Gly 270	Ser	Gly
Asp	Asp	<b>Asp</b> 275	Asp	Lys	Ser	Pro	Met 280	Gly	Tyr	Arg	Gly	Ser 285	Glu	Phe	Met
Lys	His 290	Met	Pro	Arg	Lys	Met 295	Tyr	Ser	Cys	Asp	Phe 300	Glu	Thr	Thr	Thr
Lys 305	Val	Glu	Asp	Суз	Arg 310	Val	Trp	Ala	Tyr	Gly 315	Tyr	Met	Asn	Ile	Glu 320
Asp	His	Ser	Glu	Tyr 325	Lys	Ile	Gly	Asn	Ser 330	Leu	Asp	Glu	Phe	Met 335	Ala
Trp	Val	Leu	Lys 340	Val	Gln	Ala	Asp	Leu 345	Tyr	Phe	His	Asp	Leu 350	Lys	Phe
Asp	Gly	Ala 355	Phe	Ile	Ile	Asn	Trp 360	Leu	Glu	Arg	Asn	Gly 365	Phe	Lys	Trp
Ser	Ala	Asp	Glv	T.e.11	Pro	Asn	Thr	Tur	Asn	Thr	Tle	Tle	Ser	Ara	Met

	370					375					380				
Gly 385	Gln	Trp	Tyr	Met	Ile 390	Asp	Ile	Суз	Leu	Gly 395	Tyr	Lys	Gly	Lys	Arg 400
Lys	Ile	His	Thr	Val 405	Ile	Tyr	Asp	Ser	Leu 410	Lys	Lys	Leu	Pro	Phe 415	Pro
Val	Lys	Lys	Ile 420	Ala	Ala	Asp	Phe	Lys 425	Leu	Thr	Val	Leu	Lys 430	Gly	Asp
Ile	Asp	Tyr 435	His	Lys	Glu	Arg	Pro 440	Val	Gly	Tyr	Lys	Ile 445	Thr	Pro	Glu
Glu	Tyr 450	Ala	Tyr	Ile	Lys	Asn 455	Asp	Ile	Gln	Ile	Ile 460	Ala	Glu	Ala	Leu
Leu 465	Ile	Gln	Phe	Lys	Gln 470	Gly	Leu	Asp	Arg	Met 475	Thr	Ala	Gly	Ser	Asp 480
Ser	Leu	Lys	Gly	Phe 485	Lys	Asp	Ile	Ile	Thr 490	Thr	Lys	Lys	Phe	Lys 495	Lys
Val	Phe	Pro	Thr 500	Leu	Ser	Leu	Gly	Leu 505	Asp	Lys	Glu	Val	Arg 510	Tyr	Ala
Tyr	Arg	Gly 515	Gly	Phe	Thr	Trp	Leu 520	Asn	Asp	Arg	Phe	Lys 525	Glu	Lys	Glu
Ile	Gly 530	Glu	Gly	Met	Val	Phe 535	Asp	Val	Asn	Ser	Leu 540	Tyr	Pro	Ala	Gln
Met 545	Tyr	Ser	Arg	Leu	Leu 550	Pro	Tyr	Gly	Glu	Pro 555	Ile	Val	Phe	Glu	Gly 560
Lys	Tyr	Val	Trp	<b>Asp</b> 565	Glu	Asp	Tyr	Pro	<b>Leu</b> 570	His	Ile	Gln	His	Ile 575	Arg
Cys	Glu	Phe	Glu 580	Leu	Lys	Glu	Gly	<b>Tyr</b> 585	Ile	Pro	Thr	Ile	Gln 590	Ile	Lys
Arg	Ser	<b>Arg</b> 595	Phe	Tyr	Lys	Gly	Asn 600	Glu	Tyr	Leu	Lys	Ser 605	Ser	Gly	Gly
Glu	Ile 610	Ala	Asp	Leu	Trp	Leu 615	Ser	Asn	Val	Asp	Leu 620	Glu	Leu	Met	Lys

	Glu 625	His	Tyr	Asp	Leu	<b>Tyr</b> 630	Asn	Val	Glu	Tyr	Ile 635	Ser	Gly	Leu	Lys	Phe 640
	Lys	Ala	Thr	Thr	Gly 645	Leu	Phe	Lys	Asp	Phe 650	Ile	Asp	Lys	Trp	Thr 655	Tyr
	Ile	Lys	Thr	Thr 660	Ser	Glu	Gly	Ala	Ile 665	Lys	Gln	Leu	Ala	<b>Lys</b> 670	Leu	Met
	Leu	Asn	Ser 675	Leu	Tyr	Gly	Lys	Phe 680	Ala	Ser	Asn	Pro	Asp 685	Val	Thr	Gly
	Lys	Val 690	Pro	Tyr	Leu	Lys	Glu 695	Asn	Gly	Ala	Leu	Gly 700	Phe	Arg	Leu	Gly
	Glu 705	Glu	Glu	Thr	Lys	<b>Asp</b> 710	Pro	Val	Tyr	Thr	Pro 715	Met	Gly	Val	Phe	Ile 720
	Thr	Ala	Trp	Ala	<b>A</b> rg 725	Tyr	Thr	Thr	Ile	Thr 730	Ala	Ala	Gln	Ala	Cys 735	Tyr
	Asp	Arg	Ile	Ile 740	Tyr	Cys	Asp	Thr	Asp 745	Ser	Ile	His	Leu	Thr 750	Gly	Thr
	Glu	Ile	Pro 755	Asp	Val	Ile	Lys	<b>Asp</b> 760	Ile	Val	Asp	Pro	<b>Lys</b> 765	Lys	Leu	Gly
	Tyr	Trp 770	Ala	His	Glu	Ser	Thr 775	Phe	Lys	Arg	Ala	<b>Lys</b> 780	Tyr	Leu	Arg	Gln
	<b>Lys</b> 785	Thr	Tyr	Ile	Gln	<b>Asp</b> 790	Ile	Tyr	Met	Lys	Glu 795	Val	Asp	Gly	Lys	Leu 800
	Val	Glu	Gly	Ser	Pro 805	Asp	Asp	Tyr	Thr	Asp 810	Ile	Lys	Phe	Ser	Val 815	Lys
	Cys	Ala	Gly	Met 820	Thr	Asp	Lys	Ile	<b>Lys</b> 825	Lys	Glu	Val	Thr	Phe 830	Glu	Asn
	Phe	Lys	Val 835	Gly	Phe	Ser	Arg	Lys 840	Met	Lys	Pro	Lys	Pro 845	Val	Gln	Val
	Pro	Gly 850	Gly	Val	Val	Leu	Val 855	Asp	Asp	Thr	Phe	Thr 860	Ile	Lys		
<210> 4 <211> 862 <212> PRT <213> Artificial																
<220> <223> polimera	asa P	hi29 r	mutar	nte E3	375H-	·N62[	) mar	cada	con (	GST,	His y	S				

<400> 4

5

10

- Met Ser Pro Ile Leu Gly Tyr Trp Lys Ile Lys Gly Leu Val Gln Pro 1  $\phantom{-}$  5  $\phantom{-}$  10  $\phantom{-}$  15
- Thr Arg Leu Leu Glu Tyr Leu Glu Glu Lys Tyr Glu Glu His Leu 20 25 30
- Tyr Glu Arg Asp Glu Gly Asp Lys Trp Arg Asn Lys Lys Phe Glu Leu 35 40
- Gly Leu Glu Phe Pro Asn Leu Pro Tyr Tyr Ile Asp Gly Asp Val Lys 50 55 60
- Leu Thr Gln Ser Met Ala Ile Ile Arg Tyr Ile Ala Asp Lys His Asn 65 70 75 80
- Met Leu Gly Gly Cys Pro Lys Glu Arg Ala Glu Ile Ser Met Leu Glu 85 90 95
- Gly Ala Val Leu Asp Ile Arg Tyr Gly Val Ser Arg Ile Ala Tyr Ser 100 105 110
- Lys Asp Phe Glu Thr Leu Lys Val Asp Phe Leu Ser Lys Leu Pro Glu 115 120 125
- Met Leu Lys Met Phe Glu Asp Arg Leu Cys His Lys Thr Tyr Leu Asn 130 135 140
- Gly Asp His Val Thr His Pro Asp Phe Met Leu Tyr Asp Ala Leu Asp 145 150 155 160
- Val Val Leu Tyr Met Asp Pro Met Cys Leu Asp Ala Phe Pro Lys Leu 165 170 175
- Val Cys Phe Lys Lys Arg Ile Glu Ala Ile Pro Gln Ile Asp Lys Tyr 180 185 190
- Leu Lys Ser Ser Lys Tyr Ile Ala Trp Pro Leu Gln Gly Trp Gln Ala 195 200 205
- Thr Phe Gly Gly Asp His Pro Pro Lys Ser Asp Gly Ser Thr Ser 210 225

Gly 225	Ser	Gly	His	His	His 230	His	His	His	Ser	Ala 235	Gly	Leu	Val	Pro	Arg 240
Gly	Ser	Thr	Ala	Ile 245	Gly	Met	Lys	Glu	Thr 250	Ala	Ala	Ala	Lys	Phe 255	Glu
Arg	Gln	His	Met 260	Asp	Ser	Pro	Asp	Leu 265	Gly	Thr	Gly	Gly	Gly 270	Ser	Gly
Asp	Asp	Asp 275	Asp	Lys	Ser	Pro	Met 280	Gly	Tyr	Arg	Gly	Ser 285	Glu	Phe	Met
Lys	His 290	Met	Pro	Arg	Lys	Met 295	Tyr	Ser	Cys	Asp	Phe 300	Glu	Thr	Thr	Thr
Lys 305	Val	Glu	Asp	Cys	<b>Arg</b> 310	Val	Trp	Ala	Tyr	Gly 315	Tyr	Met	Asn	Ile	Glu 320
Asp	His	Ser	Glu	Tyr 325	Lys	Ile	Gly	Asn	Ser 330	Leu	Asp	Glu	Phe	Met 335	Ala
Trp	Val	Leu	Lys 340	Val	Gln	Ala	Asp	Leu 345	Tyr	Phe	His	Asp	<b>Leu</b> 350	Lys	Phe
Asp	Gly	Ala 355	Phe	Ile	Ile	Asn	Trp 360	Leu	Glu	Arg	Asn	Gly 365	Phe	Lys	Trp
Ser	<b>Ala</b> 370	Asp	Gly	Leu	Pro	Asn 375	Thr	Tyr	Asn	Thr	Ile 380	Ile	Ser	Arg	Met
Gly 385	Gln	Trp	Tyr	Met	Ile 390	Asp	Ile	Cys	Leu	Gly 395	Tyr	Lys	Gly	Lys	Arg 400
Lys	Ile	His	Thr	Val 405	Ile	Tyr	Asp	Ser	Leu 410	Lys	Lys	Leu	Pro	Phe 415	Pro
Val	Lys	Lys	Ile 420	Ala	Lys	Asp	Phe	Lys 425	Leu	Thr	Val	Leu	Lys 430	Gly	Asp
Ile	Asp	Tyr 435	His	Lys	Glu	Arg	Pro 440	Val	Gly	Tyr	Lys	Ile 445	Thr	Pro	Glu
Glu	<b>Tyr</b> <b>4</b> 50	Ala	Tyr	Ile	Lys	Asn 455	Asp	Ile	Gln	Ile	Ile 460	Ala	Glu	Ala	Leu
Leu 465	Ile	Gln	Phe	Lys	Gln	Gly	Leu	Asp	Arg	Met	Thr	Ala	Gly	Ser	Asp

Ser	Leu	Lys	Gly	Phe 485	Lys	Asp	Ile	Ile	Thr 490	Thr	Lys	Lys	Phe	Lys 495	Lys
Val	Phe	Pro	Thr 500	Leu	Ser	Leu	Gly	Leu 505	Asp	Lys	Glu	Val	Arg 510	Tyr	Ala
Tyr	Arg	Gly 515	Gly	Phe	Thr	Trp	Leu 520	Asn	Asp	Arg	Phe	Lys 525	Glu	Lys	Glu
Ile	Gly 530	Glu	Gly	Met	Val	Phe 535	Asp	Val	Asn	Ser	Leu 540	Tyr	Pro	Ala	Gln
Met 545	Tyr	Ser	Arg	Leu	Leu 550	Pro	Tyr	Gly	Glu	Pro 555	Ile	Val	Phe	Glu	Gly 560
Lys	Tyr	Val	Trp	<b>Asp</b> 565	Glu	Asp	Tyr	Pro	<b>Leu</b> 570	His	Ile	Gln	His	Ile 575	Arg
Cys	Glu	Phe	Glu 580	Leu	Lys	Glu	Gly	Tyr 585	Ile	Pro	Thr	Ile	Gln 590	Ile	Lys
Arg	Ser	<b>Arg</b> 595	Phe	Tyr	Lys	Gly	<b>Asn</b> 600	Glu	Tyr	Leu	Lys	Ser 605	Ser	Gly	Gly
Glu	Ile 610	Ala	Asp	Leu	Trp	Leu 615	Ser	Asn	Val	Asp	<b>Leu</b> 620	Glu	Leu	Met	Lys
Glu 625	His	Tyr	Asp	Leu	Tyr 630	Asn	Val	Glu	Tyr	Ile 635	Ser	Gly	Leu	Lys	Phe 640
Lys	Ala	Thr	Thr	Gly 645	Leu	Phe	Lys	Asp	Phe 650	Ile	Asp	Lys	Trp	Thr 655	Tyr
Ile	Lys	Thr	Thr 660	Ser	His	Gly	Ala	Ile 665	Lys	Gln	Leu	Ala	<b>Lys</b> 670	Leu	Met
Leu	Asn	Ser 675	Leu	Tyr	Gly	Lys	Phe 680	Ala	Ser	Asn	Pro	Asp 685	Val	Thr	Gly
Lys	Val 690	Pro	Tyr	Leu	Lys	Glu 695	Asn	Gly	Ala	Leu	Gly 700	Phe	Arg	Leu	Gly
Glu 705	Glu	Glu	Thr	Lys	<b>Asp</b> 710	Pro	Val	Tyr	Thr	Pro 715	Met	Gly	Val	Phe	Ile 720
Thr	Ala	Trp	Ala	Arg 725	Tyr	Thr	Thr	Ile	Thr 730	Ala	Ala	Gln	Ala	Cys 735	Tyr

	Asp	Arg	Ile	11e 740	Tyr	Cys	Asp	Thr	<b>Asp</b> 745	Ser	Ile	His	Leu	Thr 750	Gly	Thr
	Glu	Ile	Pro 755	Asp	Val	Ile	Lys	<b>Asp</b> 760	Ile	Val	Asp	Pro	Lys 765	Lys	Leu	Gly
	Tyr	Trp 770	Ala	His	Glu	Ser	Thr 775	Phe	Lys	Arg	Ala	<b>Lys</b> 780	Tyr	Leu	Arg	Glr
	<b>Lys</b> 785	Thr	Tyr	Ile	Gln	<b>Asp</b> 790	Ile	Tyr	Met	Lys	Glu 795	Val	Asp	Gly	Lys	Leu 800
	Val	Glu	Gly	Ser	Pro 805	Asp	Asp	Tyr	Thr	Asp 810	Ile	Lys	Phe	Ser	Val 815	Lys
	Cys	Ala	Gly	Met 820	Thr	Asp	Lys	Ile	Lys 825	Lys	Glu	Val	Thr	Phe 830	Glu	Asr
	Phe	Lys	Val 835	Gly	Phe	Ser	Arg	Lys 840	Met	Lys	Pro	Lys	Pro 845	Val	Gln	Val
	Pro	Gly 850	Gly	Val	Val	Leu	<b>Val</b> 855	Asp	Asp	Thr	Phe	Thr 860	Ile	Lys		
<210> 5 <211> 862 <212> PRT <213> Artificial																
<220> <223> polimera	asa P	hi29 ı	mutar	nte E3	375S-	N62E	) mar	cada	con (	GST,	His y	S				
<400> 5																
	Met 1	Ser	Pro	Ile	Leu 5	Gly	Tyr	Trp	Lys	Ile 10	Lys	Gly	Leu	Val	Gln 15	Pro
	Thr	Arg	Leu	Leu 20			Tyr		Glu 25		-	Tyr		Glu 30	His	Let
	Tyr	Glu	Arg 35	Asp	Glu	Gly	Asp	Lys 40	Trp	Arg	Asn	Lys	Lys 45	Phe	Glu	Let
	Gly	Leu 50	Glu	Phe	Pro	Asn	Leu 55	Pro	Tyr	Tyr	Ile	Asp 60	Gly	Asp	Val	Lys
	Leu 65	Thr	Gln	Ser	Met	Ala 70	Ile	Ile	Arg	Tyr	Ile 75	Ala	Asp	Lys	His	Asr 80

5

10

Met	Leu	Gly	Gly	Cys 85	Pro	Lys	Glu	Arg	Ala 90	Glu	Ile	Ser	Met	Leu 95	Glu
Gly	Ala	Val	Leu 100	Asp	Ile	Arg	Tyr	Gly 105	Val	Ser	Arg	Ile	Ala 110	Tyr	Ser
Lys	Asp	Phe 115	Glu	Thr	Leu	Lys	Val 120	Asp	Phe	Leu	Ser	Lys 125	Leu	Pro	Glu
Met	Leu 130	Lys	Met	Phe	Glu	Asp 135	Arg	Leu	Cys	His	Lys 140	Thr	Tyr	Leu	Asn
Gly 145	Asp	His	Val	Thr	His 150	Pro	Asp	Phe	Met	Leu 155	Tyr	Asp	Ala	Leu	Asp 160
Val	Val	Leu	Tyr	Met 165	Asp	Pro	Met	Cys	Leu 170	Asp	Ala	Phe	Pro	<b>Lys</b> 175	Leu
Val	Cys	Phe	Lys 180	Lys	Arg	Ile	Glu	Ala 185	Ile	Pro	Gln	Ile	Asp 190	Lys	Tyr
Leu	Lys	Ser 195	Ser	Lys	Tyr	Ile	Ala 200	Trp	Pro	Leu	Gln	Gly 205	Trp	Gln	Ala
Thr	Phe 210	Gly	Gly	Gly	Asp	His 215	Pro	Pro	Lys	Ser	Asp 220	Gly	Ser	Thr	Ser
Gly 225	Ser	Gly	His	His	His 230	His	His	His	Ser	Ala 235	Gly	Leu	Val	Pro	Arg 240
Gly	Ser	Thr	Ala	Ile 245	Gly	Met	Lys	Glu	Thr 250	Ala	Ala	Ala	Lys	Phe 255	Glu
Arg	Gln	His	Met 260	Asp	Ser	Pro	Asp	Leu 265	Gly	Thr	Gly	Gly	Gly 270	Ser	Gly
Asp	Asp	Asp 275	Asp	Lys	Ser	Pro	Met 280	Gly	Tyr	Arg	Gly	Ser 285	Glu	Phe	Met
Lys	His 290	Met	Pro	Arg	Lys	Met 295	Tyr	Ser	Cys	Asp	Phe 300	Glu	Thr	Thr	Thr
Lys 305	Val	Glu	Asp	Cys	<b>Arg</b> 310	Val	Trp	Ala	Tyr	Gly 315	Tyr	Met	Asn	Ile	Glu 320
Asp	His	Ser	Glu	Tyr 325	Lys	Ile	Gly	Asn	Ser 330	Leu	Asp	Glu	Phe	Met 335	Ala

Trp	vaı	Leu	140 340	vaı	GIN	АІА	Asp	345	Tyr	Pne	HIS	Asp	350	ьys	Pne
Asp	Gly	Ala 355	Phe	Ile	Ile	Asn	Trp 360	Leu	Glu	Arg	Asn	Gly 365	Phe	Lys	Trp
Ser	Ala 370	Asp	Gly	Leu	Pro	Asn 375	Thr	Tyr	Asn	Thr	Ile 380	Ile	Ser	Arg	Met
Gly 385	Gln	Trp	Tyr	Met	11e 390	Asp	Ile	Cys	Leu	Gly 395	Tyr	Lys	Gly	Lys	Arg 400
Lys	Ile	His	Thr	Val 405	Ile	Tyr	Asp	Ser	Leu 410	Lys	Lys	Leu	Pro	Phe 415	Pro
Val	Lys	Lys	Ile 420	Ala	Lys	Asp	Phe	Lys 425	Leu	Thr	Val	Leu	Lys 430	Gly	Asp
Ile	Asp	Tyr 435	His	Lys	Glu	Arg	Pro 440	Val	Gly	Tyr	Lys	Ile 445	Thr	Pro	Glu
Glu	Tyr 450	Ala	Tyr	Ile	Lys	Asn 455	Asp	Ile	Gln	Ile	Ile 460	Ala	Glu	Ala	Leu
Leu 465	Ile	Gln	Phe	Lys	Gln 470	Gly	Leu	Asp	Arg	Met 475	Thr	Ala	Gly	Ser	Asp 480
Ser	Leu	Lys	Gly	Phe 485	Lys	Asp	Ile	Ile	Thr 490	Thr	Lys	Lys	Phe	Lys 495	Lys
Val	Phe	Pro	Thr 500	Leu	Ser	Leu	Gly	<b>Leu</b> 505	Asp	Lys	Glu	Val	<b>Arg</b> 510	Tyr	Ala
Tyr	Arg	Gly 515	Gly	Phe	Thr	Trp	Leu 520	Asn	Asp	Arg	Phe	Lys 525	Glu	Lys	Glu
Ile	Gly 530	Glu	Gly	Met	Val	Phe 535	Asp	Val	Asn	Ser	Leu 540	Tyr	Pro	Ala	Gln
Met 545	Tyr	Ser	Arg	Leu	Leu 550	Pro	Tyr	Gly	Glu	Pro 555	Ile	Val	Phe	Glu	Gly 560
Lys	Tyr	Val	Trp	Asp 565	Glu	Asp	Tyr	Pro	<b>Leu</b> 570	His	Ile	Gln	His	Ile 575	Arg
Cvs	Glu	Phe	Glu	Leu	Lvs	Glu	Glv	Tvr	Ile	Pro	Thr	Ile	Gln	Ile	Lvs

			580					585					590		
Arg	Ser	Arg 595	Phe	Tyr	Lys	Gly	Asn 600	Glu	Tyr	Leu	Lys	Ser 605	Ser	Gly	Gly
Glu	Ile 610	Ala	Asp	Leu	Trp	Leu 615	Ser	Asn	Val	Asp	Leu 620	Glu	Leu	Met	Lys
Glu 625	His	Tyr	Asp	Leu	<b>Tyr</b> 630	Asn	Val	Glu	Tyr	Ile 635	Ser	Gly	Leu	Lys	Phe 640
Lys	Ala	Thr	Thr	Gly 645	Leu	Phe	Lys	Asp	Phe 650	Ile	Asp	Lys	Trp	Thr 655	Tyr
Ile	Lys	Thr	Thr 660	Ser	Ser	Gly	Ala	Ile 665	Lys	Gln	Leu	Ala	<b>Lys</b> 670	Leu	Met
Leu	Asn	Ser 675	Leu	Tyr	Gly	Lys	Phe 680	Ala	Ser	Asn	Pro	Asp 685	Val	Thr	Gly
Lys	Val 690	Pro	Tyr	Leu	Lys	Glu 695	Asn	Gly	Ala	Leu	Gly 700	Phe	Arg	Leu	Gly
Glu 705	Glu	Glu	Thr	Lys	<b>Asp</b> 710	Pro	Val	Tyr	Thr	Pro 715	Met	Gly	Val	Phe	Ile 720
Thr	Ala	Trp	Ala	Arg 725	Tyr	Thr	Thr	Ile	Thr 730	Ala	Ala	Gln	Ala	Cys 735	Tyr
Asp	Arg	Ile	Ile 740	Tyr	Cys	Asp	Thr	<b>Asp</b> 7 <b>4</b> 5	Ser	Ile	His	Leu	Thr 750	Gly	Thr
Glu	Ile	Pro 755	Asp	Val	Ile	Lys	<b>Asp</b> 760	Ile	Val	Asp	Pro	<b>Lys</b> 765	Lys	Leu	Gly
Tyr	Trp 770	Ala	His	Glu	Ser	Thr 775	Phe	Lys	Arg	Ala	<b>Lys</b> 780	Tyr	Leu	Arg	Gln
<b>Lys</b> 785	Thr	Tyr	Ile	Gln	<b>Asp</b> 790	Ile	Tyr	Met	Lys	Glu 795	Val	Asp	Gly	Lys	Leu 800
Val	Glu	Gly	Ser	Pro 805	Asp	Asp	Tyr	Thr	Asp 810	Ile	Lys	Phe	Ser	Val 815	Lys
Cys	Ala	Gly	Met	Thr	Asp	Lys	Ile	Lys	Lys	Glu	Val	Thr	Phe	Glu	Asn

		Phe	Lys	Val 835	Gly	Phe	Ser	Arg	Lys 840	Met	Lys	Pro	Lys	Pro 845	Val	Gln	Val
		Pro	Gly 850	Gly	Val	Val	Leu	Val 855	Asp	Asp	Thr	Phe	Thr 860	Ile	Lys		
5	<210> 6 <211> 862 <212> PRT <213> Artificial																
10	<220> <223> polimera	asa Pi	hi29 ı	mutar	nte E3	375K-	N62E	) mar	cada	con (	GST,	His y	S				
	<400> 6																
		Met 1	Ser	Pro	Ile	Leu 5	Gly	Tyr	Trp	Lys	Ile 10	Lys	Gly	Leu	Val	Gln 15	Pro
		Thr	Arg	Leu	Leu 20	Leu	Glu	Tyr	Leu	Glu 25	Glu	Lys	Tyr	Glu	Glu 30	His	Leu
		Tyr	Glu	Arg 35	Asp	Glu	Gly	Asp	Lys 40	Trp	Arg	Asn	Lys	Lys 45	Phe	Glu	Leu
		Gly	Leu 50	Glu	Phe	Pro	Asn	Leu 55	Pro	Tyr	Tyr	Ile	Asp 60	Gly	Asp	Val	Lys
		Leu 65	Thr	Gln	Ser	Met	Ala 70	Ile	Ile	Arg	Tyr	Ile 75	Ala	Asp	Lys	His	Asn 80
		Met	Leu	Gly	Gly	Cys 85	Pro	Lys	Glu	Arg	<b>A</b> la 90	Glu	Ile	Ser	Met	Leu 95	Glu
		Gly	Ala	Val	Leu 100	Asp	Ile	Arg	Tyr	Gly 105	Val	Ser	Arg	Ile	Ala 110	Tyr	Ser
		Lys	Asp	Phe 115	Glu	Thr	Leu	Lys	Val 120	Asp	Phe	Leu	Ser	Lys 125	Leu	Pro	Glu
		Met	Leu 130	Lys	Met	Phe	Glu	<b>Asp</b> 135	Arg	Leu	Cys	His	Lys 140	Thr	Tyr	Leu	Asn
		Gly 145	Asp	His	Val	Thr	His 150	Pro	Asp	Phe	Met	Leu 155	Tyr	Asp	Ala	Leu	Asp 160
		Val	Val	Leu	Tyr	Met 165	Asp	Pro	Met	Cys	Leu 170	Asp	Ala	Phe	Pro	<b>Lys</b> 175	Leu
		Val	Cvs	Phe	Lvs	Lvs	Ara	Ile	Glu	Ala	Ile	Pro	Gln	Ile	Asp	Lvs	Tvr

			180					185					190		
Leu	Lys	Ser 195	Ser	Lys	Tyr	Ile	Ala 200	Trp	Pro	Leu	Gln	Gly 205	Trp	Gln	Ala
Thr	Phe 210	Gly	Gly	Gly	Asp	His 215	Pro	Pro	Lys	Ser	<b>Asp</b> 220	Gly	Ser	Thr	Ser
Gly 225	Ser	Gly	His	His	His 230	His	His	His	Ser	<b>Ala</b> 235	Gly	Leu	Val	Pro	Arg 240
Gly	Ser	Thr	Ala	Ile 245	Gly	Met	Lys	Glu	Thr 250	Ala	Ala	Ala	Lys	Phe 255	Glu
Arg	Gln	His	Met 260	Asp	Ser	Pro	Asp	Leu 265	Gly	Thr	Gly	Gly	Gly 270	Ser	Gly
Asp	Asp	<b>Asp</b> 275	Asp	Lys	Ser	Pro	Met 280	Gly	Tyr	Arg	Gly	Ser 285	Glu	Phe	Met
Lys	His 290	Met	Pro	Arg	Lys	Met 295	Tyr	Ser	Cys	Asp	Phe 300	Glu	Thr	Thr	Thr
<b>Lys</b> 305	Val	Glu	Asp	Cys	Arg 310	Val	Trp	Ala	Tyr	Gly 315	Tyr	Met	Asn	Ile	Glu 320
Asp	His	Ser	Glu	Tyr 325	Lys	Ile	Gly	Asn	Ser 330	Leu	Asp	Glu	Phe	Met 335	Ala
Trp	Val	Leu	Lys 340	Val	Gln	Ala	Asp	Leu 345	Tyr	Phe	His	Asp	Leu 350	Lys	Phe
Asp	Gly	<b>Ala</b> 355	Phe	Ile	Ile	Asn	Trp 360	Leu	Glu	Arg	Asn	Gly 365	Phe	Lys	Trp
Ser	<b>Ala</b> 370	Asp	Gly	Leu	Pro	<b>As</b> n 375	Thr	Tyr	Asn	Thr	Ile 380	Ile	Ser	Arg	Met
Gly 385	Gln	Trp	Tyr	Met	Ile 390	Asp	Ile	Cys	Leu	Gly 395	Tyr	Lys	Gly	Lys	Arg 400
Lys	Ile	His	Thr	Val 405	Ile	Tyr	Asp	Ser	Leu 410	Lys	Lys	Leu	Pro	Phe 415	Pro
Val	Lys	Lys	Ile 420	Ala	Lys	Asp	Phe	Lys 425	Leu	Thr	Val	Leu	Lys 430	Gly	Asp

Ile	Asp	Tyr 435	His	Lys	Glu	Arg	Pro 440	Val	Gly	Tyr	Lys	Ile 445	Thr	Pro	Glu
Glu	Tyr 450	Ala	Tyr	Ile	Lys	Asn 455	Asp	Ile	Gln	Ile	Ile 460	Ala	Glu	Ala	Leu
Leu 465	Ile	Gln	Phe	Lys	Gln 470	Gly	Leu	Asp	Arg	Met 475	Thr	Ala	Gly	Ser	Asp 480
Ser	Leu	Lys	Gly	Phe 485	Lys	Asp	Ile	Ile	Thr 490	Thr	Lys	Lys	Phe	Lys 495	Lys
Val	Phe	Pro	Thr 500	Leu	Ser	Leu	Gly	Leu 505	Asp	Lys	Glu	Val	Arg 510	Tyr	Ala
Tyr	Arg	Gly 515	Gly	Phe	Thr	Trp	<b>Leu</b> 520	Asn	Asp	Arg	Phe	<b>Lys</b> 525	Glu	Lys	Glu
Ile	Gly 530	Glu	Gly	Met	Val	Phe 535	Asp	Val	Asn	Ser	Leu 540	Tyr	Pro	Ala	Gln
Met 545	Tyr	Ser	Arg	Leu	<b>Leu</b> 550	Pro	Tyr	Gly	Glu	Pro 555	Ile	Val	Phe	Glu	Gly 560
Lys	Tyr	Val	Trp	Asp 565	Glu	Asp	Tyr	Pro	<b>Leu</b> 570	His	Ile	Gln	His	Ile 575	Arg
Cys	Glu	Phe	Glu 580	Leu	Lys	Glu	Gly	Tyr 585	Ile	Pro	Thr	Ile	Gln 590	Ile	Lys
Arg	Ser	Arg 595	Phe	Tyr	Lys	Gly	Asn 600	Glu	Tyr	Leu	Lys	Ser 605	Ser	Gly	Gly
Glu	Ile 610	Ala	Asp	Leu	Trp	Leu 615	Ser	Asn	Val	Asp	Leu 620	Glu	Leu	Met	Lys
Glu 625	His	Tyr	Asp	Leu	<b>Tyr</b> 630	Asn	Val	Glu	Tyr	Ile 635	Ser	Gly	Leu	Lys	Phe 640
Lys	Ala	Thr	Thr	Gly 645	Leu	Phe	Lys	Asp	Phe 650	Ile	Asp	Lys	Trp	Thr 655	Tyr
Ile	Lys	Thr	Thr 660	Ser	Lys	Gly	Ala	Ile 665	Lys	Gln	Leu	Ala	<b>Lys</b> 670	Leu	Met
Leu	Asn	Ser 675	Leu	Tyr	Gly	Lys	Phe 680	Ala	Ser	Asn	Pro	Asp 685	Val	Thr	Gly

Lys	Val 690	Pro	Tyr	Leu	Lys	Glu 695	Asn	Gly	Ala	Leu	Gly 700	Phe	Arg	Leu	Gly
Glu 705	Glu	Glu	Thr	Lys	<b>Asp</b> 710	Pro	Val	Tyr	Thr	Pro 715	Met	Gly	Val	Phe	Ile 720
Thr	Ala	Trp	Ala	<b>Arg</b> 725	Tyr	Thr	Thr	Ile	Thr 730	Ala	Ala	Gln	Ala	Cys 735	Tyr
Asp	Arg	Ile	Ile 740	Tyr	Cys	Asp	Thr	Asp 745	Ser	Ile	His	Leu	Thr 750	Gly	Thr
Glu	Ile	Pro 755	Asp	Val	Ile	Lys	<b>Asp</b> 760	Ile	Val	Asp	Pro	<b>Lys</b> 765	Lys	Leu	Gly
Tyr	Trp 770	Ala	His	Glu	Ser	Thr 775	Phe	Lys	Arg	Ala	<b>Lys</b> 780	Tyr	Leu	Arg	Gln
<b>Lys</b> 785	Thr	Tyr	Ile	Gln	<b>Asp</b> 790	Ile	Tyr	Met	Lys	Glu 795	Val	Asp	Gly	Lys	Leu 800
Val	Glu	Gly	Ser	Pro 805	Asp	Asp	Tyr	Thr	<b>Asp</b> 810	Ile	Lys	Phe	Ser	Val 815	Lys
Cys	Ala	Gly	Met 820	Thr	Asp	Lys	Ile	<b>Lys</b> 825	Lys	Glu	Val	Thr	Phe 830	Glu	Asn
Phe	Lys	Val 835	Gly	Phe	Ser	Arg	Lys 840	Met	Lys	Pro	Lys	Pro 845	Val	Gln	Val
Pro	Gly 850	Gly	Val	Val	Leu	<b>Val</b> 855	Asp	Asp	Thr	Phe	Thr 860	Ile	Lys		
<210> 7 <211> 862 <212> PRT <213> Artificial															
<220> <223> polimerasa P	hi29 r	nutar	ite E3	375R-	·N62[	) mar	cada	con (	GST,	His y	S				
<400> 7															
Met 1	Ser	Pro	Ile	Leu 5	Gly	Tyr	Trp	Lys	Ile 10	Lys	Gly	Leu	Val	Gln 15	Pro
Thr	Arg	Leu	Leu 20	Leu	Glu	Tyr	Leu	Glu 25	Glu	Lys	Tyr	Glu	Glu 30	His	Leu

Tyr	Glu	Arg 35	Asp	Glu	Gly	Asp	Lys 40	Trp	Arg	Asn	Lys	Lys 45	Phe	Glu	Leu
Gly	Leu 50	Glu	Phe	Pro	Asn	Leu 55	Pro	Tyr	Tyr	Ile	Asp 60	Gly	Asp	Val	Lys
Leu 65	Thr	Gln	Ser	Met	Ala 70	Ile	Ile	Arg	Tyr	Ile 75	Ala	Asp	Lys	His	Asr 80
Met	Leu	Gly	Gly	Суs 85	Pro	Lys	Glu	Arg	Ala 90	Glu	Ile	Ser	Met	Leu 95	Glu
Gly	Ala	Val	Leu 100	Asp	Ile	Arg	Tyr	Gly 105	Val	Ser	Arg	Ile	Ala 110	Tyr	Ser
Lys	Asp	Phe 115	Glu	Thr	Leu	Lys	Val 120	Asp	Phe	Leu	Ser	Lys 125	Leu	Pro	Glu
Met	Leu 130	Lys	Met	Phe	Glu	Asp 135	Arg	Leu	Cys	His	Lys 140	Thr	Tyr	Leu	Asr
Gly 145	Asp	His	Val	Thr	His 150	Pro	Asp	Phe	Met	<b>Leu</b> 155	Tyr	Asp	Ala	Leu	Asp 160
Val	Val	Leu	Tyr	Met 165	Asp	Pro	Met	Cys	Leu 170	Asp	Ala	Phe	Pro	<b>Lys</b> 175	Let
Val	Cys	Phe	Lys 180	Lys	Arg	Ile	Glu	Ala 185	Ile	Pro	Gln	Ile	Asp 190	Lys	Туз
Leu	Lys	Ser 195	Ser	Lys	Tyr	Ile	Ala 200	Trp	Pro	Leu	Gln	Gly 205	Trp	Gln	Ala
Thr	Phe 210	Gly	Gly	Gly	Asp	His 215	Pro	Pro	Lys	Ser	Asp 220	Gly	Ser	Thr	Ser
Gly 225	Ser	Gly	His	His	His 230	His	His	His	Ser	Ala 235	Gly	Leu	Val	Pro	Arg 240
Gly	Ser	Thr	Ala	Ile 245	Gly	Met	Lys	Glu	Thr 250	Ala	Ala	Ala	Lys	Phe 255	Glu

тàг	11s 290	Met	Pro	Arg	туs	мет 295	Tyr	ser	Cys	Asp	300	GIU	rnr	rnr	Tnr
Lys 305	Val	Glu	Asp	Cys	Arg 310	Val	Trp	Ala	Tyr	Gly 315	Tyr	Met	Asn	Ile	Glu 320
Asp	His	Ser	Glu	Tyr 325	Lys	Ile	Gly	Asn	Ser 330	Leu	Asp	Glu	Phe	Met 335	Ala
Trp	Val	Leu	Lys 340	Val	Gln	Ala	Asp	Leu 345	Tyr	Phe	His	Asp	<b>Leu</b> 350	Lys	Phe
Asp	Gly	Ala 355	Phe	Ile	Ile	Asn	Trp 360	Leu	Glu	Arg	Asn	Gly 365	Phe	Lys	Trp
Ser	<b>Ala</b> 370	Asp	Gly	Leu	Pro	Asn 375	Thr	Tyr	Asn	Thr	Ile 380	Ile	Ser	Arg	Met
Gly 385	Gln	Trp	Tyr	Met	Ile 390	Asp	Ile	Cys	Leu	Gly 395	Tyr	Lys	Gly	Lys	Arg 400
Lys	Ile	His	Thr	Val 405	Ile	Tyr	Asp	Ser	Leu 410	Lys	Lys	Leu	Pro	Phe 415	Pro
Val	Lys	Lys	Ile 420	Ala	Lys	Asp	Phe	Lys 425	Leu	Thr	Val	Leu	Lys 430	Gly	Asp
Ile	Asp	Tyr 435	His	Lys	Glu	Arg	Pro 440	Val	Gly	Tyr	Lys	Ile 445	Thr	Pro	Glu
Glu	Tyr 450	Ala	Tyr	Ile	Lys	Asn 455	Asp	Ile	Gln	Ile	Ile 460	Ala	Glu	Ala	Leu
Leu 465	Ile	Gln	Phe	Lys	Gln 470	Gly	Leu	Asp	Arg	Met 475	Thr	Ala	Gly	Ser	Asp 480
Ser	Leu	Lys	Gly	Phe 485	Lys	Asp	Ile	Ile	Thr 490	Thr	Lys	Lys	Phe	Lys 495	Lys
			500	Leu			_	505	_				510	_	
Tyr	Arg	Gly 515	Gly	Phe	Thr	Trp	<b>Leu</b> 520	Asn	Asp	Arg	Phe	<b>Lys</b> 525	Glu	Lys	Glu
Ile	Gly	Glu	Gly	Met		Phe		Val	Asn	Ser	Leu		Pro	Ala	Gln

Met 545	Tyr	Ser	Arg	Leu	Leu 550	Pro	Tyr	Gly	Glu	Pro 555	Ile	Val	Phe	Glu	Gly 560
Lys	Tyr	Val	Trp	Asp 565	Glu	Asp	Tyr	Pro	Leu 570	His	Ile	Gln	His	Ile 575	Arg
Cys	Glu	Phe	Glu 580	Leu	Lys	Glu	Gly	<b>Tyr</b> 585	Ile	Pro	Thr	Ile	Gln 590	Ile	Lys
Arg	Ser	<b>Arg</b> 595	Phe	Tyr	Lys	Gly	Asn 600	Glu	Tyr	Leu	Lys	Ser 605	Ser	Gly	Gly
Glu	Ile 610	Ala	Asp	Leu	Trp	Leu 615	Ser	Asn	Val	Asp	Leu 620	Glu	Leu	Met	Lys
Glu 625	His	Tyr	Asp	Leu	Tyr 630	Asn	Val	Glu	Tyr	Ile 635	Ser	Gly	Leu	Lys	Phe 640
Lys	Ala	Thr	Thr	Gly 645	Leu	Phe	Lys	Asp	Phe 650	Ile	Asp	Lys	Trp	Thr 655	Tyr
Ile	Lys	Thr	Thr 660	Ser	Arg	Gly	Ala	Ile 665	Lys	Gln	Leu	Ala	<b>Lys</b> 670	Leu	Met
Leu	Asn	Ser 675	Leu	Tyr	Gly	Lys	Phe 680	Ala	Ser	Asn	Pro	Asp 685	Val	Thr	Gly
_	Val 690		-		_	695		_			700		-		_
Glu 705	Glu	Glu	Thr	Lys	<b>Asp</b> 710	Pro	Val	Tyr	Thr	Pro 715	Met	Gly	Val	Phe	Ile 720
Thr	Ala	Trp	Ala	<b>Arg</b> 725	Tyr	Thr	Thr	Ile	Thr 730	Ala	Ala	Gln	Ala	Cys 735	Tyr
	Arg		740					745					750		
	Ile	755					760			_		765			
_	Trp 770					775					780			_	
Lvs	Thr	Tvr	Ile	Gln	Asp	Ile	Tvr	Met	Lvs	Glii	Va1	Asp	Glv	Lvs	Len

	785					790					795					800
	Val	Glu	Gly	Ser	Pro 805	Asp	Asp	Tyr	Thr	Asp 810	Ile	Lys	Phe	Ser	Val 815	Lys
	Cys	Ala	Gly	Met 820	Thr	Asp	Lys	Ile	<b>Lys</b> 825	Lys	Glu	Val	Thr	Phe 830	Glu	Asn
	Phe	Lys	<b>Val</b> 835	Gly	Phe	Ser	Arg	Lys 840	Met	Lys	Pro	Lys	Pro 845	Val	Gln	Val
	Pro	Gly 850	Gly	Val	Val	Leu	Val 855	Asp	Asp	Thr	Phe	Thr 860	Ile	Lys		
<210> 8 <211> 862 <212> PRT <213> Artificial																
<220> <223> polimera	asa P	hi29 ı	mutar	nte L3	884R-	N62E	) mar	cada	con (	GST,	His y	S				
<400> 8																
	Met 1	Ser	Pro	Ile	Leu 5	Gly	Tyr	Trp	Lys	Ile 10	Lys	Gly	Leu	Val	Gln 15	Pro
	Thr	Arg	Leu	Leu 20	Leu	Glu	Tyr	Leu	Glu 25	Glu	Lys	Tyr	Glu	Glu 30	His	Leu
	Tyr	Glu	Arg 35	Asp	Glu	Gly	Asp	Lys 40	Trp	Arg	Asn	Lys	Lys 45	Phe	Glu	Leu
	Gly	Leu 50	Glu	Phe	Pro	Asn	Leu 55	Pro	Tyr	Tyr	Ile	Asp 60	Gly	Asp	Val	Lys
	Leu 65	Thr	Gln	Ser	Met	Ala 70	Ile	Ile	Arg	Tyr	Ile 75	Ala	Asp	Lys	His	Asn 80
	Met	Leu	Gly	Gly	Cys 85	Pro	Lys	Glu	Arg	<b>A</b> la 90	Glu	Ile	Ser	Met	Leu 95	Glu
	Gly	Ala	Val	Leu 100	Asp	Ile	Arg	Tyr	Gly 105	Val	Ser	Arg	Ile	Ala 110	Tyr	Ser
	Lys	Asp	Phe 115	Glu	Thr	Leu	Lys	Val 120	Asp	Phe	Leu	Ser	Lys 125	Leu	Pro	Glu
	Met	Leu 130	Lys	Met	Phe	Glu	Asp 135	Arg	Leu	Cys	His	Lys 140	Thr	Tyr	Leu	Asn

Gly 145	Asp	His	Val	Thr	His 150	Pro	Asp	Phe	Met	Leu 155	Tyr	Asp	Ala	Leu	Asp 160
Val	Val	Leu	Tyr	Met 165	Asp	Pro	Met	Суз	Leu 170	Asp	Ala	Phe	Pro	Lys 175	Leu
Val	Cys	Phe	Lys 180	Lys	Arg	Ile	Glu	Ala 185	Ile	Pro	Gln	Ile	Asp 190	Lys	Tyr
Leu	Lys	Ser 195	Ser	Lys	Tyr	Ile	Ala 200	Trp	Pro	Leu	Gln	Gly 205	Trp	Gln	Ala
Thr	Phe 210	Gly	Gly	Gly	Asp	His 215	Pro	Pro	Lys	Ser	Asp 220	Gly	Ser	Thr	Ser
Gly 225	Ser	Gly	His	His	His 230	His	His	His	Ser	Ala 235	Gly	Leu	Val	Pro	Arg 240
Gly	Ser	Thr	Ala	Ile 245	Gly	Met	Lys	Glu	Thr 250	Ala	Ala	Ala	Lys	Phe 255	Glu
Arg	Gln	His	Met 260	Asp	Ser	Pro	Asp	Leu 265	Gly	Thr	Gly	Gly	Gly 270	Ser	Gly
Asp	Asp	<b>Asp</b> 275	Asp	Lys	Ser	Pro	Met 280	Gly	Tyr	Arg	Gly	Ser 285	Glu	Phe	Met
Lys	His 290	Met	Pro	Arg	Lys	Met 295	Tyr	Ser	Cys	Asp	Phe 300	Glu	Thr	Thr	Thr
<b>Lys</b> 305	Val	Glu	Asp	Cys	Arg 310	Val	Trp	Ala	Tyr	Gly 315	Tyr	Met	Asn	Ile	Glu 320
Asp	His	Ser	Glu	Tyr 325	Lys	Ile	Gly	Asn	Ser 330	Leu	Asp	Glu	Phe	Met 335	Ala
Trp	Val	Leu	Lys 340	Val	Gln	Ala	Asp	Leu 345	Tyr	Phe	His	Asp	Leu 350	Lys	Phe
Asp	Gly	Ala 355	Phe	Ile	Ile	Asn	Trp 360	Leu	Glu	Arg	Asn	Gly 365	Phe	Lys	Trp
Ser	Ala 370	Asp	Gly	Leu	Pro	Asn 375	Thr	Tyr	Asn	Thr	Ile 380	Ile	Ser	Arg	Met
Gly	Gln	$\mathtt{Trp}$	Tyr	Met	Ile	Asp	Ile	Cys	Leu	Gly	Tyr	Lys	Gly	Lys	Arg

385					390					395					400
Lys	Ile	His	Thr	Val 405	Ile	Tyr	Asp	Ser	Leu 410	Lys	Lys	Leu	Pro	Phe 415	Pro
Val	Lys	Lys	Ile 420	Ala	Lys	Asp	Phe	Lys 425	Leu	Thr	Val	Leu	Lys 430	Gly	Asp
Ile	Asp	Tyr 435	His	Lys	Glu	Arg	Pro 440	Val	Gly	Tyr	Lys	Ile 445	Thr	Pro	Glu
Glu	Tyr 450	Ala	Tyr	Ile	Lys	Asn 455	Asp	Ile	Gln	Ile	Ile 460	Ala	Glu	Ala	Leu
Leu 465	Ile	Gln	Phe	Lys	Gln 470	Gly	Leu	Asp	Arg	Met 475	Thr	Ala	Gly	Ser	Asp 480
Ser	Leu	Lys	Gly	Phe 485	Lys	Asp	Ile	Ile	Thr 490	Thr	Lys	Lys	Phe	Lys 495	Lys
Val	Phe	Pro	Thr 500	Leu	Ser	Leu	Gly	Leu 505	Asp	Lys	Glu	Val	Arg 510	Tyr	Ala
Tyr	Arg	Gly 515	Gly	Phe	Thr	Trp	Leu 520	Asn	Asp	Arg	Phe	Lys 525	Glu	Lys	Glu
	Gly 530	Glu	Gly	Met	Val	Phe 535	Asp	Val	Asn	Ser	Leu 540	Tyr	Pro	Ala	Gln
Met 545	Tyr	Ser	Arg	Leu	Leu 550	Pro	Tyr	Gly	Glu	Pro 555	Ile	Val	Phe	Glu	Gly 560
Lys	Tyr	Val	Trp	<b>Asp</b> 565	Glu	Asp	Tyr	Pro	<b>Leu</b> 570	His	Ile	Gln	His	Ile 575	Arg
Cys	Glu	Phe	Glu 580	Leu	Lys	Glu	Gly	<b>Tyr</b> 585	Ile	Pro	Thr	Ile	Gln 590	Ile	Lys
Arg	Ser	Arg 595	Phe	Tyr	Lys	Gly	Asn 600	Glu	Tyr	Leu	Lys	Ser 605	Ser	Gly	Gly
Glu	Ile 610	Ala	Asp	Leu	Trp	Leu 615	Ser	Asn	Val	Asp	Leu 620	Glu	Leu	Met	Lys
Glu 625	His	Tyr	Asp	Leu	<b>Tyr</b> 630	Asn	Val	Glu	Tyr	Ile 635	Ser	Gly	Leu	Lys	Phe 640

	Lys	Ala	Thr	Thr	Gly 645	Leu	Phe	Lys	Asp	Phe 650	Ile	Asp	Lys	Trp	Thr 655	Tyr
	Ile	Lys	Thr	Thr 660	Ser	Glu	Gly	Ala	Ile 665	Lys	Gln	Leu	Ala	<b>Lys</b> 670	Arg	Met
	Leu	Asn	Ser 675	Leu	Tyr	Gly	Lys	Phe 680	Ala	Ser	Asn	Pro	Asp 685	Val	Thr	Gly
	Lys	Val 690	Pro	Tyr	Leu	Lys	Glu 695	Asn	Gly	Ala	Leu	Gly 700	Phe	Arg	Leu	Gly
	Glu 705	Glu	Glu	Thr	Lys	<b>Asp</b> 710	Pro	Val	Tyr	Thr	Pro 715	Met	Gly	Val	Phe	Ile 720
	Thr	Ala	Trp	Ala	Arg 725	Tyr	Thr	Thr	Ile	Thr 730	Ala	Ala	Gln	Ala	Cys 735	Tyr
	Asp	Arg	Ile	Ile 740	Tyr	Cys	Asp	Thr	Asp 745	Ser	Ile	His	Leu	Thr 750	Gly	Thr
	Glu	Ile	Pro 755	Asp	Val	Ile	Lys	<b>Asp</b> 760	Ile	Val	Asp	Pro	Lys 765	Lys	Leu	Gly
	Tyr	Trp 770	Ala	His	Glu	Ser	Thr 775	Phe	Lys	Arg	Ala	<b>Lys</b> 780	Tyr	Leu	Arg	Gln
	<b>Lys</b> 785	Thr	Tyr	Ile	Gln	<b>Asp</b> 790	Ile	Tyr	Met	Lys	Glu 795	Val	Asp	Gly	Lys	Leu 800
	Val	Glu	Gly	Ser	Pro 805	Asp	Asp	Tyr	Thr	<b>Asp</b> 810	Ile	Lys	Phe	Ser	Val 815	Lys
	Cys	Ala	Gly	Met 820	Thr	Asp	Lys	Ile	Lys 825	Lys	Glu	Val	Thr	Phe 830	Glu	Asn
	Phe	Lys	Val 835	Gly	Phe	Ser	Arg	Lys 840	Met	Lys	Pro	Lys	Pro 845	Val	Gln	Val
	Pro	Gly 850	Gly	Val	Val	Leu	Val 855	Asp	Asp	Thr	Phe	Thr 860	Ile	Lys		
<210> 9 <211> 862 <212> PRT <213> Artificial																
<220> <223> polimera	asa P	hi29 ı	mutar	nte E4	186A-	·N62[	) mar	cada	con (	GST,	His y	S				
<400> 9																

<400> 9

5

Met Ser Pro Ile Leu Gly Tyr Trp Lys Ile Lys Gly Leu Val Gln Pro

Thr	Arg	Leu	Leu 20	Leu	Glu	Tyr	Leu	Glu 25	Glu	Lys	Tyr	Glu	Glu 30	His	Leu
Tyr	Glu	Arg 35	Asp	Glu	Gly	Asp	Lys 40	Trp	Arg	Asn	Lys	Lys 45	Phe	Glu	Leu
Gly	Leu 50	Glu	Phe	Pro	Asn	Leu 55	Pro	Tyr	Tyr	Ile	Asp 60	Gly	Asp	Val	Lys
Leu 65	Thr	Gln	Ser	Met	Ala 70	Ile	Ile	Arg	Tyr	Ile 75	Ala	Asp	Lys	His	Asn 80
Met	Leu	Gly	Gly	Cys 85	Pro	Lys	Glu	Arg	Ala 90	Glu	Ile	Ser	Met	Leu 95	Glu
Gly	Ala	Val	Leu 100	Asp	Ile	Arg	Tyr	Gly 105	Val	Ser	Arg	Ile	Ala 110	Tyr	Ser
Lys	Asp	Phe 115	Glu	Thr	Leu	Lys	Val 120	Asp	Phe	Leu	Ser	Lys 125	Leu	Pro	Glu
Met	Leu 130	Lys	Met	Phe	Glu	Asp 135	Arg	Leu	Cys	His	Lys 140	Thr	Tyr	Leu	Asn

Gly Asp His Val Thr His Pro Asp Phe Met Leu Tyr Asp Ala Leu Asp

150

145

Val Cys Phe Lys Lys Arg Ile Glu Ala Ile Pro Gln Ile Asp Lys Tyr 180 185 190

Leu Lys Ser Ser Lys Tyr Ile Ala Trp Pro Leu Gln Gly Trp Gln Ala 195 200 205

Thr Phe Gly Gly Gly Asp His Pro Pro Lys Ser Asp Gly Ser Thr Ser 210 215 220

Gly Ser Gly His His His His His Ser Ala Gly Leu Val Pro Arg 225 230 235 240

Gly	Ser	Thr	Ala	11e 245	Gly	Met	Lys	Glu	Thr 250	Ala	Ala	Ala	Lys	Phe 255	Glu
Arg	Gln	His	Met 260	Asp	Ser	Pro	Asp	Leu 265	Gly	Thr	Gly	Gly	Gly 270	Ser	Gly
Asp	Asp	Asp 275	Asp	Lys	Ser	Pro	Met 280	Gly	Tyr	Arg	Gly	Ser 285	Glu	Phe	Met
Lys	His 290	Met	Pro	Arg	Lys	Met 295	Tyr	Ser	Суѕ	Asp	Phe 300	Glu	Thr	Thr	Thr
Lys 305	Val	Glu	Asp	Суѕ	Arg 310	Val	Trp	Ala	Tyr	Gly 315	Tyr	Met	Asn	Ile	Glu 320
Asp	His	Ser	Glu	Tyr 325	Lys	Ile	Gly	Asn	Ser 330	Leu	Asp	Glu	Phe	Met 335	Ala
Trp	Val	Leu	Lys 340	Val	Gln	Ala	Asp	Leu 345	Tyr	Phe	His	Asp	<b>Leu</b> 350	Lys	Phe
Asp	Gly	<b>Ala</b> 355	Phe	Ile	Ile	Asn	Trp 360	Leu	Glu	Arg	Asn	Gly 365	Phe	Lys	Trp
Ser	Ala 370	Asp	Gly	Leu	Pro	Asn 375	Thr	Tyr	Asn	Thr	Ile 380	Ile	Ser	Arg	Met
Gly 385	Gln	Trp	Tyr	Met	Ile 390	Asp	Ile	Cys	Leu	Gly 395	Tyr	Lys	Gly	Lys	Arg 400
Lys	Ile	His	Thr	Val 405	Ile	Tyr	Asp	Ser	Leu 410	Lys	Lys	Leu	Pro	Phe 415	Pro
Val	Lys	Lys	Ile 420	Ala	Lys	Asp	Phe	Lys 425	Leu	Thr	Val	Leu	Lys 430	Gly	Asp
Ile	Asp	Tyr 435	His	Lys	Glu	Arg	Pro 440	Val	Gly	Tyr	Lys	Ile 445	Thr	Pro	Glu
Glu	Tyr 450	Ala	Tyr	Ile	Lys	Asn 455	Asp	Ile	Gln	Ile	Ile 460	Ala	Glu	Ala	Leu
Leu 465	Ile	Gln	Phe	Lys	Gln 470	Gly	Leu	Asp	Arg	Met 475	Thr	Ala	Gly	Ser	<b>Asp</b> 480
Ser	Leu	Lys	Gly	Phe 485	Lys	Asp	Ile	Ile	Thr 490	Thr	Lys	Lys	Phe	Lys 495	Lys

Val	Phe	Pro	Thr 500	Leu	Ser	Leu	Gly	Leu 505	Asp	Lys	Glu	Val	Arg 510	Tyr	Ala
Tyr	Arg	Gly 515	Gly	Phe	Thr	Trp	Leu 520	Asn	Asp	Arg	Phe	Lys 525	Glu	Lys	Glu
Ile	Gly 530	Glu	Gly	Met	Val	Phe 535	Asp	Val	Asn	Ser	Leu 540	Tyr	Pro	Ala	Gln
Met 545	Tyr	Ser	Arg	Leu	Leu 550	Pro	Tyr	Gly	Glu	Pro 555	Ile	Val	Phe	Glu	Gly 560
Lys	Tyr	Val	Trp	Asp 565	Glu	Asp	Tyr	Pro	Leu 570	His	Ile	Gln	His	Ile 575	Arg
Cys	Glu	Phe	Glu 580	Leu	Lys	Glu	Gly	<b>Tyr</b> 585	Ile	Pro	Thr	Ile	Gln 590	Ile	Lys
Arg	Ser	Arg 595	Phe	Tyr	Lys	Gly	Asn 600	Glu	Tyr	Leu	Lys	Ser 605	Ser	Gly	Gly
Glu	Ile 610	Ala	Asp	Leu	Trp	Leu 615	Ser	Asn	Val	Asp	Leu 620	Glu	Leu	Met	Lys
Glu 625	His	Tyr	Asp	Leu	<b>Tyr</b> 630	Asn	Val	Glu	Tyr	Ile 635	Ser	Gly	Leu	Lys	Phe 640
Lys	Ala	Thr	Thr	Gly 645	Leu	Phe	Lys	Asp	Phe 650	Ile	Asp	Lys	Trp	Thr 655	Tyr
Ile	Lys	Thr	Thr 660	Ser	Glu	Gly	Ala	Ile 665	Lys	Gln	Leu	Ala	<b>Lys</b> 670	Leu	Met
Leu	Asn	Ser 675	Leu	Tyr	Gly	Lys	Phe 680	Ala	Ser	Asn	Pro	<b>Asp</b> 685	Val	Thr	Gly
Lys	Val 690	Pro	Tyr	Leu	Lys	Glu 695	Asn	Gly	Ala	Leu	Gly 700	Phe	Arg	Leu	Gly
Glu 705	Glu	Glu	Thr	Lys	Asp 710	Pro	Val	Tyr	Thr	Pro 715	Met	Gly	Val	Phe	Ile 720
Thr	Ala	Trp	Ala	<b>Arg</b> 725	Tyr	Thr	Thr	Ile	Thr 730	Ala	Ala	Gln	Ala	C <b>ys</b> 735	Tyr
Asp	Arg	Ile	Ile 740	Tyr	Cys	Asp	Thr	Asp 745	Ser	Ile	His	Leu	Thr 750	Gly	Thr

	GIU	116	755	ASP	Vai	116	пур	760	116	Vai	ASP	PIO	765	пур	шеu	GLY
	Tyr	Trp 770	Ala	His	Ala	Ser	Thr 775	Phe	Lys	Arg	Ala	<b>Lys</b> 780	Tyr	Leu	Arg	Glr
	Lys 785	Thr	Tyr	Ile	Gln	<b>Asp</b> 790	Ile	Tyr	Met	Lys	Glu 795	Val	Asp	Gly	Lys	Leu 800
	Val	Glu	Gly	Ser	Pro 805	Asp	Asp	Tyr	Thr	Asp 810	Ile	Lys	Phe	Ser	Val 815	Lys
	Cys	Ala	Gly	Met 820	Thr	Asp	Lys	Ile	<b>Lys</b> 825	Lys	Glu	Val	Thr	Phe 830	Glu	Asn
	Phe	Lys	Val 835	Gly	Phe	Ser	Arg	Lys 840	Met	Lys	Pro	Lys	Pro 845	Val	Gln	Val
	Pro	Gly 850	Gly	Val	Val	Leu	Val 855	Asp	Asp	Thr	Phe	Thr 860	Ile	Lys		
<210> 10 <211> 862 <212> PRT <213> Artificial																
<220> <223> polimera	asa P	hi29 ı	mutar	nte E4	186D-	·N62[	) mar	cada	con (	GST,	His y	S				
<400> 10																
	Met 1	Ser	Pro	Ile	Leu 5	Gly	Tyr	Trp	Lys	Ile 10	Lys	Gly	Leu	Val	Gln 15	Pro
	Thr	Arg	Leu	Leu 20	Leu	Glu	Tyr	Leu	Glu 25	Glu	Lys	Tyr	Glu	Glu 30	His	Leu
	Tyr	Glu	Arg 35	Asp	Glu	Gly	Asp	Lys 40	Trp	Arg	Asn	Lys	Lys 45	Phe	Glu	Leu
	Gly	Leu 50	Glu	Phe	Pro	Asn	Leu 55	Pro	Tyr	Tyr	Ile	Asp 60	Gly	Asp	Val	Lys
	Leu 65	Thr	Gln	Ser	Met	Ala 70	Ile	Ile	Arg	Tyr	Ile 75	Ala	Asp	Lys	His	Asr 80
	Met	Leu	Gly	Gly	Cys 85	Pro	Lys	Glu	Arg	Ala 90	Glu	Ile	Ser	Met	Leu 95	Glu

5

GIĀ	АТА	vaı	100	Asp	TTE	Arg	Tyr	105	vaı	ser	Arg	TTE	110	Tyr	Sei
Lys	Asp	Phe 115	Glu	Thr	Leu	Lys	Val 120	Asp	Phe	Leu	Ser	Lys 125	Leu	Pro	Glu
Met	Leu 130	Lys	Met	Phe	Glu	Asp 135	Arg	Leu	Cys	His	Lys 140	Thr	Tyr	Leu	Asr
Gly 145	Asp	His	Val	Thr	His 150	Pro	Asp	Phe	Met	Leu 155	Tyr	Asp	Ala	Leu	Asp 160
Val	Val	Leu	Tyr	Met 165	Asp	Pro	Met	Cys	Leu 170	Asp	Ala	Phe	Pro	Lys 175	Leu
Val	Cys	Phe	<b>Lys</b> 180	Lys	Arg	Ile	Glu	Ala 185	Ile	Pro	Gln	Ile	Asp 190	Lys	Туг
Leu	Lys	Ser 195	Ser	Lys	Tyr	Ile	Ala 200	Trp	Pro	Leu	Gln	Gly 205	Trp	Gln	Ala
Thr	Phe 210	Gly	Gly	Gly	Asp	His 215	Pro	Pro	Lys	Ser	Asp 220	Gly	Ser	Thr	Ser
Gly 225	Ser	Gly	His	His	His 230	His	His	His	Ser	Ala 235	Gly	Leu	Val	Pro	Arç 240
Gly	Ser	Thr	Ala	Ile 245	Gly	Met	Lys	Glu	Thr 250	Ala	Ala	Ala	Lys	Phe 255	Glu
Arg	Gln	His	Met 260	Asp	Ser	Pro	Asp	Leu 265	Gly	Thr	Gly	Gly	Gly 270	Ser	Gly
Asp	Asp	<b>Asp</b> 275	Asp	Lys	Ser	Pro	Met 280	Gly	Tyr	Arg	Gly	Ser 285	Glu	Phe	Met
Lys	His 290	Met	Pro	Arg	Lys	Met 295	Tyr	Ser	Cys	Asp	Phe 300	Glu	Thr	Thr	Thi
Lys 305	Val	Glu	Asp	Cys	Arg 310	Val	Trp	Ala	Tyr	Gly 315	Tyr	Met	Asn	Ile	Gl: 320
Asp	His	Ser	Glu	Tyr 325	Lys	Ile	Gly	Asn	Ser 330	Leu	Asp	Glu	Phe	Met 335	Ala

Trp Val Leu Lys Val Gln Ala Asp Leu Tyr Phe His Asp Leu Lys Phe 340  $\phantom{\bigg|}345\phantom{\bigg|}$ 

Asp	Gly	Ala 355	Phe	Ile	Ile	Asn	Trp 360	Leu	Glu	Arg	Asn	Gly 365	Phe	Lys	Trp
Ser	Ala 370	Asp	Gly	Leu	Pro	Asn 375	Thr	Tyr	Asn	Thr	Ile 380	Ile	Ser	Arg	Met
Gly 385	Gln	Trp	Tyr	Met	Ile 390	Asp	Ile	Cys	Leu	Gly 395	Tyr	Lys	Gly	Lys	Arg 400
Lys	Ile	His	Thr	Val 405	Ile	Tyr	Asp	Ser	Leu 410	Lys	Lys	Leu	Pro	Phe 415	Pro
Val	Lys	Lys	Ile 420	Ala	Lys	Asp	Phe	Lys 425	Leu	Thr	Val	Leu	<b>Lys</b> 430	Gly	Asp
Ile	Asp	Tyr 435	His	Lys	Glu	Arg	Pro 440	Val	Gly	Tyr	Lys	Ile 445	Thr	Pro	Glu
Glu	Tyr 450	Ala	Tyr	Ile	Lys	Asn 455	Asp	Ile	Gln	Ile	Ile 460	Ala	Glu	Ala	Leu
Leu 465	Ile	Gln	Phe	Lys	Gln 470	Gly	Leu	Asp	Arg	Met 475	Thr	Ala	Gly	Ser	Asp 480
Ser	Leu	Lys	Gly	Phe 485	Lys	Asp	Ile	Ile	Thr 490	Thr	Lys	Lys	Phe	Lys 495	Lys
Val	Phe	Pro	Thr 500	Leu	Ser	Leu	Gly	<b>Leu</b> 505	Asp	Lys	Glu	Val	<b>Arg</b> 510	Tyr	Ala
Tyr	Arg	Gly 515	Gly	Phe	Thr	Trp	Leu 520	Asn	Asp	Arg	Phe	<b>Lys</b> 525	Glu	Lys	Glu
Ile	Gly 530	Glu	Gly	Met	Val	Phe 535	Asp	Val	Asn	Ser	Leu 540	Tyr	Pro	Ala	Gln
Met 545	Tyr	Ser	Arg	Leu	Leu 550	Pro	Tyr	Gly	Glu	Pro 555	Ile	Val	Phe	Glu	Gly 560
Lys	Tyr	Val	Trp	<b>As</b> p 565	Glu	Asp	Tyr	Pro	<b>Leu</b> 570	His	Ile	Gln	His	Ile 575	Arg
Cys	Glu	Phe	Glu 580	Leu	Lys	Glu	Gly	<b>Tyr</b> 585	Ile	Pro	Thr	Ile	Gln 590	Ile	Lys
Arg	Ser	Arg	Phe	Tyr	Lys	Gly	Asn	Glu	Tyr	Leu	Lys	Ser	Ser	Gly	Gly

		595					600					605			
Glu	Ile 610	Ala	Asp	Leu	Trp	Leu 615	Ser	Asn	Val	Asp	Leu 620	Glu	Leu	Met	Lys
Glu 625	His	Tyr	Asp	Leu	<b>Tyr</b> 630	Asn	Val	Glu	Tyr	Ile 635	Ser	Gly	Leu	Lys	Phe 640
Lys	Ala	Thr	Thr	Gly 645	Leu	Phe	Lys	Asp	Phe 650	Ile	Asp	Lys	Trp	Thr 655	Tyr
Ile	Lys	Thr	Thr 660	Ser	Glu	Gly	Ala	Ile 665	Lys	Gln	Leu	Ala	<b>Lys</b> 670	Leu	Met
Leu	Asn	Ser 675	Leu	Tyr	Gly	Lys	Phe 680	Ala	Ser	Asn	Pro	<b>Asp</b> 685	Val	Thr	Gly
Lys	Val 690	Pro	Tyr	Leu	Lys	Glu 695	Asn	Gly	Ala	Leu	Gly 700	Phe	Arg	Leu	Gly
Glu 705	Glu	Glu	Thr	Lys	<b>Asp</b> 710	Pro	Val	Tyr	Thr	Pro 715	Met	Gly	Val	Phe	Ile 720
Thr	Ala	Trp	Ala	Arg 725	Tyr	Thr	Thr	Ile	Thr 730	Ala	Ala	Gln	Ala	Cys 735	Tyr
Asp	Arg	Ile	Ile 740	Tyr	Cys	Asp	Thr	Asp 745	Ser	Ile	His	Leu	Thr 750	Gly	Thr
Glu	Ile	Pro 755	Asp	Val	Ile	Lys	<b>Asp</b> 760	Ile	Val	Asp	Pro	<b>Lys</b> 765	Lys	Leu	Gly
Tyr	Trp 770	Ala	His	Asp	Ser	Thr 775	Phe	Lys	Arg	Ala	<b>Lys</b> 780	Tyr	Leu	Arg	Gln
<b>Lys</b> 785	Thr	Tyr	Ile	Gln	<b>Asp</b> 790	Ile	Tyr	Met	Lys	Glu 795	Val	Asp	Gly	Lys	<b>Leu</b> 800
Val	Glu	Gly	Ser	Pro 805	Asp	Asp	Tyr	Thr	Asp 810	Ile	Lys	Phe	Ser	Val 815	Lys
Cys	Ala	Gly	Met 820	Thr	Asp	Lys	Ile	<b>Lys</b> 825	Lys	Glu	Val	Thr	Phe 830	Glu	Asn
Phe	Lys	Val 835	Gly	Phe	Ser	Arg	Lys 840	Met	Lys	Pro	Lys	Pro 845	Val	Gln	Val

# Pro Gly Gly Val Val Leu Val Asp Asp Thr Phe Thr Ile Lys 850 855 860

<210> 11
 <211> 862
 <212> PRT
 <213> Artificial
 <220>
 <223> polimerasa Phi29 mutante K512A-N62D marcada con GST, His y S
 <400> 11

Met	Ser	Pro	Ile	Leu	Gly	${ t Tyr}$	${\tt Trp}$	Lys	Ile	Lys	Gly	Leu	Val	Gln	Pro
1				5					10					15	

- Thr Arg Leu Leu Glu Tyr Leu Glu Glu Lys Tyr Glu Glu His Leu 20 25 30
- Tyr Glu Arg Asp Glu Gly Asp Lys Trp Arg Asn Lys Lys Phe Glu Leu 35 40 45
- Gly Leu Glu Phe Pro Asn Leu Pro Tyr Tyr Ile Asp Gly Asp Val Lys 50 60
- Leu Thr Gln Ser Met Ala Ile Ile Arg Tyr Ile Ala Asp Lys His Asn 65 70 75 80
- Met Leu Gly Gly Cys Pro Lys Glu Arg Ala Glu Ile Ser Met Leu Glu 85 90 95
- Gly Ala Val Leu Asp Ile Arg Tyr Gly Val Ser Arg Ile Ala Tyr Ser 100 105 110
- Lys Asp Phe Glu Thr Leu Lys Val Asp Phe Leu Ser Lys Leu Pro Glu 115 120 125
- Met Leu Lys Met Phe Glu Asp Arg Leu Cys His Lys Thr Tyr Leu Asn 130 135 140
- Gly Asp His Val Thr His Pro Asp Phe Met Leu Tyr Asp Ala Leu Asp 145 150 155 160
- Val Val Leu Tyr Met Asp Pro Met Cys Leu Asp Ala Phe Pro Lys Leu 165 170 175
- Val Cys Phe Lys Lys Arg Ile Glu Ala Ile Pro Gln Ile Asp Lys Tyr 180 185 190
- Leu Lys Ser Ser Lys Tyr Ile Ala Trp Pro Leu Gln Gly Trp Gln Ala

		195					200					205			
Thr	Phe 210	Gly	Gly	Gly	Asp	His 215	Pro	Pro	Lys	Ser	Asp 220	Gly	Ser	Thr	Ser
Gly 225	Ser	Gly	His	His	His 230	His	His	His	Ser	Ala 235	Gly	Leu	Val	Pro	Arg 240
Gly	Ser	Thr	Ala	Ile 245	Gly	Met	Lys	Glu	Thr 250	Ala	Ala	Ala	Lys	Phe 255	Glu
Arg	Gln	His	Met 260	Asp	Ser	Pro	Asp	Leu 265	Gly	Thr	Gly	Gly	Gly 270	Ser	Gly
Asp	Asp	<b>As</b> p 275	Asp	Lys	Ser	Pro	Met 280	Gly	Tyr	Arg	Gly	Ser 285	Glu	Phe	Met
Lys	His 290	Met	Pro	Arg	Lys	Met 295	Tyr	Ser	Cys	Asp	Phe 300	Glu	Thr	Thr	Thr
<b>Lys</b> 305	Val	Glu	Asp	Cys	Arg 310	Val	Trp	Ala	Tyr	Gly 315	Tyr	Met	Asn	Ile	Glu 320
Asp	His	Ser	Glu	Tyr 325	Lys	Ile	Gly	Asn	Ser 330	Leu	Asp	Glu	Phe	Met 335	Ala
Trp	Val	Leu	Lys 340	Val	Gln	Ala	Asp	Leu 345	Tyr	Phe	His	Asp	Leu 350	Lys	Phe
Asp	Gly	Ala 355	Phe	Ile	Ile	Asn	Trp 360	Leu	Glu	Arg	Asn	Gly 365	Phe	Lys	Trp
Ser	<b>Ala</b> 370	Asp	Gly	Leu	Pro	<b>As</b> n 375	Thr	Tyr	Asn	Thr	Ile 380	Ile	Ser	Arg	Met
Gly 385	Gln	Trp	Tyr	Met	Ile 390	Asp	Ile	Cys	Leu	Gly 395	Tyr	Lys	Gly	Lys	<b>Arg</b> 400
Lys	Ile	His	Thr	Val 405	Ile	Tyr	Asp	Ser	Leu 410	Lys	Lys	Leu	Pro	Phe 415	Pro
Val	Lys	Lys	Ile 420	Ala	Lys	Asp	Phe	Lys 425	Leu	Thr	Val	Leu	Lys 430	Gly	Asp
Ile	Asp	Tyr 435	His	Lys	Glu	Arg	Pro 440	Val	Gly	Tyr	Lys	Ile 445	Thr	Pro	Glu

Glu	Tyr 450	Ala	Tyr	Ile	Lys	Asn 455	Asp	Ile	Gln	Ile	Ile 460	Ala	Glu	Ala	Leu
Leu 465	Ile	Gln	Phe	Lys	Gln 470	Gly	Leu	Asp	Arg	Met 475	Thr	Ala	Gly	Ser	Asp 480
Ser	Leu	Lys	Gly	Phe 485	Lys	Asp	Ile	Ile	Thr 490	Thr	Lys	Lys	Phe	Lys 495	Lys
Val	Phe	Pro	Thr 500	Leu	Ser	Leu	Gly	Leu 505	Asp	Lys	Glu	Val	Arg 510	Tyr	Ala
Tyr	Arg	Gly 515	Gly	Phe	Thr	Trp	Leu 520	Asn	Asp	Arg	Phe	Lys 525	Glu	Lys	Glu
Ile	Gly 530	Glu	Gly	Met	Val	Phe 535	Asp	Val	Asn	Ser	<b>Leu</b> 540	Tyr	Pro	Ala	Gln
Met 545	Tyr	Ser	Arg	Leu	Leu 550	Pro	Tyr	Gly	Glu	Pro 555	Ile	Val	Phe	Glu	Gly 560
Lys	Tyr	Val	Trp	<b>Asp</b> 565	Glu	Asp	Tyr	Pro	<b>Leu</b> 570	His	Ile	Gln	His	Ile 575	Arg
Суз	Glu	Phe	Glu 580	Leu	Lys	Glu	Gly	<b>Tyr</b> 585	Ile	Pro	Thr	Ile	Gln 590	Ile	Lys
Arg	Ser	<b>A</b> rg 595	Phe	Tyr	Lys	Gly	Asn 600	Glu	Tyr	Leu	Lys	Ser 605	Ser	Gly	Gly
Glu	Ile 610	Ala	Asp	Leu	Trp	Leu 615	Ser	Asn	Val	Asp	Leu 620	Glu	Leu	Met	Lys
Glu 625	His	Tyr	Asp	Leu	<b>Tyr</b> 630	Asn	Val	Glu	Tyr	Ile 635	Ser	Gly	Leu	Lys	Phe 640
Lys	Ala	Thr	Thr	Gly 645	Leu	Phe	Lys	Asp	Phe 650	Ile	Asp	Lys	Trp	Thr 655	Tyr
Ile	Lys	Thr	Thr 660	Ser	Glu	Gly	Ala	Ile 665	Lys	Gln	Leu	Ala	<b>Lys</b> 670	Leu	Met
Leu	Asn	Ser 675	Leu	Tyr	Gly	Lys	Phe 680	Ala	Ser	Asn	Pro	<b>Asp</b> 685	Val	Thr	Gly
Lys	<b>Val</b> 690	Pro	Tyr	Leu	Lys	Glu 695	Asn	Gly	Ala	Leu	Gly 700	Phe	Arg	Leu	Gly

	Glu 705	Glu	Glu	Thr	Lys	<b>Asp</b> 710	Pro	Val	Tyr	Thr	Pro 715	Met	Gly	Val	Phe	Ile 720
	Thr	Ala	Trp	Ala	Arg 725	Tyr	Thr	Thr	Ile	Thr 730	Ala	Ala	Gln	Ala	Cys 735	Tyr
	Asp	Arg	Ile	Ile 740	Tyr	Cys	Asp	Thr	Asp 745	Ser	Ile	His	Leu	Thr 750	Gly	Thr
	Glu	Ile	Pro 755	Asp	Val	Ile	Lys	<b>Asp</b> 760	Ile	Val	Asp	Pro	<b>Lys</b> 765	Lys	Leu	Gly
	Tyr	Trp 770	Ala	His	Glu	Ser	Thr 775	Phe	Lys	Arg	Ala	<b>Lys</b> 780	Tyr	Leu	Arg	Gln
	<b>Lys</b> 785	Thr	Tyr	Ile	Gln	<b>A</b> sp 790	Ile	Tyr	Met	Lys	Glu 795	Val	Asp	Gly	Ala	Leu 800
	Val	Glu	Gly	Ser	Pro 805	Asp	Asp	Tyr	Thr	<b>As</b> p 810	Ile	Lys	Phe	Ser	<b>Val</b> 815	Lys
	Cys	Ala	Gly	Met 820	Thr	Asp	Lys	Ile	Lys 825	Lys	Glu	Val	Thr	Phe 830	Glu	Asn
	Phe	Lys	<b>Val</b> 835	Gly	Phe	Ser	Arg	Lys 840	Met	Lys	Pro	Lys	Pro 845	Val	Gln	Val
	Pro	Gly 850	Gly	Val	Val	Leu	Val 855	Asp	Asp	Thr	Phe	Thr 860	Ile	Lys		
<210> 12 <211> 845 <212> PRT <213> Artificial																
<220> <223> polimera	ısa Pl	hi29 r	nutar	nte N6	62D n	narca	da co	n GS	T, Hi	s y S	con e	elimin	ación	de lo	s res	tos 505-525
<400> 12																
	Met 1	Ser	Pro	Ile	Leu 5	Gly	Tyr	Trp	Lys	Ile 10	Lys	Gly	Leu	Val	Gln 15	Pro
	Thr	Arg	Leu	Leu 20	Leu	Glu	Tyr	Leu	Glu 25	Glu	Lys	Tyr	Glu	Glu 30	His	Leu
	Tyr	Glu	Arg	Asp	Glu	Gly	Asp	Lys 40	Trp	Arg	Asn	Lys	Lys 45	Phe	Glu	Leu

5

Gly	Leu 50	Glu	Phe	Pro	Asn	Leu 55	Pro	Tyr	Tyr	Ile	Asp 60	Gly	Asp	Val	Lys
Leu 65	Thr	Gln	Ser	Met	Ala 70	Ile	Ile	Arg	Tyr	Ile 75	Ala	Asp	Lys	His	Asn 80
Met	Leu	Gly	Gly	Cys 85	Pro	Lys	Glu	Arg	Ala 90	Glu	Ile	Ser	Met	Leu 95	Glu
Gly	Ala	Val	Leu 100	Asp	Ile	Arg	Tyr	Gly 105	Val	Ser	Arg	Ile	Ala 110	Tyr	Ser
Lys	Asp	Phe 115	Glu	Thr	Leu	Lys	Val 120	Asp	Phe	Leu	Ser	Lys 125	Leu	Pro	Glu
Met	Leu 130	Lys	Met	Phe	Glu	Asp 135	Arg	Leu	Cys	His	Lys 140	Thr	Tyr	Leu	Asn
Gly 145	Asp	His	Val	Thr	His 150	Pro	Asp	Phe	Met	Leu 155	Tyr	Asp	Ala	Leu	Asp 160
Val	Val	Leu	Tyr	Met 165	Asp	Pro	Met	Cys	Leu 170	Asp	Ala	Phe	Pro	Lys 175	Leu
Val	Суз	Phe	<b>Lys</b> 180	Lys	Arg	Ile	Glu	<b>A</b> la 185	Ile	Pro	Gln	Ile	Asp 190	Lys	Tyr
Leu	Lys	Ser 195	Ser	Lys	Tyr	Ile	Ala 200	Trp	Pro	Leu	Gln	Gly 205	Trp	Gln	Ala
Thr	Phe 210	Gly	Gly	Gly	Asp	His 215	Pro	Pro	Lys	Ser	Asp 220	Gly	Ser	Thr	Ser
Gly 225	Ser	Gly	His	His	His 230	His	His	His	Ser	Ala 235	Gly	Leu	Val	Pro	Arg 240
Gly	Ser	Thr	Ala	Ile 245	Gly	Met	Lys	Glu	Thr 250	Ala	Ala	Ala	Lys	Phe 255	Glu
Arg	Gln	His	Met 260	Asp	Ser	Pro	Asp	Leu 265	Gly	Thr	Gly	Gly	Gly 270	Ser	Gly
Asp	Asp	<b>Asp</b> 275	Asp	Lys	Ser	Pro	Met 280	Gly	Tyr	Arg	Gly	Ser 285	Glu	Phe	Met

Lys His Met Pro Arg Lys Met Tyr Ser Cys Asp Phe Glu Thr Thr Thr 290  $\phantom{\bigg|}$  295  $\phantom{\bigg|}$  300

<b>Lys</b> 305	Val	Glu	Asp	Cys	Arg 310	Val	Trp	Ala	Tyr	Gly 315	Tyr	Met	Asn	Ile	Glu 320
Asp	His	Ser	Glu	Tyr 325	Lys	Ile	Gly	Asn	Ser 330	Leu	Asp	Glu	Phe	Met 335	Ala
Trp	Val	Leu	Lys 340	Val	Gln	Ala	Asp	Leu 345	Tyr	Phe	His	Asp	<b>Leu</b> 350	Lys	Phe
Asp	Gly	Ala 355	Phe	Ile	Ile	Asn	Trp 360	Leu	Glu	Arg	Asn	Gly 365	Phe	Lys	Trp
Ser	Ala 370	Asp	Gly	Leu	Pro	Asn 375	Thr	Tyr	Asn	Thr	Ile 380	Ile	Ser	Arg	Met
Gly 385	Gln	Trp	Tyr	Met	Ile 390	Asp	Ile	Cys	Leu	Gly 395	Tyr	Lys	Gly	Lys	Arg 400
Lys	Ile	His	Thr	Val 405	Ile	Tyr	Asp	Ser	Leu 410	Lys	Lys	Leu	Pro	Phe 415	Pro
Val	Lys	Lys	Ile 420	Ala	Lys	Asp	Phe	Lys 425	Leu	Thr	Val	Leu	Lys 430	Gly	Asp
Ile	Asp	Tyr 435	His	Lys	Glu	Arg	Pro 440	Val	Gly	Tyr	Lys	Ile 445	Thr	Pro	Glu
Glu	<b>Tyr</b> <b>4</b> 50	Ala	Tyr	Ile	Lys	<b>Asn 4</b> 55	Asp	Ile	Gln	Ile	11e 460	Ala	Glu	Ala	Leu
<b>Leu</b> 465	Ile	Gln	Phe	Lys	Gln 470	Gly	Leu	Asp	Arg	Met 475	Thr	Ala	Gly	Ser	<b>Asp</b> 480
		-	Gly	485	_	_			490		-	-		495	_
			Thr 500					505					510		
		515	Gly				520					525			
	530		Gly			535					540				
Met	Tyr	Ser	Arg	Leu	Leu	Pro	Tyr	Gly	Glu	Pro	Ile	Val	Phe	Glu	Gly

545					550					555					560
Lys	Tyr	Val	Trp	Asp 565	Glu	Asp	Tyr	Pro	<b>Leu</b> 570	His	Ile	Gln	His	Ile 575	Arg
Cys	Glu	Phe	Glu 580	Leu	Lys	Glu	Gly	<b>Tyr</b> 585	Ile	Pro	Thr	Ile	Gln 590	Ile	Lys
Arg	Ser	<b>Arg</b> 595	Phe	Tyr	Lys	Gly	Asn 600	Glu	Tyr	Leu	Lys	Ser 605	Ser	Gly	Gly
Glu	Ile 610	Ala	Asp	Leu	Trp	Leu 615	Ser	Asn	Val	Asp	Leu 620	Glu	Leu	Met	Lys
Glu 625	His	Tyr	Asp	Leu	<b>Tyr</b> 630	Asn	Val	Glu	Tyr	Ile 635	Ser	Gly	Leu	Lys	Phe 640
Lys	Ala	Thr	Thr	Gly 645	Leu	Phe	Lys	Asp	Phe 650	Ile	Asp	Lys	Trp	Thr 655	Tyr
Ile	Lys	Thr	Thr 660	Ser	Glu	Gly	Ala	Ile 665	Lys	Gln	Leu	Ala	<b>Lys</b> 670	Leu	Met
Leu	Asn	Ser 675	Leu	Tyr	Gly	Lys	Phe 680	Ala	Ser	Asn	Pro	<b>Asp</b> 685	Val	Thr	Gly
Lys	Val 690	Pro	Tyr	Leu	Lys	Glu 695	Asn	Gly	Ala	Leu	Gly 700	Phe	Arg	Leu	Gly
Glu 705	Glu	Glu	Thr	Lys	Asp 710	Pro	Val	Tyr	Thr	Pro 715	Met	Gly	Val	Phe	Ile 720
Thr	Ala	Trp	Ala	Arg 725	Tyr	Thr	Thr	Ile	Thr 730	Ala	Ala	Gln	Ala	Cys 735	Tyr
Asp	Arg	Ile	Ile 740	Tyr	Cys	Asp	Thr	<b>Asp</b> 745	Ser	Ile	His	Leu	Thr 750	Gly	Thr
Glu	Ile	Pro 755	Asp	Val	Ile	Lys	<b>Asp</b> 760	Ile	Val	Asp	Pro	<b>Lys</b> 765	Lys	Leu	Gly
Tyr	Trp 770	Ala	His	Glu	Ser	Thr 775	Phe	Lys	Arg	Ala	<b>Lys</b> 780	Tyr	Leu	Arg	Gln
Lys 785	Thr	Tyr	Ile	Gln	Asp 790	Ile	Lys	Asp	Gly	Glu 795	Phe	Ser	Val	Lys	Cys 800

		Ala	Gly	Met	Thr	<b>Asp</b> 805	Lys	Ile	Lys	Lys	Glu 810	Val	Thr	Phe	Glu	Asn 815	Phe
		Lys	Val	Gly	Phe 820	Ser	Arg	Lys	Met	Lys 825	Pro	Lys	Pro	Val	Gln 830	Val	Pro
		Gly	Gly	Val 835	Val	Leu	Val	Asp	Asp 840	Thr	Phe	Thr	Ile	Lys 845			
5	<210> 13 <211> 843 <212> PRT <213> Artificial																
10	<220> <223> polimera	asa P	hi29 ı	nutar	nte N6	62D n	narca	da co	n GS	ST, Hi	s y S	con e	elimin	ación	de lo	s res	tos 505-525
	<400> 13																
		Met 1	Ser	Pro	Ile	Leu 5	Gly	Tyr	Trp	Lys	Ile 10	Lys	Gly	Leu	Val	Gln 15	Pro
		Thr	Arg	Leu	Leu 20	Leu	Glu	Tyr	Leu	Glu 25	Glu	Lys	Tyr	Glu	Glu 30	His	Leu
		Tyr	Glu	Arg 35	Asp	Glu	Gly	Asp	Lys 40	Trp	Arg	Asn	Lys	Lys 45	Phe	Glu	Leu
		Gly	Leu 50	Glu	Phe	Pro	Asn	Leu 55	Pro	Tyr	Tyr	Ile	Asp 60	Gly	Asp	Val	Lys
		Leu 65	Thr	Gln	Ser	Met	Ala 70	Ile	Ile	Arg	Tyr	Ile 75	Ala	Asp	Lys	His	Asn 80
		Met	Leu	Gly	Gly	Cys 85	Pro	Lys	Glu	Arg	Ala 90	Glu	Ile	Ser	Met	Leu 95	Glu
		Gly	Ala	Val	Leu 100	Asp	Ile	Arg	Tyr	Gly 105	Val	Ser	Arg	Ile	<b>A</b> la 110	Tyr	Ser
		Lys	Asp	Phe 115	Glu	Thr	Leu	Lys	Val 120	Asp	Phe	Leu	Ser	Lys 125	Leu	Pro	Glu
		Met	Leu 130	Lys	Met	Phe	Glu	Asp 135	Arg	Leu	Cys	His	Lys 140	Thr	Tyr	Leu	Asn
		Gly 145	Asp	His	Val	Thr	His 150	Pro	Asp	Phe	Met	Leu 155	Tyr	Asp	Ala	Leu	Asp 160

Val	Val	Leu	Tyr	Met 165	Asp	Pro	Met	Cys	Leu 170	Asp	Ala	Phe	Pro	Lys 175	Leu
Val	Cys	Phe	Lys 180	Lys	Arg	Ile	Glu	Ala 185	Ile	Pro	Gln	Ile	Asp 190	Lys	Tyr
Leu	Lys	Ser 195	Ser	Lys	Tyr	Ile	Ala 200	Trp	Pro	Leu	Gln	Gly 205	Trp	Gln	Ala
Thr	Phe 210	Gly	Gly	Gly	Asp	His 215	Pro	Pro	Lys	Ser	Asp 220	Gly	Ser	Thr	Ser
Gly 225	Ser	Gly	His	His	His 230	His	His	His	Ser	Ala 235	Gly	Leu	Val	Pro	Arg 240
Gly	Ser	Thr	Ala	Ile 245	Gly	Met	Lys	Glu	Thr 250	Ala	Ala	Ala	Lys	Phe 255	Glu
Arg	Gln	His	Met 260	Asp	Ser	Pro	Asp	Leu 265	Gly	Thr	Gly	Gly	Gly 270	Ser	Gly
Asp	Asp	<b>As</b> p 275	Asp	Lys	Ser	Pro	Met 280	Gly	Tyr	Arg	Gly	Ser 285	Glu	Phe	Met
Lys	His 290	Met	Pro	Arg	Lys	Met 295	Tyr	Ser	Суз	Asp	Phe 300	Glu	Thr	Thr	Thr
Lys 305	Val	Glu	Asp	Суѕ	<b>A</b> rg 310	Val	Trp	Ala	Tyr	Gly 315	Tyr	Met	Asn	Ile	Glu 320
Asp	His	Ser	Glu	Tyr 325	Lys	Ile	Gly	Asn	Ser 330	Leu	Asp	Glu	Phe	Met 335	Ala
Trp	Val	Leu	Lys 340	Val	Gln	Ala	Asp	Leu 345	Tyr	Phe	His	Asp	Leu 350	Lys	Phe
Asp	Gly	Ala 355	Phe	Ile	Ile	Asn	Trp 360	Leu	Glu	Arg	Asn	Gly 365	Phe	Lys	Trp
Ser	Ala 370	Asp	Gly	Leu	Pro	Asn 375	Thr	Tyr	Asn	Thr	Ile 380	Ile	Ser	Arg	Met
Gly 385	Gln	Trp	Tyr	Met	Ile 390	Asp	Ile	Cys	Leu	Gly 395	Tyr	Lys	Gly	Lys	Arg 400
Lys	Ile	His	Thr	Val 405	Ile	Tyr	Asp	Ser	Leu 410	Lys	Lys	Leu	Pro	Phe 415	Pro

Val	Lys	Lys	Ile 420	Ala	Lys	Asp	Phe	Lys 425	Leu	Thr	Val	Leu	Lys 430	Gly	Asp
Ile	Asp	Tyr 435	His	Lys	Glu	Arg	Pro 440	Val	Gly	Tyr	Lys	Ile 445	Thr	Pro	Glu
Glu	Tyr 450	Ala	Tyr	Ile	Lys	Asn 455	Asp	Ile	Gln	Ile	Ile 460	Ala	Glu	Ala	Leu
Leu 465	Ile	Gln	Phe	Lys	Gln 470	Gly	Leu	Asp	Arg	Met 475	Thr	Ala	Gly	Ser	<b>Asp</b> 480
Ser	Leu	Lys	Gly	Phe 485	Lys	Asp	Ile	Ile	Thr 490	Thr	Lys	Lys	Phe	Lys 495	Lys
Val	Phe	Pro	Thr 500	Leu	Ser	Leu	Gly	<b>Leu</b> 505	Asp	Lys	Glu	Val	Arg 510	Tyr	Ala
Tyr	Arg	Gly 515	Gly	Phe	Thr	Trp	Leu 520	Asn	Asp	Arg	Phe	Lys 525	Glu	Lys	Glu
Ile	Gly 530	Glu	Gly	Met	Val	Phe 535	Asp	Val	Asn	Ser	Leu 540	Tyr	Pro	Ala	Gln
<b>Met</b> 545	Tyr	Ser	Arg	Leu	Leu 550	Pro	Tyr	Gly	Glu	Pro 555	Ile	Val	Phe	Glu	Gly 560
Lys	Tyr	Val	Trp	Asp 565	Glu	Asp	Tyr	Pro	<b>Leu</b> 570	His	Ile	Gln	His	Ile 575	Arg
Cys	Glu	Phe	Glu 580	Leu	Lys	Glu	Gly	<b>Tyr</b> 585	Ile	Pro	Thr	Ile	Gln 590	Ile	Lys
Arg	Ser	Arg 595	Phe	Tyr	Lys	Gly	Asn 600	Glu	Tyr	Leu	Lys	Ser 605	Ser	Gly	Gly
Glu	Ile 610	Ala	Asp	Leu	Trp	Leu 615	Ser	Asn	Val	Asp	Leu 620	Glu	Leu	Met	Lys
Glu 625	His	Tyr	Asp	Leu	<b>Tyr</b> 630	Asn	Val	Glu	Tyr	Ile 635	Ser	Gly	Leu	Lys	Phe 640
Lys	Ala	Thr	Thr	Gly 645	Leu	Phe	Lys	Asp	Phe 650	Ile	Asp	Lys	Trp	Thr 655	Tyr
Ile	Lys	Thr	Thr 660	Ser	Glu	Gly	Ala	Ile 665	Lys	Gln	Leu	Ala	Lys 670	Leu	Met

		Leu	Asn	Ser 675	Leu	Tyr	Gly	Lys	Phe 680	Ala	Ser	Asn	Pro	Asp 685	Val	Thr	Gly	
		Lys	<b>Val</b> 690	Pro	Tyr	Leu	Lys	Glu 695	Asn	Gly	Ala	Leu	Gly 700	Phe	Arg	Leu	Gly	
		Glu 705	Glu	Glu	Thr	Lys	<b>Asp</b> 710	Pro	Val	Tyr	Thr	Pro 715	Met	Gly	Val	Phe	Ile 720	
		Thr	Ala	Trp	Ala	Arg 725	Tyr	Thr	Thr	Ile	Thr 730	Ala	Ala	Gln	Ala	Cys 735	Tyr	
		Asp	Arg	Ile	Ile 740	Tyr	Cys	Asp	Thr	Asp 745	Ser	Ile	His	Leu	Thr 750	Gly	Thr	
		Glu	Ile	Pro 755	Asp	Val	Ile	Lys	<b>Asp</b> 760	Ile	Val	Asp	Pro	Lys 765	Lys	Leu	Gly	
		Tyr	Trp 770	Ala	His	Glu	Ser	Thr 775	Phe	Lys	Arg	Ala	<b>Lys</b> 780	Tyr	Leu	Arg	Gln	
		<b>Lys</b> 785	Thr	Tyr	Ile	Gln	<b>Asp</b> 790	Ile	Asp	Gly	Phe	Ser 795	Val	Lys	Cys	Ala	Gly 800	
		Met	Thr	Asp	Lys	Ile 805	Lys	Lys	Glu	Val	Thr 810	Phe	Glu	Asn	Phe	Lys 815	Val	
		Gly	Phe	Ser	Arg 820	Lys	Met	Lys	Pro	Lys 825	Pro	Val	Gln	Val	Pro 830	Gly	Gly	
		Val	Val	Leu 835	Val	Asp	Asp	Thr	Phe 840	Thr	Ile	Lys						
<210> 14 <211> 76 <212> Al <213> Ar	67 ON																	
<220> <223> pla	ásmid	o que	codi	fica la	a polir	meras	a Phi	i29 m	utant	e N62	2D							
<400> 14	ļ																	
	tggc	gaat	gg g	acgo	gccc	t gt	agcg	gcgc	att	aagc	gcg	gcgg	gtgt	gg t	ggtt	acgc	g	60
	cago	gtga	.cc g	ctac	actt	g cc	agcg	ccct	agc	gccc	gct	cctt	tcgc	tt t	cttc	cctt	С	120
	cttt	ctcg	cc a	cgtt	.cgcc	g go	tttc	cccg	tca	agct	cta	aatc	gggg	gc t	ccct	ttag	g	180
	gtto	cgat	tt a	gtgc	ttta	.c gg	cacc	tcga	ccc	caaa	aaa	cttg	atta	gg g	tgat	ggtt	C	240

5

acgtagtggg	ccatcgccct	gatagacggt	ttttcgccct	ttgacgttgg	agtccacgtt	300
ctttaatagt	ggactcttgt	tccaaactgg	aacaacactc	aaccctatct	cggtctattc	360
ttttgattta	taagggattt	tgccgatttc	ggcctattgg	ttaaaaaatg	agctgattta	420
acaaaaattt	aacgcgaatt	ttaacaaaat	attaacgttt	acaatttcag	gtggcacttt	480
tcggggaaat	gtgcgcggaa	cccctatttg	tttattttc	taaatacatt	caaatatgta	540
tccgctcatg	aattaattct	tagaaaaact	catcgagcat	caaatgaaac	tgcaatttat	600
tcatatcagg	attatcaata	ccatatttt	gaaaaagccg	tttctgtaat	gaaggagaaa	660
actcaccgag	gcagttccat	aggatggcaa	gatcctggta	tcggtctgcg	attccgactc	720
gtccaacatc	aatacaacct	attaatttcc	cctcgtcaaa	aataaggtta	tcaagtgaga	780
aatcaccatg	agtgacgact	gaatccggtg	agaatggcaa	aagtttatgc	atttctttcc	840
agacttgttc	aacaggccag	ccattacgct	cgtcatcaaa	atcactcgca	tcaaccaaac	900
cgttattcat	tcgtgattgc	gcctgagcga	gacgaaatac	gcgatcgctg	ttaaaaggac	960
aattacaaac	aggaatcgaa	tgcaaccggc	gcaggaacac	tgccagcgca	tcaacaatat	1020
tttcacctga	atcaggatat	tcttctaata	cctggaatgc	tgttttcccg	gggatcgcag	1080
tggtgagtaa	ccatgcatca	tcaggagtac	ggataaaatg	cttgatggtc	ggaagaggca	1140
taaattccgt	cagccagttt	agtctgacca	tctcatctgt	aacatcattg	gcaacgctac	1200
ctttgccatg	tttcagaaac	aactctggcg	catcgggctt	cccatacaat	cgatagattg	1260
tegeacetga	ttgcccgaca	ttatcgcgag	cccatttata	cccatataaa	tcagcatcca	1320
tgttggaatt	taatcgcggc	ctagagcaag	acgtttcccg	ttgaatatgg	ctcataacac	1380
cccttgtatt	actgtttatg	taagcagaca	gttttattgt	tcatgaccaa	aatcccttaa	1440
cgtgagtttt	cgttccactg	agcgtcagac	cccgtagaaa	agatcaaagg	atcttcttga	1500
gatccttttt	ttctgcgcgt	aatctgctgc	ttgcaaacaa	aaaaaccacc	gctaccagcg	1560
gtggtttgtt	tgccggatca	agagctacca	actcttttc	cgaaggtaac	tggcttcagc	1620
agagcgcaga	taccaaatac	tgtccttcta	gtgtagccgt	agttaggcca	ccacttcaag	1680
aactctgtag	caccgcctac	atacctcgct	ctgctaatcc	tgttaccagt	ggctgctgcc	1740
agtggcgata	agtcgtgtct	taccgggttg	gactcaagac	gatagttacc	ggataaggcg	1800
cagcggtcgg	gctgaacggg	gggttcgtgc	acacagecea	gcttggagcg	aacgacctac	1860
accgaactga	gatacctaca	gcgtgagcta	tgagaaagcg	ccacgcttcc	cgaagggaga	1920
aaggcggaca	ggtatccggt	aagcggcagg	gtcggaacag	gagagcgcac	gagggagctt	1980
ccagggggaa	acgcctggta	tctttatagt	cctgtcgggt	ttcgccacct	ctgacttgag	2040
cgtcgatttt	tgtgatgctc	gtcagggggg	cggagcctat	ggaaaaacgc	cagcaacgcg	2100
gcctttttac	ggttcctggc	cttttgctgg	ccttttgctc	acatgttctt	tcctgcgtta	2160

tcccctgatt ctgtggataa	ccgtattacc	gcctttgagt	gagctgatac	cgctcgccgc	2220
agccgaacga ccgagcgcag	cgagtcagtg	agcgaggaag	cggaagagcg	cctgatgcgg	2280
tattttctcc ttacgcatct	gtgcggtatt	tcacaccgca	tatatggtgc	actctcagta	2340
caatctgctc tgatgccgca	tagttaagcc	agtatacact	ccgctatcgc	tacgtgactg	2400
ggtcatggct gcgccccgac	acccgccaac	acccgctgac	gcgccctgac	gggcttgtct	2460
gctcccggca tccgcttaca	gacaagctgt	gaccgtctcc	gggagctgca	tgtgtcagag	2520
gttttcaccg tcatcaccga	aacgcgcgag	gcagctgcgg	taaagctcat	cagcgtggtc	2580
gtgaagcgat tcacagatgt	ctgcctgttc	atccgcgtcc	agctcgttga	gtttctccag	2640
aagcgttaat gtctggcttc	tgataaagcg	ggccatgtta	agggcggttt	tttcctgttt	2700
ggtcactgat gcctccgtgt	aagggggatt	tctgttcatg	ggggtaatga	taccgatgaa	2760
acgagagagg atgctcacga	tacgggttac	tgatgatgaa	catgcccggt	tactggaacg	2820
ttgtgagggt aaacaactgg	cggtatggat	gcggcgggac	cagagaaaaa	tcactcaggg	2880
tcaatgccag cgcttcgtta	atacagatgt	aggtgttcca	cagggtagcc	agcagcatcc	2940
tgcgatgcag atccggaaca	taatggtgca	gggcgctgac	ttccgcgttt	ccagacttta	3000
cgaaacacgg aaaccgaaga	ccattcatgt	tgttgctcag	gtcgcagacg	ttttgcagca	3060
gcagtcgctt cacgttcgct	cgcgtatcgg	tgattcattc	tgctaaccag	taaggcaacc	3120
ccgccagcct agccgggtcc	tcaacgacag	gagcacgatc	atgctagtca	tgccccgcgc	3180
ccaccggaag gagctgactg	ggttgaaggc	tctcaagggc	atcggtcgag	atcccggtgc	3240
ctaatgagtg agctaactta	cattaattgc	gttgcgctca	ctgcccgctt	tccagtcggg	3300
aaacctgtcg tgccagctgc	attaatgaat	cggccaacgc	gcggggagag	gcggtttgcg	3360
tattgggcgc cagggtggtt	tttcttttca	ccagtgagac	gggcaacagc	tgattgccct	3420
tcaccgcctg gccctgagag	agttgcagca	agcggtccac	gctggtttgc	cccagcaggc	3480
gaaaatcctg tttgatggtg	gttaacggcg	ggatataaca	tgagctgtct	tcggtatcgt	3540
cgtatcccac taccgagatg	tccgcaccaa	cgcgcagccc	ggactcggta	atggcgcgca	3600
ttgcgcccag cgccatctga	tcgttggcaa	ccagcatcgc	agtgggaacg	atgccctcat	3660
tcagcatttg catggtttgt	tgaaaaccgg	acatggcact	ccagtcgcct	tcccgttccg	3720
ctatcggctg aatttgattg	cgagtgagat	atttatgcca	gccagccaga	cgcagacgcg	3780
ccgagacaga acttaatggg	cccgctaaca	gcgcgatttg	ctggtgaccc	aatgcgacca	3840
gatgetecae geceagtege	gtaccgtctt	catgggagaa	aataatactg	ttgatgggtg	3900
tctggtcaga gacatcaaga	aataacgccg	gaacattagt	gcaggcagct	tccacagcaa	3960
tggcatcctg gtcatccagc	ggatagttaa	tgatcagccc	actgacgcgt	tgcgcgagaa	4020

gattgtgcac	cgccgcttta	caggcttcga	cgccgcttcg	ttctaccatc	gacaccacca	4080
cgctggcacc	cagttgatcg	gcgcgagatt	taatcgccgc	gacaatttgc	gacggcgcgt	4140
gcagggccag	actggaggtg	gcaacgccaa	tcagcaacga	ctgtttgccc	gccagttgtt	4200
gtgccacgcg	gttgggaatg	taattcagct	ccgccatcgc	cgcttccact	ttttcccgcg	4260
ttttcgcaga	aacgtggctg	gcctggttca	ccacgcggga	aacggtctga	taagagacac	4320
cggcatactc	tgcgacatcg	tataacgtta	ctggtttcac	attcaccacc	ctgaattgac	4380
tetetteegg	gcgctatcat	gccataccgc	gaaaggtttt	gcgccattcg	atggtgtccg	4440
ggatctcgac	gctctccctt	atgcgactcc	tgcattagga	agcagcccag	tagtaggttg	4500
aggccgttga	gcaccgccgc	cgcaaggaat	ggtgcatgca	aggagatggc	gcccaacagt	4560
cccccggcca	cggggcctgc	caccataccc	acgccgaaac	aagcgctcat	gagcccgaag	4620
tggcgagccc	gatcttcccc	atcggtgatg	tcggcgatat	aggcgccagc	aaccgcacct	4680
gtggcgccgg	tgatgccggc	cacgatgcgt	ccggcgtaga	ggatcgagat	cgatctcgat	4740
cccgcgaaat	taatacgact	cactataggg	gaattgtgag	cggataacaa	ttcccctcta	4800
gaaataattt	tgtttaactt	taagaaggag	atatacatat	gtcccctata	ctaggttatt	4860
ggaaaattaa	gggccttgtg	caacccactc	gacttctttt	ggaatatctt	gaagaaaaat	4920
atgaagagca	tttgtatgag	cgcgatgaag	gtgataaatg	gcgaaacaaa	aagtttgaat	4980
tgggtttgga	gtttcccaat	cttccttatt	atattgatgg	tgatgttaaa	ttaacacagt	5040
ctatggccat	catacgttat	atagctgaca	agcacaacat	gttgggtggt	tgtccaaaag	5100
agcgtgcaga	gatttcaatg	cttgaaggag	cggttttgga	tattagatac	ggtgtttcga	5160
gaattgcata	tagtaaagac	tttgaaactc	tcaaagttga	ttttcttagc	aagctacctg	5220
aaatgctgaa	aatgttcgaa	gatcgtttat	gtcataaaac	atatttaaat	ggtgatcatg	5280
taacccatcc	tgacttcatg	ttgtatgacg	ctcttgatgt	tgttttatac	atggacccaa	5340
tgtgcctgga	tgcgttccca	aaattagttt	gttttaaaaa	acgtattgaa	gctatcccac	5400
aaattgataa	gtacttgaaa	tccagcaagt	atatagcatg	gcctttgcag	ggctggcaag	5460
ccacgtttgg	tggtggcgac	catcctccaa	aatcggatgg	ttcaactagt	ggttctggtc	5520
atcaccatca	ccatcactcc	gcgggtctgg	tgccacgcgg	tagtactgca	attggtatga	5580
aagaaaccgc	tgctgctaaa	ttcgaacgcc	agcacatgga	cagcccagat	ctgggtaccg	5640
gtggtggctc	cggtgatgac	gacgacaaga	gtcccatggg	atatcgggga	tccgaattca	5700
tgaagcatat	gccgagaaag	atgtatagtt	gtgactttga	gacaactact	aaagtggaag	5760
actgtagggt	atgggcgtat	ggttatatga	atatagaaga	tcacagtgag	tacaaaatag	5820
gtaatagcct	ggatgagttt	atggcgtggg	tgttgaaggt	acaagctgat	ctatatttcc	5880
atgatctcaa	atttgacgga	gcttttatca	ttaactggtt	ggaacgtaat	ggttttaagt	5940

```
ggtcggctga cggattgcca aacacatata atacgatcat atctcgcatg ggacaatggt
                                                                     6000
acatgattga tatatgttta ggctacaaag ggaaacgtaa gatacataca gtgatatatg
                                                                     6060
acagcttaaa gaaactaccg tttcctgtta agaagatagc taaagacttt aaactaactg
                                                                     6120
ttcttaaagg tgatattgat taccacaaag aaagaccagt cggctataag ataacacccg
                                                                     6180
aagaatacgc ctatattaaa aacgatattc agattattgc ggaagctctg ttaattcagt
                                                                     6240
ttaagcaagg tttagaccgg atgacagcag gcagtgacag tctaaaaggt ttcaaggata
                                                                     6300
                                                                     6360
ttataaccac taagaaattc aaaaaggtgt ttcctacatt gagtcttgga ctcgataagg
                                                                     6420
aagtgagata cgcctataga ggtggtttta catggttaaa tgataggttc aaagaaaaag
aaatcggaga aggcatggtc ttcgatgtta atagtctata tcctgcacag atgtatagtc
                                                                     6480
                                                                     6540
gtctccttcc atatggtgaa cctatagtat tcgagggtaa atacgtttgg gacgaagatt
acccactaca catacagcat atcagatgtg agttcgaatt gaaagagggc tatataccca
                                                                     6600
                                                                     6660
ctatacagat aaaaagaagt aggttttata aaggtaatga gtacctaaaa agtagcggcg
gggagatagc cgacctctgg ttgtcaaatg tagacctaga attaatgaaa gaacactacg
                                                                     6720
                                                                     6780
atttatataa cgttgaatat atcagcggct taaaatttaa agcaactaca ggtttgttta
aagattttat agataaatgg acgtacatca agacgacatc agaaggagcg atcaagcaac
                                                                     6840
tagcaaaact gatgttaaac agtctatacg gtaaattcgc tagtaaccct gatgttacag
                                                                     6900
ggaaagtccc ttatttaaaa gagaatgggg cgctaggttt cagacttgga gaagaggaaa
                                                                     6960
caaaagaccc tgtttataca cctatgggcg ttttcatcac tgcatgggct agatacacga
                                                                     7020
caattacagc ggcacaggct tgttatgatc ggataatata ctgtgatact gacagcatac
                                                                     7080
atttaacggg tacagagata cctgatgtaa taaaagatat agttgaccct aagaaattgg
                                                                     7140
gatactgggc acatgaaagt acattcaaaa gagctaaata tctgagacag aagacctata
                                                                     7200
                                                                     7260
tacaagacat ctatatgaaa gaagtagatg gtaagttagt agaaggtagt ccagatgatt
acactgatat aaaatttagt gttaaatgtg cgggaatgac tgacaagatt aagaaagagg
                                                                     7320
ttacgtttga gaatttcaaa gtcggattca gtcggaaaat gaagcctaag cctgtgcaag
                                                                     7380
                                                                     7440
tgccgggcgg ggtggttctg gttgatgaca cattcacaat caaataagaa ttctgtacag
                                                                     7500
gccttggcgc gcctgcaggc gagctccgtc gacaagcttg cggccgcact cgagcaccac
caccaccacc accaccacta attgattaat acctaggctg ctaaacaaag cccgaaagga
                                                                     7560
agctgagttg gctgctgcca ccgctgagca ataactagca taaccccttg gggcctctaa
                                                                     7620
acgggtcttg aggggttttt tgctgaaagg aggaactata tccggat
                                                                     7667
```

<210> 15 <211> 1728

<212> ADN

<213> Artificial

<220>

<223> codifica la polimerasa Phi29 mutante K135A-N62D

10 <400> 15

```
atgaagcaca tgccgagaaa gatgtatagt tgtgactttg agacaactac taaagtggaa
                                                                      60
gactgtaggg tatgggcgta tggttatatg aatatagaag atcacagtga gtacaaaata
                                                                     120
ggtaatagcc tggatgagtt tatggcgtgg gtgttgaagg tacaagctga tctatatttc
                                                                     180
catgatetea aatttgaegg agettttate attaaetggt tggaaegtaa tggttttaag
                                                                     240
tggtcggctg acggattgcc aaacacatat aatacgatca tatctcgcat gggacaatgg
                                                                      300
tacatgattg atatatgttt aggctacaaa gggaaacgta agatacatac agtgatatat
                                                                      360
gacagcttaa agaaactacc gtttcctgtt aagaagatag ctgccgactt taaactaact
                                                                      420
gttcttaaag gtgatattga ttaccacaaa gaaagaccag tcggctataa gataacacc
                                                                      480
gaagaatacg cctatattaa aaacgatatt cagattattg cggaagctct gttaattcag
                                                                     540
                                                                      600
tttaagcaag gtttagaccg gatgacagca ggcagtgaca gtctaaaagg tttcaaggat
attataacca ctaagaaatt caaaaaggtg tttcctacat tgagtcttgg actcgataag
                                                                      660
gaagtgagat acgcctatag aggtggtttt acatggttaa atgataggtt caaagaaaaa
                                                                      720
gaaatcggag aaggcatggt cttcgatgtt aatagtctat atcctgcaca gatgtatagt
                                                                      780
cgtctccttc catacggtga acctatagta ttcgagggta aatacgtttg ggacgaagat
                                                                      840
tacccactac acatacagca tatcagatgt gagttcgaat tgaaagaggg ctatataccc
                                                                      900
actatacaga taaaaagaag taggttttat aaaggtaatg agtacctaaa aagtagcggc
                                                                      960
ggggagatag ccgacctctg gttgtcaaat gtagacctag aattaatgaa agaacactac
                                                                     1020
gatttatata acqttqaata tatcaqcqqc ttaaaattta aaqcaactac aqqtttqttt
                                                                     1080
aaagatttta tagataaatg gacgtacatc aagacgacat cagaaggagc gatcaagcaa
                                                                     1140
ctagcaaaac tgatgttaaa cagtctatac ggtaaattcg ctagtaaccc tgatgttaca
                                                                     1200
gggaaagtcc cttatttaaa agagaatggg gcgctaggtt tcagacttgg agaagaggaa
                                                                     1260
                                                                     1320
acaaaagacc ctgtttatac acctatgggc gttttcatca ctgcatgggc tagatacacg
acaattacag cggcacaggc ttgttatgat cggataatat actgtgatac tgacagcata
                                                                     1380
catttaacgg gtacagagat acctgatgta ataaaagata tagttgaccc taagaaattg
                                                                     1440
                                                                     1500
ggatactggg cacatgaaag tacattcaaa agagctaaat atctgagaca gaagacctat
atacaagaca totatatgaa agaagtagat ggtaagttag tagaaggtag tocagatgat
                                                                     1560
tacactgata taaaatttag tgttaaatgt gcgggaatga ctgacaagat taagaaagag
                                                                     1620
gttacgtttg agaatttcaa agtcggattc agtcggaaaa tgaagcctaa gcctgtgcaa
                                                                     1680
gtgccgggcg gggtggttct ggttgatgac acattcacaa tcaaataa
                                                                     1728
```

<210> 16

<211> 1728

<212> ADN

<213> Artificial

<220>

<223> codifica la polimerasa Phi29 mutante E375H-N62D

10

5

```
atgaagcaca tgccgagaaa gatgtatagt tgtgactttg agacaactac taaagtggaa
                                                                      60
gactgtaggg tatgggcgta tggttatatg aatatagaag atcacagtga gtacaaaata
                                                                     120
ggtaatagcc tggatgagtt tatggcgtgg gtgttgaagg tacaagctga tctatatttc
                                                                     180
catgatetea aatttgaegg agettttate attaaetggt tggaaegtaa tggttttaag
                                                                     240
tggtcggctg acggattgcc aaacacatat aatacgatca tatctcgcat gggacaatgg
                                                                      300
tacatgattg atatatgttt aggctacaaa gggaaacgta agatacatac agtgatatat
                                                                     360
gacagcttaa agaaactacc gtttcctgtt aagaagatag ctaaagactt taaactaact
                                                                      420
gttcttaaag gtgatattga ttaccacaaa gaaagaccag tcggctataa gataacacc
                                                                      480
gaagaatacg cctatattaa aaacgatatt cagattattg cggaagctct gttaattcag
                                                                      540
tttaagcaag gtttagaccg gatgacagca ggcagtgaca gtctaaaagg tttcaaggat
                                                                      600
attataacca ctaagaaatt caaaaaggtg tttcctacat tgagtcttgg actcgataag
                                                                      660
                                                                      720
gaagtgagat acgcctatag aggtggtttt acatggttaa atgataggtt caaagaaaaa
gaaatcggag aaggcatggt cttcgatgtt aatagtctat atcctgcaca gatgtatagt
                                                                      780
cgtctccttc catacggtga acctatagta ttcgagggta aatacgtttg ggacgaagat
                                                                     840
                                                                      900
tacccactac acatacagca tatcagatgt gagttcgaat tgaaagaggg ctatataccc
                                                                      960
actatacaga taaaaagaag taggttttat aaaggtaatg agtacctaaa aagtagcggc
ggggagatag ccgacctctg gttgtcaaat gtagacctag aattaatgaa agaacactac
                                                                     1020
gatttatata acgttgaata tatcagcggc ttaaaattta aagcaactac aggtttgttt
                                                                     1080
                                                                     1140
aaagatttta tagataaatg gacgtacatc aagacgacat cacacggagc gatcaagcaa
ctagcaaaac tgatgttaaa cagtctatac ggtaaattcg ctagtaaccc tgatgttaca
                                                                     1200
gggaaagtcc cttatttaaa agagaatggg gcgctaggtt tcagacttgg agaagaggaa
                                                                     1260
acaaaagacc ctgtttatac acctatgggc gttttcatca ctgcatgggc tagatacacg
                                                                     1320
                                                                     1380
acaattacag cggcacaggc ttgttatgat cggataatat actgtgatac tgacagcata
                                                                     1440
catttaacgg gtacagagat acctgatgta ataaaagata tagttgaccc taagaaattg
ggatactggg cacatgaaag tacattcaaa agagctaaat atctgagaca gaagacctat
                                                                     1500
atacaagaca totatatgaa agaagtagat ggtaagttag tagaaggtag tocagatgat
                                                                     1560
tacactgata taaaatttag tgttaaatgt gcgggaatga ctgacaagat taagaaagag
                                                                     1620
gttacgtttg agaatttcaa agtcggattc agtcggaaaa tgaagcctaa gcctgtgcaa
                                                                     1680
gtgccgggcg gggtggttct ggttgatgac acattcacaa tcaaataa
                                                                     1728
```

5 <210> 17 <211> 1728 <212> ADN <213> Artificial

10 <220>

<223> codifica la polimerasa Phi29 mutante E375S-N62D

```
atgaagcaca tgccgagaaa gatgtatagt tgtgactttg agacaactac taaagtggaa
                                                                       60
gactgtaggg tatgggcgta tggttatatg aatatagaag atcacagtga gtacaaaata
                                                                      120
ggtaatagcc tggatgagtt tatggcgtgg gtgttgaagg tacaagctga tctatatttc
                                                                      180
catgatetea aatttgaegg agettttate attaactggt tggaacgtaa tggttttaag
                                                                      240
tggtcggctg acggattgcc aaacacatat aatacgatca tatctcgcat gggacaatgg
                                                                      300
tacatgattg atatatgttt aggctacaaa gggaaacgta agatacatac agtgatatat
                                                                      360
gacagcttaa agaaactacc gtttcctgtt aagaagatag ctaaagactt taaactaact
                                                                      420
                                                                      480
qttcttaaag qtqatattqa ttaccacaaa qaaaqaccaq tcqqctataa qataacaccc
gaagaatacg cctatattaa aaacgatatt cagattattg cggaagctct gttaattcag
                                                                      540
tttaagcaag gtttagaccg gatgacagca ggcagtgaca gtctaaaagg tttcaaggat
                                                                      600
attataacca ctaagaaatt caaaaaggtg tttcctacat tgagtcttgg actcgataag
                                                                      660
gaagtgagat acgcctatag aggtggtttt acatggttaa atgataggtt caaagaaaaa
                                                                      720
gaaatcggag aaggcatggt cttcgatgtt aatagtctat atcctgcaca gatgtatagt
                                                                      780
cgtctccttc catacggtga acctatagta ttcgagggta aatacgtttg ggacgaagat
                                                                      840
tacccactac acatacagca tatcagatgt gagttcgaat tgaaagaggg ctatataccc
                                                                      900
                                                                      960
actatacaga taaaaagaag taggttttat aaaggtaatg agtacctaaa aagtagcggc
ggggagatag ccgacctctg gttgtcaaat gtagacctag aattaatgaa agaacactac
                                                                     1020
gatttatata acgttgaata tatcagcggc ttaaaattta aagcaactac aggtttgttt
                                                                     1080
aaagatttta tagataaatg gacgtacatc aagacgacat caagcggagc gatcaagcaa
                                                                     1140
ctagcaaaac tgatgttaaa cagtctatac ggtaaattcg ctagtaaccc tgatgttaca
                                                                     1200
gggaaagtcc cttatttaaa agagaatggg gcgctaggtt tcagacttgg agaagaggaa
                                                                     1260
                                                                     1320
acaaaagacc ctgtttatac acctatgggc gttttcatca ctgcatgggc tagatacacg
acaattacag cggcacaggc ttgttatgat cggataatat actgtgatac tgacagcata
                                                                     1380
catttaacgg gtacagagat acctgatgta ataaaagata tagttgaccc taagaaattg
                                                                     1440
ggatactggg cacatgaaag tacattcaaa agagctaaat atctgagaca gaagacctat
                                                                     1500
                                                                     1560
atacaagaca tctatatgaa agaagtagat ggtaagttag tagaaggtag tccagatgat
tacactgata taaaatttag tgttaaatgt gcgggaatga ctgacaagat taagaaagag
                                                                     1620
gttacgtttg agaatttcaa agtcggattc agtcggaaaa tgaagcctaa gcctgtgcaa
                                                                     1680
gtgccgggcg gggtggttct ggttgatgac acattcacaa tcaaataa
                                                                     1728
```

5 <210> 18 <211> 1728 <212> ADN <213> Artificial

10 <220>

<223> codifica la polimerasa Phi29 mutante L384R-N62D

```
atgaagcaca tgccgagaaa gatgtatagt tgtgactttg agacaactac taaagtggaa
                                                                      60
gactgtaggg tatgggcgta tggttatatg aatatagaag atcacagtga gtacaaaata
                                                                     120
ggtaatagcc tggatgagtt tatggcgtgg gtgttgaagg tacaagctga tctatatttc
                                                                     180
catgatetea aatttgaegg agettttate attaaetggt tggaaegtaa tggttttaag
                                                                     240
tggtcggctg acggattgcc aaacacatat aatacgatca tatctcgcat gggacaatgg
                                                                     300
tacatgattg atatatgttt aggctacaaa gggaaacgta agatacatac agtgatatat
                                                                     360
gacagcttaa agaaactacc gtttcctgtt aagaagatag ctaaagactt taaactaact
                                                                     420
gttcttaaag gtgatattga ttaccacaaa gaaagaccag tcggctataa gataacacc
                                                                     480
gaagaatacg cctatattaa aaacgatatt cagattattg cggaagctct gttaattcag
                                                                     540
                                                                      600
tttaagcaag gtttagaccg gatgacagca ggcagtgaca gtctaaaagg tttcaaggat
attataacca ctaagaaatt caaaaaggtg tttcctacat tgagtcttgg actcgataag
                                                                      660
                                                                     720
gaagtgagat acgcctatag aggtggtttt acatggttaa atgataggtt caaagaaaaa
gaaatcggag aaggcatggt cttcgatgtt aatagtctat atcctgcaca gatgtatagt
                                                                     780
cgtctccttc catacggtga acctatagta ttcgagggta aatacgtttg ggacgaagat
                                                                     840
tacccactac acatacagca tatcagatgt gagttcgaat tgaaagaggg ctatataccc
                                                                     900
actatacaga taaaaagaag taggttttat aaaggtaatg agtacctaaa aagtagcggc
                                                                     960
ggggagatag ccgacctctg gttgtcaaat gtagacctag aattaatgaa agaacactac
                                                                     1020
gatttatata acgttgaata tatcagcggc ttaaaattta aagcaactac aggtttgttt
                                                                     1080
                                                                     1140
aaagatttta tagataaatg gacgtacatc aagacgacat cagaaggagc gatcaagcaa
ctagcaaaac ggatgttaaa cagtctatac ggtaaattcg ctagtaaccc tgatgttaca
                                                                     1200
gggaaagtcc cttatttaaa agagaatggg gcgctaggtt tcagacttgg agaagaggaa
                                                                     1260
                                                                     1320
acaaaagacc ctgtttatac acctatgggc gttttcatca ctgcatgggc tagatacacg
                                                                     1380
acaattacag cggcacaggc ttgttatgat cggataatat actgtgatac tgacagcata
catttaacgg gtacagagat acctgatgta ataaaagata tagttgaccc taagaaattg
                                                                     1440
ggatactggg cacatgaaag tacattcaaa agagctaaat atctgagaca gaagacctat
                                                                     1500
atacaagaca totatatgaa agaagtagat ggtaagttag tagaaggtag tocagatgat
                                                                     1560
tacactgata taaaatttag tgttaaatgt gcgggaatga ctgacaagat taagaaagag
                                                                     1620
                                                                     1680
gttacgtttg agaatttcaa agtcggattc agtcggaaaa tgaagcctaa gcctgtgcaa
                                                                     1728
gtgccgggcg gggtggttct ggttgatgac acattcacaa tcaaataa
```

```
5 <210> 19
<211> 1728
<212> ADN
<213> Artificial
```

10 <220> <223> codifica la polimerasa Phi29 mutante E486A-N62D <400> 19

```
atgaagcaca tgccgagaaa gatgtatagt tgtgactttg agacaactac taaagtggaa
                                                                       60
gactgtaggg tatgggcgta tggttatatg aatatagaag atcacagtga gtacaaaata
                                                                      120
ggtaatagcc tggatgagtt tatggcgtgg gtgttgaagg tacaagctga tctatatttc
                                                                      180
catgatetea aatttgaegg agettttate attaactggt tggaacgtaa tggttttaag
                                                                      240
tggtcggctg acggattgcc aaacacatat aatacgatca tatctcgcat gggacaatgg
                                                                      300
                                                                      360
tacatgattg atatatgttt aggctacaaa gggaaacgta agatacatac agtgatatat
gacagettaa agaaaetaee gttteetgtt aagaagatag etaaagaett taaaetaaet
                                                                      420
gttcttaaag gtgatattga ttaccacaaa gaaagaccag tcggctataa gataacacc
                                                                      480
gaagaatacg cctatattaa aaacgatatt cagattattg cggaagctct gttaattcag
                                                                      540
tttaagcaag gtttagaccg gatgacagca ggcagtgaca gtctaaaaagg tttcaaggat
                                                                      600
attataacca ctaagaaatt caaaaaggtg tttcctacat tgagtcttgg actcgataag
                                                                      660
                                                                      720
gaagtgagat acgcctatag aggtggtttt acatggttaa atgataggtt caaagaaaaa
gaaatcggag aaggcatggt cttcgatgtt aatagtctat atcctgcaca gatgtatagt
                                                                      780
cgtctccttc catacggtga acctatagta ttcgagggta aatacgtttg ggacgaagat
                                                                      840
tacccactac acatacagca tatcagatgt gagttcgaat tgaaagaggg ctatataccc
                                                                      900
                                                                      960
actatacaga taaaaagaag taggttttat aaaggtaatg agtacctaaa aagtagcggc
ggggagatag ccgacctctg gttgtcaaat gtagacctag aattaatgaa agaacactac
                                                                     1020
gatttatata acgttgaata tatcagcggc ttaaaattta aagcaactac aggtttgttt
                                                                     1080
aaagatttta tagataaatg gacgtacatc aagacgacat cagaaggagc gatcaagcaa
                                                                     1140
ctagcaaaac tgatgttaaa cagtctatac ggtaaattcg ctagtaaccc tgatgttaca
                                                                     1200
gggaaagtcc cttatttaaa agagaatggg gcgctaggtt tcagacttgg agaagaggaa
                                                                     1260
acaaaagacc ctgtttatac acctatgggc gttttcatca ctgcatgggc tagatacacg
                                                                     1320
                                                                     1380
acaattacag cggcacaggc ttgttatgat cggataatat actgtgatac tgacagcata
catttaacgg gtacagagat acctgatgta ataaaagata tagttgaccc taagaaattg
                                                                     1440
ggatactggg cacatgccag tacattcaaa agagctaaat atctgagaca gaagacctat
                                                                     1500
atacaagaca totatatgaa agaagtagat ggtaagttag tagaaggtag tocagatgat
                                                                     1560
tacactgata taaaatttag tgttaaatgt gcgggaatga ctgacaagat taagaaagag
                                                                     1620
gttacgtttg agaatttcaa agtcggattc agtcggaaaa tgaagcctaa gcctgtgcaa
                                                                     1680
gtgccgggcg gggtggttct ggttgatgac acattcacaa tcaaataa
                                                                     1728
```

5 <210> 20 <211> 1728 <212> ADN <213> Artificial

10 <220>

<223> codifica la polimerasa Phi29 mutante E486D-N62D

```
atgaagcaca tgccgagaaa gatgtatagt tgtgactttg agacaactac taaagtggaa
                                                                       60
gactgtaggg tatgggcgta tggttatatg aatatagaag atcacagtga gtacaaaata
                                                                     120
ggtaatagcc tggatgagtt tatggcgtgg gtgttgaagg tacaagctga tctatatttc
                                                                     180
catgatetea aatttgaegg agettttate attaaetggt tggaaegtaa tggttttaag
                                                                     240
tggtcggctg acggattgcc aaacacatat aatacgatca tatctcgcat gggacaatgg
                                                                     300
tacatgattg atatatgttt aggctacaaa gggaaacgta agatacatac agtgatatat
                                                                     360
gacagettaa agaaactace gttteetgtt aagaagatag etaaagaett taaactaact
                                                                      420
gttcttaaag gtgatattga ttaccacaaa gaaagaccag tcggctataa gataacacc
                                                                     480
gaagaatacg cctatattaa aaacgatatt cagattattg cggaagctct gttaattcag
                                                                     540
tttaagcaag gtttagaccg gatgacagca ggcagtgaca gtctaaaagg tttcaaggat
                                                                      600
attataacca ctaagaaatt caaaaaggtg tttcctacat tgagtcttgg actcgataag
                                                                      660
gaagtgagat acgcctatag aggtggtttt acatggttaa atgataggtt caaagaaaaa
                                                                     720
gaaatcggag aaggcatggt cttcgatgtt aatagtctat atcctgcaca gatgtatagt
                                                                     780
cgtctccttc catacggtga acctatagta ttcgagggta aatacgtttg ggacgaagat
                                                                     840
tacccactac acatacagca tatcagatgt gagttcgaat tgaaagaggg ctatataccc
                                                                      900
actatacaga taaaaagaag taggttttat aaaggtaatg agtacctaaa aagtagcggc
                                                                     960
ggggagatag ccgacctctg gttgtcaaat gtagacctag aattaatgaa agaacactac
                                                                     1020
gatttatata acgttgaata tatcagcggc ttaaaattta aagcaactac aggtttgttt
                                                                     1080
aaagatttta tagataaatg gacgtacatc aagacgacat cagaaggagc gatcaagcaa
                                                                     1140
ctagcaaaac tgatgttaaa cagtctatac ggtaaattcg ctagtaaccc tgatgttaca
                                                                     1200
                                                                     1260
gggaaagtcc cttatttaaa agagaatggg gcgctaggtt tcagacttgg agaagaggaa
acaaaagacc ctgtttatac acctatgggc gttttcatca ctgcatgggc tagatacacg
                                                                     1320
acaattacag cggcacaggc ttgttatgat cggataatat actgtgatac tgacagcata
                                                                     1380
                                                                     1440
catttaacgg gtacagagat acctgatgta ataaaagata tagttgaccc taagaaattg
                                                                     1500
ggatactggg cacatgacag tacattcaaa agagctaaat atctgagaca gaagacctat
atacaagaca totatatgaa agaagtagat ggtaagttag tagaaggtag tocagatgat
                                                                     1560
tacactgata taaaatttag tgttaaatgt gcgggaatga ctgacaagat taagaaagag
                                                                     1620
gttacgtttg agaatttcaa agtcggattc agtcggaaaa tgaagcctaa gcctgtgcaa
                                                                     1680
gtgccgggcg gggtggttct ggttgatgac acattcacaa tcaaataa
                                                                     1728
```

```
5 <210> 21
<211> 1728
<212> ADN
<213> Artificial
```

<400> 21

10 <220> <223> codifica la polimerasa Phi29 mutante K512A-N62D

```
atgaagcaca tgccgagaaa gatgtatagt tgtgactttg agacaactac taaagtggaa
                                                                       60
gactgtaggg tatgggcgta tggttatatg aatatagaag atcacagtga gtacaaaata
                                                                     120
ggtaatagcc tggatgagtt tatggcgtgg gtgttgaagg tacaagctga tctatatttc
                                                                     180
catgatetea aatttgaegg agettttate attaaetggt tggaaegtaa tggttttaag
                                                                     240
tggtcggctg acggattgcc aaacacatat aatacgatca tatctcgcat gggacaatgg
                                                                     300
tacatgattg atatatgttt aggctacaaa gggaaacgta agatacatac agtgatatat
                                                                     360
gacagcttaa agaaactacc gtttcctgtt aagaagatag ctaaagactt taaactaact
                                                                     420
gttcttaaag gtgatattga ttaccacaaa gaaagaccag tcggctataa gataacacc
                                                                     480
gaagaatacg cctatattaa aaacgatatt cagattattg cggaagctct gttaattcag
                                                                     540
tttaagcaag gtttagaccg gatgacagca ggcagtgaca gtctaaaagg tttcaaggat
                                                                      600
attataacca ctaagaaatt caaaaaggtg tttcctacat tgagtcttgg actcgataag
                                                                      660
                                                                     720
gaagtgagat acgcctatag aggtggtttt acatggttaa atgataggtt caaagaaaaa
gaaatcggag aaggcatggt cttcgatgtt aatagtctat atcctgcaca gatgtatagt
                                                                     780
cgtctccttc catacggtga acctatagta ttcgagggta aatacgtttg ggacgaagat
                                                                     840
tacccactac acatacagca tatcagatgt gagttcgaat tgaaagaggg ctatataccc
                                                                     900
actatacaga taaaaagaag taggttttat aaaggtaatg agtacctaaa aagtagcggc
                                                                     960
ggggagatag ccgacctctg gttgtcaaat gtagacctag aattaatgaa agaacactac
                                                                     1020
qatttatata acqttqaata tatcaqcqqc ttaaaattta aaqcaactac aqqtttqttt
                                                                     1080
aaagatttta tagataaatg gacgtacatc aagacgacat cagaaggagc gatcaagcaa
                                                                     1140
ctagcaaaac tgatgttaaa cagtctatac ggtaaattcg ctagtaaccc tgatgttaca
                                                                     1200
                                                                     1260
gggaaagtcc cttatttaaa agagaatggg gcgctaggtt tcagacttgg agaagaggaa
acaaaagacc ctgtttatac acctatgggc gttttcatca ctgcatgggc tagatacacg
                                                                     1320
                                                                     1380
acaattacag cggcacaggc ttgttatgat cggataatat actgtgatac tgacagcata
catttaacgg gtacagagat acctgatgta ataaaagata tagttgaccc taagaaattg
                                                                     1440
ggatactggg cacatgaaag tacattcaaa agagctaaat atctgagaca gaagacctat
                                                                     1500
atacaagaca totatatgaa agaagtagat ggtgcottag tagaaggtag tocagatgat
                                                                     1560
                                                                     1620
tacactgata taaaatttag tgttaaatgt gcgggaatga ctgacaagat taagaaagag
gttacgtttg agaatttcaa agtcggattc agtcggaaaa tgaagcctaa gcctgtgcaa
                                                                     1680
gtgccgggcg gggtggttct ggttgatgac acattcacaa tcaaataa
                                                                     1728
```

```
5 <210> 22
<211> 1677
<212> ADN
<213> Artificial
```

10 <220>

<223> codifica la polimerasa Phi29 mutante N62D con eliminación de los restos 505-525

<400> 22

```
atgaagcaca tgccgagaaa gatgtatagt tgtgactttg agacaactac taaagtggaa
                                                                       60
gactgtaggg tatgggcgta tggttatatg aatatagaag atcacagtga gtacaaaata
                                                                      120
ggtaatagcc tggatgagtt tatggcgtgg gtgttgaagg tacaagctga tctatatttc
                                                                      180
catgatetea aatttgaegg agettttate attaactggt tggaacgtaa tggttttaag
                                                                      240
tggtcggctg acggattgcc aaacacatat aatacgatca tatctcgcat gggacaatgg
                                                                      300
tacatgattg atatatgttt aggctacaaa gggaaacgta agatacatac agtgatatat
                                                                      360
                                                                      420
gacagettaa agaaactace gttteetgtt aagaagatag etaaagaett taaactaact
gttcttaaag gtgatattga ttaccacaaa gaaagaccag tcggctataa gataacaccc
                                                                      480
gaagaatacg cctatattaa aaacgatatt cagattattg cggaagctct gttaattcag
                                                                      540
tttaagcaag gtttagaccg gatgacagca ggcagtgaca gtctaaaagg tttcaaggat
                                                                      600
attataacca ctaagaaatt caaaaaggtg tttcctacat tgagtcttgg actcgataag
                                                                      660
gaagtgagat acgcctatag aggtggtttt acatggttaa atgataggtt caaagaaaaa
                                                                      720
gaaatcggag aaggcatggt cttcgatgtt aatagtctat atcctgcaca gatgtatagt
                                                                      780
                                                                      840
cgtctccttc catacggtga acctatagta ttcgagggta aatacgtttg ggacgaagat
tacccactac acatacagca tatcagatgt gagttcgaat tgaaagaggg ctatataccc
                                                                      900
                                                                      960
actatacaga taaaaagaag taggttttat aaaggtaatg agtacctaaa aagtagcggc
ggggagatag ccgacctctg gttgtcaaat gtagacctag aattaatgaa agaacactac
                                                                     1020
gatttatata acgttgaata tatcagcggc ttaaaattta aagcaactac aggtttgttt
                                                                     1080
aaagatttta tagataaatg gacgtacatc aagacgacat cagaaggagc gatcaagcaa
                                                                     1140
ctagcaaaac tgatgttaaa cagtctatac ggtaaattcg ctagtaaccc tgatgttaca
                                                                     1200
                                                                     1260
gggaaagtcc cttatttaaa agagaatggg gcgctaggtt tcagacttgg agaagaggaa
acaaaagacc ctgtttatac acctatgggc gttttcatca ctgcatgggc tagatacacg
                                                                     1320
acaattacag cggcacaggc ttgttatgat cggataatat actgtgatac tgacagcata
                                                                     1380
catttaacgg gtacagagat acctgatgta ataaaagata tagttgaccc taagaaattg
                                                                    1440
ggatactggg cacatgaaag tacattcaaa agagctaaat atctgagaca gaagacctat
                                                                     1500
atacaagaca tcaaggatgg agagtttagt gttaaatgtg cgggaatgac tgacaagatt
                                                                     1560
aagaaagagg ttacgtttga gaatttcaaa gtcggattca gtcggaaaat gaagcctaag
                                                                     1620
                                                                     1677
cctgtgcaag tgccgggcgg ggtggttctg gttgatgaca cattcacaat caaataa
```

- 5 <210> 23 <211> 1671 <212> ADN <213> Artificial
- <220><223> codifica la polimerasa Phi29 mutante N62D con eliminación de los restos 505-525<400> 23

```
atgaagcaca tgccgagaaa gatgtatagt tgtgactttg agacaactac taaagtggaa
                                                                       60
gactgtaggg tatgggcgta tggttatatg aatatagaag atcacagtga gtacaaaata
                                                                     120
ggtaatagcc tggatgagtt tatggcgtgg gtgttgaagg tacaagctga tctatatttc
                                                                     180
catgatetea aatttgaegg agettttate attaactggt tggaacgtaa tggttttaag
                                                                     240
tggtcggctg acggattgcc aaacacatat aatacgatca tatctcgcat gggacaatgg
                                                                     300
tacatgattg atatatgttt aggctacaaa gggaaacgta agatacatac agtgatatat
                                                                     360
gacagcttaa agaaactacc gtttcctgtt aagaagatag ctaaagactt taaactaact
                                                                     420
gttcttaaag gtgatattga ttaccacaaa gaaagaccag tcggctataa gataacacc
                                                                     480
gaagaatacg cctatattaa aaacgatatt cagattattg cggaagctct gttaattcag
                                                                     540
tttaagcaag gtttagaccg gatgacagca ggcagtgaca gtctaaaagg tttcaaggat
                                                                      600
attataacca ctaagaaatt caaaaaggtg tttcctacat tgagtcttgg actcgataag
                                                                      660
                                                                     720
gaagtgagat acgcctatag aggtggtttt acatggttaa atgataggtt caaagaaaaa
                                                                     780
gaaatcggag aaggcatggt cttcgatgtt aatagtctat atcctgcaca gatgtatagt
cgtctccttc catacggtga acctatagta ttcgagggta aatacgtttg ggacgaagat
                                                                     840
tacccactac acatacagca tatcagatgt gagttcgaat tgaaagaggg ctatataccc
                                                                      900
actatacaga taaaaagaag taggttttat aaaggtaatg agtacctaaa aagtagcggc
                                                                     960
ggggagatag ccgacctctg gttgtcaaat gtagacctag aattaatgaa agaacactac
                                                                     1020
                                                                     1080
gatttatata acgttgaata tatcagcggc ttaaaattta aagcaactac aggtttgttt
aaagatttta tagataaatg gacgtacatc aagacgacat cagaaggagc gatcaagcaa
                                                                     1140
ctagcaaaac tgatgttaaa cagtctatac ggtaaattcg ctagtaaccc tgatgttaca
                                                                     1200
gggaaagtcc cttatttaaa agagaatggg gcgctaggtt tcagacttgg agaagaggaa
                                                                     1260
                                                                     1320
acaaaagacc ctgtttatac acctatgggc gttttcatca ctgcatgggc tagatacacg
acaattacag cggcacaggc ttgttatgat cggataatat actgtgatac tgacagcata
                                                                     1380
catttaacgg gtacagagat acctgatgta ataaaagata tagttgaccc taagaaattg
                                                                     1440
ggatactggg cacatgaaag tacattcaaa agagctaaat atctgagaca gaagacctat
                                                                     1500
                                                                     1560
atacaagaca tcgacggctt tagtgttaaa tgtgcgggaa tgactgacaa gattaagaaa
gaggttacgt ttgagaattt caaagtcgga ttcagtcgga aaatgaagcc taagcctgtg
                                                                     1620
caagtgccgg gcggggtggt tctggttgat gacacattca caatcaaata a
                                                                     1671
```

```
5 <210> 24
<211> 575
<212> PRT
<213> Artificial
```

10 <220>

<223> polimerasa Phi29 mutante K135A-N62D

<400> 24

Met Lys His Met Pro Arg Lys Met Tyr Ser Cys Asp Phe Glu Thr Thr 1  $\phantom{\bigg|}5\phantom{\bigg|}$ 

Thr Lys Val Glu Asp Cys Arg Val Trp Ala Tyr Gly Tyr Met Asn Ile 20  $\phantom{\bigg|}25\phantom{\bigg|}$ 

Glu Asp His Ser Glu Tyr Lys Ile Gly Asn Ser Leu Asp Glu Phe Met 35 40 45

Ala Trp Val Leu Lys Val Gln Ala Asp Leu Tyr Phe His Asp Leu Lys

	50					55					60				
Phe 65	Asp	Gly	Ala	Phe	Ile 70	Ile	Asn	Trp	Leu	Glu 75	Arg	Asn	Gly	Phe	Lys 80
Trp	Ser	Ala	Asp	Gly 85	Leu	Pro	Asn	Thr	Tyr 90	Asn	Thr	Ile	Ile	Ser 95	Arg
Met	Gly	Gln	Trp 100	Tyr	Met	Ile	Asp	Ile 105	Cys	Leu	Gly	Tyr	Lys 110	Gly	Lys
Arg	Lys	Ile 115	His	Thr	Val	Ile	Tyr 120	Asp	Ser	Leu	Lys	Lys 125	Leu	Pro	Phe
Pro	Val 130	Lys	Lys	Ile	Ala	Ala 135	Asp	Phe	Lys	Leu	Thr 140	Val	Leu	Lys	Gly
Asp 145	Ile	Asp	Tyr	His	Lys 150	Glu	Arg	Pro	Val	Gly 155	Tyr	Lys	Ile	Thr	Pro 160
Glu	Glu	Tyr	Ala	Tyr 165	Ile	Lys	Asn	Asp	Ile 170	Gln	Ile	Ile	Ala	Glu 175	Ala
Leu	Leu	Ile	Gln 180	Phe	Lys	Gln	Gly	Leu 185	Asp	Arg	Met	Thr	Ala 190	Gly	Ser
Asp	Ser	Leu 195	Lys	Gly	Phe	Lys	Asp 200	Ile	Ile	Thr	Thr	Lys 205	Lys	Phe	Lys
Lys	Val 210	Phe	Pro	Thr	Leu	Ser 215	Leu	Gly	Leu	Asp	Lys 220	Glu	Val	Arg	Tyr
Ala 225	Tyr	Arg	Gly	Gly	Phe 230	Thr	Trp	Leu	Asn	Asp 235	Arg	Phe	Lys	Glu	Lys 240
Glu	Ile	Gly	Glu	Gly 245	Met	Val	Phe		Val 250		Ser	Leu	Tyr	Pro 255	
Gln	Met	Tyr	Ser 260	Arg	Leu	Leu	Pro	Tyr 265	Gly	Glu	Pro	Ile	Val 270	Phe	Glu
Gly	Lys	Tyr 275	Val	Trp	Asp	Glu	Asp 280	Tyr	Pro	Leu	His	Ile 285	Gln	His	Ile
Arg	Cys 290	Glu	Phe	Glu	Leu	Lys 295	Glu	Gly	Tyr	Ile	Pro 300	Thr	Ile	Gln	Ile

Lys 305	Arg	Ser	Arg	Phe	Tyr 310	Lys	Gly	Asn	Glu	Tyr 315	Leu	Lys	Ser	Ser	Gly 320
Gly	Glu	Ile	Ala	Asp 325	Leu	Trp	Leu	Ser	Asn 330	Val	Asp	Leu	Glu	Leu 335	Met
Lys	Glu	His	Tyr 340	Asp	Leu	Tyr	Asn	Val 345	Glu	Tyr	Ile	Ser	Gly 350	Leu	Lys
Phe	Lys	<b>Ala</b> 355	Thr	Thr	Gly	Leu	Phe 360	Lys	Asp	Phe	Ile	Asp 365	Lys	Trp	Thr
Tyr	Ile 370	Lys	Thr	Thr	Ser	Glu 375	Gly	Ala	Ile	Lys	Gln 380	Leu	Ala	Lys	Leu
<b>Met</b> 385	Leu	Asn	Ser	Leu	<b>Tyr</b> 390	Gly	Lys	Phe	Ala	Ser 395	Asn	Pro	Asp	Val	Thr 400
Gly	Lys	Val	Pro	Tyr 405	Leu	Lys	Glu	Asn	Gly 410	Ala	Leu	Gly	Phe	Arg 415	Leu
Gly	Glu	Glu	Glu 420	Thr	Lys	Asp	Pro	Val 425	Tyr	Thr	Pro	Met	Gly 430	Val	Phe
Ile	Thr	Ala 435	Trp	Ala	Arg	Tyr	Thr 440	Thr	Ile	Thr	Ala	Ala 445	Gln	Ala	Суз
Tyr	Asp 450	Arg	Ile	Ile	Tyr	Cys 455	Asp	Thr	Asp	Ser	Ile 460	His	Leu	Thr	Gly
Thr 465	Glu	Ile	Pro	Asp	Val 470	Ile	Lys	Asp	Ile	Val 475	Asp	Pro	Lys	Lys	Leu 480
Gly	Tyr	Trp	Ala	His 485	Glu	Ser	Thr	Phe	Lys 490	Arg	Ala	Lys	Tyr	Leu 495	Arg
Gln	Lys	Thr	Tyr 500	Ile	Gln	Asp	Ile	Tyr 505	Met	Lys	Glu	Val	Asp 510	Gly	Lys
Leu	Val	Glu 515	Gly	Ser	Pro	Asp	Asp 520	Tyr	Thr	Asp	Ile	Lys 525	Phe	Ser	Val
Lys	<b>Cys</b> 530	Ala	Gly	Met	Thr	<b>As</b> p 535	Lys	Ile	Lys	Lys	Glu 540	Val	Thr	Phe	Glu
Asn 545	Phe	Lys	Val	Gly	Phe 550	Ser	Arg	Lys	Met	Lys 555	Pro	Lys	Pro	Val	Gln 560
Va.	l Pr	o Gl	y Gl	y Va 56	_	ıl Le	eu Va	al A	-	sp T 70	hr P	he T	hr I		ys 575

<sup>5 &</sup>lt;210> 25 <211> 575 <212> PRT <213> Artificial

<sup>10 &</sup>lt;220>

<sup>&</sup>lt;223> polimerasa Phi29 mutante E375H-N62D

<4	$\boldsymbol{\cap}$	◠	_ ^	

Met 1	Lys	His	Met	Pro 5	Arg	Lys	Met	Tyr	Ser 10	Cys	Asp	Phe	Glu	Thr 15	Thr
Thr	Lys	Val	Glu 20	Asp	Cys	Arg	Val	Trp 25	Ala	Tyr	Gly	Tyr	Met 30	Asn	Ile
Glu	Asp	His 35	Ser	Glu	Tyr	Lys	Ile 40	Gly	Asn	Ser	Leu	Asp 45	Glu	Phe	Met
Ala	Trp 50	Val	Leu	Lys	Val	Gln 55	Ala	Asp	Leu	Tyr	Phe 60	His	Asp	Leu	Lys
Phe 65	Asp	Gly	Ala	Phe	Ile 70	Ile	Asn	Trp	Leu	Glu 75	Arg	Asn	Gly	Phe	Lys 80
Trp	Ser	Ala	Asp	Gly 85	Leu	Pro	Asn	Thr	Tyr 90	Asn	Thr	Ile	Ile	Ser 95	Arg
Met	Gly	Gln	Trp 100	Tyr	Met	Ile	Asp	Ile 105	Cys	Leu	Gly	Tyr	Lys 110	Gly	Lys
Arg	Lys	Ile 115	His	Thr	Val	Ile	Tyr 120	Asp	Ser	Leu	Lys	Lys 125	Leu	Pro	Phe
Pro	Val 130	Lys	Lys	Ile	Ala	Lys 135	Asp	Phe	Lys	Leu	Thr 140	Val	Leu	Lys	Gly
Asp 145	Ile	Asp	Tyr	His	Lys 150	Glu	Arg	Pro	Val	Gly 155	Tyr	Lys	Ile	Thr	Pro 160
Glu	Glu	Tyr	Ala	Tyr 165	Ile	Lys	Asn	Asp	Ile 170	Gln	Ile	Ile	Ala	Glu 175	Ala

Leu Leu Ile Gln Phe Lys Gln Gly Leu Asp Arg Met Thr Ala Gly Ser 180  $\,$  180  $\,$  185  $\,$  190  $\,$  190  $\,$ 

Asp	Ser	Leu 195	Lys	Gly	Phe	Lys	<b>Asp</b> 200	Ile	Ile	Thr	Thr	Lys 205	Lys	Phe	Lys
Lys	Val 210	Phe	Pro	Thr	Leu	Ser 215	Leu	Gly	Leu	Asp	Lys 220	Glu	Val	Arg	Tyr
Ala 225	Tyr	Arg	Gly	Gly	Phe 230	Thr	Trp	Leu	Asn	Asp 235	Arg	Phe	Lys	Glu	Lys 240
Glu	Ile	Gly	Glu	Gly 245	Met	Val	Phe	Asp	Val 250	Asn	Ser	Leu	Tyr	Pro 255	Ala
Gln	Met	Tyr	Ser 260	Arg	Leu	Leu	Pro	Tyr 265	Gly	Glu	Pro	Ile	Val 270	Phe	Glu
Gly	Lys	<b>Tyr</b> 275	Val	Trp	Asp	Glu	Asp 280	Tyr	Pro	Leu	His	Ile 285	Gln	His	Ile
Arg	Cys 290	Glu	Phe	Glu	Leu	<b>Lys</b> 295	Glu	Gly	Tyr	Ile	Pro 300	Thr	Ile	Gln	Ile
Lys 305	Arg	Ser	Arg	Phe	<b>Tyr</b> 310	Lys	Gly	Asn	Glu	<b>Tyr</b> 315	Leu	Lys	Ser	Ser	Gly 320
Gly	Glu	Ile	Ala	Asp 325	Leu	Trp	Leu	Ser	Asn 330	Val	Asp	Leu	Glu	Leu 335	Met
Lys	Glu	His	Tyr 340	Asp	Leu	Tyr	Asn	Val 345	Glu	Tyr	Ile	Ser	Gly 350	Leu	Lys
Phe	Lys	Ala 355	Thr	Thr	Gly	Leu	Phe 360	Lys	Asp	Phe	Ile	<b>Asp</b> 365	Lys	Trp	Thr
Tyr	Ile 370	Lys	Thr	Thr	Ser	His 375	Gly	Ala	Ile	Lys	Gln 380	Leu	Ala	Lys	Leu
Met 385	Leu	Asn	Ser	Leu	Tyr 390	Gly	Lys	Phe	Ala	Ser 395	Asn	Pro	Asp	Val	Thr 400
Gly	Lys	Val	Pro	Tyr 405	Leu	Lys	Glu	Asn	Gly 410	Ala	Leu	Gly	Phe	Arg 415	Leu
Gly	Glu	Glu	Glu 420	Thr	Lys	Asp	Pro	Val 425	Tyr	Thr	Pro	Met	Gly 430	Val	Phe
Ile	Thr	Ala 435	Trp	Ala	Arg	Tyr	Thr 440	Thr	Ile	Thr	Ala	Ala 445	Gln	Ala	Cys

	Tyr	<b>Asp</b> 450	Arg	Ile	Ile	Tyr	Cys 455	Asp	Thr	Asp	Ser	Ile 460	His	Leu	Thr	Gly
	Thr 465	Glu	Ile	Pro	Asp	Val 470	Ile	Lys	Asp	Ile	Val 475	Asp	Pro	Lys	Lys	Leu 480
	Gly	Tyr	Trp	Ala	His 485	Glu	Ser	Thr	Phe	Lys 490	Arg	Ala	Lys	Tyr	Leu 495	Arg
	Gln	Lys	Thr	<b>Tyr</b> 500	Ile	Gln	Asp	Ile	<b>Tyr</b> 505	Met	Lys	Glu	Val	<b>Asp</b> 510	Gly	Lys
	Leu	Val	Glu 515	Gly	Ser	Pro	Asp	Asp 520	Tyr	Thr	Asp	Ile	Lys 525	Phe	Ser	Val
	Lys	C <b>ys</b> 530	Ala	Gly	Met	Thr	<b>Asp</b> 535	Lys	Ile	Lys	Lys	Glu 540	Val	Thr	Phe	Glu
	Asn 545	Phe	Lys	Val	Gly	Phe 550	Ser	Arg	Lys	Met	Lys 555	Pro	Lys	Pro	Val	Gln 560
	Val	Pro	Gly	Gly	Val 565	Val	Leu	Val	Asp	<b>Asp</b> 570	Thr	Phe	Thr	Ile	Lys 575	
<210> 26 <211> 575 <212> PRT <213> Artificial																
<220> <223> polimera	asa P	hi29 ı	nutar	nte E3	375S-	N62E	)									
<400> 26																
	Met 1	Lys	His	Met	Pro 5	Arg	Lys	Met	Tyr	Ser 10	Cys	Asp	Phe	Glu	Thr 15	Thr
	Thr	Lys	Val	Glu 20	Asp	Cys	Arg		Trp 25	Ala	Tyr	Gly	Tyr	Met 30	Asn	Ile
	Glu	Asp	His 35	Ser	Glu	Tyr	Lys	Ile 40	Gly	Asn	Ser	Leu	Asp 45	Glu	Phe	Met
	Ala	Trp 50	Val	Leu	Lys	Val	Gln 55	Ala	Asp	Leu	Tyr	Phe 60	His	Asp	Leu	Lys
	Phe 65	Asp	Gly	Ala	Phe	Ile 70	Ile	Asn	Trp	Leu	Glu 75	Arg	Asn	Gly	Phe	Lys 80

5

10

Trp	Ser	Ala	Asp	Gly 85	Leu	Pro	Asn	Thr	Tyr 90	Asn	Thr	Ile	Ile	Ser 95	Arg
Met	Gly	Gln	Trp 100	Tyr	Met	Ile	Asp	Ile 105	Cys	Leu	Gly	Tyr	Lys 110	Gly	Lys
Arg	Lys	Ile 115	His	Thr	Val	Ile	Tyr 120	Asp	Ser	Leu	Lys	Lys 125	Leu	Pro	Phe
Pro	Val 130	Lys	Lys	Ile	Ala	Lys 135	Asp	Phe	Lys	Leu	Thr 140	Val	Leu	Lys	Gly
Asp 145	Ile	Asp	Tyr	His	Lys 150	Glu	Arg	Pro	Val	Gly 155	Tyr	Lys	Ile	Thr	Pro 160
Glu	Glu	Tyr	Ala	Tyr 165	Ile	Lys	Asn	Asp	Ile 170	Gln	Ile	Ile	Ala	Glu 175	Ala
Leu	Leu	Ile	Gln 180	Phe	Lys	Gln	Gly	Leu 185	Asp	Arg	Met	Thr	Ala 190	Gly	Ser
Asp	Ser	Leu 195	Lys	Gly	Phe	Lys	Asp 200	Ile	Ile	Thr	Thr	Lys 205	Lys	Phe	Lys
Lys	Val 210	Phe	Pro	Thr	Leu	Ser 215	Leu	Gly	Leu	Asp	Lys 220	Glu	Val	Arg	Tyr
Ala 225	Tyr	Arg	Gly	Gly	Phe 230	Thr	Trp	Leu	Asn	Asp 235	Arg	Phe	Lys	Glu	Lys 240
Glu	Ile	Gly	Glu	Gly 245	Met	Val	Phe	Asp	Val 250	Asn	Ser	Leu	Tyr	Pro 255	Ala
Gln	Met	Tyr	Ser 260	Arg	Leu	Leu	Pro	Tyr 265	Gly	Glu	Pro	Ile	Val 270	Phe	Glu
Gly	Lys	Tyr 275	Val	Trp	Asp	Glu	Asp 280	Tyr	Pro	Leu	His	Ile 285	Gln	His	Ile
Arg	Cys 290	Glu	Phe	Glu	Leu	Lys 295	Glu	Gly	Tyr	Ile	Pro 300	Thr	Ile	Gln	Ile
<b>Lys</b> 305	Arg	Ser	Arg	Phe	<b>Tyr</b> 310	Lys	Gly	Asn	Glu	<b>Tyr</b> 315	Leu	Lys	Ser	Ser	Gly 320
Gly	Glu	Ile	Ala	Asp 325	Leu	Trp	Leu	Ser	Asn 330	Val	Asp	Leu	Glu	Leu 335	Met

	Lys	Glu	His	Tyr 340	Asp	Leu	Tyr	Asn	Val 345	Glu	Tyr	Ile	Ser	Gly 350	Leu	Lys
	Phe	Lys	<b>Ala</b> 355	Thr	Thr	Gly	Leu	Phe 360	Lys	Asp	Phe	Ile	<b>Asp</b> 365	Lys	Trp	Thr
	Tyr	Ile 370	Lys	Thr	Thr	Ser	Ser 375	Gly	Ala	Ile	Lys	Gln 380	Leu	Ala	Lys	Leu
	Met 385	Leu	Asn	Ser	Leu	<b>Tyr</b> 390	Gly	Lys	Phe	Ala	Ser 395	Asn	Pro	Asp	Val	Thr 400
	Gly	Lys	Val	Pro	Tyr 405	Leu	Lys	Glu	Asn	Gly 410	Ala	Leu	Gly	Phe	Arg 415	Leu
	Gly	Glu	Glu	Glu 420	Thr	Lys	Asp	Pro	Val 425	Tyr	Thr	Pro	Met	Gly 430	Val	Phe
	Ile	Thr	Ala 435	Trp	Ala	Arg	Tyr	Thr 440	Thr	Ile	Thr	Ala	Ala 445	Gln	Ala	Cys
	Tyr	Asp 450	Arg	Ile	Ile	Tyr	Cys 455	Asp	Thr	Asp	Ser	Ile 460	His	Leu	Thr	Gly
	Thr 465	Glu	Ile	Pro	Asp	Val 470	Ile	Lys	Asp	Ile	Val 475	Asp	Pro	Lys	Lys	Leu 480
	Gly	Tyr	Trp	Ala	His 485	Glu	Ser	Thr	Phe	Lys 490	Arg	Ala	Lys	Tyr	Leu 495	Arg
	Gln	Lys	Thr	<b>Tyr</b> 500	Ile	Gln	Asp	Ile	<b>Tyr</b> 505	Met	Lys	Glu	Val	Asp 510	Gly	Lys
	Leu	Val	Glu 515	Gly	Ser	Pro	Asp	<b>Asp</b> 520	Tyr	Thr	Asp	Ile	Lys 525	Phe	Ser	Val
	Lys	<b>Cys</b> 530	Ala	Gly	Met	Thr	<b>Asp</b> 535	Lys	Ile	Lys	Lys	Glu 540	Val	Thr	Phe	Glu
	Asn 545	Phe	Lys	Val	Gly	Phe 550	Ser	Arg	Lys	Met	<b>Lys</b> 555	Pro	Lys	Pro	Val	Gln 560
	Val	Pro	Gly	Gly	Val 565	Val	Leu	Val	Asp	<b>Asp</b> 570	Thr	Phe	Thr	Ile	<b>Lys</b> 575	
<210> 27 <211> 575 <212> PRT <213> Artificial																
<220> <223> polimera	asa P	hi29 ı	mutar	nte E3	375K-	N62E	)									

<400> 27

5

10

- Met Lys His Met Pro Arg Lys Met Tyr Ser Cys Asp Phe Glu Thr Thr 1 5 10 15
- Thr Lys Val Glu Asp Cys Arg Val Trp Ala Tyr Gly Tyr Met Asn Ile 20 25 30
- Glu Asp His Ser Glu Tyr Lys Ile Gly Asn Ser Leu Asp Glu Phe Met 35 40 45
- Ala Trp Val Leu Lys Val Gln Ala Asp Leu Tyr Phe His Asp Leu Lys 50 55 60
- Phe Asp Gly Ala Phe Ile Ile Asn Trp Leu Glu Arg Asn Gly Phe Lys 65 70 75 80
- Trp Ser Ala Asp Gly Leu Pro Asn Thr Tyr Asn Thr Ile Ile Ser Arg 85 90 95
- Met Gly Gln Trp Tyr Met Ile Asp Ile Cys Leu Gly Tyr Lys Gly Lys 100 105 110
- Arg Lys Ile His Thr Val Ile Tyr Asp Ser Leu Lys Lys Leu Pro Phe 115 120 125
- Pro Val Lys Lys Ile Ala Lys Asp Phe Lys Leu Thr Val Leu Lys Gly 130 135
- Asp Ile Asp Tyr His Lys Glu Arg Pro Val Gly Tyr Lys Ile Thr Pro 145 150 155
- Glu Glu Tyr Ala Tyr Ile Lys Asn Asp Ile Gln Ile Ile Ala Glu Ala 165 170 175
- Leu Leu Ile Gln Phe Lys Gln Gly Leu Asp Arg Met Thr Ala Gly Ser 180 185 190
- Asp Ser Leu Lys Gly Phe Lys Asp Ile Ile Thr Thr Lys Lys Phe Lys 195 200 205
- Lys Val Phe Pro Thr Leu Ser Leu Gly Leu Asp Lys Glu Val Arg Tyr 210 215 220

Ala 225	Tyr	Arg	Gly	Gly	Phe 230	Thr	Trp	Leu	Asn	Asp 235	Arg	Phe	Lys	Glu	Lys 240
Glu	Ile	Gly	Glu	Gly 245	Met	Val	Phe	Asp	Val 250	Asn	Ser	Leu	Tyr	Pro 255	Ala
Gln	Met	Tyr	Ser 260	Arg	Leu	Leu	Pro	Tyr 265	Gly	Glu	Pro	Ile	Val 270	Phe	Glu
Gly	Lys	Туг 275	Val	Trp	Asp	Glu	Asp 280	Tyr	Pro	Leu	His	11e 285	Gln	His	Ile
Arg	Cys 290	Glu	Phe	Glu	Leu	Lys 295	Glu	Gly	Tyr	Ile	Pro 300	Thr	Ile	Gln	Ile
<b>Lys</b> 305	Arg	Ser	Arg	Phe	<b>Tyr</b> 310	Lys	Gly	Asn	Glu	<b>Tyr</b> 315	Leu	Lys	Ser	Ser	Gly 320
Gly	Glu	Ile	Ala	Asp 325	Leu	Trp	Leu	Ser	Asn 330	Val	Asp	Leu	Glu	Leu 335	Met
Lys	Glu	His	Tyr 340	Asp	Leu	Tyr	Asn	Val 345	Glu	Tyr	Ile	Ser	Gly 350	Leu	Lys
Phe	Lys	<b>Ala</b> 355	Thr	Thr	Gly	Leu	Phe 360	Lys	Asp	Phe	Ile	<b>Asp</b> 365	Lys	Trp	Thr
Tyr	Ile 370	Lys	Thr	Thr	Ser	<b>Lys</b> 375	Gly	Ala	Ile	Lys	Gln 380	Leu	Ala	Lys	Leu
Met 385	Leu	Asn	Ser	Leu	Tyr 390	Gly	Lys	Phe	Ala	Ser 395	Asn	Pro	Asp	Val	Thr 400
Gly	Lys	Val	Pro	Tyr 405	Leu	Lys	Glu	Asn	Gly 410	Ala	Leu	Gly	Phe	Arg 415	Leu
Gly	Glu	Glu	Glu 420	Thr	Lys	Asp	Pro	Val 425	Tyr	Thr	Pro	Met	Gly 430	Val	Phe
Ile	Thr	Ala 435	Trp	Ala	Arg	Tyr	Thr 440	Thr	Ile	Thr	Ala	Ala 445	Gln	Ala	Сув
Tyr	<b>Asp</b> 450	Arg	Ile	Ile	Tyr	Cys 455	Asp	Thr	Asp	Ser	Ile 460	His	Leu	Thr	Gly
Thr 465	Glu	Ile	Pro	Asp	Val 470	Ile	Lys	Asp	Ile	Val 475	Asp	Pro	Lys	Lys	Leu 480

	Gly	Tyr	Trp	Ala	His 485	Glu	Ser	Thr	Phe	Lys 490	Arg	Ala	Lys	Tyr	Leu 495	Arg
	Gln	Lys	Thr	<b>Tyr</b> 500	Ile	Gln	Asp	Ile	<b>Tyr</b> 505	Met	Lys	Glu	Val	Asp 510	Gly	Lys
	Leu	Val	Glu 515	Gly	Ser	Pro	Asp	Asp 520	Tyr	Thr	Asp	Ile	Lys 525	Phe	Ser	Val
	Lys	<b>Cys</b> 530	Ala	Gly	Met	Thr	Asp 535	Lys	Ile	Lys	Lys	Glu 540	Val	Thr	Phe	Glu
	Asn 545	Phe	Lys	Val	Gly	Phe 550	Ser	Arg	Lys	Met	Lys 555	Pro	Lys	Pro	Val	Gln 560
	Val	Pro	Gly	Gly	Val 565	Val	Leu	Val	Asp	<b>Asp</b> 570	Thr	Phe	Thr	Ile	Lys 575	
<210> 28 <211> 575 <212> PRT <213> Artificial																
<220> <223> polimera	asa P	hi29 ı	mutar	nte E3	375R-	-N62[	)									
<400> 28																
	Met 1	Lys	His	Met	Pro 5	Arg	Lys	Met	Tyr	Ser 10	Cys	Asp	Phe	Glu	Thr 15	Thr
	Thr	Lys	Val	Glu 20	Asp	Суѕ	Arg	Val	Trp 25	Ala	Tyr	Gly	Tyr	Met 30	Asn	Ile
	Glu	Asp	His 35	Ser	Glu	Tyr	Lys	Ile 40	Gly	Asn	Ser	Leu	Asp 45	Glu	Phe	Met
	Ala	Trp 50	Val	Leu	Lys	Val	Gln 55	Ala	Asp	Leu	Tyr	Phe 60	His	Asp	Leu	Lys
	Phe 65	Asp	Gly	Ala	Phe	Ile 70	Ile	Asn	Trp	Leu	Glu 75	Arg	Asn	Gly	Phe	Lys 80
	Trp	Ser	Ala	Asp	Gly 85	Leu	Pro	Asn	Thr	Tyr 90	Asn	Thr	Ile	Ile	Ser 95	Arg
	Met	Gly	Gln	Trp	Tyr	Met	Ile	Asp	Ile 105	Суз	Leu	Gly	Tyr	Lys 110	Gly	Lys

5

10

Arg Lys Ile His Thr Val Ile Tyr Asp Ser Leu Lys Lys Leu Pro Phe Pro Val Lys Lys Ile Ala Lys Asp Phe Lys Leu Thr Val Leu Lys Gly Asp Ile Asp Tyr His Lys Glu Arg Pro Val Gly Tyr Lys Ile Thr Pro Glu Glu Tyr Ala Tyr Ile Lys Asn Asp Ile Gln Ile Ile Ala Glu Ala Leu Leu Ile Gln Phe Lys Gln Gly Leu Asp Arg Met Thr Ala Gly Ser Asp Ser Leu Lys Gly Phe Lys Asp Ile Ile Thr Thr Lys Lys Phe Lys 200 Lys Val Phe Pro Thr Leu Ser Leu Gly Leu Asp Lys Glu Val Arg Tyr Ala Tyr Arg Gly Gly Phe Thr Trp Leu Asn Asp Arg Phe Lys Glu Lys Glu Ile Gly Glu Gly Met Val Phe Asp Val Asn Ser Leu Tyr Pro Ala Gln Met Tyr Ser Arg Leu Leu Pro Tyr Gly Glu Pro Ile Val Phe Glu Gly Lys Tyr Val Trp Asp Glu Asp Tyr Pro Leu His Ile Gln His Ile Arg Cys Glu Phe Glu Leu Lys Glu Gly Tyr Ile Pro Thr Ile Gln Ile Lys Arg Ser Arg Phe Tyr Lys Gly Asn Glu Tyr Leu Lys Ser Ser Gly Gly Glu Ile Ala Asp Leu Trp Leu Ser Asn Val Asp Leu Glu Leu Met Lys Glu His Tyr Asp Leu Tyr Asn Val Glu Tyr Ile Ser Gly Leu Lys Phe Lys Ala Thr Thr Gly Leu Phe Lys Asp Phe Ile Asp Lys Trp Thr 360

	Tyr	Ile 370	Lys	Thr	Thr	Ser	<b>Arg</b> 375	Gly	Ala	Ile	Lys	Gln 380	Leu	Ala	Lys	Leu
	Met 385	Leu	Asn	Ser	Leu	Tyr 390	Gly	Lys	Phe	Ala	Ser 395	Asn	Pro	Asp	Val	Thr 400
	Gly	Lys	Val	Pro	Tyr 405	Leu	Lys	Glu	Asn	Gly 410	Ala	Leu	Gly	Phe	Arg 415	Leu
	Gly	Glu	Glu	Glu 420	Thr	Lys	Asp	Pro	Val 425	Tyr	Thr	Pro	Met	Gly 430	Val	Phe
	Ile	Thr	Ala 435	Trp	Ala	Arg	Tyr	Thr 440	Thr	Ile	Thr	Ala	Ala 445	Gln	Ala	Cys
	Tyr	Asp 450	Arg	Ile	Ile	Tyr	Cys 455	Asp	Thr	Asp	Ser	Ile 460	His	Leu	Thr	Gly
	Thr 465	Glu	Ile	Pro	Asp	Val 470	Ile	Lys	Asp	Ile	Val 475	Asp	Pro	Lys	Lys	Leu 480
	Gly	Tyr	Trp	Ala	His 485	Glu	Ser	Thr	Phe	Lys 490	Arg	Ala	Lys	Tyr	Leu 495	Arg
	Gln	Lys	Thr	<b>Tyr</b> 500	Ile	Gln	Asp	Ile	<b>Tyr</b> 505	Met	Lys	Glu	Val	Asp 510	Gly	Lys
	Leu	Val	Glu 515	Gly	Ser	Pro	Asp	<b>Asp</b> 520	Tyr	Thr	Asp	Ile	<b>Lys</b> 525	Phe	Ser	Val
	Lys	<b>Cys</b> 530	Ala	Gly	Met	Thr	<b>Asp</b> 535	Lys	Ile	Lys	Lys	Glu 540	Val	Thr	Phe	Glu
	Asn 545	Phe	Lys	Val	Gly	Phe 550	Ser	Arg	Lys	Met	<b>Lys</b> 555	Pro	Lys	Pro	Val	Gln 560
	Val	Pro	Gly	Gly	<b>Val</b> 565	Val	Leu	Val	Asp	<b>Asp</b> 570	Thr	Phe	Thr	Ile	<b>Lys</b> 575	
<210> 29 <211> 575 <212> PRT <213> Artificial																
<220> <223> polimera	isa Pl	hi29 r	nutar	nte L3	884R-	N62E	)									
<400> 29																

Met 1	Lys	His	Met	Pro 5	Arg	Lys	Met	Tyr	Ser 10	Cys	Asp	Phe	Glu	Thr 15	Thr
Thr	Lys	Val	Glu 20	Asp	Cys	Arg	Val	Trp 25	Ala	Tyr	Gly	Tyr	Met 30	Asn	Ile
Glu	Asp	His 35	Ser	Glu	Tyr	Lys	Ile 40	Gly	Asn	Ser	Leu	Asp 45	Glu	Phe	Met
Ala	Trp 50	Val	Leu	Lys	Val	Gln 55	Ala	Asp	Leu	Tyr	Phe 60	His	Asp	Leu	Lys
Phe 65	Asp	Gly	Ala	Phe	Ile 70	Ile	Asn	Trp	Leu	G1u 75	Arg	Asn	Gly	Phe	Lys 80
Trp	Ser	Ala	Asp	Gly 85	Leu	Pro	Asn	Thr	Tyr 90	Asn	Thr	Ile	Ile	Ser 95	Arg
Met	Gly	Gln	Trp 100	Tyr	Met	Ile	Asp	Ile 105	Cys	Leu	Gly	Tyr	Lys 110	Gly	Lys
Arg	Lys	Ile 115	His	Thr	Val	Ile	Tyr 120	Asp	Ser	Leu	Lys	Lys 125	Leu	Pro	Phe
Pro	Val 130	Lys	Lys	Ile	Ala	Lys 135	Asp	Phe	Lys	Leu	Thr 140	Val	Leu	Lys	Gly
Asp 145	Ile	Asp	Tyr	His	Lys 150	Glu	Arg	Pro	Val	Gly 155	Tyr	Lys	Ile	Thr	Pro 160
Glu	Glu	Tyr	Ala	Tyr 165	Ile	Lys	Asn	Asp	Ile 170	Gln	Ile	Ile	Ala	Glu 175	Ala
Leu	Leu	Ile	Gln 180	Phe	Lys	Gln	Gly	Leu 185	Asp	Arg	Met	Thr	Ala 190	Gly	Ser
Asp	Ser	Leu 195	Lys	Gly	Phe	Lys	Asp 200	Ile	Ile	Thr	Thr	Lys 205	Lys	Phe	Lys
Lys	Val 210	Phe	Pro	Thr	Leu	Ser 215	Leu	Gly	Leu	Asp	Lys 220	Glu	Val	Arg	Tyr
<b>Ala</b> 225	Tyr	Arg	Gly	Gly	Phe 230	Thr	Trp	Leu	Asn	<b>Asp</b> 235	Arg	Phe	Lys	Glu	Lys 240
Glu	Ile	Gly	Glu	Gly 245	Met	Val	Phe	Asp	Val 250	Asn	Ser	Leu	Tyr	Pro 255	Ala

Gln	Met	Tyr	Ser 260	Arg	Leu	Leu	Pro	Tyr 265	Gly	Glu	Pro	Ile	Val 270	Phe	Glu
Gly	Lys	Tyr 275	Val	Trp	Asp	Glu	Asp 280	Tyr	Pro	Leu	His	Ile 285	Gln	His	Ile
Arg	Cys 290	Glu	Phe	Glu	Leu	Lys 295	Glu	Gly	Tyr	Ile	Pro 300	Thr	Ile	Gln	Ile
<b>Lys</b> 305	Arg	Ser	Arg	Phe	Tyr 310	Lys	Gly	Asn	Glu	Tyr 315	Leu	Lys	Ser	Ser	Gly 320
Gly	Glu	Ile	Ala	<b>Asp</b> 325	Leu	Trp	Leu	Ser	<b>Asn</b> 330	Val	Asp	Leu	Glu	Leu 335	Met
Lys	Glu	His	Tyr 340	Asp	Leu	Tyr	Asn	Val 345	Glu	Tyr	Ile	Ser	Gly 350	Leu	Lys
Phe	Lys	<b>Ala</b> 355	Thr	Thr	Gly	Leu	Phe 360	Lys	Asp	Phe	Ile	<b>Asp</b> 365	Lys	Trp	Thr
Tyr	Ile 370	Lys	Thr	Thr	Ser	G1u 375	Gly	Ala	Ile	Lys	Gln 380	Leu	Ala	Lys	Arg
Met 385	Leu	Asn	Ser	Leu	<b>Tyr</b> 390	Gly	Lys	Phe	Ala	Ser 395	Asn	Pro	Asp	Val	Thr 400
Gly	Lys	Val	Pro	<b>Tyr</b> 405	Leu	Lys	Glu	Asn	Gly 410	Ala	Leu	Gly	Phe	Arg 415	Leu
Gly	Glu	Glu	Glu 420	Thr	Lys	Asp	Pro	Val 425	Tyr	Thr	Pro	Met	Gly 430	Val	Phe
		435	Trp		_	_	440					445			_
Tyr	Asp 450	Arg	Ile	Ile	Tyr	Cys 455	Asp	Thr	Asp	Ser	Ile 460	His	Leu	Thr	Gly
Thr 465	Glu	Ile	Pro	Asp	Val 470	Ile	Lys	Asp	Ile	Val 475	Asp	Pro	Lys	Lys	Leu 480
_	_		Ala	485					490			-	_	495	_
Gln	Lys	Thr	Tyr	Ile	Gln	Asp	Ile	Tyr	Met	Lys	Glu	Val	Asp	Gly	Lys

					500					505					510		
		Leu	Val	Glu 515	Gly	Ser	Pro	Asp	<b>Asp</b> 520	Tyr	Thr	Asp	Ile	Lys 525	Phe	Ser	Val
		Lys	<b>Cys</b> 530	Ala	Gly	Met	Thr	<b>Asp</b> 535	Lys	Ile	Lys	Lys	Glu 540	Val	Thr	Phe	Glu
		Asn 545	Phe	Lys	Val	Gly	Phe 550	Ser	Arg	Lys	Met	Lys 555	Pro	Lys	Pro	Val	Gln 560
		Val	Pro	Gly	Gly	Val 565	Val	Leu	Val	Asp	<b>Asp</b> 570	Thr	Phe	Thr	Ile	Lys 575	
5	<210> 30 <211> 575 <212> PRT <213> Artificial																
10	<220> <223> polimera	asa P	hi29 ı	mutar	nte E4	486A-	-N62[	)									
10	<400> 30																
		Met 1	Lys	His	Met	Pro 5	Arg	Lys	Met	Tyr	Ser 10	Cys	Asp	Phe	Glu	Thr 15	Thr
		Thr	Lys	Val	Glu 20	Asp	Суз	Arg	Val	Trp 25	Ala	Tyr	Gly	Tyr	Met 30	Asn	Ile
		Glu	Asp	His 35	Ser	Glu	Tyr	Lys	Ile 40	Gly	Asn	Ser	Leu	Asp 45	Glu	Phe	Met
		Ala	Trp 50	Val	Leu	Lys	Val	Gln 55	Ala	Asp	Leu	Tyr	Phe 60	His	Asp	Leu	Lys
		Phe 65	Asp	Gly	Ala	Phe	Ile 70	Ile	Asn	Trp	Leu	Glu 75	Arg	Asn	Gly	Phe	Lys 80
		Trp	Ser	Ala	Asp	Gly 85	Leu	Pro	Asn	Thr	Tyr 90	Asn	Thr	Ile	Ile	Ser 95	Arg
		Met	Gly	Gln	Trp 100	Tyr	Met	Ile	Asp	Ile 105	Cys	Leu	Gly	Tyr	Lys 110	Gly	Lys
		Arg	Lys	Ile 115	His	Thr	Val	Ile	Tyr 120	Asp	Ser	Leu	Lys	Lys 125	Leu	Pro	Phe
		Pro	Val 130	Lys	Lys	Ile	Ala	Lys 135	Asp	Phe	Lys	Leu	Thr 140	Val	Leu	Lys	Gly

Asp 145	Ile	Asp	Tyr	His	Lys 150	Glu	Arg	Pro	Val	Gly 155	Tyr	Lys	Ile	Thr	Pro 160
Glu	Glu	Tyr	Ala	Tyr 165	Ile	Lys	Asn	Asp	Ile 170	Gln	Ile	Ile	Ala	Glu 175	Ala
Leu	Leu	Ile	Gln 180	Phe	Lys	Gln	Gly	Leu 185	Asp	Arg	Met	Thr	Ala 190	Gly	Ser
Asp	Ser	Leu 195	Lys	Gly	Phe	Lys	Asp 200	Ile	Ile	Thr	Thr	Lys 205	Lys	Phe	Lys
Lys	Val 210	Phe	Pro	Thr	Leu	Ser 215	Leu	Gly	Leu	Asp	<b>Lys</b> 220	Glu	Val	Arg	Tyr
Ala 225	Tyr	Arg	Gly	Gly	Phe 230	Thr	Trp	Leu	Asn	Asp 235	Arg	Phe	Lys	Glu	Lys 240
Glu	Ile	Gly	Glu	Gly 245	Met	Val	Phe	Asp	Val 250	Asn	Ser	Leu	Tyr	Pro 255	Ala
Gln	Met	Tyr	Ser 260	Arg	Leu	Leu	Pro	Tyr 265	Gly	Glu	Pro	Ile	Val 270	Phe	Glu
Gly	Lys	Tyr 275	Val	Trp	Asp	Glu	Asp 280	Tyr	Pro	Leu	His	Ile 285	Gln	His	Ile
_	290		Phe			295		Ī	-		300				
305			Arg		310	_				315		_			320
			Ala _	325		_			330		_			335	
			Tyr 340					345					350		
	-	355	Thr				360	-				365			
_	370		Thr			375					380			-	
меt	ьeu	Asn	$\mathtt{Ser}$	Leu	Tyr	GTA	ьуs	Pne	ΑΙα	ser	Asn	Pro	Asp	val	Thr

		Gly	Lys	Val	Pro		Leu	Lys	Glu	Asn		Ala	Leu	Gly	Phe	_	Leu
						405					410					415	
		Gly	Glu	Glu	Glu 420	Thr	Lys	Asp	Pro	Val 425	Tyr	Thr	Pro	Met	Gly 430	Val	Phe
		Ile	Thr	Ala 435	Trp	Ala	Arg	Tyr	Thr 440	Thr	Ile	Thr	Ala	Ala 445	Gln	Ala	Cys
		Tyr	Asp 450	Arg	Ile	Ile	Tyr	Cys 455	Asp	Thr	Asp	Ser	Ile 460	His	Leu	Thr	Gly
		Thr 465	Glu	Ile	Pro	Asp	Val 470	Ile	Lys	Asp	Ile	Val 475	Asp	Pro	Lys	Lys	Leu 480
		Gly	Tyr	Trp	Ala	His 485	Ala	Ser	Thr	Phe	Lys 490	Arg	Ala	Lys	Tyr	Leu 495	Arg
		Gln	Lys	Thr	<b>Tyr</b> 500	Ile	Gln	Asp	Ile	<b>Tyr</b> 505	Met	Lys	Glu	Val	Asp 510	Gly	Lys
		Leu	Val	Glu 515	Gly	Ser	Pro	Asp	Asp 520	Tyr	Thr	Asp	Ile	Lys 525	Phe	Ser	Val
		Lys	C <b>ys</b> 530	Ala	Gly	Met	Thr	Asp 535	Lys	Ile	Lys	Lys	Glu 540	Val	Thr	Phe	Glu
		Asn 545	Phe	Lys	Val	Gly	Phe 550	Ser	Arg	Lys	Met	<b>Lys</b> 555	Pro	Lys	Pro	Val	Gln 560
		Val	Pro	Gly	Gly	Val 565	Val	Leu	Val	Asp	<b>Asp</b> 570	Thr	Phe	Thr	Ile	Lys 575	
5	<210> 31 <211> 575 <212> PRT <213> Artificial					363					370					373	
	<220> <223> polimera	asa Pl	hi29 r	nutar	nte E4	186D-	N62E	)									
10	<400> 31																
		Met 1	Lys	His	Met	Pro 5	Arg	Lys	Met	Tyr	Ser 10	Cys	Asp	Phe	Glu	Thr 15	Thr
		Thr	Lys	Val	Glu 20	Asp	Cys	Arg	Val	Trp 25	Ala	Tyr	Gly	Tyr	Met 30	Asn	Ile

Glu Asp His Ser Glu Tyr Lys Ile Gly Asn Ser Leu Asp Glu Phe Met

Ala	Trp 50	Val	Leu	Lys	Val	Gln 55	Ala	Asp	Leu	Tyr	Phe 60	His	Asp	Leu	Lys
Phe 65	Asp	Gly	Ala	Phe	Ile 70	Ile	Asn	Trp	Leu	Glu 75	Arg	Asn	Gly	Phe	Lys 80
Trp	Ser	Ala	Asp	Gly 85	Leu	Pro	Asn	Thr	Tyr 90	Asn	Thr	Ile	Ile	Ser 95	Arg
Met	Gly	Gln	Trp 100	Tyr	Met	Ile	Asp	Ile 105	Cys	Leu	Gly	Tyr	Lys 110	Gly	Lys
Arg	Lys	Ile 115	His	Thr	Val	Ile	Tyr 120	Asp	Ser	Leu	Lys	Lys 125	Leu	Pro	Phe
Pro	Val 130	Lys	Lys	Ile	Ala	Lys 135	Asp	Phe	Lys	Leu	Thr 140	Val	Leu	Lys	Gly
Asp 145	Ile	Asp	Tyr	His	Lys 150	Glu	Arg	Pro	Val	Gly 155	Tyr	Lys	Ile	Thr	Pro 160
Glu	Glu	Tyr	Ala	Tyr 165	Ile	Lys	Asn	Asp	Ile 170	Gln	Ile	Ile	Ala	Glu 175	Ala
Leu	Leu	Ile	Gln 180	Phe	Lys	Gln	Gly	Leu 185	Asp	Arg	Met	Thr	Ala 190	Gly	Ser

Lys Val Phe Pro Thr Leu Ser Leu Gly Leu Asp Lys Glu Val Arg Tyr 210 215 220

Asp Ser Leu Lys Gly Phe Lys Asp Ile Ile Thr Thr Lys Lys Phe Lys

Ala Tyr Arg Gly Gly Phe Thr Trp Leu Asn Asp Arg Phe Lys Glu Lys 225 235 240

Glu Ile Gly Glu Gly Met Val Phe Asp Val Asn Ser Leu Tyr Pro Ala 245 250 255

Gln Met Tyr Ser Arg Leu Leu Pro Tyr Gly Glu Pro Ile Val Phe Glu 260 265 270

Gly Lys Tyr Val Trp Asp Glu Asp Tyr Pro Leu His Ile Gln His Ile

		275					280					285			
Arg	Cys 290	Glu	Phe	Glu	Leu	Lys 295	Glu	Gly	Tyr	Ile	Pro 300	Thr	Ile	Gln	Ile
Lys 305		Ser	Arg	Phe	<b>Tyr</b> 310	Lys	Gly	Asn	Glu	<b>Tyr</b> 315	Leu	Lys	Ser	Ser	Gly 320
Gly	Glu	Ile	Ala	<b>Asp</b> 325	Leu	Trp	Leu	Ser	<b>Asn</b> 330	Val	Asp	Leu	Glu	<b>Leu</b> 335	Met
Lys	Glu	His	Tyr 340	Asp	Leu	Tyr	Asn	Val 345	Glu	Tyr	Ile	Ser	Gly 350	Leu	Lys
Phe	Lys	Ala 355	Thr	Thr	Gly	Leu	Phe 360	Lys	Asp	Phe	Ile	Asp 365	Lys	Trp	Thr
Tyr	Ile 370	Lys	Thr	Thr	Ser	Glu 375	Gly	Ala	Ile	Lys	Gln 380	Leu	Ala	Lys	Leu
Met 385	Leu	Asn	Ser	Leu	<b>Tyr</b> 390	Gly	Lys	Phe	Ala	Ser 395	Asn	Pro	Asp	Val	Thr 400
Gly	Lys	Val	Pro	Tyr 405	Leu	Lys	Glu	Asn	Gly 410	Ala	Leu	Gly	Phe	Arg 415	Leu
Gly	Glu	Glu	Glu 420	Thr	Lys	Asp	Pro	Val 425	Tyr	Thr	Pro	Met	Gly 430	Val	Phe
Ile	Thr	Ala 435	Trp	Ala	Arg	Tyr	Thr 440	Thr	Ile	Thr	Ala	Ala 445	Gln	Ala	Cys
Tyr	Asp 450	Arg	Ile	Ile	Tyr	Cys 455	Asp	Thr	Asp	Ser	Ile 460	His	Leu	Thr	Gly
Thr 465	Glu	Ile	Pro	Asp	Val 470	Ile	Lys	Asp	Ile	Val 475	Asp	Pro	Lys	Lys	Leu 480
Gly	Tyr	Trp	Ala	His 485	Asp	Ser	Thr	Phe	Lys 490	Arg	Ala	Lys	Tyr	Leu 495	Arg
Gln	Lys	Thr	<b>Tyr</b> 500	Ile	Gln	Asp	Ile	<b>Tyr</b> 505	Met	Lys	Glu	Val	<b>Asp</b> 510	Gly	Lys
Leu	Val	Glu 515	Gly	Ser	Pro	Asp	Asp 520	Tyr	Thr	Asp	Ile	Lys 525	Phe	Ser	Val
Lys	Cys 530	Ala	Gly	Met	Thr	<b>Asp</b> 535	Lys	Ile	Lys	Lys	Glu 540	Val	Thr	Phe	Glu
Asn 545	Phe	Lys	Val	Gly	Phe 550	Ser	Arg	Lys	Met	Lys 555	Pro	Lys	Pro	Val	Gln 560
Val	Pro	Gly	Gly	Val 565	Val	Leu	Val	Asp	<b>Asp</b> 570	Thr	Phe	Thr	Ile	Lys 575	

F	<210> 32 <211> 575 <212> PRT <213> Artificial																
5	<220> <223> polimera	asa P	hi29 r	mutar	nte K	512A-	·N62[	)									
4.0	<400> 32																
10		Met 1	Lys	His	Met	Pro 5	Arg	Lys	Met	Tyr	Ser 10	Cys	Asp	Phe	Glu	Thr 15	Thr
		Thr	Lys	Val	Glu 20	Asp	Суѕ	Arg	Val	Trp 25	Ala	Tyr	Gly	Tyr	Met 30	Asn	Ile
		Glu	Asp	His 35	Ser	Glu	Tyr	Lys	Ile 40	Gly	Asn	Ser	Leu	Asp 45	Glu	Phe	Met
		Ala	Trp 50	Val	Leu	Lys	Val	Gln 55	Ala	Asp	Leu	Tyr	Phe 60	His	Asp	Leu	Lys
		Phe 65	Asp	Gly	Ala	Phe	Ile 70	Ile	Asn	Trp	Leu	Glu 75	Arg	Asn	Gly	Phe	Lys 80
		Trp	Ser	Ala	Asp	Gly 85	Leu	Pro	Asn	Thr	Tyr 90	Asn	Thr	Ile	Ile	Ser 95	Arg
		Met	Gly	Gln	Trp 100	Tyr	Met	Ile	Asp	Ile 105	Cys	Leu	Gly	Tyr	Lys 110	Gly	Lys
		Arg	Lys	Ile 115	His	Thr	Val	Ile	Tyr 120	Asp	Ser	Leu	Lys	Lys 125	Leu	Pro	Phe
		Pro	Val 130	Lys	Lys	Ile	Ala	Lys 135	Asp	Phe	Lys	Leu	Thr 140	Val	Leu	Lys	Gly
		Asp 145	Ile	Asp	Tyr	His	Lys 150	Glu	Arg	Pro	Val	Gly 155	Tyr	Lys	Ile	Thr	Pro 160
		Glu	Glu	Tyr	Ala	Tyr	Ile	Lys	Asn	Asp	Ile	Gln	Ile	Ile	Ala	Glu	Ala

				165					170					175	
Leu	Leu	Ile	Gln 180	Phe	Lys	Gln	Gly	Leu 185	Asp	Arg	Met	Thr	Ala 190	Gly	Ser
Asp	Ser	Leu 195	Lys	Gly	Phe	Lys	<b>Asp</b> 200	Ile	Ile	Thr	Thr	Lys 205	Lys	Phe	Lys
Lys	Val 210	Phe	Pro	Thr	Leu	Ser 215	Leu	Gly	Leu	Asp	<b>Lys</b> 220	Glu	Val	Arg	Tyr
Ala 225	Tyr	Arg	Gly	Gly	Phe 230	Thr	Trp	Leu	Asn	Asp 235	Arg	Phe	Lys	Glu	Lys 240
Glu	Ile	Gly	Glu	Gly 245	Met	Val	Phe	Asp	Val 250	Asn	Ser	Leu	Tyr	Pro 255	Ala
Gln	Met	Tyr	Ser 260	Arg	Leu	Leu	Pro	Tyr 265	Gly	Glu	Pro	Ile	Val 270	Phe	Glu
Gly	Lys	Tyr 275	Val	Trp	Asp	Glu	Asp 280	Tyr	Pro	Leu	His	Ile 285	Gln	His	Ile
Arg	Cys 290	Glu	Phe	Glu	Leu	Lys 295	Glu	Gly	Tyr	Ile	Pro 300	Thr	Ile	Gln	Ile
<b>Lys</b> 305	Arg	Ser	Arg	Phe	<b>Tyr</b> 310	Lys	Gly	Asn	Glu	Tyr 315	Leu	Lys	Ser	Ser	Gly 320
Gly	Glu	Ile	Ala	Asp 325	Leu	Trp	Leu	Ser	Asn 330	Val	Asp	Leu	Glu	Leu 335	Met
Lys	Glu	His	<b>Tyr</b> 340	Asp	Leu	Tyr	Asn	Val 345	Glu	Tyr	Ile	Ser	Gly 350	Leu	Lys
		355	Thr				360					365			
_	370	_	Thr			375				_	380			-	
385			Ser		390					395					400
Gly	Lys	Val	Pro	Tyr 405	Leu	Lys	Glu	Asn	Gly 410	Ala	Leu	Gly	Phe	Arg 415	Leu

	Gly	Glu	Glu	Glu 420	Thr	Lys	Asp	Pro	Val 425	Tyr	Thr	Pro	Met	Gly 430	Val	Phe
	Ile	Thr	Ala 435	Trp	Ala	Arg	Tyr	Thr 440	Thr	Ile	Thr	Ala	Ala 445	Gln	Ala	Cys
	Tyr	Asp 450	Arg	Ile	Ile	Tyr	Cys 455	Asp	Thr	Asp	Ser	Ile 460	His	Leu	Thr	Gly
	Thr 465	Glu	Ile	Pro	Asp	Val 470	Ile	Lys	Asp	Ile	Val 475	Asp	Pro	Lys	Lys	Leu 480
	Gly	Tyr	Trp	Ala	His 485	Glu	Ser	Thr	Phe	Lys 490	Arg	Ala	Lys	Tyr	Leu 495	Arg
	Gln	Lys	Thr	<b>Tyr</b> 500	Ile	Gln	Asp	Ile	<b>Tyr</b> 505	Met	Lys	Glu	Val	Asp 510	Gly	Ala
	Leu	Val	Glu 515	Gly	Ser	Pro	Asp	<b>Asp</b> 520	Tyr	Thr	Asp	Ile	Lys 525	Phe	Ser	Val
	Lys	<b>Cys</b> 530	Ala	Gly	Met	Thr	<b>Asp</b> 535	Lys	Ile	Lys	Lys	Glu 540	Val	Thr	Phe	Glu
	Asn 545	Phe	Lys	Val	Gly	Phe 550	Ser	Arg	Lys	Met	Lys 555	Pro	Lys	Pro	Val	Gln 560
	Val	Pro	Gly	Gly	Val 565	Val	Leu	Val	Asp	<b>Asp</b> 570	Thr	Phe	Thr	Ile	Lys 575	
<210> 33 <211> 558 <212> PRT <213> Artificial																
<220> <223> polimera	asa P	hi29 ı	mutar	nte Ne	62D c	on el	imina	ción (	de los	s resto	os 50	5-525	5			
<400> 33																
	Met 1	Lys	His	Met	Pro 5	Arg	Lys	Met	Tyr	Ser 10	Cys	Asp	Phe	Glu	Thr 15	Thr
	Thr	Lys	Val	Glu 20	Asp	Cys	Arg	Val	Trp 25	Ala	Tyr	Gly	Tyr	Met 30	Asn	Ile
	Glu	Asp	His 35	Ser	Glu	Tyr	Lys	Ile 40	Gly	Asn	Ser	Leu	Asp 45	Glu	Phe	Met
	Ala	Trp	Val	Leu	Lys	Val	Gln	Ala	Asp	Leu	Tyr	Phe	His	Asp	Leu	Lys

5

10

	50					55					60				
Phe 65	Asp	Gly	Ala	Phe	Ile 70	Ile	Asn	Trp	Leu	Glu 75	Arg	Asn	Gly	Phe	Lys 80
Trp	Ser	Ala	Asp	Gly 85	Leu	Pro	Asn	Thr	Tyr 90	Asn	Thr	Ile	Ile	Ser 95	Arg
Met	Gly	Gln	Trp 100	Tyr	Met	Ile	Asp	Ile 105	Cys	Leu	Gly	Tyr	Lys 110	Gly	Lys
Arg	Lys	Ile 115	His	Thr	Val	Ile	Tyr 120	Asp	Ser	Leu	Lys	Lys 125	Leu	Pro	Phe
Pro	Val 130	Lys	Lys	Ile	Ala	Lys 135	Asp	Phe	Lys	Leu	Thr 140	Val	Leu	Lys	Gly
Asp 145	Ile	Asp	Tyr	His	Lys 150	Glu	Arg	Pro	Val	Gly 155	Tyr	Lys	Ile	Thr	Pro 160
Glu	Glu	Tyr	Ala	Tyr 165	Ile	Lys	Asn	Asp	Ile 170	Gln	Ile	Ile	Ala	Glu 175	Ala
Leu	Leu	Ile	Gln 180	Phe	Lys	Gln	Gly	Leu 185	Asp	Arg	Met	Thr	Ala 190	Gly	Ser
Asp	Ser	Leu 195	Lys	Gly	Phe	Lys	Asp 200	Ile	Ile	Thr	Thr	Lys 205	Lys	Phe	Lys
Lys	Val 210	Phe	Pro	Thr	Leu	Ser 215	Leu	Gly	Leu	Asp	Lys 220	Glu	Val	Arg	Tyr
Ala 225	Tyr	Arg	Gly	Gly	Phe 230	Thr	Trp	Leu	Asn	Asp 235	Arg	Phe	Lys	Glu	Lys 240
Glu	Ile	Gly	Glu	Gly 245	Met	Val	Phe	Asp	Val 250	Asn	Ser	Leu	Tyr	Pro 255	Ala
Gln	Met	Tyr	Ser 260	Arg	Leu	Leu	Pro	Tyr 265	Gly	Glu	Pro	Ile	Val 270	Phe	Glu
Gly	Lys	Tyr 275	Val	Trp	Asp	Glu	Asp 280	Tyr	Pro	Leu	His	Ile 285	Gln	His	Ile
Arg	Cys 290	Glu	Phe	Glu	Leu	Lys 295	Glu	Gly	Tyr	Ile	Pro 300	Thr	Ile	Gln	Ile

	Lys 305	Arg	Ser	Arg	Phe	Tyr 310	Lys	Gly	Asn	Glu	Tyr 315	Leu	Lys	Ser	Ser	Gly 320
	Gly	Glu	Ile	Ala	Asp 325	Leu	Trp	Leu	Ser	Asn 330	Val	Asp	Leu	Glu	Leu 335	Met
	Lys	Glu	His	<b>Tyr</b> 340	Asp	Leu	Tyr	Asn	Val 345	Glu	Tyr	Ile	Ser	Gly 350	Leu	Lys
	Phe	Lys	<b>Ala</b> 355	Thr	Thr	Gly	Leu	Phe 360	Lys	Asp	Phe	Ile	<b>Asp</b> 365	Lys	Trp	Thr
	Tyr	Ile 370	Lys	Thr	Thr	Ser	Glu 375	Gly	Ala	Ile	Lys	Gln 380	Leu	Ala	Lys	Leu
	<b>Met</b> 385	Leu	Asn	Ser	Leu	Tyr 390	Gly	Lys	Phe	Ala	Ser 395	Asn	Pro	Asp	Val	Thr 400
	Gly	Lys	Val	Pro	Tyr 405	Leu	Lys	Glu	Asn	Gly 410	Ala	Leu	Gly	Phe	Arg 415	Leu
	Gly	Glu	Glu	Glu 420	Thr	Lys	Asp	Pro	Val 425	Tyr	Thr	Pro	Met	Gly 430	Val	Phe
	Ile	Thr	Ala 435	Trp	Ala	Arg	Tyr	Thr 440	Thr	Ile	Thr	Ala	Ala 445	Gln	Ala	Суз
	Tyr	Asp 450	Arg	Ile	Ile	Tyr	Cys 455	Asp	Thr	Asp	Ser	Ile 460	His	Leu	Thr	Gly
	Thr 465	Glu	Ile	Pro	Asp	Val 470	Ile	Lys	Asp	Ile	Val 475	Asp	Pro	Lys	Lys	Leu 480
	Gly	Tyr	Trp	Ala	His 485	Glu	Ser	Thr	Phe	Lys 490	Arg	Ala	Lys	Tyr	Leu 495	Arg
	Gln	Lys	Thr	Tyr 500	Ile	Gln	Asp	Ile	Lys 505	Asp	Gly	Glu	Phe	Ser 510	Val	Lys
	Сув	Ala	Gly 515	Met	Thr	Asp	Lys	Ile 520	Lys	Lys	Glu	Val	Thr 525	Phe	Glu	Asn
	Phe	<b>Lys</b> 530	Val	Gly	Phe	Ser	<b>Arg</b> 535	Lys	Met	Lys	Pro	Lys 540	Pro	Val	Gln	Val
	Pro 545	Gly	Gly	Val	Val	<b>Leu</b> 550	Val	Asp	Asp	Thr	Phe 555	Thr	Ile	Lys		
<210> 34 <211> 556 <212> PRT <213> Artificial																

10

5

<220>

<223> polimerasa Phi29 mutante N62D con eliminación de los restos 505-525

<400>	34
-------	----

М 1	et	Lys	His	Met	Pro 5	Arg	Lys	Met	Tyr	Ser 10	Cys	Asp	Phe	Glu	Thr 15	Thr
Т	hr	Lys	Val	Glu 20	Asp	Cys	Arg	Val	Trp 25	Ala	Tyr	Gly	Tyr	Met 30	Asn	Ile
G	lu	Asp	His 35	Ser	Glu	Tyr	Lys	Ile 40	Gly	Asn	Ser	Leu	Asp 45	Glu	Phe	Met
A	la	Trp 50	Val	Leu	Lys	Val	Gln 55	Ala	Asp	Leu	Tyr	Phe 60	His	Asp	Leu	Lys
P 6		Asp	Gly	Ala	Phe	Ile 70	Ile	Asn	Trp	Leu	Glu 75	Arg	Asn	Gly	Phe	Lys 80
T	rp	Ser	Ala	Asp	Gly 85	Leu	Pro	Asn	Thr	Tyr 90	Asn	Thr	Ile	Ile	Ser 95	Arg
М	et	Gly	Gln	Trp 100	Tyr	Met	Ile	Asp	Ile 105	Cys	Leu	Gly	Tyr	Lys 110	Gly	Lys
A	rg	Lys	Ile 115	His	Thr	Val	Ile	Tyr 120	Asp	Ser	Leu	Lys	Lys 125	Leu	Pro	Ph∈
P	ro	Val 130	Lys	Lys	Ile	Ala	Lys 135	Asp	Phe	Lys	Leu	Thr 140	Val	Leu	Lys	Gly
	sp 45	Ile	Asp	Tyr	His	Lys 150	Glu	Arg	Pro	Val	Gly 155	Tyr	Lys	Ile	Thr	Pro 160
G	lu	Glu	Tyr	Ala	Tyr 165	Ile	Lys	Asn	Asp	Ile 170	Gln	Ile	Ile	Ala	Glu 175	Ala
L	eu	Leu	Ile	Gln 180	Phe	Lys	Gln	Gly	Leu 185	Asp	Arg	Met	Thr	Ala 190	Gly	Ser
A	sp	Ser	Leu 195	_	Gly	Phe	_	Asp		Ile	Thr	Thr	Lys	_	Phe	Lys

Lys	Val 210	Phe	Pro	Thr	Leu	Ser 215	Leu	Gly	Leu	Asp	Lys 220	Glu	Val	Arg	Tyr
Ala 225	Tyr	Arg	Gly	Gly	Phe 230	Thr	Trp	Leu	Asn	Asp 235	Arg	Phe	Lys	Glu	Lys 240
Glu	Ile	Gly	Glu	Gly 245	Met	Val	Phe	Asp	Val 250	Asn	Ser	Leu	Tyr	Pro 255	Ala
Gln	Met	Tyr	Ser 260	Arg	Leu	Leu	Pro	Туг 265	Gly	Glu	Pro	Ile	Val 270	Phe	Glu
Gly	Lys	Tyr 275	Val	Trp	Asp	Glu	Asp 280	Tyr	Pro	Leu	His	11e 285	Gln	His	Ile
Arg	Cys 290	Glu	Phe	Glu	Leu	Lys 295	Glu	Gly	Tyr	Ile	Pro 300	Thr	Ile	Gln	Ile
Lys 305	Arg	Ser	Arg	Phe	Tyr 310	Lys	Gly	Asn	Glu	Tyr 315	Leu	Lys	Ser	Ser	Gly 320
Gly	Glu	Ile	Ala	<b>Asp</b> 325	Leu	Trp	Leu	Ser	<b>Asn</b> 330	Val	Asp	Leu	Glu	Leu 335	Met
Lys	Glu	His	Tyr 340	Asp	Leu	Tyr	Asn	Val 345	Glu	Tyr	Ile	Ser	Gly 350	Leu	Lys
Phe	Lys	Ala 355	Thr	Thr	Gly	Leu	Phe 360	Lys	Asp	Phe	Ile	Asp 365	Lys	Trp	Thr
Tyr	Ile 370	Lys	Thr	Thr	Ser	Glu 375	Gly	Ala	Ile	Lys	Gln 380	Leu	Ala	Lys	Leu
Met 385	Leu	Asn	Ser	Leu	Tyr 390	Gly	Lys	Phe	Ala	Ser 395	Asn	Pro	Asp	Val	Thr 400
Gly	Lys	Val	Pro	Tyr 405	Leu	Lys	Glu	Asn	Gly 410	Ala	Leu	Gly	Phe	Arg 415	Leu
Gly	Glu	Glu	Glu 420	Thr	Lys	Asp	Pro	Val 425	Tyr	Thr	Pro	Met	Gly 430	Val	Phe
Ile	Thr	Ala 435	Trp	Ala	Arg	Tyr	Thr 440	Thr	Ile	Thr	Ala	Ala 445	Gln	Ala	Cys
Tyr	Asp 450	Arg	Ile	Ile	Tyr	Cys 455	Asp	Thr	Asp	Ser	Ile 460	His	Leu	Thr	Gly

		465	Giu	116	FIO	тэр	470	116	шуз	rsp	116	475	тэр	FIO	цуз	цуз	480
		Gly	Tyr	Trp	Ala	His 485	Glu	Ser	Thr	Phe	Lys 490	Arg	Ala	Lys	Tyr	Leu 495	Arg
		Gln	Lys	Thr	<b>Tyr</b> 500	Ile	Gln	Asp	Ile	<b>Asp</b> 505	Gly	Phe	Ser	Val	<b>Lys</b> 510	Cys	Ala
		Gly	Met	Thr 515	Asp	Lys	Ile	Lys	Lys 520	Glu	Val	Thr	Phe	Glu 525	Asn	Phe	Lys
		Val	Gly 530	Phe	Ser	Arg	Lys	Met 535	Lys	Pro	Lys	Pro	Val 540	Gln	Val	Pro	Gly
		Gly 545	Val	Val	Leu	Val	Asp 550	Asp	Thr	Phe	Thr	Ile 555	Lys				
5	<210> 35 <211> 35 <212> PRT <213> Bacterió	fago	phi-2	9													
	<400> 35																
		Thr 1	Tyr	Ile	Gln	Asp 5	Ile	Tyr	Met	Lys	Glu 10	Val	Asp	Gly	Lys	Leu 15	Val
		Glu	Gly	Ser	Pro 20	Asp	Asp	Tyr	Thr	Asp 25	Ile	Lys	Phe	Ser	Val 30	Lys	Cys
10		Ala	Gly	<b>Met</b> 35													
15	<210> 36 <211> 35 <212> PRT <213> Bacterió	fago	B103														
	<400> 36																
		Thr 1	Tyr	Ile	Gln	Asp 5	Ile	Tyr	Ala	Lys	Glu 10	Val	Asp	Gly	Lys	Leu 15	Ile
		Glu	Cys	Ser	Pro 20	Asp	Glu	Ala	Thr	Thr 25	Thr	Lys	Phe	Ser	Val 30	Lys	Cys
20		Ala	Gly	Met 35													
-	<210> 37 <211> 35 <212> PRT <213> Bacterió	fago	PZA														
25	<400> 37	J-	-														

```
Thr Tyr Ile Gln Asp Ile Tyr Met Lys Glu Val Asp Gly Lys Leu Val
                     Glu Gly Ser Pro Asp Asp Tyr Thr Thr Ile Lys Phe Ser Val Lys Cys
                     Ala Gly Met
        <210> 38
        <211> 35
        <212> PRT
 5
        <213> Bacteriófago M2
        <400> 38
                     Thr Tyr Ile Gln Asp Ile Tyr Val Lys Glu Val Asp Gly Lys Leu Lys
                     Glu Cys Ser Pro Asp Glu Ala Thr Thr Thr Lys Phe Ser Val Lys Cys
                                  20
                                                      25
                     Ala Gly Met
10
                             35
        <210> 39
        <211> 36
        <212> PRT
15
        <213> Bacteriófago G1
        <400> 39
                     Thr Tyr Phe Ile Glu Thr Thr Trp Lys Glu Asn Asp Lys Gly Lys Leu
                     Val Val Cys Glu Pro Gln Asp Ala Thr Lys Val Lys Pro Lys Ile Ala
                     Cys Ala Gly Met
                             35
20
        <210>40
        <211> 22
        <212> PRT
        <213> Bacteriófago CP-1
25
        <400> 40
                     Leu Tyr Ile Glu Glu Leu Ile Gln Glu Asp Gly Thr Thr His Leu Asp
                                      5
                                                           10
                     Val Lys Gly Ala Gly Met
                                  20
        <210>41
30
        <211> 45
        <212> PRT
        <213> Bacteriófago phi-29
        <400> 41
35
```

		Leu 1	Lys	Phe	Lys	Ala 5	Thr	Thr	Gly	Leu	Phe 10	Lys	Asp	Phe	Ile	Asp 15	Lys
		Trp	Thr	Tyr	Ile 20	Lys	Thr	Thr	Ser	Glu 25	Gly	Ala	Ile	Lys	Gln 30	Leu	Ala
		Lys	Leu	Met 35	Leu	Asn	Ser	Leu	Tyr 40	Gly	Lys	Phe	Ala	Ser 45			
5	<210> 42 <211> 45 <212> PRT <213> Bacterió	ofago	B103														
	<400> 42																
		Phe 1	Lys	Phe	Arg	Glu 5	Lys	Thr	Gly	Leu	Phe 10	Lys	Glu	Phe	Ile	Asp 15	Lys
		Trp	Thr	Tyr	Val 20	Lys	Thr	His	Glu	Lys 25	Gly	Ala	Lys	Lys	Gln 30	Leu	Ala
10		Lys	Leu	Met 35	Phe	Asp	Ser	Leu	Tyr 40	Gly	Lys	Phe	Ala	Ser 45			
15	<210> 43 <211> 45 <212> PRT <213> Bacterió	ofago	PZA														
	<400> 43																
		Leu 1	Lys	Phe	Lys	Ala 5	Thr	Thr	Gly	Leu	Phe 10	Lys	Asp	Phe	Ile	Asp 15	Lys
		Trp	Thr	His	Ile 20	Lys	Thr	Thr	Ser	Glu 25	Gly	Ala	Ile	Lys	Gln 30	Leu	Ala
20		Lys	Leu		Leu 5					Gly 0	_		Ala	_	5		
25	<210> 44 <211> 45 <212> PRT <213> Bacterió	ófago	M2														
20	<400> 44	ладо	IVIZ														
		Phe 1	Lys	Phe	Arg	Glu 5	Lys	Thr	Gly	Leu	Phe 10	Lys	Asp	Phe	Ile	Asp 15	Lys
		Trp	Thr	Tyr	Val 20	Lys	Thr	His	Glu	Glu 25	Gly	Ala	Lys	Lys	Gln 30	Leu	Ala
30		Lys	Leu	Met 35	Leu	Asn	Ser	Leu	Tyr 40	Gly	Lys	Phe	Ala	Ser 45			

```
<210>45
        <211> 47
        <212> PRT
        <213> Bacteriófago G1
 5
        <400> 45
                     Phe Met Phe Lys Gly Phe Ile Gly Phe Phe Asp Glu Tyr Ile Asp Arg
                     Phe Met Glu Ile Lys Asn Ser Pro Asp Ser Ser Ala Glu Gln Ser Leu
                     Gln Ala Lys Leu Met Leu Asn Ser Leu Tyr Gly Lys Phe Ala Thr
        <210>46
10
        <211> 46
        <212> PRT
        <213> Bacteriófago CP-1
        <400>46
15
                     Leu Glu Phe Gln Thr Glu Ser Asp Leu Phe Asp Asp Tyr Ile Thr Thr
                                      5
                                                           10
                     Tyr Arg Tyr Lys Lys Glu Asn Ala Gln Ser Pro Ala Glu Lys Gln Lys
                                  20
                     Ala Lys Ile Met Leu Asn Ser Leu Tyr Gly Lys Phe Gly Ala
                             35
                                                   40
        <210> 47
20
        <211> 13
        <212> PRT
        <213> Bacteriófago phi-29
        <400> 47
25
                           Gly Tyr Trp Ala His Glu Ser Thr Phe Lys Arg Ala Lys
                                            5
                                                                 10
        <210> 48
        <211> 13
30
        <212> PRT
        <213> Bacteriófago B103
        <400> 48
                           Gly Tyr Trp Ala His Glu Ser Thr Phe Lys Arg Ala Lys
35
        <210>49
        <211> 13
        <212> PRT
40
        <213> Bacteriófago PZA
        <400>49
                           Gly Tyr Trp Ala His Glu Ser Thr Phe Lys Arg Ala Lys
                                            5
45
```

```
<210> 50
        <211> 13
        <212> PRT
        <213> Bacteriófago M2
 5
        <400> 50
                            Gly Tyr Trp Ala His Glu Ser Thr Phe Lys Arg Ala Lys
                                              5
                                                                    10
        <210> 51
10
        <211> 13
        <212> PRT
        <213> Bacteriófago G1
15
         <400> 51
                            Gly Tyr Trp Asp His Glu Ala Thr Phe Gln Arg Ala Arg
                                              5
         <210> 52
        <211> 13
20
         <212> PRT
         <213> Bacteriófago CP-1
         <400> 52
25
                            Gly Lys Trp Ala His Glu Gly Arg Ala Val Lys Ala Lys
                                              5
        <210> 53
         <211> 10
         <212> PRT
30
         <213> Bacteriófago phi-29
         <400> 53
                                   Lys Glu Val Asp Gly Lys Leu Val Glu Gly
35
                                                    5
                                                                          10
        <210> 54
        <211> 10
         <212> PRT
         <213> Bacteriófago B103
40
        <400> 54
                                   Lys Glu Val Asp Gly Lys Leu Ile Glu Cys
45
        <210> 55
        <211> 10
         <212> PRT
         <213> Bacteriófago PZA
50
        <400> 55
                                   Lys Glu Val Asp Gly Lys Leu Val Glu Gly
                                                    5
                                                                          10
         <210> 56
55
        <211> 10
        <212> PRT
        <213> Bacteriófago M2
60
```

## ES 2 648 313 T3

	<400> 56										
		Lys Glu Val Asp Gly Lys Leu Lys Glu Cys 1 5 10									
5	<210> 57 <211> 11 <212> PRT <213> Bacteriófago G1										
10	<400> 57										
		Lys Glu Asn Asp Lys Gly Lys Leu Val Val Cys 1 5 10									
15	<210> 58 <211> 4 <212> PRT <213> Bacteriófago CP-1										
20	<400> 58										
		Glu Asp Gly Thr 1									
25	<210> 59 <211> 10 <212> PRT <213> Bacteriófago phi-29										
	<400> 59										
30		Val Lys Lys Ile Ala Lys Asp Phe Lys Leu 1 5 10									
35	<210> 60 <211> 10 <212> PRT <213> Bacteriófago B103										
	<400> 60										
		Val Lys Lys Ile Ala Lys Asp Phe Gln Leu									
40	<210> 61 <211> 10 <212> PRT <213> Bacteriófago PZA	1 5 10									
45	<400> 61										
		Val Lys Lys Ile Ala Lys Asp Phe Lys Leu 1 5 10									
50	<210> 62 <211> 10 <212> PRT <213> Bacteriófago M2										
55	<400> 62										
		Val Lys Lys Ile Ala Lys Asp Phe Gln Leu 1 5 10									

## ES 2 648 313 T3

5	<210> 63 <211> 10 <212> PRT <213> Bacteriófago G1 <400> 63										
		Val 1	Glu	Gln	Ile	Ala 5	Lys	Gly	Phe	Gly	Leu 10
10	<210> 64 <211> 10 <212> PRT <213> Bacteriófago CP-1										
15	<400> 64										
		Ile 1	Ala	Thr	Met	Ala 5	Gly	Leu	Phe	Lys	Met 10

## **REIVINDICACIONES**

1. Una composición que comprende:

5

- una ADN polimerasa recombinante, comprendiendo dicha polimerasa recombinante una secuencia de aminoácidos que es al menos un 70 % idéntica a la SEQ ID NO:1 y comprende una sustitución de aminoácido en un sitio correspondiente a K512 respecto a la SEQ ID NO:1; y
- un análogo nucleotídico que está marcado en un grupo fosfato, en el que el resto de base del análogo se selecciona del grupo que consiste en adenina, timina, guanina y citidina.

10

2. La composición de la reivindicación 1, en la que la ADN polimerasa recombinante comprende una mutación seleccionada de: una mutación K512A, una mutación K512D, una mutación K512E, una mutación K512W, una mutación K512Y, una mutación K512F, una mutación K512L v una mutación K512H.

15

3. La composición de la reivindicación 1, en la que la ADN polimerasa recombinante comprende además una mutación adicional o combinación de mutaciones seleccionadas de la tabla 8.

4. La composición de la reivindicación 1, en la que la ADN polimerasa recombinante comprende una o más mutaciones o eliminaciones respecto a la polimerasa de tipo silvestre de la SEQ ID NO:1 que reducen o eliminan la actividad exonucleasa.

5. La composición de la reivindicación 1, en la que la ADN polimerasa recombinante es al menos un 80 % idéntica a

25

20

6. La composición de la reivindicación 1, en la que la ADN polimerasa recombinante comprende una o más secuencias exógenas de marcas de afinidad seleccionadas de: una secuencia de marca de 6 His, una marca GST, una secuencia de marca HA, una pluralidad de secuencias de marca de 6 His, una pluralidad de marcas GST, una pluralidad de secuencias de marca HA y combinaciones de las mismas.

30

7. La composición de la reivindicación 1, en la que el análogo nucleotídico comprende un fluoróforo o un resto colorante.

8. La composición de la reivindicación 1, en la que el análogo nucleotídico es un análogo nucleotídico tetrafosfato, pentafosfato o hexafosfato.

35

la SEQ ID NO:1.

40

9. La composición de la reivindicación 1, en la que la ADN polimerasa recombinante presenta una K<sub>m</sub> reducida, una V<sub>max</sub> aumentada o una tasa de ramificación reducida para el análogo nucleotídico, en comparación con la polimerasa de tipo silvestre de la SEQ ID NO:1.

10. La composición de la reivindicación 1, que comprende un molde de ADN, en la que la polimerasa recombinante incorpora el análogo nucleotídico en un ácido nucleico de copia en respuesta al ADN molde.

45

12. La composición de la reivindicación 1, en la que la composición está presente en un sistema de secuenciación de ADN y el sistema de secuenciación comprende un Zero Mode Waveguide.

13. La composición de la reivindicación 1. en la que:

50

- (a) el análogo nucleotídico es un análogo marcado con tetrafosfato que comprende un marcador en un fosfato delta del análogo: o
- (b) el análogo es A488dC4P, A568dC4P, A633dC4P, A546dG4P o A594dT4P; o

11. La composición de la reivindicación 10, en la que el molde es un molde circular.

(c) el análogo está marcado en un fosfato terminal.

55

14. Un método de preparación de un ADN, comprendiendo el método:

60

proporcionar una mezcla de reacción que comprende un molde, un resto de inicio de la replicación que forma complejos con o está integrado en el molde, una ADN polimerasa recombinante capaz de replicar al menos una parte del molde usando el resto en una reacción de polimerasa dependiente de molde, y uno o más nucleótidos, en el que el uno o más nucleótidos comprenden un análogo nucleotídico que está marcado en un grupo fosfato, en el que el resto de base del análogo se selecciona del grupo que consiste en adenina, timina, quanina y citidina;

## ES 2 648 313 T3

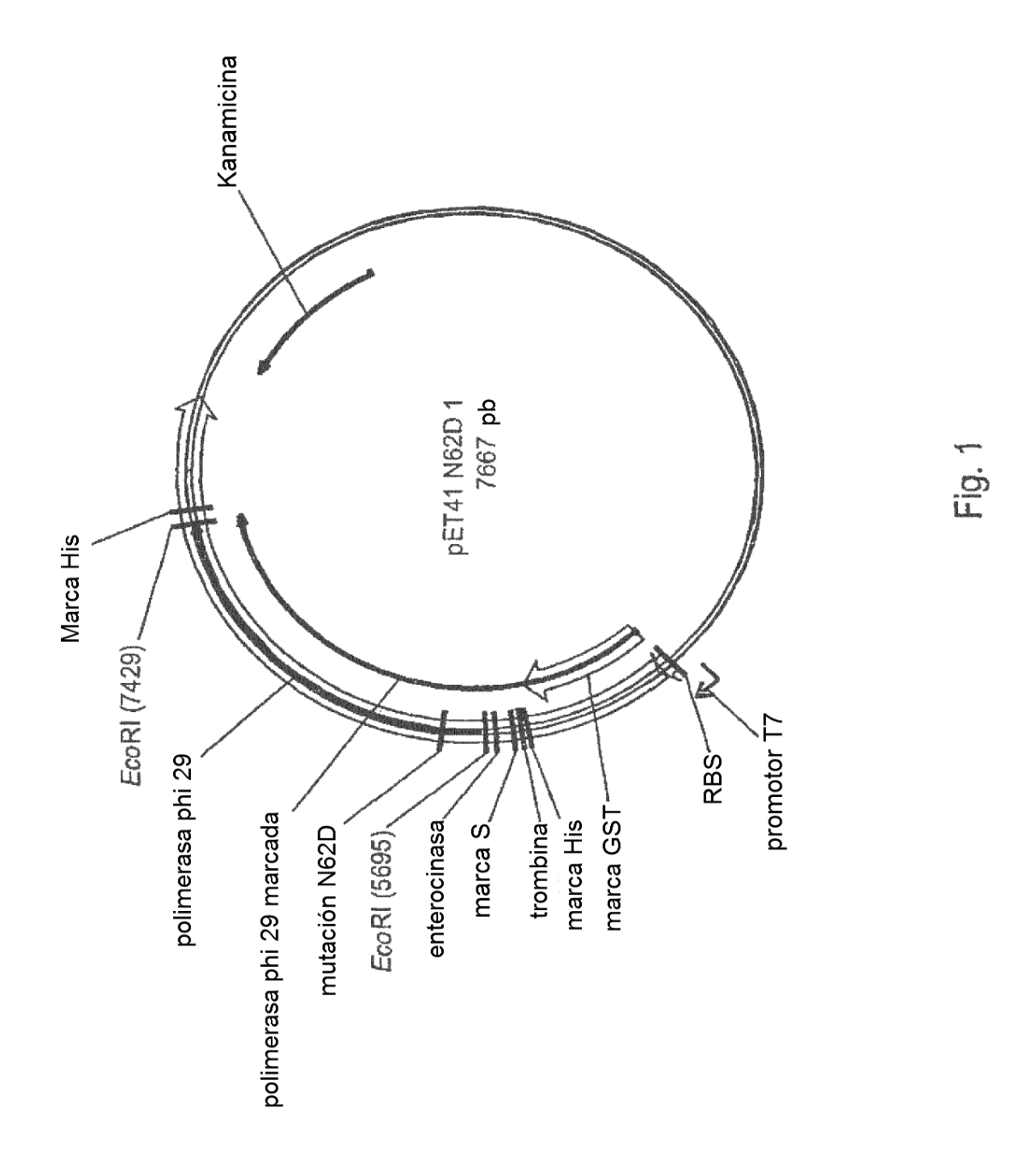
en el que la ADN polimerasa recombinante comprende una secuencia de aminoácidos que es al menos un 70 % idéntica a la SEQ ID NO:1 y comprende una sustitución de aminoácido en un sitio correspondiente a K512 respecto a la SEQ ID NO:1; y,

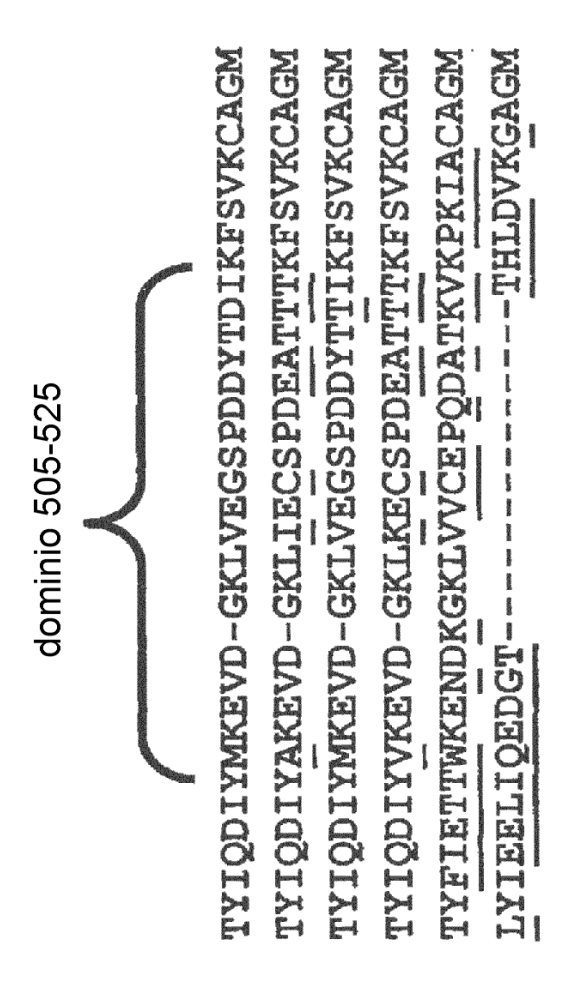
hacer reaccionar la mezcla de tal manera que la polimerasa recombinante replica al menos una parte del molde de una manera dependiente de molde.

15. El método de la reivindicación 14, en el que la ADN polimerasa recombinante comprende una mutación seleccionada de: una mutación K512A, una mutación K512D, una mutación K512E, una mutación K512W, una mutación K512Y, una mutación K512Y, una mutación K512H.

10

5

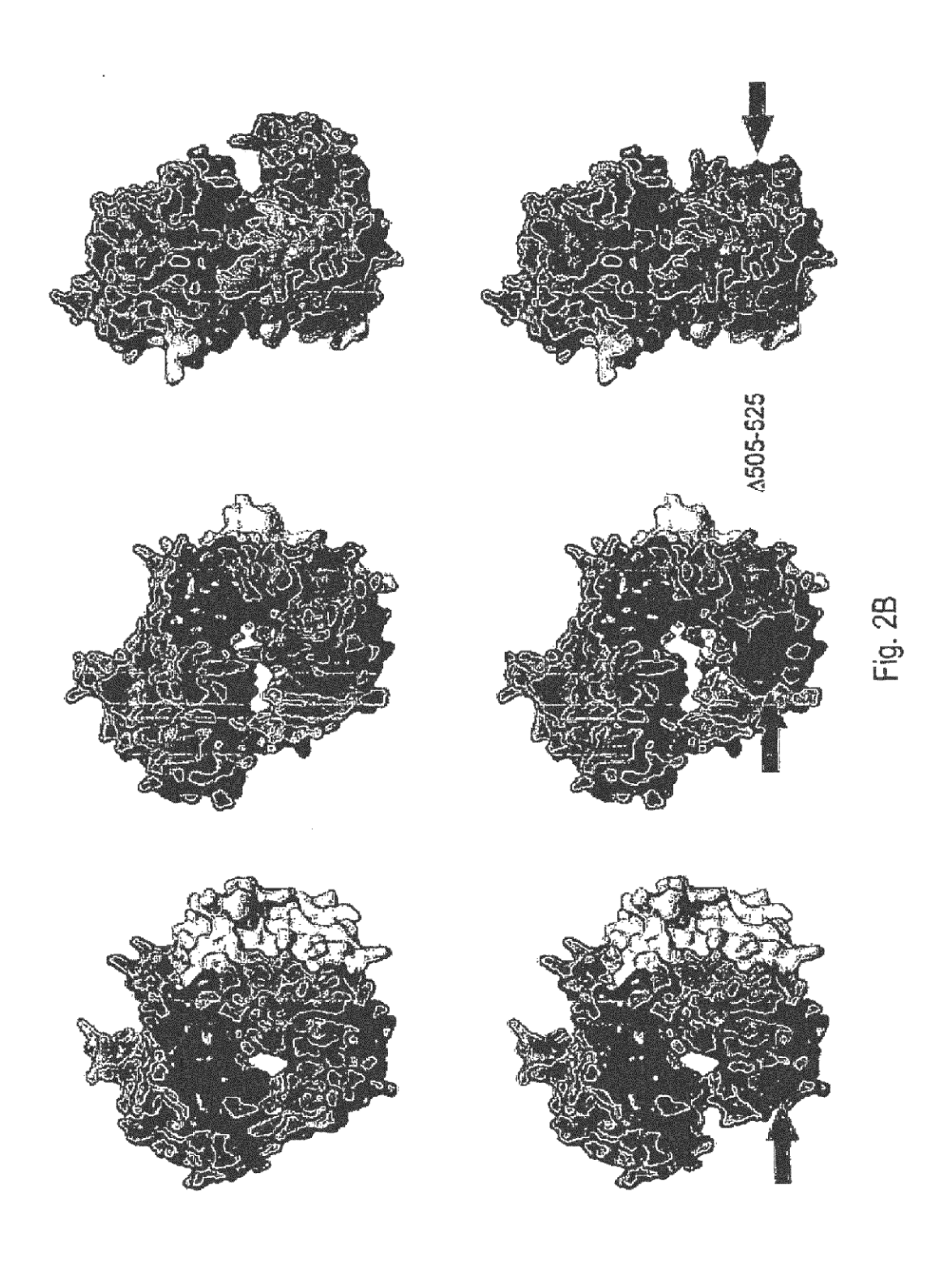


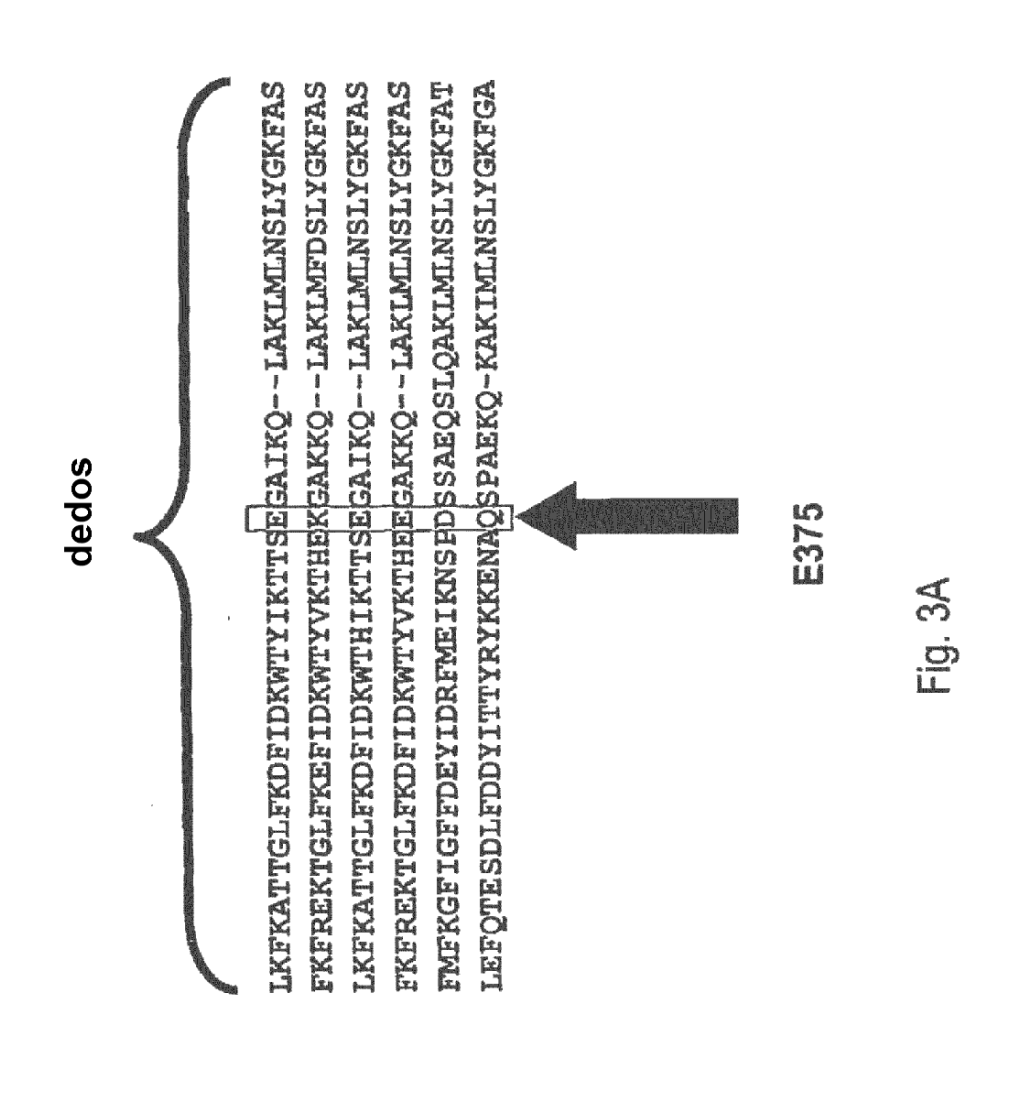


-ig. 2A

PZA M2 G1 cp-1

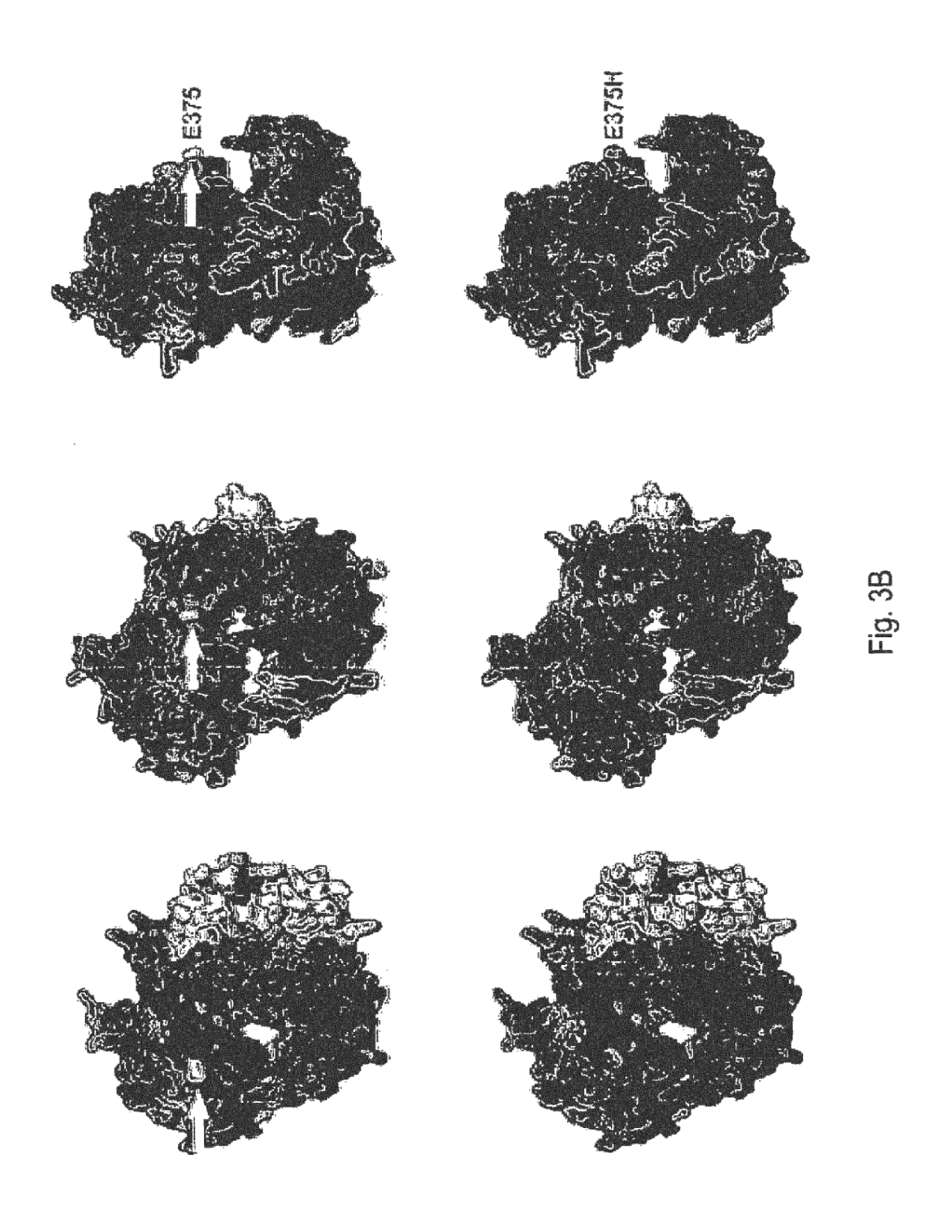
B103

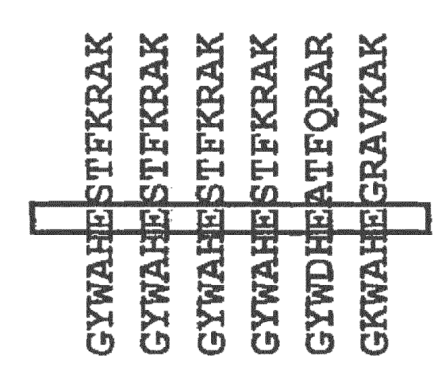




152

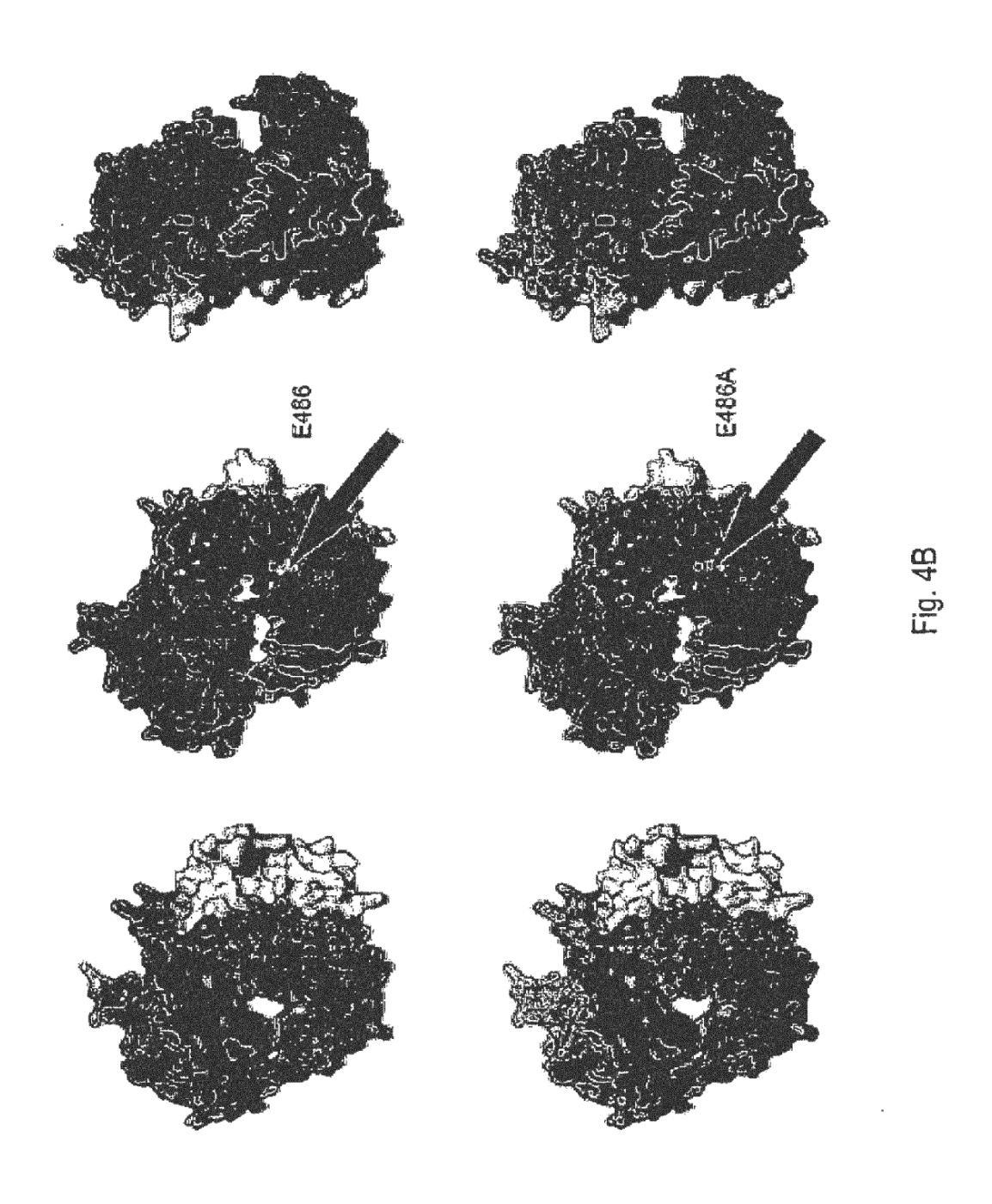
Phi29 B103 PZA MZ G1 cp-1





-ig. 4A

Phi29 B103 PZA M2 G1 cp-1



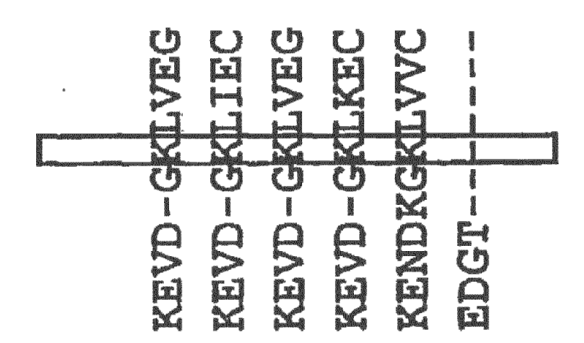
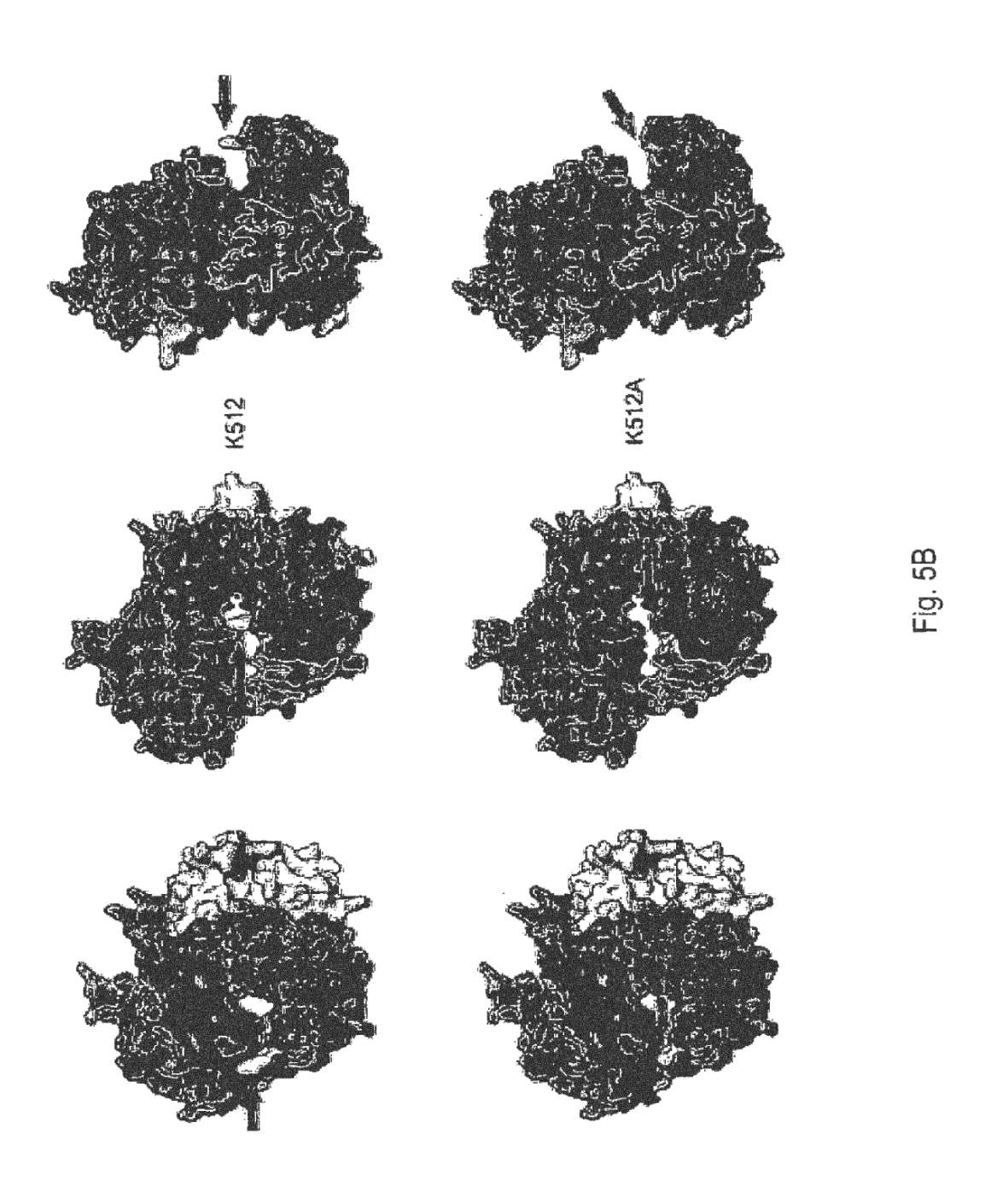


Fig. 5A

Phi29 B103 PZA M2 G1 cp-1



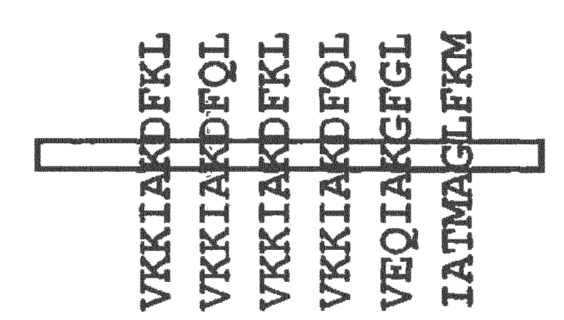
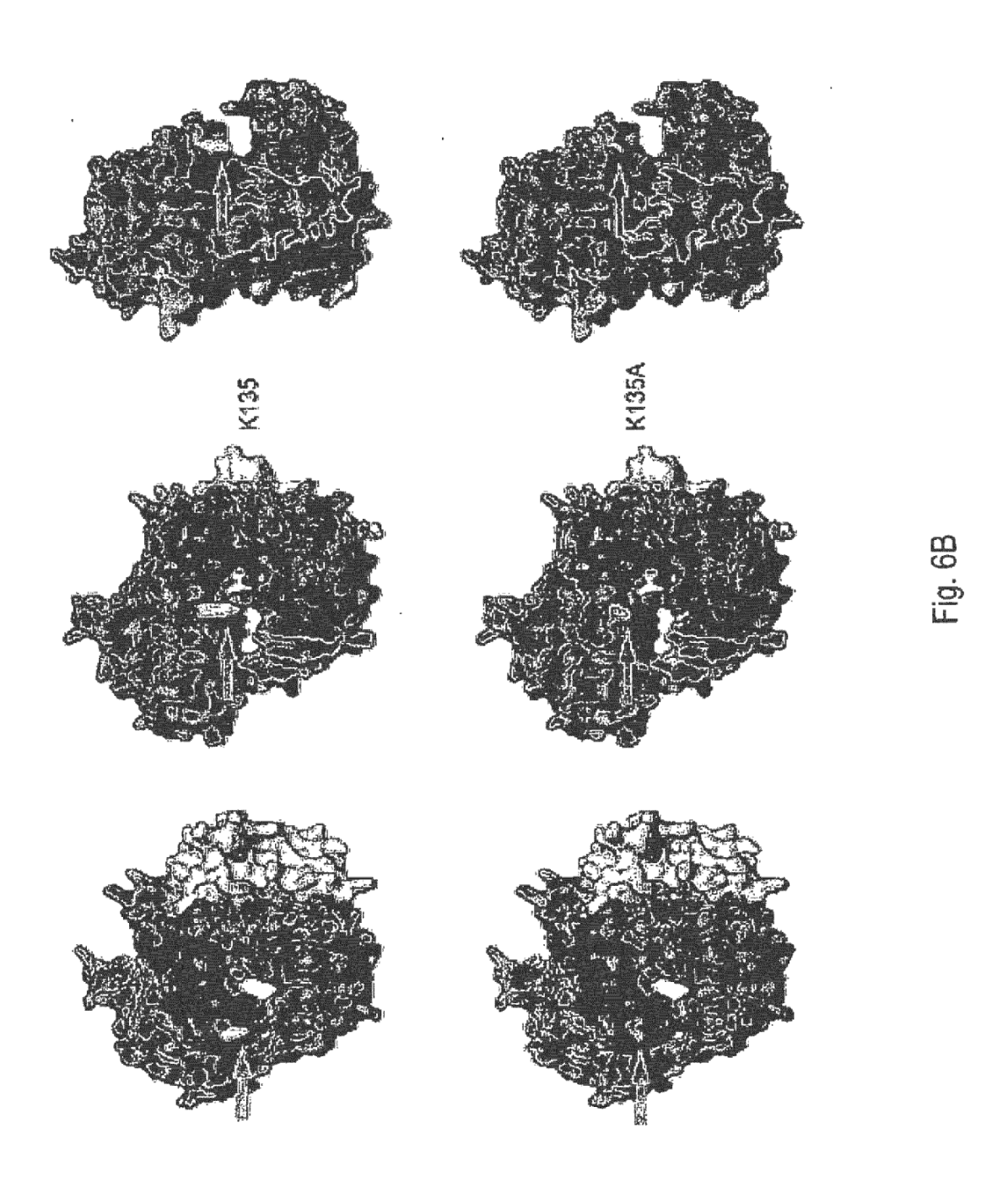


Fig. 6A

Phi29 B103 PZA M2 G1 CP-1



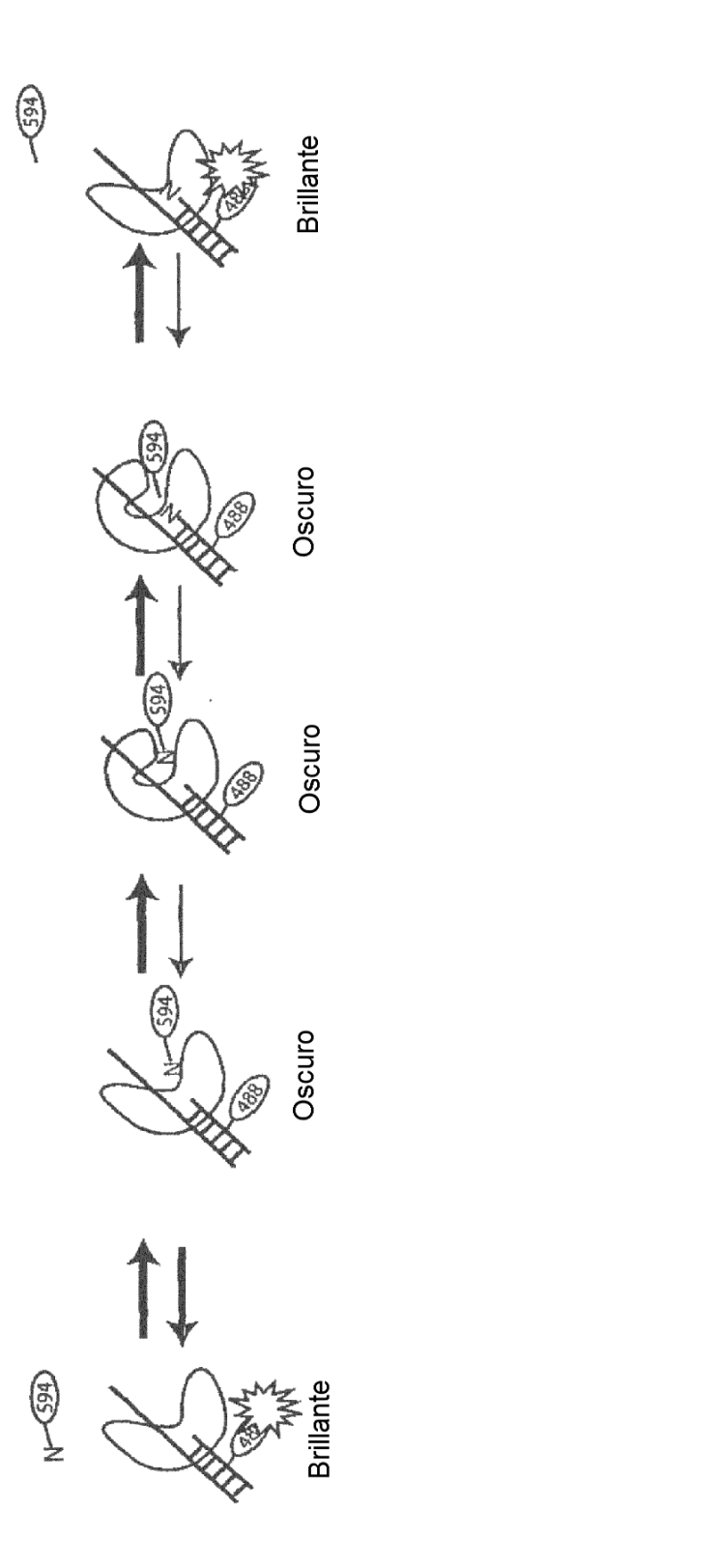
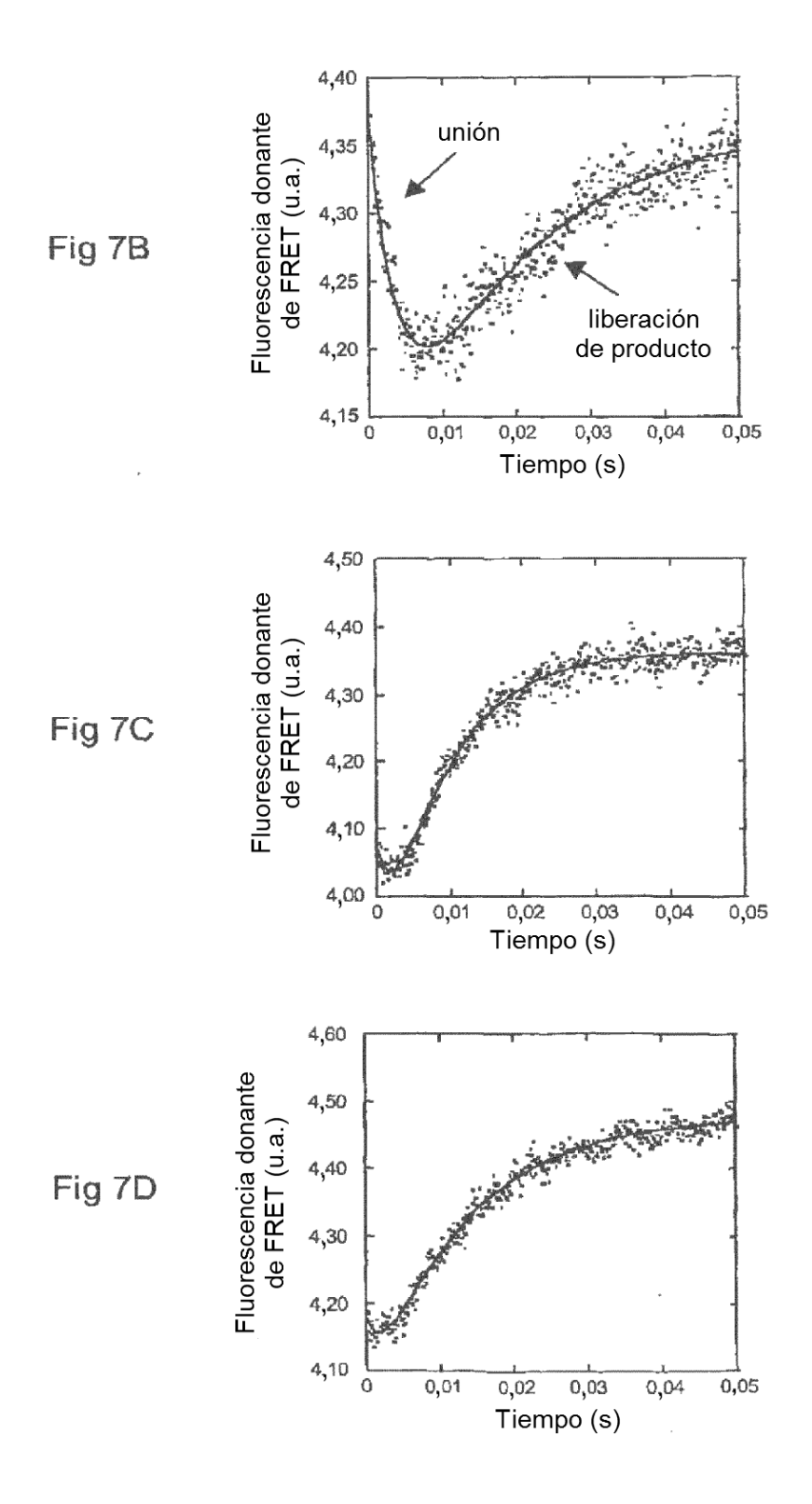
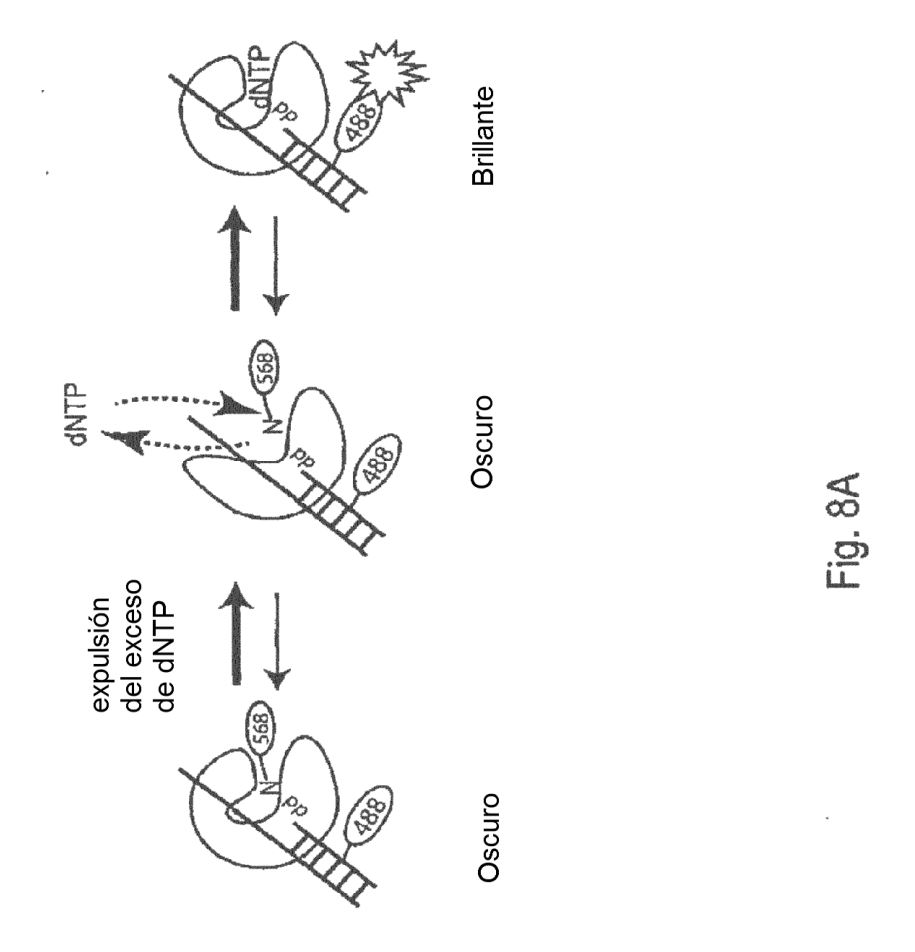
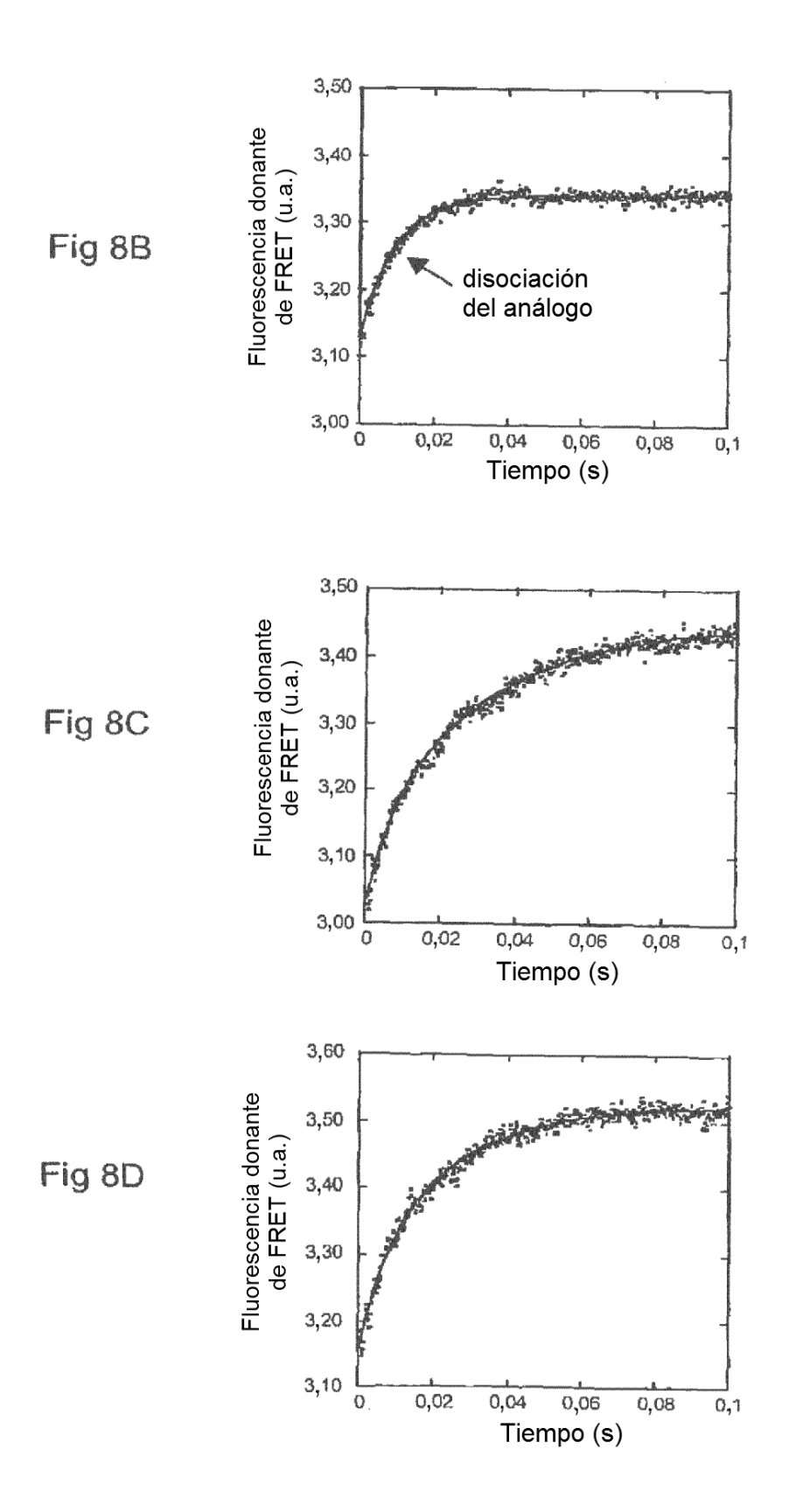


Fig. 7A







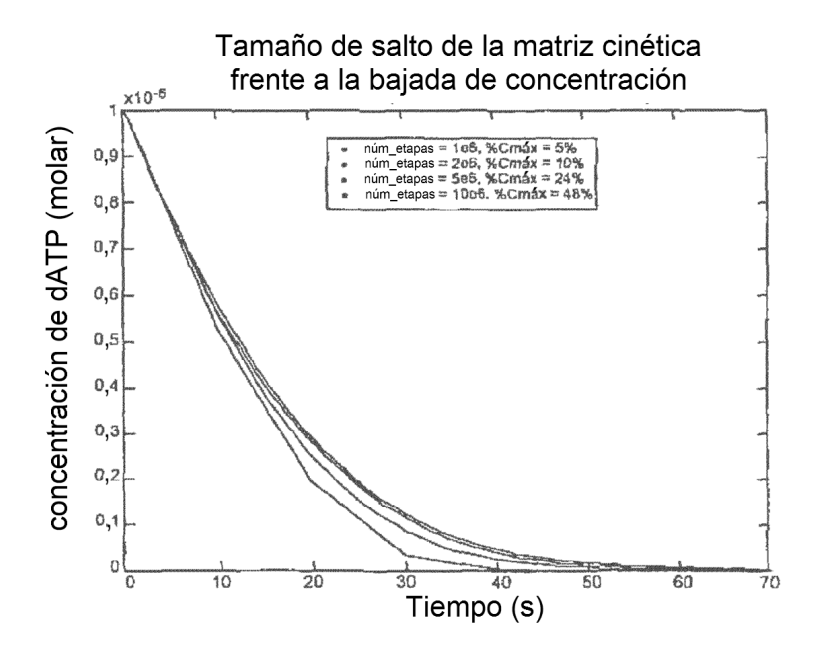


Fig 9